

В. Е. ТРЁГЕР

ОПТИЧЕСКОЕ
ОПРЕДЕЛЕНИЕ
ПОРОДО-
ОБРАЗУЮЩИХ
МИНЕРАЛОВ



THE LIBRARY OF THE
UNIVERSITY OF TORONTO LIBRARIES
1970

W. E. TROGER

OPTISCHE BESTIMMUNG
DER GESTEINSBILDENDEN
MINERALE

4. NEU BEARBEITETE AUFLAGE

E. SCHWEIZERBARTSCHE VERLAGSBUCHHANDLUNG
(NAGELE U. OBERMILLER)
STUTTGART 1971

В. Е. ТРЕГЕР

ОПТИЧЕСКОЕ ОПРЕДЕЛЕНИЕ ПОРОДООБРАЗУЮЩИХ МИНЕРАЛОВ

ПЕРЕВОД С НЕМЕЦКОГО Р. Н. СОБОЛЕВА

ПОД РЕДАКЦИЕЙ Н. Д. СОБОЛЕВА

3231



МОСКВА «НЕДРА» 1980



УДК 548.0:535

Трёгер В. Е. Оптическое определение породообразующих минералов. Справочник.
Пер. с нем. М., Недра, 1980, 208 с. — Пер. изд. ФРГ, 1971.

Книга является справочником-определителем минералов по оптическим свойствам. В виде таблиц дано описание более 240 породообразующих минералов и более 80 их разновидностей с указанием их химического состава, кристаллических форм, двойников, спайности, твердости, оптической ориентировки, показателей преломления, угла и дисперсии оптических осей, окраски, плеохроизма, отличия от сходных минералов, генезиса, парагенезиса и условий нахождения. Приведены вариационные диаграммы, показывающие взаимосвязь химического состава и оптических свойств минералов, таблица межплоскостных расстояний, диаграммы по оптическому определению полевых шпатов, а также для определения различных свойств породообразующих минералов. Книга предназначена для специалистов, занимающихся изучением породообразующих минералов. Она также будет полезна преподавателям и студентам вузов геологического профиля.

Табл. 13, ил. 356.

В. Е. ТРЕГЕР
ОПТИЧЕСКОЕ ОПРЕДЕЛЕНИЕ ПОРОДООБРАЗУЮЩИХ МИНЕРАЛОВ

Редактор издательства А. М. Антокольская Переплет художника К. В. Голикова
Художественный редактор Е. Ю. Юрковская
Технические редакторы Л. Н. Шиманова, Л. Г. Лаврентьева
Корректор М. П. Курылева

ИБ № 3706

Сдано в набор 05.12.79. Подписано в печать 27.06.80. Формат 84×108^{1/16}. Бумага тип. № 3. Гарнитура «Литературная». Печать высокая. Усл. печ. л. 27,97. с 1 вкл. Уч.-изд. 19,19. Тираж 7200 экз.
Заказ 1026/7837—14. Цена 1 р. 30 к.

Издательство «Недра», 103633, Москва, К-12, Третьяковский проезд, 1/19.
Московская типография № 6 Союзполиграфпрома при Государственном комитете СССР по делам издательств, полиграфии и книжной торговли. 109088, Москва, Ж-88, Южнопортовая ул., 24.

T $\frac{20805-231}{043(01)-80}$ 16-80 1904020300

© E. Schweizerbart'sche
Verlagsbuchhandlung
(Nägele u. Obermiller)
Stuttgart 1971
© Перевод на русский язык,
«Недра», 1980

СОДЕРЖАНИЕ

Предисловие	6	Оптически двуосные минералы: группы хлорита и др.	132
Таблицы для оптического определения минералов	8	Оптически двуосные минералы: полевые шпаты и цеолиты	144
Объяснения употребляющихся в таблицах сокращений, обозначений и знаков	11	Номограммы для определения значений оптических разграничений	179
Ключевая диаграмма показателя преломления $n_m/\text{двупреломления } n_g - n_p$	12	Удельный вес породообразующих минералов	190
Растворимые в воде минералы	20	Дисперсия светопреломления (показателей преломления) породообразующих минералов	193
Непрозрачные или очень слабо просвечивающие в шлифах минералы	24	Определения минералов на ориентированных разрезах с помощью коноскопа и компенсатора	194
Оптически изотропные или кубические минералы	32	Собственная окраска и плеохроизм в шлифе	199
Оптически одноосные тетрагональные минералы	38	Прочие особенности	201
Оптически одноосные гексагональные и тригональные минералы	54	Таблица межплоскостных расстояний d	202
Оптически двуосные минералы: окислы, гидроокислы, карбонаты, сульфаты	62	Номограмма для вычисления элементов оптической индикатрисы	206
Оптически двуосные минералы: фосфаты, группы оливина, гумита, эпидота, кордиерита и др.	88	Номограмма двупреломления	207
Оптически двуосные минералы: группы пироксена и др.	104	Указатель минералов	208
Оптически двуосные минералы: группы амфибола	122	Группа плагиоклазов. Стереограмма для нормальных законов (вкладка)	
Оптически двуосные минералы: группы слюд, талька и др.		Группа плагиоклазов. Стереограмма для сложных и параллельных законов (вкладка)	

ПРЕДИСЛОВИЕ

Книга известного немецкого ученого В. Е. Трёгера «Оптическое определение породообразующих минералов», которая является справочником по определению минералов в прозрачных шлифах, дважды издана на русском языке (1958, 1968).

При составлении этого справочника автор использовал свой богатый опыт по изучению оптических свойств породообразующих минералов и многочисленные литературные источники. Весьма ценными добавлениями к определяльным таблицам, составляющим основу работы, являются рисунки кристаллов с нанесенными на них осьми оптической индикаторы, оптическими и кристаллографическими осями, плоскостями спайности и т. д., позволяющие наглядно представить взаимоотношения в пространстве кристаллооптических и кристаллографических элементов, а также диаграммы состав—свойства, номограммы и таблицы межплоскостных расстояний.

Все это выгодно отличает данную книгу от других определителей породообразующих минералов. Справочник рассчитан на петрографов, геологов и других специалистов, занимающихся исследованием горных пород и минералов. Предыдущие два издания книги широко используются в вузах в качестве учебного пособия при изучении породообразующих минералов.

Четвертое издание книги на немецком языке (с которого сделан настоящий перевод) осуществлено в 1971 г. после смерти В. Е. Трёгера и состоит из двух частей. Однако вторая часть книги, содержащая описание минералов, не будет переводиться на русский язык, так как уже имеется пятитомное издание У. А. Дири, Р. А. Хауи, Дж. Зусмана «Породообразующие минералы» (Мир, 1965, 1966), посвященное этому вопросу.

Редакторы четвертого издания таблиц на немецком языке — Х. У. Бамбауэр, Ф. К. Таборски и Х. Д. Трохим — внесли в него многочисленные дополнения. Прежде всего они увеличили число описываемых минералов до 299, включив в таблицы минералы, не являющиеся породообразующими (стишовит, коэсит и др.). В связи с этим мы считаем необходимым уточ-

нить понятие «породообразующий минерал». В горных породах выделяют главные породообразующие минералы (составляющие больше 5% породы), второстепенные породообразующие минералы (меньше 5%) и акцессорные минералы (меньше 1%). Один и тот же минерал (например, кварц) в разных типах горных пород может быть главным (гранитоиды), второстепенным (диоритоиды) и акцессорным (габброиды) в зависимости от количественного его содержания. Следует выделять также собственно акцессорные минералы, которые не бывают породообразующими, но тем не менее характерны для данной горной породы (монацит, ортит и др.). Руководствуясь этим, мы сохранили в настоящем издании 244 минерала, которые были отобраны В. Е. Трёгером, как наиболее важные.

Кроме того, не учтены изменения, внесенные в четвертое немецкое издание, в тех случаях, когда они не превышают погрешности измерения данной величины. Таблица Мишель—Леви приведена в графическом черно-белом варианте.

Химический состав минералов представлен в виде окислов, так как он отвечает реальным соотношениям химических элементов в минералах. Структурные формулы минералов, помещенные в четвертом немецком издании, не приводятся в связи с тем, что большинство этих формул условны или предварительны.

В настоящей работе каждый минерал имеет свой опознавательный номер, который постоянно используется в таблицах и во всех остальных разделах (на рисунках кристаллов, в диаграммах). Кроме того, эти опознавательные номера приведены в алфавитном указателе и ключевой диаграмме.

Определение неизвестного минерала под микроскопом (в шлифе) производится в первую очередь по показателю преломления и величине двойного лучепреломления.

Во многих определяльных таблицах минералы располагают последовательно в соответствии с величиной показателя преломления. Но следует учитывать, что родственные минералы и даже отдельные члены одной непрерывной серии, такие, как оливины, встречаются в этом

случае в разных местах книги. Это очень затрудняет обзор и усложняет расположение диаграмм и рисунков. Чтобы избежать этого, в данной книге на страницах 10—11 помещена ключевая диаграмма, в которой все приведенные в книге минералы (за исключением солей и руд) расположены в соответствии с величиной их показателя преломления n_m и двойного лучепреломления $n_g - n_p$. Пользование ею (во всяком случае для начинающих) рекомендуется в тех случаях, когда неизвестный минерал хотят определить «на глаз»; небольшая затрата сил легко предостережет исследователя от ошибки спутать его со сходным минералом.

Округление цифровых данных в таблицах и диаграммах проведено с учетом интересов читателя, чтобы избежать кажущейся точности. В. Е. Трёгер считал, что точность до минут при измерении углов и до четвертого знака после запятой для величин показателей преломления необходима в кристаллографии и кристаллооптике, но не должна иметь место в книге, предназначеннной для петрографической практики. В ключевой диаграмме расположение минералов изображается с помощью кружков, которые при изменчивости оптических «констант»,

по мнению В. Е. Трёгера лучше соответствуют действительности, чем четкое изображение в виде точки.

Для интерполяции вариационных диаграмм можно применять листок прозрачной миллиметровой бумаги или небольшую пластинку из плексиглаза с нанесенной на нее миллиметровой сеткой. Следует иметь ввиду, что лишь на немногих диаграммах точность соответствует $\pm 1\%$, в большинстве случаев она составляет $\pm 5\%$, а иногда даже $\pm 20\%$. Это объясняется тем, что природные минералы, как правило, не относятся к бинарным системам, которые можно изобразить на плоскости. Кроме того, во многих случаях нет исчерпывающих данных для составления диаграмм.

На номограммах, которые должны облегчить оценку точности оптических измерений, для каждого случая приведены только те графические решения, которые оправдали себя на практике.

Заслуженный геолог РСФСР, профессор
Н. Д. СОБОЛЕВ
Доктор геолого-минералогических наук
Р. Н. СОБОЛЕВ

ТАБЛИЦЫ ДЛЯ ОПТИЧЕСКОГО ОПРЕДЕЛЕНИЯ МИНЕРАЛОВ

ОБЪЯСНЕНИЯ УПОТРЕБЛЯЮЩИХСЯ В ТАБЛИЦАХ СОКРАЩЕНИЙ, ОБОЗНАЧЕНИЙ И ЗНАКОВ

Кристаллографические системы (сингонии): куб.—кубическая, тетр.—тетрагональная, триг.—тригональная, гекс.—гексагональная, ромб.—ромбическая, мон.—моноclinная, трикл.—триклинная.

Химическую формулу минералов целесообразно представлять в виде молекулярных отношений отдельных окислов, чтобы упростить контроль расчетов окислов на минеральный состав и оценку анализов горных пород (структурные формулы имеются сейчас в любом учебнике).

Последовательность приводимых простых форм приблизительно соответствует их значению для внешней формы (габитуса). В том случае, если в новейшей литературе используются многие кристаллографические установки, назван тот автор, чья установка здесь используется.

◊ — означает, что двойниковое образование имеет преимущественно пластинчатую форму.

— спайность: пл.—плохая, ясн.—ясная, хор.—хорошая, соверш.—совершенная, в. соверш.—весьма совершенная. При необходимости указывается угол между трещинами спайности. Отд.—отдельность, тв.—тврдость по Моосу, уд. в.—среднее значение удельного веса * (границы значений смотри на стр. 190—192).

Необходимо постоянно обращаться к соответствующим рисункам кристаллов, которые по возможности помещены на следующей же странице.

Данные относительно углов угасания в микроскопической практике имеют ограниченное значение, так как для этого надо знать кристаллографическую ориентировку разреза, например, в случае большого числа трещин спайности. В общем знак плюс означает, что измеряемое оптическое направление находится в тупом углу между двумя кристаллографическими осями, знак минус соответствует острому углу. Исключение состав-

ляют только полевые шпаты, для которых действует старое правило М. Шустера, которое объяснено рисунками на стр. 151 и 157.

a, b, c — направления кристаллографических осей;

$Ng > Nm > Np$ — направления осей индикатрисы;

$Ng' > Np'$ — направления малых и больших осей произвольного сечения индикатрисы;

$Ne \leq No$ — направление колебаний необыкновенного и обыкновенного лучей;

П. О. О. — плоскость оптических осей;

бисс.—означает острую биссектрису Np или Ng ;

$r \leq v$ — дисперсия главных осей индикатрисы;

$l = (+)$ — означает, что у столбчатых, игольчатых или таблитчатых кристаллов ось Ng проходит точно параллельно оси столбчатости (удлинению) и соответственно Np — перпендикулярно пластинчатости.

При наличии удлиненных разрезов со знаком (+) последний указывает на положительный «характер главной зоны». Если главные оптические направления несколько отклоняются от кристаллографических, то это обозначено соответственно $l' = (+)$ и $l' = (-)$.

$n_g > n_m > n_p$ — три главных показателя преломления: в общем для белого света, округленные до третьего знака после запятой. При сильной дисперсии указываются использованные длины волн или цвет. Два крайние значения в большинстве случаев обозначают область изменений с указанием, по возможности, химических причин. Данные четвертого знака для Na-света приводятся лишь для чистых минералов.

\oplus или \ominus — характер минерала (оптический знак);

Δ — величина двупреломления $n_g - n_p$ для определенных длин волн.

Угол оптических осей указывается всегда относительно острой биссектрисы. Границы его изменения, по возможности увязаны с данными химического состава:

* В настоящем издании в соответствии с немецким подлинником сохранен термин удельный вес. Под этим термином понимается плотность (в $\text{г}/\text{см}^3$) — Прим. ред.

$2V_{Np}$ — угол оптических осей, когда Np острая биссектриса;

$2V_{Ng}$ — угол оптических осей, когда Ng — острая биссектриса;

$r \geq v$ — дисперсия оптических осей вокруг указанной (данной) биссектрисы.

Все данные об окраске относятся лишь к шлифу нормальной толщины. На иллюстрациях, принятые следующие сокращенные обозначения окраски: св. — светлый, оч. св. — очень светлый, бл. — бледный, с. — синий, роз. — розовый, кор. — коричневый, т. — темный, б/ц. — бесцветный, ж. — желтый, з. — зеленый, сер. — серый, л. — лиловый, ол. — оливковый, ор. — оранжевый, пур. — пурпурный, кр. — красный, ф. — фиолетовый, неб. г. — небесно-голубой, значок штрих ('), означает оттенок (например кр.' — красноватый, красновато), напр. — не-

прозрачный, от. св. — в отраженном свете (например, кр. от. св. — красный в отраженном свете).

$n_{ср}$ — средний показатель преломления.

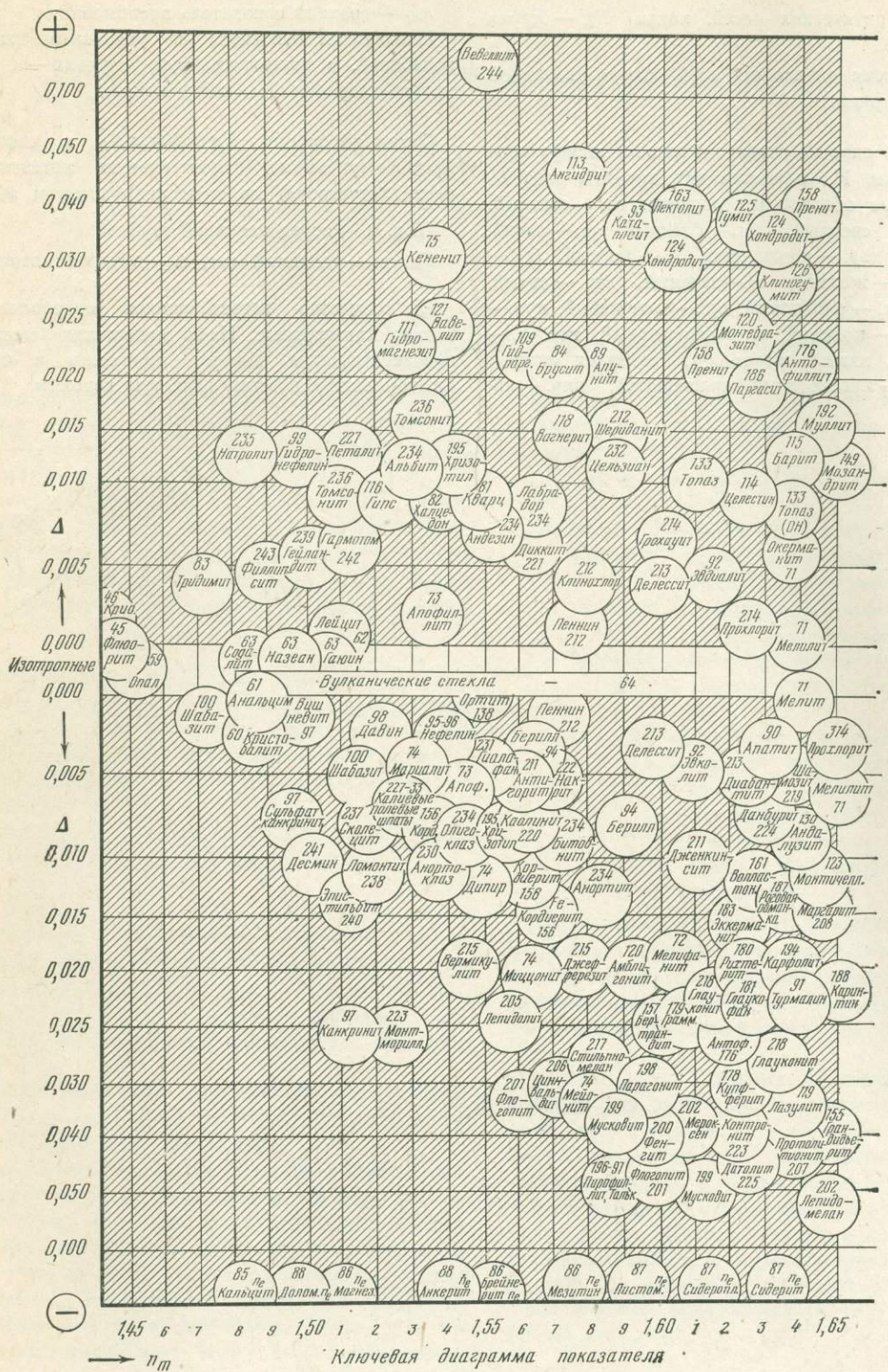
Плеохроизм относится к указанным направлениям колебаний, в исключительных случаях — к указанным кристаллографическим направлениям.

Схема абсорбции $Ng \approx Nm \approx Np$ и соответственно $No \approx Ne$ указывает относительную интенсивность окраски («густоту») по трем направлениям абсорбции.

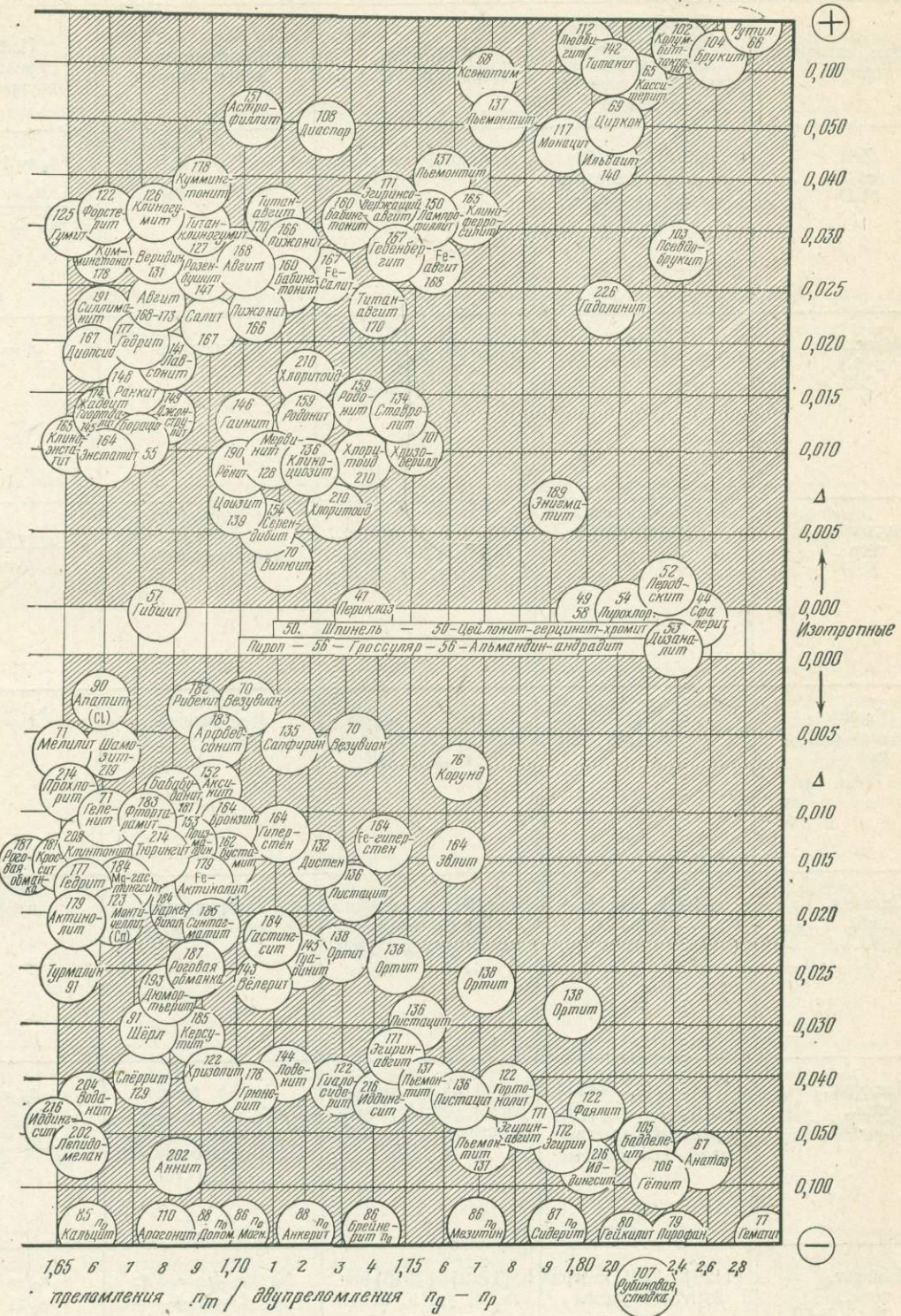
П. п. т. — перед паяльной трубкой.

Уд. в. — удельный вес, Δ — двупреломление.

Из совместно встречающихся минералов названы только характерные. Из-за недостатка места важные парагенетические данные приведены в чрезвычайно сжатом виде и поэтому зачастую неполны.



Ключевая диаграмма показателя



РАСТВОРИМЫЕ В ВОДЕ

№ п/п	Название, сингония, формула	Наиболее часто встречающиеся простые формы, двойники, габитус, агрегаты	Спайность, твердость, уд. вес	Оптическая ориентировка	Показатель преломления, двупреломление
1	Лед гекс., H_2O	{0001}, {10\bar{1}0}; скелеты, стебельки, зерна; лучистые агрегаты	# {0001}?; тв. 1,5; уд. в. 0,9175	$Ng \parallel c$; $Ne = Ng$	$n_o = 1,3091$ Na $n_e = 1,3105$ $\oplus, \Delta = 0,0014$
2	Известь, куб., CaO	{100}	# {100} в. соверш.; тв. 3—4; уд. в. 3,32 ±	Изотропный	$n = 1,838$
3	Виллиомит, тетр., NaF	Вкрапления	# {001} в. соверш., {110}, {100} ясн.; тв. 3,5; уд. в. 2,79 ±	$Np \parallel c$; $Ne = Np$	$n_o \sim n_e \sim 1,328$ $\ominus, \Delta = \text{оч. слаб.}$
4	Галит (каменная соль), куб., $NaCl$	{100}; зерна	# {100} в. соверш.; пластичный; тв. 2,5; уд. в. 2,168	Изотропный	$n = 1,544$
5	Сильвин, куб., KCl	{100}, {111}; зерна	# {100} в. соверш.; пластичный; тв. 2; уд. в. 1,989	Изотропный	$n = 1,490$
6	Бишофит, мон., $MgCl_2 \cdot 6H_2O$	{110}, {111}, {hkl}; $\beta = 94^\circ$; $\phi = [1\bar{1}\bar{2}]$; зернистый, пластиничатый, волокнистый $\parallel c$	# {110} в. соверш. (отд.) $108^\circ 15'$; очень пластичный; тв. 1,5; уд. в. 1,591	$Np \parallel b$, бисс.; $Nm \wedge c = +9^\circ 30'$; $Ng \wedge a = -5^\circ 45'$; Одна оптическая ось $\sim \perp (110)$	$n_p = 1,494$ $n_m = 1,507$ $n_g = 1,528$ $\oplus, \Delta = 0,034$
7	Риннеит, триг., $3KCl \cdot NaCl \cdot FeCl_2$	{11\bar{2}0}, {10\bar{1}1}; зерна округлой формы	# {11\bar{2}0}, {10\bar{1}0} ясн.; тв. 3; уд. в. 2,347	$Ng \parallel c$; $Ne = Ng$; $l = (+)$	$n_o = 1,5886$ $n_e = 1,5894$ $\oplus, \Delta = 0,0008$

МИНЕРАЛЫ

Угол и дисперсия оптических осей	Окраска в шлифе, плеохроизм, абсорбция	Химические свойства, характерные особенности	Сходные минералы и их отличия	Парагенезис, генезис и условия нахождения
	Бесцветный			
	Бесцветный	Разлагается во влажном воздухе; легко растворяется в кислотах		В продуктах вулканических извержений
	No — карминово-красный; Ne — золотисто-желтый		Флюорит — не плеохроирует	В щелочных горных породах
	Водянопрозрачный и сине-фиолетовый; желтеет под действием α -лучей	Фигуры удара на (100); не мутнеет с PtCl_4 ; нерастворим в спирте	Сильвин — n меньше n канадского бальзама	С ангидритом, гипсом, кизеритом, полигалитом, карналлитом и сильвином в глинах, битумах, соляных залежах, а также продукт сублимации
Иногда оптически аномальный	Бесцветный; молочно-белый; желтеет под действием α -лучей	Фигура удара несимметрична на (100); мутнеет с PtCl_4 ; нерастворим в спирте	Галит — $n = n$ канадского бальзама	С галитом в соляных залежах (галит + сильвин + кизерит или ангидрит). Вторичный по карналлиту
$2V_{Ng} = 79^{\circ}30'$; $r > v$ слабая, перекрещенная	Бесцветный	Деформируется; пластинчатые двойники; гигроскопичен		Прослойки и прожилки в карналлитовой породе. Вторичный из рассолов
$r < v$ сильная	Бесцветный до фиолетового; на воздухе быстро становится темно-коричневым	Аномальная интерференционная окраска		Вместе с сильвином, карналлитом и галлитом из рассолов

№ п/п	Название, сингония, формула	Наиболее часто встречающиеся про- стые формы, двой- ники, габитус, агрегаты	Спайность, твер- дость, уд. вес	Оптическая орненти- ровка	Показатель прелом- ления, двупрелом- ление
8	Карналлит, ромб., $KCl \cdot MgCl_2 \cdot 6H_2O$	{001}, {110}, {hkl} {0k1}; ◊ = {110}, пластин- чатые; ◊ = псевдогексаго- нальные; зерна, волокна	Раковистый излом; пластичный; тв. 2,5 уд. в. 1,602	$Np \parallel c$; $Nm \parallel b$; П. О. О. (010); $Ng \parallel a$, бисс.	$n_p = 1,4665$ $n_m = 1,4753$ $n_g = 1,4937$ $\oplus, \Delta = 0,0272$
9	Тахгидрит, триг., $2MgCl_2 \cdot CaCl_2 \cdot 12H_2O$	{1011}, {0001}. Зернистый, пластин- ки; ◊ = ?, пластин- чатые	# {1011} в соверш. 106°30'; отд. ◊; тв. 2; уд. в. 1,664	$Np \parallel c$; $Ne = Np$	$n_o = 1,5215$ $n_e = 1,5128$ $\ominus, \Delta = 0,0087$
10	Кёненит, триг., $2MgCl_2 \cdot 3MgO \cdot$ $Al_2O_3 \cdot 6H_2O$	{0001}; бочкообразный, слоистый	# (0001) в соверш.; гибкий, как кожа; тв. <1; уд. в. 1,98±	$Ng \parallel c$, $Ne = Ng$, $l = (-)$	$n_o = 1,52$ $n_e \sim 1,55$ $\oplus, \Delta = 0,03$
11	Тенардит, ромб., Na_2SO_4	{111}, {113}; ◊ = {101} и {011}	# (001) соверш., # {110} и (010) ясн.; тв. 2,5; уд. в. 2,673	$Np \parallel a$; $Nm \parallel c$; П. О. О. (001); $Ng \parallel b$, бисс.	$n_p = 1,468$ $n_m = 1,473$ $n_g = 1,483$ $\oplus, \Delta = 0,015$
12	Глазерит (афтилит), триг., $(K, Na)_2SO_4$	{0001}, {1012}; таблич- ки, иногда ромбоэдры; псевдогексагонального облика; двойники ◊ {1120}, (0001)	# {1010} ясн., (0001) пл.; тв. 3; уд. в. 2,697	$Ng \parallel c$; $Ne = Ng$; П. О. О. ⊥ (001)	$n_o = 1,487-1,491$ $n_e = 1,492-1,499$ $\oplus, \Delta = 0,005-0,008$
13	Ангидрит, ромб., $CaSO_4$	{101}, {011}; полоса- тый; ◊ = {101}, пла- стинчатые; зернистый, таблитча- тый, волокнистый b; плотный; пойкилито- вые срастания с галитом	# (001) в. соверш., # (010) соверш., # (100) хор.; пластичный; тв. 3—3,5; уд. в. 2,963	$Np \parallel c$; $Nm \parallel b$; П. О. О. (010); $Ng \parallel a$, бисс.	$n_p = 1,5700$ $n_m = 1,5757$ $n_g = 1,6138$ $\oplus, \Delta = 0,0438$
14	Целестин, ромб., $SrSO_4$	{011}, {001}, {110}, {102}; зерна	# (001) соверш., # (110) хор. 76°; # (010) ясн.; тв. 3—3,5; уд. в. 3,975	$Np \parallel c$; $Nm \parallel b$, П. О. О. (010); $Ng \parallel a$, бисс.	$n_p = 1,622$ $n_m = 1,624$ $n_g = 1,631$ $\oplus, \Delta = 0,009$

Угол и дисперсия оптических осей	Окраска в шлифе, плеохроизм, абсорбция	Химические свойства, характерные особенности	Сходные минералы и их отличия	Парагенезис, генезис и условия нахождения
$2V_{Ng} = 69^{\circ}45'$; $r < v$ слабая	Бесцветный; красный от включений железного блеска (гематита)	Расплывается на воздухе; разлагается в H_2O на KCl и $MgCl_2 \cdot 6H_2O$, трещит при сверлении		Главный первичный и переотложенный минерал в морских соляных месторождениях
	Бесцветный, желтоватый	Легко расплывается	Лёвент — более низкий n и более высокий уд. в.; бруцит: $r > v$, бесцветный	Переотложенный в карналлитовых месторождениях
	No — красно-коричневый; Ne — бесцветный	Медленно распадается в кипящей воде; содержит включения гематита		Вторичный в ангидритовых куполах и соляных глинах
$2V_{Ng} = 83^{\circ}30'$; $r > v$ слабая	Бесцветный	Легко растворяется в воде	Вантгоффит — больший n , меньшее Δ	В соляных озерах; редко переотложенный в морских соляных месторождениях
$2V_{Ng} \sim 0^{\circ}$	Бесцветный, мутный; просветляется (становится чистым) при нагревании	$K_2O : Na_2O \sim 3 : 1$	Кёненит — большие Δ , n	В соляных озерах; наиболее поздний в сульфатных калиевых месторождениях, а также выпадает из фумарол
$2V_{Ng} = 42^{\circ}$; $r < v$	Бесцветный	Растворяется в HCl ; поглощая воду, переходит в гипс; ниже $63,5^{\circ}$; пластинчатые двойники		С гипсом и другими соединениями (галит + сильвин + кизерит) в морских соляных месторождениях, в гидротермальных жилах; также продукт экскавации в современных вулканах
$2V_{Ng} = 51^{\circ}15'$; $r < v$	Бесцветный	Заметно растворяется в воде	Барит — нерастворим в воде, меньший $2V$	С кальцитом и гипсом; выполняет трещины в карбонатных осадках

№ п/п	Название, сингония, формула	Наиболее часто встречающиеся про- стые формы, двой- ники, габитус, агрегаты	Спайность, твердость, уд. вес	Оптическая ориентировка	Показатель прелом- ления, двупрелом- ление
15	Вантоффит, мон., $3\text{Na}_2\text{SO}_4 \cdot \text{MgSO}_4$	Зернистый	# нечеткая; тв. 3,5—4; уд. в. 2,695		$n_p = 1,4855$ $n_m = 1,4876$ $n_g = 1,4893$ $\ominus, \Delta = 0,0038$
16	Лангбейнит, куб., $\text{K}_2\text{SO}_4 \cdot 2\text{MgSO}_4$	{100}, {111} и др.; натечный	Раковистый излом; тв. 3—4; уд. в. 2,828	Изотропный	$n = 1,5347$
17	Глауберит, мон., $\text{Na}_2\text{SO}_4 \cdot \text{CaSO}_4$	{001}, {111}, {hkl}; призматический; $\beta = 112^\circ 15'$; зернистый, пластин- чатый, таблитчатый по (001), столбчатый $\parallel c$	# (001) соверш., # {110} ясн. 97°; тв. 2,5—3; уд. в. 2,85±	$Np \wedge c = + 30^\circ 45'$, бисс; $Nm \wedge a = - 8^\circ 30'$; $Ng \parallel b$, П. О. О. — ме- няется \perp (010); $Np \sim \perp (001)$;	$n_p = 1,507—1,515$ $n_m = 1,527—1,535$ $n_g = 1,529—1,536$ $\ominus, \Delta = 0,022—0,021$
					изменяется с повышением
18	Кизерит, мон., $\text{MgSO}_4 \cdot \text{H}_2\text{O}$	{111}, {1̄11}, {hkl}; $\diamond = (001)$; $\beta = 91^\circ$; зернистый, натеч- ный; редко плотный	# {1̄11}, {1̄13} соверш., # {111}, {101}, {021} хор.; тв. 3,5; уд. в. 2,573	$Np \wedge c = - 13^\circ 30'$; $Nm \parallel b$, П. О. О. (010); $Ng \wedge c = + 76^\circ 30'$, бисс.	$n_p = 1,523—1,520$ $n_m = 1,535—1,533$ $n_g = 1,586—1,584$ $\oplus, \Delta = 0,063—0,064$
19	Эпсомит, ромб., $\text{MgSO}_4 \cdot 7\text{H}_2\text{O}$	{110}, {111}, {11̄1}, {010}; $\diamond = (110)$; зернистый, волокни- сто-столбчатый $\parallel c$	# {010} соверш., # {011} пл.; пластичный; тв. 2—2,5; уд. в. 1,677	$Np \parallel b$, бисс.; $Nm \parallel c$; П. О. О. (001); $Ng \parallel a$	$n_p = 1,4325$ $n_m = 1,4554$ $n_g = 1,4608$ $\ominus, \Delta = 0,0283$
20	Астраханит (блёдит), мон., $\text{Na}_2\text{SO}_4 \cdot \text{MgSO}_4 \cdot 4\text{H}_2\text{O}$	{001}, {110}, {010}, {hkl}; $\beta = 100^\circ 30'$; зернистый, волок- нистый $\parallel c$; натечный	# неясн.; тв. 3; уд. в. 2,232	$Np \wedge a = - 42^\circ 15'$, бисс.; $Nm \parallel b$, П. О. О. (010); $Ng \wedge c \approx + 53^\circ$	$n_p = 1,483—1,486$ $n_m = 1,486—1,488$ $n_g = 1,487—1,489$ $\ominus, \Delta = 0,004—0,003$
21	Леонит, мон., $\text{K}_2\text{SO}_4 \cdot \text{MgSO}_4 \cdot 4\text{H}_2\text{O}$	{001}, {010}, {kh1}; $\beta = 95^\circ$; $\diamond = (001)$, пласти- нчатый; крепкий	# нечеткая; тв. 3; уд. в. 2,201	$Np \wedge a \approx 0^\circ$ бисс.; $Nm \parallel b$, П. О. О. (010); $Ng \wedge c \approx + 5^\circ$	$n_p = 1,478—1,483$ $n_m = 1,481—1,487$ $n_g = 1,486—1,490$ $\ominus, \Delta = 0,008—0,007$

Угол и дисперсия оптических осей	Окраска в шлифе, плеохроизм, абсорбция	Химические свойства, характерные особенности	Сходные минералы и их отличия	Парафенезис, генезис и условия нахождения
$2V_{Np} \sim 84^\circ$; $r < v$ оч. слабая	Бесцветный	При нагревании остается прозрачным	Тенардит — меньшие n , $2V_{Ng}$	В морских месторождениях солей, богатых сульфатами; встречается в отдельных участках
	Бесцветный	Медленно растворяется в воде; поглощает воду на воздухе		Характерный минерал нижних горизонтов соляных залежей; встречается с галитом, сильвином, кизеритом
$2V_{Np} \begin{cases} = 9^\circ \text{ при } 5^\circ\text{C} \\ = 0^\circ \text{ » } 43^\circ\text{C} \\ = 8^\circ \text{ » } 85^\circ\text{C} \end{cases}$ $r \gg v$ (5°C) $r \ll v$ (85°C) температуры	Бесцветный	Разлагается в воде; растворяется в HCl ; аномальные интерференционные окраски		В соляных озерах; переотложенный в морских месторождениях солей; встречается в отдельных участках
3231 $2V_{Ng} \sim 57^\circ$; $r > v$ наклонная	Бесцветный	Выпадает из растворов, содержащих MgCl_2 ; теряет H_2O при $t > 200^\circ$; при выветривании переходит в эпсомит; пластинчатые двойники, высокая твердость	Карбонаты — одноосные, \ominus	Большой частью переотложенный в морских месторождениях калиевых солей; в ассоциации с галитом и сильвином
$2V_{Np} = 51^\circ 30'$; $r < v$	Бесцветный	Очень горький; малый уд. в.; в сухом воздухе выветривается и теряет воду		В соляных озерах; в поверхностной зоне морских соляных месторождений; образуется за счет кизерита
$2V_{Np} = 69^\circ 30' - 71^\circ$; $r < v$ сильная наклонная	Бесцветный	При нагревании теряет H_2O и образует белые корочки; не выветривается; низкие n и Δ	Вантгоффит — остается прозрачным при нагревании	Первичный в морских соляных месторождениях и соляных озерах; совместно с селитрой в пустынях; вторичный — в кианитовых солях
$2V_{Np} \sim 86^\circ$; $r \approx v$	Бесцветный	На воздухе покрывается белой корочкой		Вторичный в сульфатных калиевых месторождениях



№ п/п	Название, сингония, формула	Наиболее часто встречающиеся про- стые формы, двойни- ки, габитус, агрегаты	Спайность, твер- дость, уд. вес	Оптическая ориентировка	Показатель прелом- ления, двупрелом- ление
22	Лёвент, тетр., $2\text{Na}_2\text{SO}_4 \cdot 2\text{MgSO}_4 \cdot 5\text{H}_2\text{O}$	Зерна, столбики	# (001) ясн.; тв. 3,5; уд. в. 2,374	$Np \parallel c; Ne = Np$	$\frac{n_o = 1,490}{n_e = 1,471}$ $\ominus, \Delta = 0,019$
23	Шёнит (пикромерит), мон., $\text{K}_2\text{SO}_4 \cdot \text{MgSO}_4 \cdot 6\text{H}_2\text{O}$	{001}, {110}, {201} и др.; $\beta = 104^\circ 45'$; корочки	# {201} хор., # (001), (110) ясн.; тв. 2,5; уд. в. 2,030	$Np \wedge c = +13^\circ 30';$ $Nm \parallel b; \text{П. О. О.}$ (010); $Ng \wedge a = +1^\circ$ бисс.	$n_p = 1,4607$ $n_m = 1,4629$ $n_g = 1,4765$ $\oplus, \Delta = 0,0158$
24	Полигалит, трикл., $\text{K}_2\text{SO}_4 \cdot \text{MgSO}_4 \cdot 2\text{CaSO}_4 \cdot 2\text{H}_2\text{O}$	Устойчивые; $\diamond = (001)$ и (010), пластинчатые; зернистый таблит- чатор по (010); волокнистый $\parallel b$; плотный	# (100) хор.; по (010) отд.; тв. 3,5; уд. в. 2,775	$Na (100)$ $Ng' \wedge \diamond = 28^\circ;$ на (010) $Np' \wedge \diamond = 28^\circ$	$n_p = 1,548-1,547$ $n_m = 1,562-1,560$ $n_g = 1,567-1,567$ $\ominus, \Delta = 0,019-0,020$
25	Сингенит, мон., $\text{K}_2\text{SO}_4 \cdot \text{CaSO}_4 \cdot \text{H}_2\text{O}$	{100}, {hk0}, {h01}; $\beta = 104^\circ;$ $\diamond = (100)$	# (100) соверш., # {110} соверш. $105^\circ 30'$, (010) ясн.; тв. 2,5; уд. в. 2,579	$Np \wedge c = +87^\circ 45',$ бисс.; $Nm \wedge c = -2^\circ 15',$ П. О. О. \perp (010) ($t < 127^\circ$); $Ng \parallel b; Np \approx \perp (001)$	$n_p = 1,5010$ $n_m = 1,5166$ $n_g = 1,5176$ $\ominus, \Delta = 0,0166$ Изменяется с повышением тем
26	Гипс, мон., $\text{CaSO}_4 \cdot 2\text{H}_2\text{O}$	{010}, {110}, {111}; $\beta = 99^\circ;$ $\diamond = (100), (101),$ непластинчатые; таблитчатый по (010); зернистый; волокнистый; плотный	# (010) в. соверш.; # {111} соверш. $41^\circ 15'$, # (100) хор.; гибкий; тв. 1,5-2; уд. в. 2,32±	$Np \wedge c = -37^\circ 30';$ $Nm \parallel b; \text{П. О. О.}$ (010); $Ng \wedge c = +52^\circ 30',$ бисс.; $Ng \wedge [101] = +14^\circ;$ $l = (+)(-)$	$n_p = 1,5205$ $n_m = 1,5226$ $n_g = 1,5296$ $\oplus, \Delta = 0,0091$ Изменяется с повышением тем
27	Канинит, мон., $\text{KCl} \cdot \text{MgSO}_4 \cdot 3\text{H}_2\text{O}$	{001}, {111}, {111}; {010}, {100}, {110}, $\beta = 95^\circ;$ крепкий, тонко- зернистый; таблички по (001)	# (100) соверш., # {111} ясн. 54° ; тв. 2,5-3; уд. в. 2,132	$Np \wedge c = -8^\circ,$ бисс.; $Nm \parallel b, \text{П. О. О.}$ (010); $Ng \wedge a = +13^\circ$	$n_p = 1,494-1,495$ $n_m = 1,505-1,506$ $n_g = 1,516-1,520$ $\ominus, \Delta = 0,022-0,025$

Угол и дисперсия оптических осей	Окраска в шлифе, плеохроизм, абсорбция	Химические свойства, характерные особенности	Сходные минералы и их отличия	Парагенезис, генезис и условия нахождения
	Бесцветный, желтоватый, красноватый	Оптически аномальный	Тахгидрит — более высокий n	Локальный, чаще всего переотложенный в морских месторождениях солей; часто с вантгофитом и лангбейнитом
$2V_{Ng} \sim 48^\circ$; $r > v$	Бесцветный			В верхней части кайнитовых слоев; вторичный в богатых сульфатами калиевых месторождениях
$2V_{Np} = 70\text{--}62^\circ$; $r < v$	Бесцветный	Не выветривается; разлагается в H_2O		С ангидритом; в основном переотложенный в переходной зоне к галиту, сильвину, кизериту и к лангбейниту
$2V_{Np} 28^\circ 30' (t = 21,5^\circ)$; $r < v$ оч. сильная; $2V_{kp.} = 0^\circ$ при $t = 127^\circ$, $2V_{син.} = 0^\circ$ при $t = 178^\circ$ пературы	Бесцветный	В воде частично растворим; оптические свойства сильно меняются с повышением температуры		Переотложенный в морских соляных месторождениях
$2V_{Ng} = 58^\circ (t = 19^\circ)$; $r > v$ наклонная ($2V \sim 0^\circ$ при $t = 91^\circ$) пературы	Бесцветный	Мутнеет при нагревании; растворяется в HCl	Гидромагнезит — большее Δ	Наиболее ранний по времени выделения минерал морских соляных месторождений; часто переходит в ангидрит; вторичный в «гипсовой шляпе»; в глинах и мергелях за счет выветривания сульфидов; редко в рудных жилах
$2V_{Np} = 84^\circ 30'$; $r < v$ наклонная	Бесцветный	Разлагается при 76°		Первичный в морских соляных месторождениях; в зоне «гипсовой шляпы»; вторичный по кизериту, галиту, карналлиту и сильвину

НЕПРОЗРАЧНЫЕ ИЛИ ОЧЕНЬ СЛАБО

№ п/п	Название, сингония, формула	Наиболее часто встречающиеся про- стые формы, двой- ники, габитус, агрегаты	Спайность, твер- дость, уд. вес	Оптическая ориенти- ровка	Показатель прелом- ления, двупрелом- ление
28	Уголь, аморфный	Коломорфный, блески, пыль	Тв. 0,5—2,5; уд. в. $\sim 1,0$ —1,8	Изотропный	$n = 1,6$ —1,9
29	Графит, гекс., C	{0001}; листочки; зерна	# (0001) в. соверш.; гибкий; тв. 1—2; уд. в. $2,23 \pm$	$Np \parallel c; Ne = Np$	$n_o = 1,93$ —2,07 (красный) $\ominus, \Delta = \dots$
30	Пирротин, гекс., $Fe_{1-x}S$	{0001}; листочки; сплошные массы	# {1120} пл.; отд. по (0001); тв. 3,5—4,5; уд. в. $4,65 \pm$	Непрозрачный	
31	Пирит, куб., FeS_2	{100}, {210}; $\diamond \{110\}$; зерна	# {100} пл.; хруп- кий; тв. 6—6,5; уд. в. $5,0 \pm$	Непрозрачный	
32	Магнетит, куб., $FeO \cdot Fe_2O_3$	{111}, {110}; $\diamond = \{111\}$; зерна	{111} (отд.); тв. 5,5—6,5; уд. в. $5,175 \pm$	Непрозрачный	$n = 2,42$ Na (см. диаграмму на стр. 28)
33	Хромит, куб., $FeO \cdot Cr_2O_3$	{111}; зерна	Тв. 5,5; уд. в. $4,9 \pm$ Диаграмма на стр. 28	Изотропный	$n = 2,05$ (Fe, Mg) — — 2,16 (Fe) (см. диаграмму на стр. 28)
34	Гематит, триг., Fe_2O_3	{0001}, {1011}, $\{11\bar{2}0\}$ $\diamond = \{1011\}$, пластин- чатый, $\diamond = \{0001\}$; листочки, зернышки; землистый, оолиты	{1011} отд. 94° , (0001) отд.; тв. 5—6; уд. в. $5,26 \pm$	$Np \parallel c; Ne = Np;$ $l = (+)$ Рис. на стр. 42	$\lambda = 589$ —759 мкм; $n_o = 3,22$ —2,904 $n_e = 2,94$ —2,690 $\ominus, \Delta = 0,28$ —0,214 $r > v$ оч. сильная
35	Ильменит, триг., $FeO \cdot TiO_2$	{0001}, {0221} $\{1011\}; \diamond = \{1011\}$, пластинчатый; листочки, зерна	{1011} отд. $94^\circ 30'$; (0001) отд.; гибкий; тв. 5—6; уд. в. $4,75 \pm$	$Np \parallel c; Ne = Np$ Рис. на стр. 42	$n \gg 2,7$, \ominus, Δ оч. большое

ПРОСВЕЧИВАЮЩИЕ В ШЛИФАХ МИНЕРАЛЫ

№ 28—35

Угол и дисперсия оптических осей	Окраска в шлифе, плеохроизм, абсорбция	Химические свойства, характерные особенности	Сходные минералы и их отличия	Парагенезис, генезис и условия нахождения
	В отраженном свете матово-черный до коричневого; в шлифе просвечивает темно-коричневым до серого	Горит; частично растворим в KOH		В осадочных горных породах
	В отраженном свете блестящий серый; в очень тонких пластинках просвечивает зеленовато-серым; $No > Ne$ сильная	Плохо горит; пачкает руки	Молибденит — при нагревании выделяет SO_2 ; уголь — легко горит, частично растворяется в KOH	В метаморфизованных осадочных горных породах как органическая примесь
	В отраженном свете коричневато-бронзовый	При нагревании выделяет SO_2 , с HCl выделяет H_2S ; магнитен до $t = 348^\circ$	Пирит — медно-желтый	В основном магматический; встречается совместно с халькопиритом, магнетитом, ильменитом, иногда с пиритом
	В отраженном свете светлого медно-желтого цвета	П. п. т. выделяет SO_2 ; горит голубым пламенем; в порошке растворим в HNO_3	Марказит — двупреломляет в отраженном свете	В изверженных, метаморфических и осадочных горных породах
	В отраженном свете железо-черный	Растворим в HCl; сильно магнитен	Ильменит и хромит — нерастворимы в HCl	С другими железными рудами; магматический, метаморфический, гидротермальный, метасоматический
	Густо коричневый, почти непрозрачный		Магнетит — растворим в HCl	С оливином (серпентином)
	No коричневато-красный; Ne желтовато-красный; в тончайших пластинках серо-желтый, $No > Ne$	Слабо растворим в HCl; черта вишневая	Ильменит — черта коричневая, очень слабо растворим в HCl; гётит — светлый, коричневатый; лимонит — изотропный	С другими железными рудами; в изверженных горных породах в зоне контактов ого метаморфизма; пневматолитовый
	Коричневато-черный до гвоздично-коричневого, почти непрозрачный, $No \approx Ne$	В HCl нерастворим; черта коричневая до черной; при разрушении переходит в лейкоксен	Гематит — красного цвета; магнетит — растворим в HCl и магнитен	В авгитсодержащих основных изверженных горных породах

№ п/п	Название, сингония, формула	Наиболее часто встречающиеся про- стые формы, двой- ники, габитус, агрегаты	Спайность, твер- дость, уд. вес	Оптическая ориенти- ровка	Показатель прелом- ления, двупрелом- ление
36	Пирофанит, триг., $(Mn, Fe)O \cdot TiO_2$	{0001}; листочки	# {022} соверш.; тв. 5; уд. в. 4,54±	$Np \parallel c; Ne = Np;$ $l = (+)$	$n_o = 2,481$ $n_e = 2,21$ $\ominus, \Delta = 0,27$
37	Гейкилит, триг., $(Mg, Fe)O \cdot TiO_2$	{0001}, {5058}; зерна	(1010) отд., (0001) отд.; тв. 6; уд. в. 4,05±	$Np \parallel c; Ne = Np$	$n_o = 2,31$ $n_e = 1,95$ $\ominus, \Delta = 0,36$
38	Ильменорутил, тетр., TiO_2 с примесью Fe, Mn, Nb, Ta	{110}, (100), (hk0); $\diamond = (101)$; столбча- тый	# (110) ясн.; тв. 6; уд. в. 4,8±	$Ng \parallel c; Ne = Ng;$ $l = (+)$	$n \sim 2,55$ \oplus, Δ большое
39	Колумбит и танталит, ромб., $(Fe, Mn)O \cdot (Nb, Ta)_2O_5$	{100}, {h01}, {001}, {hk0}; $\diamond = \{021\}$ и {023}; плотный, лучистый	‡ (100) ясн; тв. 6—6,5; уд. в. 4,9—7,75 Рис. на стр. 76	$Np \parallel b;$ $Nm \parallel a, \text{П. О. О. (100)};$ $Ng \parallel c, \text{бисс.}$	Колум- бит Танта- лит $n_p = 2,40—2,24$ $n_m = 2,45—2,30$ $n_g = 2,53—2,41$ $\oplus, \Delta = 0,13—0,17$
40	Людвигит, ромб., $4(Mg \cdot Fe)O \cdot Fe_2O_3 \cdot$ B_2O_3	Радиально-волок- нистый $\parallel c$, лучистый	Вязкий, трудно раскалывается; тв. > 5; уд. в. 4,0±	$Np \parallel a;$ $Nm \parallel b, \text{П. О. О. (010)};$ $Ng \parallel c, \text{бисс.}$	$n_p \sim 1,85—1,84$ $n_m \sim 1,85—1,85$ $n_g \sim 2,02—1,98$ $\oplus, \Delta = 0,17—0,14$
41	Ильваит (лиеврит), ромб., $2CaO \cdot 4FeO \cdot Fe_2O_3$ $4SiO_2 \cdot H_2O$	{hk0}, {101}, {010}; стебельчатый, волок- нистый; плотный	# {010} ясн., # {001} пл., # {100} пк., тв. 5,5—6; уд. в. 4,1±	$Np \parallel b;$ $Nm \parallel a, \text{П. О. О. (100)};$ $Ng \parallel c, \text{бисс.},$ $l = (+)$	$n_p \sim 1,878$ $n_m = 1,890$ $n_g = 1,926$ $\oplus, \Delta = 0,048$
42	Энigmatит (косси- рит), трикл., $2Na_2O \cdot 6FeO \cdot$ $\cdot (Al, Fe)_2O_3 \cdot$ $\cdot 12(Si, Ti)O_2$	{010}, {100}, {hk0}, {001}, {021}; $\beta = 96^\circ 30'$; псевдо- моноклинный, подо- бен роговой обманке; $\diamond = (110)$, пластин- чатый	# {010} хор. } 66°15'; # {100} хор. } 66°15'; тв. 5,5; уд. в. 3,79±	$\text{П. О. О. } \approx (1\bar{1}\bar{0}),$ $Ng \wedge c \left\{ \begin{array}{l} (110) = 4—5^\circ \\ (1\bar{1}\bar{0}) \sim 45^\circ \\ (010) = 37^\circ \\ (100) = 30^\circ \end{array} \right.$	$n_p = 1,8$ $n_m \approx 1,80$ $n_g = 1,8$ $\oplus, \Delta = 0,006$
43	Рёнит, трикл., $0,5(Na, K)_2 \cdot 12(Mg,$ $Ca, Fe)O \cdot 5(Al, Fe)_2$ $O_3 \cdot 12(Si, Ti)O_2$	{010}, {110}, {001}, {111}; $\diamond = (1\bar{1}\bar{0})$; зерна, блестки	# {010} хор. } 66°; # {100} хор. } 66°; тв. 5,5; уд. в. 3,58±	$Ng' \wedge c \text{ в } (1\bar{1}\bar{0}) \sim 40^\circ,$ на разрезе $\perp c$ со следом \diamond по {110} $\sim 7^\circ$, $\text{П. О. О. } \approx \parallel (1\bar{1}\bar{0})$	$n_p = 1,808$ $n_m = 1,824$ $n_g = 1,840$ $\oplus, \Delta = 0,032$

Угол и дисперсия оптических осей	Окраска в шлифе, плеохроизм, абсорбция	Химические свойства, характерные особенности	Сходные минералы и их отличия	Парагенезис, генезис и условия нахождения
	Темно-красный до желтовато-красного; $No = Ne$	В горячей HCl слабо растворим; черта охряно-желтая		С марганцевыми рудами
	Красно-коричневый или пурпурный, почти непрозрачный; $Ne > No$ (?) слабая	В горячей HCl слабо растворим; черта пурпурно-коричневая		С рутилом и драгоценными камнями в россыпях
	No — коричневато-желтый; Ne — сине-зеленый; $Ne > No$	Растворим в HCl; черта светло-коричневая или серо-зеленая	Рутил — более светлый	В пегматитах
$2V_{Ng}$ большой	Колумбит Np — красно-коричневый; Nm — темный красно-коричневый; Ng — непрозрачный $Np < Nm < Ng$	Танталит желтый; красно-коричневый; темно-красно-коричнев.; $Np < Nm < Ng$	Открывается с $KHSO_4$	Железные руды С минералами F, Be и W в гранитных и сиенистовых пегматитах
$2V_{Ng}$ очень маленький; $r > v$ оч. сильная	$Np \sim Nm$ — темно-зеленый; Ng — темно-коричневый; красновато-коричневый почти непрозрачный во всех направлениях; $Np = Nm < Ng$	Растворим в кислотах; краснеет при нагревании на воздухе	Турмалин — одноосный	Не встречается с кварцем; пневматолитовый; в контактово-метаморфизованных известняках и железных рудах
$2V_{Ng} \sim 60^\circ$; $r < v$ оч. сильная	Np — очень темно-коричнево-желтый; Nm — очень темно-коричневый, непрозрачный; Ng — очень темно-зеленый, непрозрачный	С HCl дает студне-видный осадок	Гётит, гематит, псевдобрукит, энigmatит, базальтическая роговая обманка	С роговой обманкой, эпидотом, кварцем, железными рудами; встречается в зоне kontaktового метаморфизма
$2V_{Ng} = 32^\circ$; $r < v$	Np — светло-красно-коричневый; Nm — каштаново-коричневый; Ng — темно-коричнево-черный $Np < Nm < Ng$	Растворяется в HCl; П. О. О. делит почти пополам тупой угол (010); (100)	Базальтическая роговая обманка — имеет другую ориентировку по Δ к (110) и больше Δ	С эгирином, арфведсонитом; в щелочных (Na) изверженных горных породах
$2V > 70^\circ$; $r < v$	Np — зеленовато-коричневый; Nm — коричневый; Ng — темно-красно-коричневый до непрозрачного $Np < Nm < Ng$	Растворим в HCl	Титано-железистая сплюшка — не плеохроирует и не имеет спайности; энigmatит — другая окраска по Np	Магматический, образуется по роговой обманке и биотиту в щелочных базальтах

ОПТИЧЕСКИ ИЗОТРОПНЫЕ ИЛИ

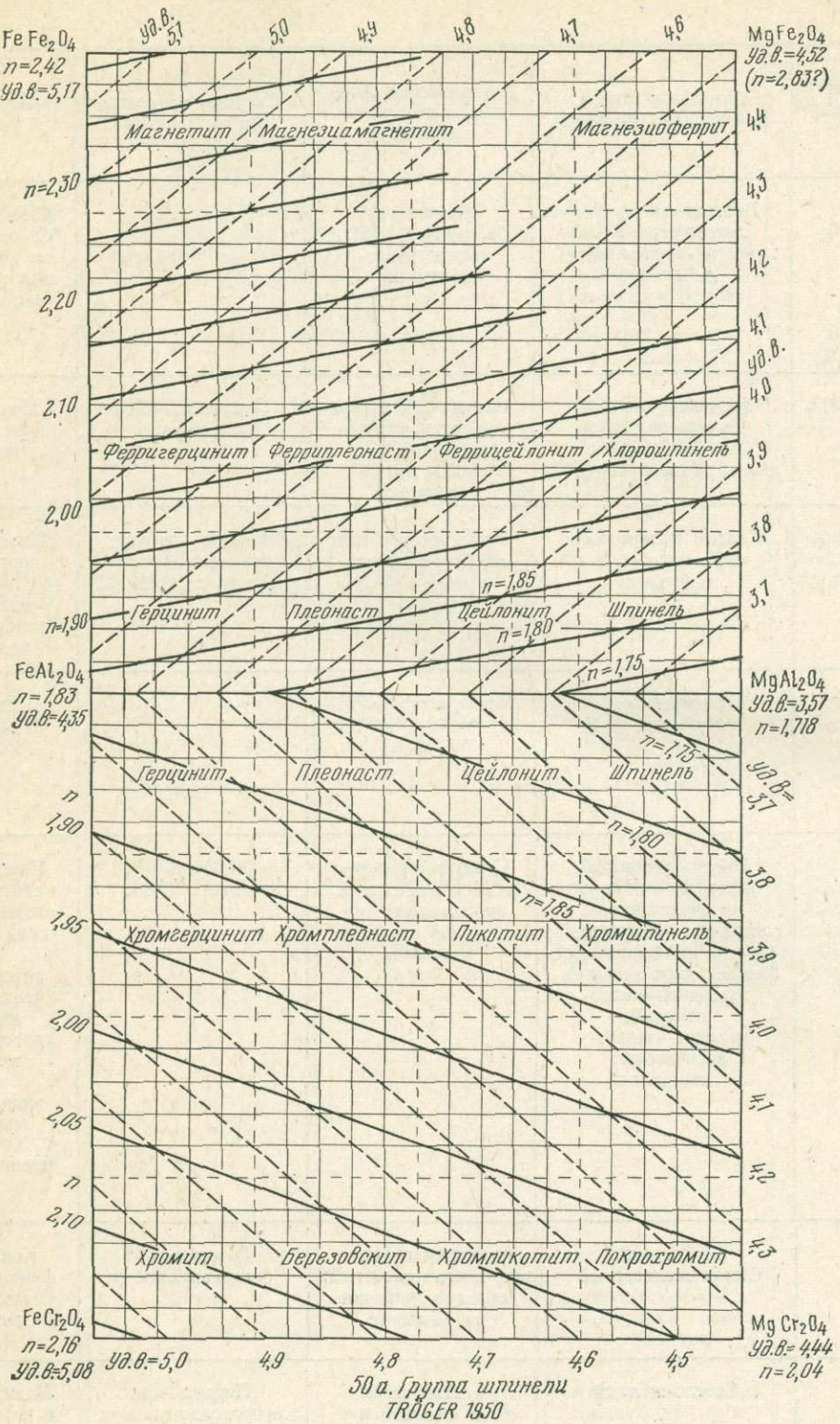
№ п/п	Название, сингония, формула	Наиболее часто встречающиеся про- стые формы, двойники, габитус, агрегаты	Спайность, твердость, уд. вес	Оптическая ориентировка	Показатель прелом- ления, двупреломление
44	Сфалерит, куб., ZnS	{110}, {311}; $\diamond = \{111\}$ и {211}; зернистый	# {110} соверш.; тв. 3,5—4; 4,09 (чистый) 3,94 (для обогащенного Fe) уд. в. {	Изотропный; иногда слабое двупреломле- ние от внутренних напряжений	$n = \begin{cases} 2,396 & \text{Na (чистый)} \\ 2,47 & \text{Na (при 28\% FeS)} \end{cases}$
45	Флюорит, куб., CaF_2	{001}, {111}; зерна, агрегаты, вкрапления	# {111} соверш.; пластичный; тв. 4, уд. в. $3,18 \pm$	Изотропный; часто аномальный: слабое двупреломление; с $Np \perp (001)$; ромбический	$n_{20^\circ} = 1,4338_{\pm} Na;$
46	Криолит, мон., $3NaF \cdot AlF_3$	{110}, {001}, {100}, {101}; $\beta = 90^\circ 15'$; $\diamond = \{110\}$, (001), {112}; пластинчатый; псевдокубический	# {001} соверш., # {110} хор.; отд.? тв. 2,5—3; уд. в. $2,98 \pm$	$Np \parallel b$, П. О. О. \perp (010); $Nm \wedge a = +44^\circ$; $Ng \wedge c = +44^\circ$, бисс.	$n_p = 1,3385$ $n_m = 1,3389$ $n_g = 1,3396$ $\oplus, \Delta = 0,0011$
47	Периклаз, куб., $(Mg, Fe, Mn, Zn) O$	{111}, {100}; зерна	# {100} соверш., # {111} пл.; тв. 5,5—6; уд. в. $3,56 \pm$	Изотропный; редко аномальный на плоскости $\parallel (110)$	$n = 1,730—1,739$
48	Мanganозит, куб., $(Mn, Mg, Fe) O$	{111}, {100}; зерна	\pm {100} соверш.; тв. 5,5; уд. в. $5,36 \pm$	Изотропный	$n = \begin{cases} 2,19 & (\text{зелен.}) \\ 2,16 & (\text{Li}) \end{cases}$
49	Известь, куб., CaO	{100}	# {100} соверш.; тв. 3—4; уд. в. $3,32 \pm$	Изотропная	$n = 1,838$
50	Группа шпинели, куб., $(Mg, Fe, Zn) O$ $(Al, Fe, Cr)_2O_3$	{111}, редко {110}; $\diamond = \{111\}$; зерна	# {111} яс.; тв. 7,5—8; уд. в. 3,6—4,6. Диаграмма на стр. 28	Изотропные	$n = 1,713—2,05$. Диаграмма на стр. 28 и 34
51	Хромит, куб., $FeO \cdot Cr_2O_3$	{111}; зерна	Тв. 5,5; уд. в. $4,9 \pm$ Диаграмма на стр. 28	Изотропный	$n = \begin{cases} 2,05 & (\text{Fe, Mg}) O \\ 2,16 & (\text{Fe}) O \end{cases}$ Диаграмма на стр. 28

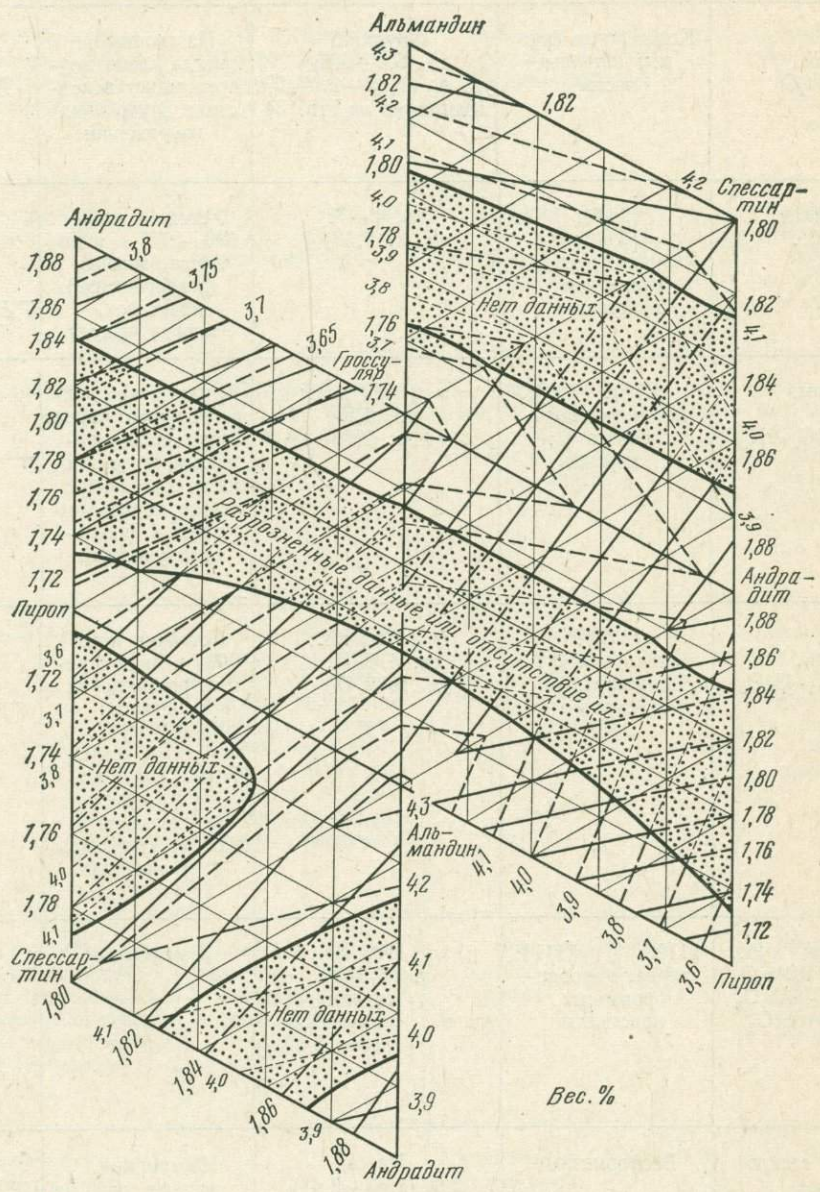
КУБИЧЕСКИЕ МИНЕРАЛЫ

Угол и дисперсия оптических осей	Окраска в шлифе, плеохроизм, абсорбция	Химические свойства, характерные особенности	Сходные минералы и их отличия	Парагенезис, генезис и условия нахождения
	Бесцветный; желтовато-коричневатый при содержании FeS до 30 %	Растворяется в концентрированной HCl; в окислительном пламени на угле дает белый налет окиси цинка; в отраженном свете обнаруживает полуметаллический блеск	Рутил—двупреломляет	Встречается с другими сульфидами в гидротермальных месторождениях и контактово-метаморфизованных известняках
	Бесцветный; иногда зональный; синий или пурпурный, плеохроичные дворики	Разлагается в H_2SO_4	Опал—не имеет #; содалит—высокий <i>n</i> и другая #; криолит—низкий <i>n</i> и другая #	Очень редко первичномагматический; пневматолитовый вместе с другими фторидами; чаще всего гидротермальный
$2V_{Ng} = 43^\circ$; $r < v$	Бесцветный	Полностью растворяется в концентрированной H_2SO_4 , частично в HCl	Виллиомит—плеохроирует; флюорит—высокий <i>n</i> и другая #	Встречается в пегматитах с сульфидами, окислами и фторидами
	Бесцветный, коричневатый	Растворяется в HCl; при действии $AgNO_3$ выпадает Ag_2O , переходит в бруцит	Более светлая шпинель—не имеет спайности	С монтичеллитом и шпинелью в контактово-метаморфизованных известняках и доломитах; редкий
	Изумрудно-зеленый	Плохо растворяется в кислотах; п. п. быстро окисляется и чернеет		Только в марганцево-(цинково)-скarnовых месторождениях, в метаморфизованных известняках
	Бесцветная	Разлагается во влажном воздухе; легко растворяется в кислотах		В вулканических карбонатных породах; чрезвычайно редкая!
	Шпинель—бесцветная, розовая, синеватая; хлорошпинель—бледно-зеленоватая; плеонаст—светло-серый, серо-зеленый; герцинит, ганит—темно-зеленый; пикотит—желтый, коричневый	Только разности, богатые железом, подвергаются действию кислот; открываются с $KHSO_4$; не имеют (001)	Периклаз—#(001); гранат—нет (111)	В контактово-регионально-метаморфизованных известковисто-мергелистых породах; в песках и россыпях; цейлонит также в базальтах
	Очень темно-коричневый; почти непрозрачный	Открывается только с селитрой	Магнетит—растворяется в HCl	Магматический в перidotитах; редко в метаморфизованных доломитах

№ п/п	Название, сингония, формула	Наиболее часто встречающиеся простые формы, двойники, табитус, агрегаты	Спайность, твердость, уд. вес	Оптическая ориентировка	Показатель прелом- ления, двупрелом- ление
52	Перовскит, псевдо- куб., $\text{CaO} \cdot \text{TiO}_2$	{001}, {111}; октаэдры, кубы; скелетные формы	# {100} ясн.; тв. 5,5; уд. в. $4,00 \pm$	Мелкие кристаллы изотропны; устойчив в виде моноклинных пластиночек (100) куб. = (110) мон.; $Ng \parallel a$ куб.; П. О. О. (010) куб.; $Nm \parallel b$, $Ng \wedge a$ мон. = 45°	$n=2,30-2,34-2,38$ (чистый) (содерж. Ce) $\oplus, \Delta=0,002$
53	Дизаналит, куб., титано-ниобат Ca, Ce, Na, Fe	{001}; зерна	# {001} ясн.; тв. 5—6; уд. в. $4,13 \pm$	Изотропный; иногда аномально-двупре- ломляющие ромб. поля: $Ng \parallel b$; П. О. О. (001)	$n=2,33$ (иногда $\oplus, \Delta=$ —низкое)
54	Группа пирохлора, куб., ниобаты (Ca, Na) с Ce, Y, Fe, Ti	{111} пирохлор и пирррит, (110) коппил; зерна	# {111} пл.; тв. 5—6; пирррит 4,20 пирохлор 4,30 коппил 4,50 уд. в.	Изотропный	Пирррит $\{ n=2,12-$ Коппил $\{ n=2,18$ Пирохлор $n=1,96-2,02$
55	Борацит, псевдокуб., $5\text{MgO} \cdot 7\text{B}_2\text{O}_3 \cdot \text{MgCl}_2$	{100}, {111}, {1\bar{1}\bar{1}}, {110}; \diamond оч. редко; натеки, чечевицы; «стассфуртит» (волокнистый)	Раковистый излом (стассфуртит уд. в. $2,90 \pm$); тв. 7; уд. в. $2,95 \pm$	Устойчив ниже 265° в виде ромб. пла- стиночек по (110); че- шуйки; $Ng \perp (110)$, П. О. О. (001); стас- фуртит; $l = (+)$	$n_p=1,658-1,662$ $n_m=1,662-1,667$ $n_g=1,668-1,673$ $\oplus, \Delta=0,010-0,011$
56	Группа граната, куб., Пироп 3MgO Альмандин 3FeO Спессартин 3MnO Гроссуляр 3CaO Андродит $3\text{CaO} \cdot \text{Fe}_2\text{O}_3 \cdot 3\text{SiO}_2$ Меланит, по составу аналогичный андра- диту, но содержа- щий Ti	{110}, {112}; видимых \diamond нет; зерна	# {110} пл.; хрупкий; тв. 6,5—7; уд. в. $3,4-4,3 \pm$. Диаграмма на стр. 29	Большей частью изотропны; гроссу- ляр и андродит часто обладают ано- мальным двупре- ломлением (отдель- ные участки)	n пиропа $\sim 1,705$, n альмандин $\sim 1,830$, n спессартина $\sim 1,800$, n гроссуляра $\sim 1,735$, n андродита $\sim 1,895$, n меланита $\sim 1,86-$ $-2,00$. Диаграмма на стр. 29
57	Гибшит, куб., $3\text{CaO} \cdot \text{Al}_2\text{O}_3 \cdot 2\text{SiO}_2 \cdot 2\text{H}_2\text{O}$	{111}, редко {110}; зерна	Спайность отсутствует; тв. 6; уд. в. $3,05 \pm$	Изотропный, аномальное двупреломление в секторах, как у гроссуляря	$n=1,671-1,682$
58	Беккелит, куб., $3\text{CaO} \cdot 2(\text{Ce, La, Dy})_2\text{O}_3 \cdot 3\text{SiO}_2$	{111}, {110}, зерна	# (100) ясн.; тв. 5; уд. в. $4,14 \pm$	Изотропный, иногда аномальный: круп- ные кристаллы слабо двупрелом- ляют	$n=1,812$

Угол и дисперсия оптических осей	Окраска в шлифе, плеохроизм, абсорбция	Химические свойства, характерные особенности	Сходные минералы и их отличия	Парагенезис, генезис и условия нахождения
$2V \sim 90^\circ;$ $r > v$ около Ng	Бесцветный до фиолетово-серого или красно-коричневого; зональный; $Ng > Np$ слабая	Разлагается в горячей H_2SO_4 ; иногда радиоактивный		С мелилитом в богатых Ca основных эфузивах и контактово-измененных известняках; в хлоритовых и тальковых сланцах
(Иногда $2V \sim 90^\circ$)	Коричнево-желтый до серо-зеленого; ($Np < Ng$) иногда зональный (001)	Разлагается в горячей концентрированной H_2SO_4 ; иногда радиоактивный	Перовскит—более распространен	Контактово-метаморфический в известняках; редкий!
	Желтый до красного; часто пятнистый и зональный	Разлагается в горячей концентрированной H_2SO_4	Шпинель—тверже; беккелит—растворяется в горячей HCl	Пирохлор в фойяитах; пиррит—пегматитово-пневматолитовый; коплит—контактово-метаморфический в известняках; редкие!
$2V_{Ng} = 83^\circ$	Бесцветный, зеленоватый	Растворяется в HCl		В соляных месторождениях, особенно в гипсовой шляпе
	Пироп—розовый; альмандин—бледно-розовый; спессаргин—желтоватый; гроссуляр—бесцветный, бледно-желто-зеленый; андродит—желто-зеленый; меланит—желто-коричневый, зональный	С трудом растворяются в кислотах; иногда имеют зональное строение	Шпинель—имеет (111)	Пироп встречен в серпентинитах и эклогитах; альмандин метаморфический в гнейсах, слюдяных сланцах; спессаргин—магматический, пегматитовый метаморфический; гроссуляр—контактово-метаморфический в известняках; андродит—контактово-метаморфический в скарнах; меланит—магматический (фонолиты)
	Бесцветный; слегка желтоватый	Растворим в кислотах; иногда слоистый; образует корочки на меланите	Гроссуляр—более высокий n	Контактово-метаморфический в известняках, мергелях; при резорбции также в фонолитах и др.
(Иногда одноосный, Θ)	Светло-желтый	Растворяется в кипящей и горячей HCl	Пиррит—при непродолжительном кипячении нерастворим; шпинель—более твердая	Магматический, только в нефелиновых породах; редкий





56. Группа граната
KENNEDY 1947 (Am. Min. 32, 570)

№ п/п	Название, сингония, формула	Наиболее часто встречающиеся простые формы, двойники, габитус, агрегаты	Спайность, твердость, уд. вес	Оптическая ориентировка	Показатель преломления, двупреломление
59	Опал, аморфный, $\text{SiO}_2 + \text{nH}_2\text{O}$	Коллоидные фор- мы; натечные массы	Хрупкий; тв. 5,5—6,5; уд. в. (1,9) — 2,0 — 2,2 Диаграмма на стр. 34	Изотропный; иногда слабо дву- преломляет вслед- ствие внутренних напряжений	$n=1,44-1,46$ (иногда от $n=1,40$). Диаграмма на стр. 34
60	β -кристобаллит, псевдокуб., SiO_2	{111}; $\diamond=\{111\}$; таб- лички, зерна, скелетные кристаллы	Тв. 6—7; уд. в. $2,33 \pm$	Устойчив ниже 220—275° в виде тетрагональных (ромбических?) пластиночек, иногда чешуек	$n=1,486$ (метастабильный) $n_e=1,484$ $n_o=1,487$ $\ominus, \Delta=0,001$ до 0,005
61	Анальцим, куб., $\text{Na}_2\text{O} \cdot \text{Al}_2\text{O}_3 \cdot 4\text{SiO}_2 \cdot 2\text{H}_2\text{O}$	{211}, {100}; нет четко выра- женных \diamond ; корочки	# {001} ясн.; тв. 5,5; уд. в. $2,25 \pm$	Крупные кристал- лы большей частью изотропны; кри- сталлы в дружах часто аномальны; слабое двупрелом- ление в отдель- ных участках	$n=1,487$ $n_p=n_e=1,486$ $n_g=n_o=1,487$ $\ominus, \Delta=0,001$
62	Лейцит, псевдокуб., $(\text{K}, \text{Na})_2\text{O} \cdot \text{Al}_2\text{O}_3 \cdot 4\text{SiO}_2$	{112}; нет четких \diamond ; шарообразные зерна	# {110} пл.; тв. 5,5—6; уд. в. $2,47 \pm$	Устойчив ниже 603° в виде агрега- тата ромбических пластиночек: $\parallel (110)$ куб. = = $\parallel (110)$ ромб., П. О. О. $\parallel (100)$; $Ng \parallel a$, бисс.; мелкие метаста- бильные кристаллы изотропны	$n_o=n_p=1,508$ $n_m \approx 1,508$ $n_e=n_g=1,509$ $\oplus, \Delta=0,001$
63	Группа содалита, куб., содалит $2\text{NaCl} \cdot 3\text{Na}_2\text{O}$ нозеан $2\text{Na}_2\text{SO}_4 \cdot 3\text{Al}_2\text{O}_3$ гаюин $2\text{CaSO}_4 \cdot 6\text{SiO}_2$	{110}; $\diamond=\{111\}$; зерна, корроди- рованные кристаллы	# {110} ясн. тв. 5,5—6 уд. в. { содалит 2,29 нозеан 2,30 гаюин 2,46}	Изотропный	n содалита= = 1,483—(1,487), n нозеана=1,495, n гаюина= = 1,496—1,507
64	Вулканическое стекло Липаритовое Пехштейн Дацитовое Трахитовое Андерзитовое Лейцито-тефритовое Базальтовое	Бесформенные	Уд. в. 2,37 (2,33—2,41) 2,34 (2,32—2,37) 2,50 (2,45—2,55) 2,45 (2,43—2,47) 2,47 (2,40—2,57) 2,55 (2,52—2,58) 2,77 (2,70—2,85)	Изотропные, иногда слабо двуправеломляют вследствие вну- тренних напря- жений	$n=$ 1,492(1,48—1,51) 1,500(1,492—1,506) 1,511(1,504—1,529) 1,512(1,488—1,527) 1,512(1,489—1,529) 1,550(1,525—1,580) 1,575(1,506—1,612)

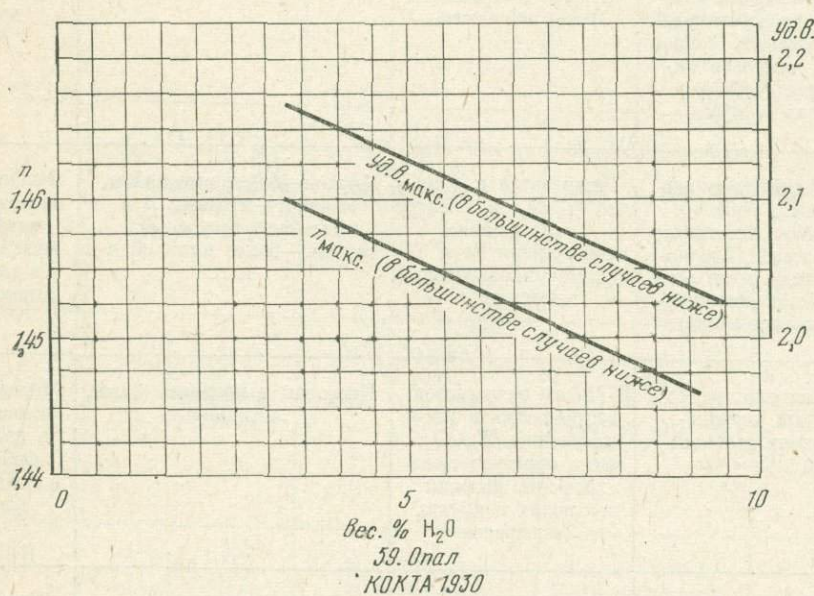
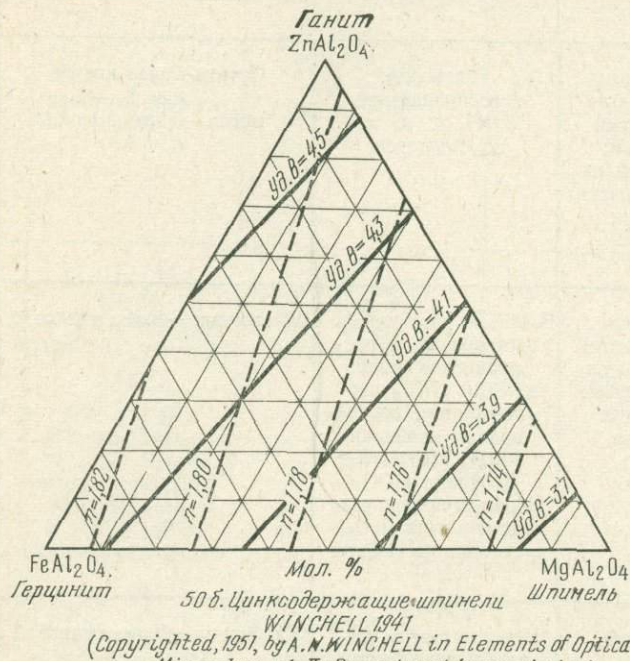
Угол и дисперсия оптических осей	Окраска в шлифе, плеохроизм, абсорбция	Химические свойства, характерные особенности	Сходные минералы и их отличия	Парагенезис, генезис и условия нахождения
	Бесцветный; мутно-желтоватый или красноватый от гидроокислов железа	В HF и горячей KOH растворяется без остатка	Анальцим, содалит, стекло, канадский бальзам—больший n	С тридимитом и цеолитами; никогда не встречается в глубинных породах и кристаллических сланцах
Аномальный: $2V_{Np}=27^\circ$	Бесцветный (мутный)	Растворим в кипящей Na_2CO_3 ; образует скелетные формы	Тридимит—не дает скелетных форм и образуется при более низкой температуре	Пневматолитовый, в пустотах и вокруг включений; не встречается в глубинных породах и кристаллических сланцах
($2V_{Np}$ очень малый)	Бесцветный	Желатинизирует с HCl; при нагревании мутнеет	Минералы группы содалита—другая # и микроструктура. Стекло и опал—не имеют #	Образуется на последних стадиях магматического процесса, чаще гидротермальный, в щелочных породах; при выветривании гидратизируется; встречается в рудных жилах
$2V_{Ng}$ очень малый до 0° , в этом случае псевдотетрагональный	Бесцветный	В HCl растворяется с выделением порошковатого кремнезема; содержит включения минералов, обусловленные скелетным ростом; в глубинных породах иногда псевдоморфозы по лейциту—псевдолейцит	Содалит—более низкий n , отсутствуют # и аномально двупреломляющие пластинки	Магматический, в калиевых излившихся породах вместе с нефелином и содалитом; никогда не встречается с кварцем: в метаморфических породах неизвестен
	Чаще всего бесцветный; также зелено-ватый, красноватый, синеватый или серый; части черные края и пятнышки	Прекрасно желатинизирует с уксусной кислотой; дает реакции на Cl' или SO_4''	Флюорит—более низкий n , анальцим—плохая # по (001)	Магматический, в щелочных горных породах; никогда не встречается вместе с кварцем и в метаморфических сланцах
	Бесцветные, бледно-желтые, бледно-коричневые; основные члены от светлых до кофейно-коричневых		Уд. в. Кварцевое стекло 2,203 Ортоклазовое » 2,351 Лейцитовое » 2,410 Альбитовое » 2,382 $\text{Ab}_{50}\text{An}_{50}$ » 2,533 Анортитовое » 2,700 Энстатитовое » 2,743 Роговообманковое » 2,826 Оlivиновое » 2,831 Диопсидовое » 2,830 Авгитовое » 2,835	В основной массе излившихся пород, также в жильных породах, особенно в зальбандах жил; никогда не встречаются в глубинных и метаморфических породах

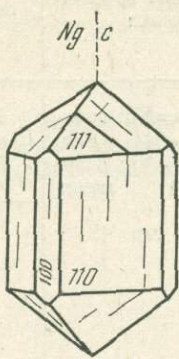
ОПТИЧЕСКИ ОДНООСНЫЕ

№ п/п	Название, сингония, формула	Наиболее часто встречающиеся простые формы, двойники, габи- тус, агрегаты	Спайность, твердость, уд. вес	Оптическая ориентировка	Показатель преломления, двупреломление
65	Касситерит, тетр., SnO_2	{110}, {hk0}, {111}; $\diamond=(101)$, пластиначатый; короткие призмы, зерна	# {100} ясн., # {110} пл., тв. 6—7; уд. в. $7,03\pm$	$Ng \parallel c$; $Ne=Ng$ Рис. на стр. 35	$n_o=1,997-2,001$ $n_e=2,093-2,098$ $\oplus, \Delta=0,096-0,097$
66	Рутил, тетр., TiO_2	{110}, {100}, {hk0}; $\diamond(101)$, пласти- ничатый; $c\wedge c=65^\circ 30'$ $\diamond(301)$; $c\wedge c=54^\circ 45'$; короткостолбча- тый, вытянут $\parallel c$, зерна; сагенито- вая решетка= $\diamond(101)+(301)$	# {110} соверш., # {100} хор.; тв. 6—6,5; уд. в. $4,32\pm$	$Ng \parallel c$; $Ne=Ng$, $l=(+)$ Рис. на стр. 35	$n_o=2,609-2,616$ $n_e=2,895-2,903$ } Na $\oplus, \Delta=0,286-2,287$ $r < v$ сильная
67	Анатаз, тетр., TiO_2	{111}, {hkl}, {001}; острые пирамиды или таблички по {001}	# {001} соверш. } $68^\circ 30''$; # {111} соверш. } тв. 5,5—6; уд. в. $3,90\pm$	$Np \parallel c$; $Ne=Np$; $Ng \parallel (001)$ Рис. на стр. 35	$n_o=2,561-2,562$ } Na $n_e=2,488-2,489$ } $\oplus, \Delta=0,073-0,073$ Дисперсия Δ $r < v$ сильная
68	Ксенотим, тетр., $\text{Y}_2\text{O}_3 \cdot \text{P}_2\text{O}_5$	{111}, {110}, {100}; $\diamond=(101)$; короткостолбчатый, зерна	# {110} хор.; тв. 4—5; уд. в. $4,55\pm$	$Ng \parallel c$; $Ne=Ng$ Рис. на стр. 35	$n_o=1,721-1,720$ $n_e=1,816-1,827$ $\oplus, \Delta=0,095-0,107$
69	Циркон, тетр., $\text{ZrO}_2 \cdot \text{SiO}_2$	{110}, {111}, {100}, {131}; зерна столбчатые до округлых	# {110} ясн.; тв. 7,5; уд. в. $4,70\pm$	$Ng \parallel c$; $Ne=Ng$, $l=(+)$ Рис. на стр. 35	$n_o=1,924-1,960$ $n_e=1,968-2,015$ $\oplus, \Delta=0,044-0,055$ При метамиктном распаде: $n \rightarrow 1,826, \Delta \rightarrow 0,000$
70	Безуван (идокраз), тетр., $10\text{CaO} \cdot 2(\text{Mg} \cdot \text{Fe})\text{O}$ $2\text{Al}_2\text{O}_3 \cdot 9\text{SiO}_2 \cdot 2\text{H}_2\text{O}$	{110}, {100}, {111}, {001}; зернистый, вытянут $\parallel c$	# {100} пл., # {110} пл.; тв. 6,5; уд. в. $3,40\pm$	$Np \parallel c$; $Ne=Np$. Зоны нарастания оптически неод- нородны, угасает участками Рис. на стр. 35	$n_o=1,705-1,738$ $n_e=1,701-1,732$ $\ominus, \Delta=0,004-0,006$ Вилюйт $\oplus, \Delta=0,005$ Диаграмма на стр. 45

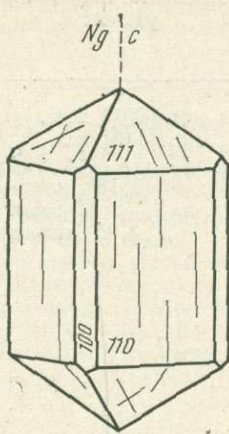
ТЕТРАГОНАЛЬНЫЕ МИНЕРАЛЫ

Угол и дисперсия оптических осей	Окраска в шлифе, плеохроизм, абсорбция	Химические свойства, характерные особенности	Сходные минералы и их отличия	Парагенезис, генезис и условия нахождения
Редко аномальный; слабо двойосный; $r < v$	Бесцветный до желто-коричневого, редко красноватый или зеленоватый; характерно зональное распределение окраски; $No \approx Ne$ иногда; $No > Ne$ слабо	Растворим в расплавленной KOH, п. п. т. не плавится	Ортит—более низкие n и Δ , рутил—более высокие n и Δ	С фтористыми минералами; пневматолитовый, в гранитах и гранитных пегматитах
Иногда аномальный: небольшой угол оптических осей; П. О. О (110)	No —желтый до красно-коричневого; Ne —коричнево-желтый, желто-зеленый; для содержащих железо окраска усиливается; $Ne > No$ слабо	В HF не разлагается; растворяется в расплавленной соде; в KF и HKF_2 расплывается, сердцевидные двойники (301), коленчатые двойники (101) Образуется при разложении титанистых минералов (в лейкоксене)	Кассiterит—более низкое Δ	С ильменитом в пегматитах; изредка магматический (в гранитах, фойяитах и аортозитах); в метаморфических горных породах, особенно в амфиболитах; в песках и песчаниках
Иногда аномальный; малый угол оптических осей, особенно у темноокрашенных минералов	No —светло-синий, сине-зеленый Ne —темно-синий, зеленовато-синий; No —зеленовато-желтый, светлокоричневый; Ne —оранжевый, коричневый; зонально окрашен; $Ne > No$, редко $Ne < No$	Нерастворим в кислотах, разлагается в расплаве HKS_4 ; по анатазу образуются псевдоморфозы лейкоксена	Карборунд—более низкое Δ	Гидротермальный или продукт разложения титанистых минералов; в излившихся породах не обнаружен; встречается в песках и песчаниках
	Бесцветный до коричневатого; $No \approx Ne$, также $No < Ne$, тогда: No —розовый, бледно-коричнево-желтый; Ne —коричнево-желтый до зеленоватого	Разлагается в кипящей H_2SO_4 ; в спектре поглощения видны линии Er и Y; образует плеохроичные дворики	Циркон—более высокий n , монацит—меньший n и оптически двойосный, титанит—более высокий n и Δ	Магматический, в гранитах и сиенитах; в пегматитах и гидротермальный; накапливается в россыпях вместе с цирконом и монацитом
Часто аномальный: $2V_{Ng} \approx 10^\circ$	Бесцветный; редко бледный коричневатый или зеленоватый; $Ne \sim No$	В HF не разлагается; растворяется в расплавленном K_2CO_3 ; часто образует плеохроичные дворики в слюдах и других минералах	Ксенотит и монацит—более низкий n	Магматический, продукт ранней кристаллизации, в гранитах, сиенитах, фойяитах; устойчив в осадочных и метаморфических породах
Часто аномальный; $2V_{Np} = 17-33^\circ$; П. О. О. \perp (110)	Бесцветный; зеленоватый, коричневатый, желтоватый; $No \geqslant Ne$	Аномальные интерференционные окраски	Гранат (грессуляр); цоизит—имеет $\#$ и более низкий n	Контактово-метаморфический, встречается с гранатом, эпидотом, авгитом в пустотах и трещинах

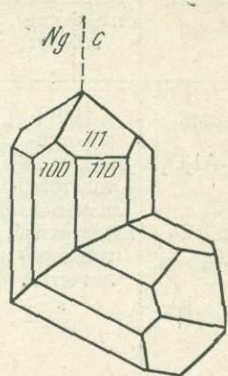




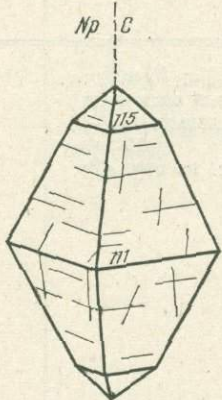
65. Касситерит



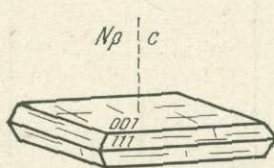
66а. Рутил



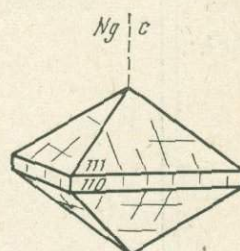
66б. Рутил



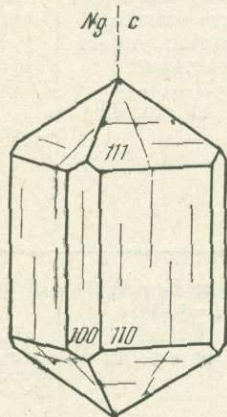
67а. Анатаз



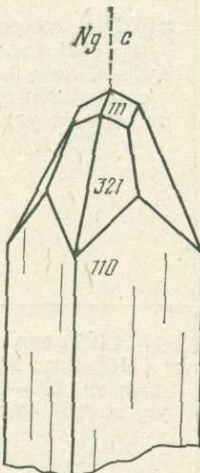
67б. Анатаз



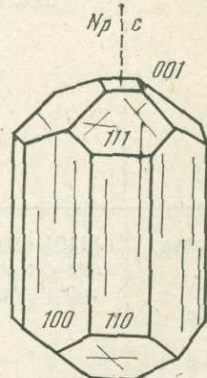
68. Ксенотит



69а. Циркон



69б. Циркон



70. Везувиан

№ п/п	Название, сингония, формула	Наиболее часто встречающиеся про- стые формы, двойники, габитус, агрегаты	Спайность, твердость, уд. вес	Оптическая ориен- тировка	Показатель прелом- ления, двупрелом- ление
71	Группа мелилита, тетр. Геленит $2\text{CaO}\cdot\text{Al}_2\text{O}_5\cdot\text{SiO}_2$. Мелилит \downarrow Окерманит $2\text{CaO}\cdot\text{MgO}\cdot 2\text{SiO}_2$	{001}, {100}; коротко- столбчатый, толстостол- бчатый, таблитчатый, тонкотаб- литчатый \uparrow геле- нит \downarrow окер- манит	# {001} ясн., # {110} ясн., тв. 5,5; уд. в. } 3,18 3,05 \downarrow манит \uparrow геленит	$Np \parallel c; Ne=Ng$; геле- $l=(+)(-)$ нит $Ng \parallel c; Ne=Ng$; окер- $l=(-)$ манит Рис. на стр. 42	Геле- нит \ominus Окер- манит \oplus $n_o=1,669-1,633$ $n_e=1,658-1,639$ $\Delta=0,011-0,006$ Мел.: иногда $\Delta \sim 0,000$ Диаграмма на стр. 44
72	Мелифанит (мелино- фан), тетр., $2\text{CaO}\cdot 2\text{BeO}\cdot 3\text{SiO}_2\cdot\text{NaF}$	{001}; листоватый	# {001} пл.; тв. 5,5; уд. в. 3,01±	$Np \parallel c; Ne=Ng$; иногда оптически аномальный; $l=(+)$ Рис. на стр. 42	$n_o=1,612$ $n_e=1,593$ $\ominus, \Delta=0,019$ $n_p=1,593$ $n_m=1,612$ $n_g=1,613$ $\ominus, \Delta=0,020$
73	Апофиллит, тетр., $4\text{CaO}\cdot 4\text{SiO}_2\cdot 8\text{H}_2\text{O}\cdot \text{KF}$	{100}, {111}, {001}; таблитчатый; зернистый или столбчатый	#(001) в. соверш., # {110} ясн.; кубики, слоистый, столбчатый $\parallel c$; тв. 4,5-5; уд. в. 2,36±	$Ng \parallel c$ (редко $Np \parallel c$); $Ne=Ng$ или Np ; иногда оптически аномальный; угасает участками; $l=(+)(-)$ Рис. на стр. 42	Боль- шой Редко частью $n_o=1,5345-1,5445$ $n_e=1,5365-1,5439$ $\oplus, \Delta=0,0020-$ — $\ominus 0,0006$ также $n_o \sim n_e = 1,542$
74	Группа скаполита, тетр. Мариалит 0—20% Me Дипир 20—50% Me Мицционит 50—80% Me Мейонит 80—100% Me	{110} {100} {111}; нет \diamond ; зернистые, короткостолбчатые	# {100} хор., # {110} ясн.; хруп- кий; тв. 5,5-6; уд. в. 2,54—2,81	$Np \parallel c; Ne=Ng$; $l=(-)$ Рис. на стр. 42	Мария- лит Мейонит $n_o=1,539-1,596$ $n_e=1,537-1,557$ $\ominus, \Delta=0,002-0,039$ Диаграмма на стр. 45

Угол и дисперсия оптических осей	Окраска в шлифе, плеохроизм, абсорбция	Химические свойства, характерные особенности	Сходные минералы и их отличия	Парагенезис, генезис и условия нахождения
	Бесцветный, также желтоватый или серый, тогда $No < Ne$ слабая	Образует студневидный осадок с HCl; мелилит в большинстве случаев зональный: ядро часто почти изотропно, внешняя часть, обогащенная геленитом, характеризуется аномальными интерференционными окрасками темно-голубого цвета	С геленитом: цоизит, везувиан—большой n ; апатит—гексагональный облик; с мелилитом: стекло и опал—имеют низкий n	Геленит—контактово-метаморфический, в мраморах. Мелилит—магматический, только в богатых Ca ультраосновных породах, в основном с первоскитом. Окерманит—только искусственный, в шлаках
Часто аномальный; $2V_{Np} < 22^\circ$	No —светло-коричневато-желтый; Ne —светло-зелено-вато-желтый; $Ne < No$	В кислотах нерастворим	Сходные минералы—двуосные	Пегматитово-пневматолитовый, в фойяитовых пегматитах
Часто аномальный двуосный	Бесцветный	В HCl разлагается с выделением студневидного кремнезема; при прокаливании мутнеет	Одноосные цеолиты—не имеют спайности по азису	Гидротермальный, в пустотах базальтовых лав; редко встречается в гранитах или рудных жилах
	Бесцветный; иногда желтоватый; $No > Ne$ слабая	В HCl разлагается только частично: Ma $2\text{NaCl} \cdot 3\text{Na}_2\text{O} \cdot \downarrow \cdot 3\text{Al}_2\text{O}_3 \cdot 18\text{SiO}_2$ Me $\text{CaCO}_3 \cdot 6\text{CaO} \cdot 6\text{Al}_2\text{O}_3 \cdot 12\text{SiO}_2$	Андалузит—большой n ; полевые шпаты—косое погасание	Мариалит—пневматолитовый, в туфах. Дипир—контактово-метаморфический, в сланцах. Мицонит—контактово-метаморфический, пегматитовый, постмагматический—«сессорит». Мейонит—контактово-метаморфический, в известняках

ОПТИЧЕСКИ ОДНООСНЫЕ ГЕКСАГОНАЛЬНЫЕ

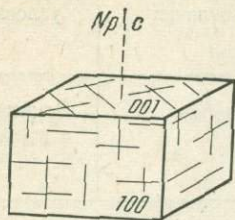
№ п/п	Название, сингония, формула	Наиболее часто встречающиеся простые формы, двойники, габитус, агрегаты	Спайность, твердость, уд. вес	Оптическая ориентировка	Показатель преломле- ния, двупреломле- ние
75	Кёненит, т rig., $2\text{MgCl}_2 \cdot 3\text{MgO} \cdot \text{Al}_2\text{O}_3 \cdot 6\text{H}_2\text{O}$	{001}; бочкообразный листоватый	#(0001) в. соверш.; гибкий, как кожа; тв. <1 ; уд. в. $1,98 \pm$	$Ng \parallel c; Ne=Ng;$ $l=(-)$ Рис. на стр. 42	$n_o=1,52$ $n_e \approx 1,55$ $\ominus, \Delta=0,03$
76	Корунд, т rig., $\alpha\text{-Al}_2\text{O}_3$	{0001}, {0221}, {2241}, $\diamond=\{10\bar{1}\}$ и $\diamond=(0001)$; округлые зерна	{10\bar{1}} отд. 94° , (0001) отд.; тв. 9; уд. в. $4,02 \pm$	$Np \parallel c; Ne=Np$ Рис. на стр. 42	$n_o=1,767-1,771_5$ $n_e=1,759_5-1,763$ $\ominus, \Delta=0,007_5-0,008_5$
77	Гематит, т rig., Fe_2O_3	{0001}, {101\bar{1}}, {11\bar{2}0}; $\diamond=\{10\bar{1}\}$, пластиначатый; $\diamond=(0001)$; листова- тый, зернистый; землистый, оолиты	{10\bar{1}} отд. 94° , (0001) отд.; тв. 5-6; уд. в. $5,26 \pm$	$Np \parallel c; Ne=Np;$ $l=(+)$ Рис. на стр. 42	$\lambda=589\text{м}\mu-759\text{м}\mu$ $n_o=3,22-2,904$ $n_e=2,94-2,690$ $\ominus, \Delta=0,28-0,214$ $r>v$ сильная
78	Ильменит, т rig., $\text{FeO} \cdot \text{TiO}_2$	{0001}, {0221}, {10\bar{1}\bar{1}}; $\diamond=\{10\bar{1}\}$, пластиначатый; листо- вый, зернистый	{10\bar{1}\bar{1}} отд. $94^\circ 30'$, (0001) отд.; гибкий; тв. 5-6; уд. в. $4,75 \pm$	$Np \parallel c; Ne=Np$ Рис. на стр. 42	$n \gg 2,7$; \ominus, Δ очень большое
79	Пирофанит, т rig., $(\text{Mn, Fe})\text{O} \cdot \text{TiO}_2$	{0001}; листочки	# {0221} соверш.; тв. 5; уд. в. $4,54 \pm$	$Np \parallel c; Ne=Np;$ $l=(+)$ Рис. на стр. 42	$n_o=2,481 \}$ $n_e=2,21 \}$ Na $\ominus, \Delta=0,27$

И ТРИГОНАЛЬНЫЕ МИНЕРАЛЫ

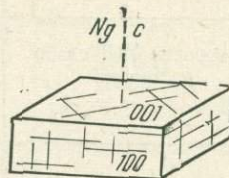
Угол и дисперсия оптических осей $2V_{Np}=0-32^\circ$	Окраска в шлифе, плеохроизм, абсорбция	Химические свойства, характерные особенности	Сходные минералы и их отличия	Парагенезис, генезис и условия нахождения
	Бесцветный, также коричневый или красный; No —красно-коричневый; Ne —бесцветный	Медленно разлагается в кипящей воде; содержит включения железного блеска		Вторичный, в ангидритовой шляпе и соляных залежах
	Бесцветный, также синий или красноватый; характерно зональное или пятнистое распределение окраски No { индиговый, синий, пурпурный; Ne { светло-синий, желто-зеленый, светло-желтый; $No>Ne$ слабая	Не плавится; открывается с бурой, фосфорными солями или HKS_4	Сапфирин—не имеет пластинчатых \diamond	Магматически-пневматолитовый; метаморфический, в породах, обогащенных алюминием; встречается в россыпях
	No —коричневато-красный; Ne —желтовато-красный; $No>Ne$ В тончайших листочках серо-желтый	Плохо растворим в HCl	Гётит—светлее и более коричневатый	Магматический; с другими железными рудами; пневматолитовый или контактово-метаморфический
	Темно-коричневый до гвоздично-коричневого; $No \approx Ne$	В HCl едва растворим; при изменении образуется лейкоксен	Гематит—более красный	Встречается с авгитом в основных изверженных горных породах
	Темно-красный до желтовато-красного; $No=Ne$	В горячей HCl плохо растворим		Известен из марганцевых скарновых месторождений

№ п/п	Название, сингония, формула	Наиболее часто встречающиеся про- стые формы, двой- ники, габитус, агрегаты	Спайность, твер- дость, уд. вес	Оптическая ориентировка	Показатель прелом- ления, двупрелом- ление
80	Гейкилит, триг., $(\text{Mg}, \text{Fe}) \text{O} \cdot \text{TiO}_2$	{0001}, {5058}; зерна	{1011} отд., (0001) отд., тв. 6; уд. в. 4,05±	$Np \parallel c; Ne=Ng$ Рис. на стр. 42	$n_o=2,31$ $n_e=1,95$ $\ominus, \Delta=0,36$
80a	Гейкилит, гекс., $6(\text{MgFe})\text{O} \cdot$ $8(\text{AlFe})_2\text{O}_3 \cdot$ TiO_2	Зерна, короткостолб- чатый; пластин- чатый (0001)	# (0001)	$Np \parallel c; Ne=No$	$\overset{\text{A}}{n_o=1,820-1,848-1,853}$ $\overset{\text{B}}{n_e=1,800-1,817-1,803}$ $\ominus, \Delta=0,020-0,031-0,050$
81	Кварц α — гекс., β — триг. $\leq 575^\circ$ SiO_2	{1011}, {0111}, {1010}; $\diamond=(0001)$; зернистый, удлинен- ный c	# {1011} и {0110} пл.; хрупкий; тв. 7; уд. в. 2,65±	$Ng \parallel c; Ne=Ng;$ $l=(+)$ Рис. на стр. 43	$n_o=1,5442$ $n_e=1,5533$ $\oplus, \Delta=0,0091$
82	Халцедон, скрыто- криSTALLический SiO_2	Не образует кри- сталлов; волокнисто- лучистый $\perp c$; плотные агрегаты	Хрупкий; тв. 6; уд. в. 2,60±	$Ng \parallel c; Ne=Ng;$ $l=(-)$ — халцедон, $l=(+)$ — кварцин Рис. на стр. 43	$n_o=1,530-1,533$ $n_e=1,538-1,543$ $\oplus, \Delta=0,008-0,010$
83	β -тридимит, псевдогекс, SiO_2	{0001}, {1011}; $\diamond=\{1016\}$ — тройник: (0001) \wedge (0001) = 35°	# отсутствует; тв. 6,5; уд. в. 2,31±	Устойчив ниже 130° ; сложен шестью ром- бическими полями; $(\diamond=11\bar{2}0)$; $Ng \parallel c,$ П.О.О. {1010} гекс., {(100) ромб. $l=(-)$ Рис. на стр. 43	Естествен- ный $n_p \sim 1,469$ $n_m \sim 1,469$ $n_g \sim 1,473$ $\oplus, \Delta=0,004$ Синтети- ческий $1,4772$ $1,4774$ $1,4805$ 0,0033
84	Брусит, триг., $(\text{Mg}, \text{Fe}) (\text{OH})_2$	{0001}; листоватый (0001); волокнистый	# (0001) в. соверш.; гибкий; тв. 2,5; уд. в. 2,38±	$Ng \parallel c; Ne=Ng;$ $l=(-)$ Рис. на стр. 43	$n_o=1,559-1,566$ $n_e=1,580-1,581$ $\oplus, \Delta=0,021-0,015$ $r > v$ сильная

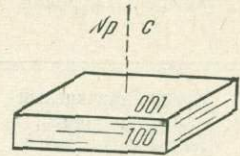
Угол и дисперсия оптических осей	Окраска в шлифе, плеохроизм, абсорбция	Химические свойства, характерные особенности	Сходные минералы и их отличия	Парагенезис, генезис и условия нахождения
	Красно-коричневый или пурпурный; $Ne > No(?)$ слабая	В горячей HCl слабо растворим		Встречается с рутилом в россыпях драгоценных камней
	A No —красный No —коричневый, Ne —слабоокрашенный No —желто-коричневый $No > Ne$	B	Биотит, ортит, гадолинит	С шпинелью, корундом и титаномагнетитом, в роговообманковых и корундовых породах
Часто аномальный: $2V_{Ng} = 8-12^\circ$ (до 24°)	Бесцветный	В HF растворим без остатка; дает фигуры травления; не образует продуктов разложения; присутствуют жидкые включения; первичные образования часто корродированы	Олигоклаз, кордиерит — дают с HF нерастворимый остаток; санидин — меньшее n и Δ	Широко распространен при любых p и t° , Первичномагматический, с оливином не встречается
Часто аномальный $2V_{Ng} = 0-25^\circ$	Бесцветный; молочно-голубой; окраска распределется зонально	Волокнистый кварц, содержащий 5—3% опала; исходный материал коллоидальный	Цеолиты — меньший n , более мягкие и разлагаются в HCl	Из водных растворов в жилах и пустотах (миндалинах); гидротермальный, иногда с кварцем или цеолитами
$2V_{Ng} = 70^\circ$ (от $35^\circ 30'$ до 90°)	Бесцветный	Растворяется в HF и в кипящем растворе Na_2CO_3	Флюорит — $\#$ нет \diamond	Пневматолитовый в жилах и пустотах; kontaktovo-метаморфический, во включениях песчаников (ксенолиты) в базальтах и других излившихся горных породах; никогда не образуется в главную магматическую fazu
Часто аномальный: двусосный с малым $2V$ вследствие бокового давления	Бесцветный	При прокаливании с $AgNO_3$ становится черным вследствие выделения Ag_2O ; растворим в HCl; имеет аномальные интерференционные окраски!	Гипс, мусковит и тальк — оптически отрицательны и двусосны	Контактovo-метаморфический, в известняках с периклазом; метаморфически-гидротермальный, в трещинах среди серпентинитов



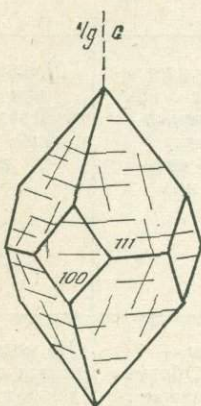
71а. Геленит



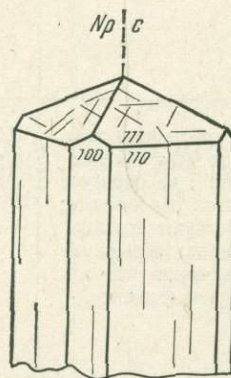
71б. Оккерманит



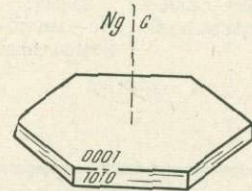
72. Мелинофан
(мелифанит)



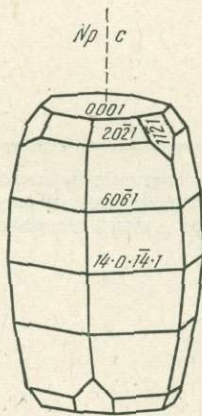
73. Апофиллит



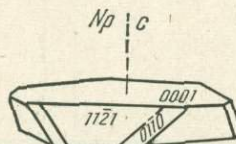
74. Скаполит.



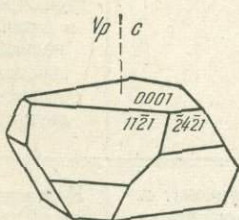
75. Кёненит



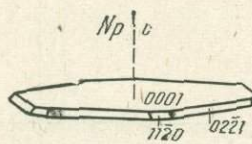
76. Корунд



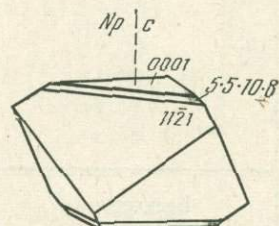
77. Гематит



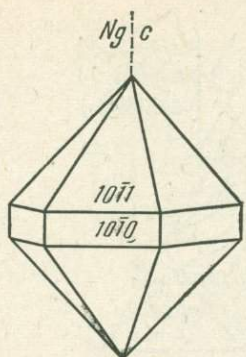
78. Ильменит



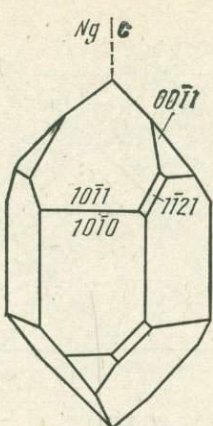
79. Пирофанит



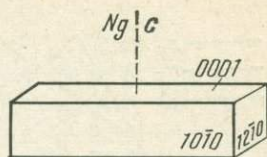
80. Гейкилит



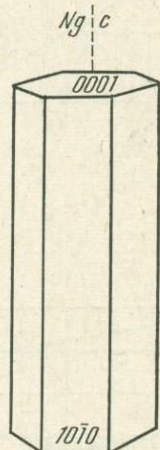
81a. α -Кварц



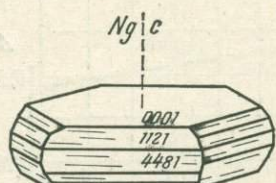
81b. β -Кварц



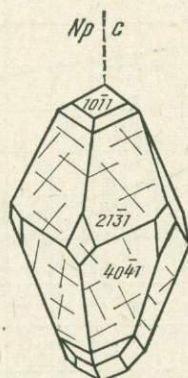
82a. Халцедон



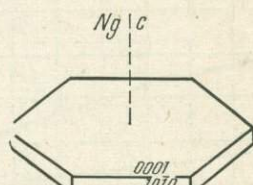
82b. Кварц



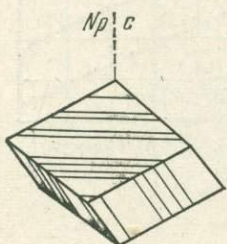
84. Бруцит



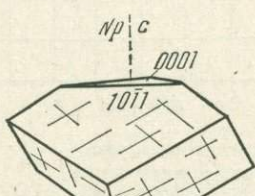
85a. Кальцицит



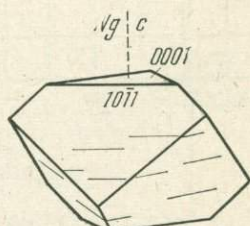
83. β -тридимит



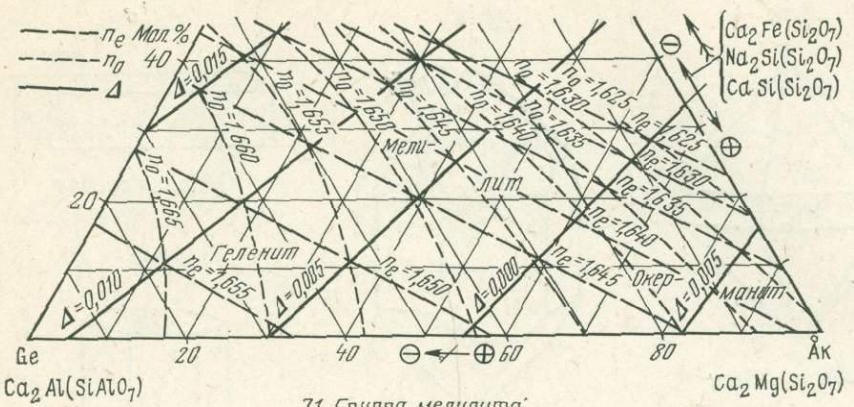
85b. Кальцицит
(#-Ромбододр 10̄11 с ф 01̄12)



86-88. Магнезит, сидерит,
доломит

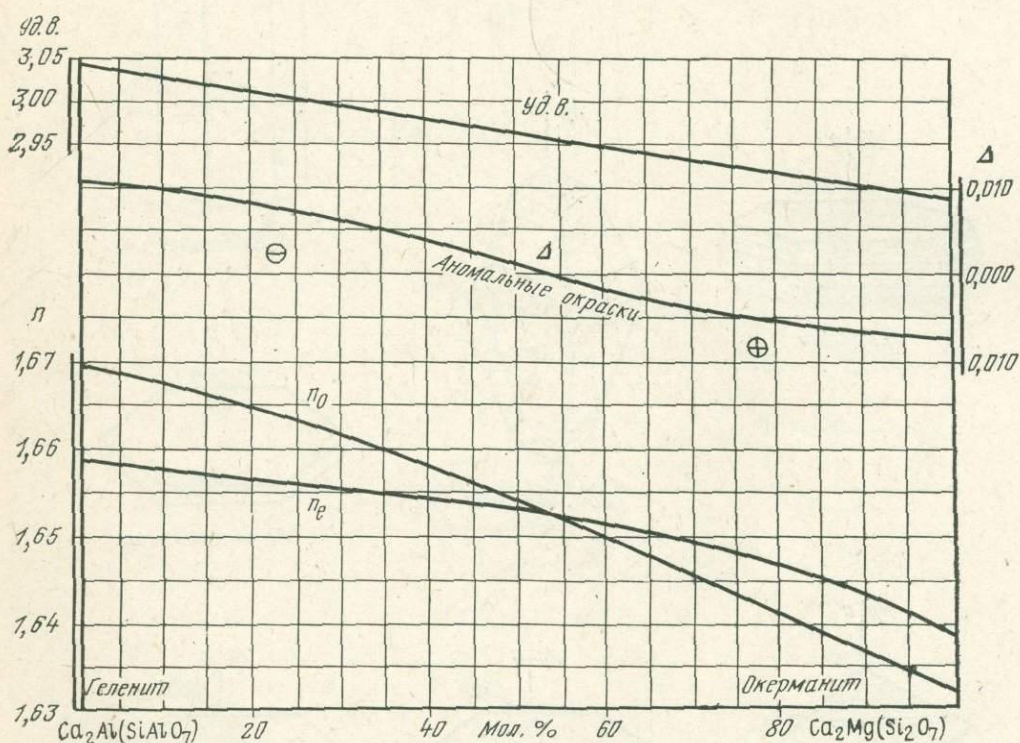


89. Алюнит



71. Группа мелилита.

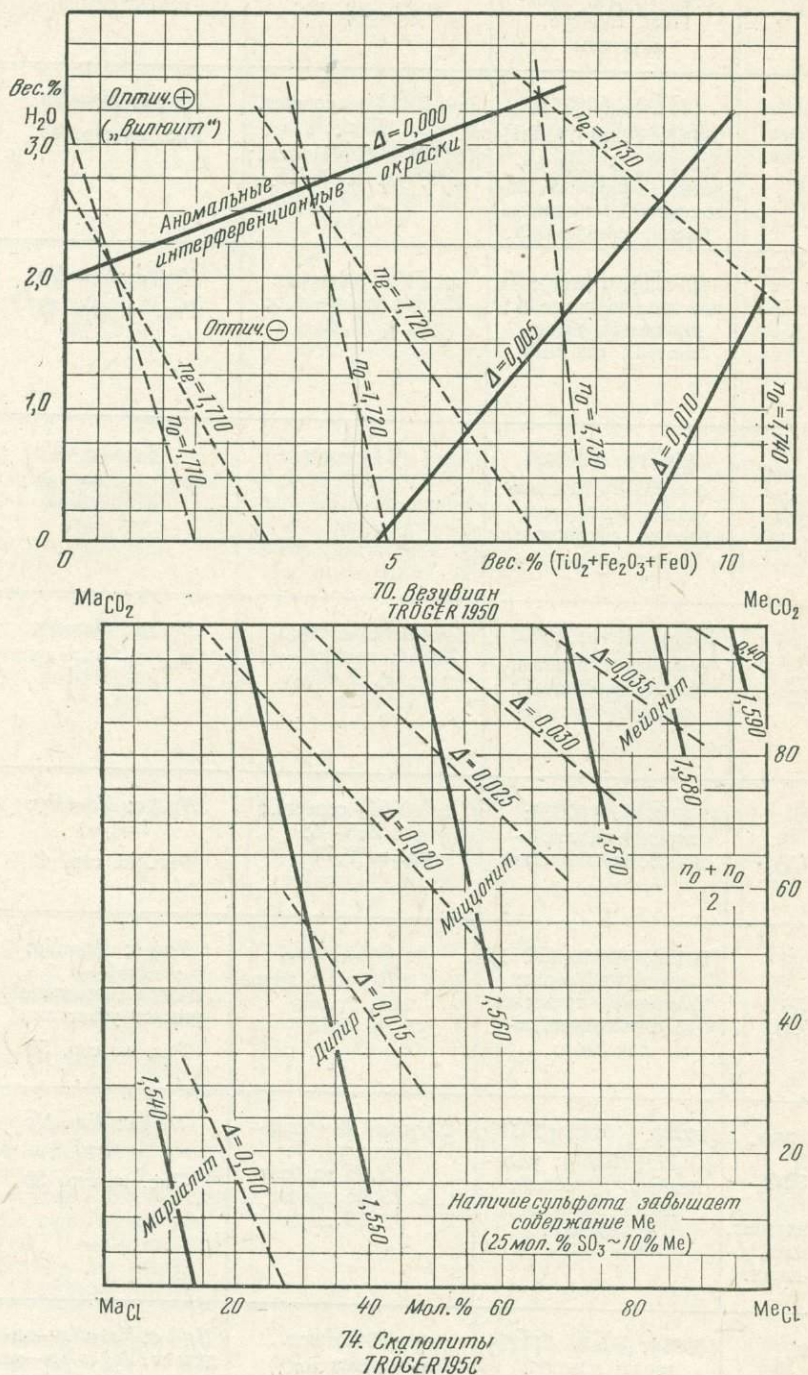
TRÖGER 1950



71. Группа мелилита
не содержит NaFe

WINCHELL 1927 (Opt. Min., 267)

(Copyrighted, 1951, by A.N. Winchell in Elements of Optical Mineralogy,
pt. II, Reproduced by permission)

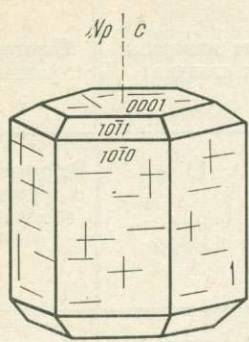


№ п/п	Название, сингония, формула	Наиболее часто встречающиеся про- стые формы, двой- ники, габитус, агрегаты	Спайность, твер- дость, уд. вес	Оптическая ориентировка	Показатель прелом- ления, двупрелом- ление
85	Кальцит, триг., $\text{CaO} \cdot \text{CO}_2$	{10\bar{1}\bar{0}}, {0001}, {01\bar{1}2}, {02\bar{2}1}, {h\bar{1}k\bar{l}}; $\diamond = {01\bar{1}2}$ пластин- чатые; зернистый, волокнистый, слошные массы; псевдоморф.	# {10\bar{1}1} в. соверш. 75°; {01\bar{1}2} и {0001} отд.; тв. 3; уд. в. 2,715±	$Np \parallel c$; $Ne=Np$ Рис. на стр. 43	$n_o=1,6584$ $n_e=1,4865$ $\ominus, \Delta=0,1719$
86	Магнезит, триг., $(\text{Mg}, \text{Fe})\text{O} \cdot \text{CO}_2$	{10\bar{1}\bar{1}}, {404\bar{1}}; нет пластинчатых \diamond ; зернистый, волокнистый; плотный	# {10\bar{1}\bar{1}} соверш. 72°30'; тв. 4—4,5; уд. в. 2,96±	$Np \parallel c$; $Ne=Np$ Рис. на стр. 43	Чис- тый Fe-со- держ. $n_o=1,700-1,719$ $n_e=1,509-1,527$ $\ominus, \Delta=0,191-0,192$
87	Сидерит, триг., $(\text{Fe}, \text{Mn})\text{O} \cdot \text{CO}_2$	{10\bar{1}\bar{1}}, {0001}; $\diamond = (0112)$, пластин- чатые; зерна, ром- боэдры, сферолиты, оолиты	# {10\bar{1}\bar{1}} соверш. 73°; тв. 4—4,5; уд. в. 3,89±	$Np \parallel c$; $Ne=Np$ Рис. на стр. 43	Мп- содержж. Чис- тый $n_o=1,851-1,875$ $n_e=1,612-1,633$ $\ominus, \Delta=0,239-0,242$
88	Доломит, триг., $\text{CaO} \cdot \text{MgO} \cdot 2\text{CO}_2$	{10\bar{1}\bar{1}}, {404\bar{1}}, {0001}; $\diamond = (02\bar{2}1)$, пластин- чатые; зернистый, ромбодрический	# {10\bar{1}\bar{1}} соверш. 73°45'; тв. 3,5—4; уд. в. 2,87±	$Np \parallel c$; $Ne=Np$ Рис. на стр. 43	Чис- тый Fe-со- держ. $n_o=1,679-1,698$ $n_e=1,502-1,513$ $\ominus, \Delta=0,177-0,185$
89	Алунит, триг., $\text{K}_2\text{SO}_4 \cdot 3\text{Al}_2(\text{SO}_4)_3 \cdot 6\text{H}_2\text{O}$	{10\bar{1}\bar{1}}, {0001}; зернистый, листо- ватый, волокнистый	# {0001} соверш.; тв. 3,5—4; уд. в. 2,71±	$Ng \parallel c$; $Ne=Ng$; $l=(-)$ Рис. на стр. 43	$n_o=1,572$ $n_e=1,592$ $\oplus, \Delta=0,020$
90	Апатит, текс., $9\text{CaO} \cdot 3\text{F}_2\text{O}_5 \cdot \text{Ca}(\text{F}, \text{Cl}, \text{OH})_2$	{10\bar{1}\bar{0}}, {0001}, {10\bar{1}\bar{1}}; иголочки, зерна; фосфорит—лучистый до скрытокристал- лического	# {0001} пл., # {10\bar{1}\bar{0}} пл.; хруп- кий; тв. 5; уд. в. 3,18±	$Np \parallel c$; $Ne=Np$; $l=(-)$ иногда аномальный, угасает участками Рис. на стр. 50	F-апа- тит Cl-апа- тит $n_o=1,633-1,667$ $n_e=1,630-0,664$ $\ominus, \Delta=0,003-0,003$ Диаграмма на стр. 52
91	Группа турмалина, триг., $3\text{Al}_2\text{O}_3 \cdot 6\text{SiO}_2 \cdot 3\text{BO}_3 \cdot 2\text{H}_2\text{O}$ $\uparrow \text{Na}(\text{Li}, \text{Al})_3$ — эльбант, NaMg_3 — дравит, $\text{Na}(\text{Fe}, \text{Mg})_3$ — шерл	{11\bar{2}0}, {10\bar{1}\bar{0}}, {10\bar{1}\bar{1}}; {0112}, {02\bar{2}1}; удли- ненный, лучистый, также коротко- столбчатый	Хрупкий без спай- ности; тв. 7; уд. в. {3,06 эльбант 3,05 дравит 3,16 шерл}	$Np \parallel c$; $Ne=Np$ $l=(-)$ Рис. на стр. 50	$n_o=1,639-1,692$ $n_e=1,620-1,657$ $\ominus, \Delta=0,019-0,035$ Диаграмма на стр. 51
92	Эвдиалит триг., $3\text{Na}_2\text{O} \cdot 3(\text{Ca}, \text{Ce}, \text{Fe})\text{O} \cdot \text{ZrO}_2 \cdot 6\text{SiO}_2 (\text{OH}, \text{Cl})$	{0001}, $(h0\bar{h}1) \{1\bar{1}20\}$; зерна; крепкий	# {0001} ясн., # {11\bar{2}0} пл.; тв. 5—6; уд. в. 2,93±	$Ng \parallel c$; $Ne=Ng$ — эв- диалит, $Ng \approx Np$ — ме- зодиалит; $Np \parallel c$; $Ne=Np$ — эвколит. Зональные, имеют структуре песчаных частиц Рис. на стр. 50	Эвд. Мез. Эвк. $n_o=1,593-1,607-1,643$ $n_e=1,597-1,607-1,634$ $\oplus, \Delta 0,004-0,000-$ $-0,009 \ominus$

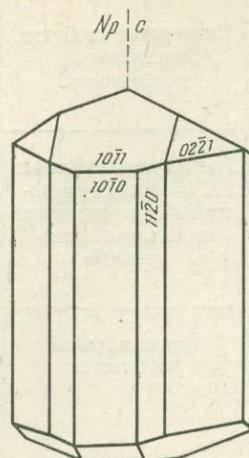
Угол и дисперсия оптических осей	Окраска в шлифе, плеохроизм, абсорбция	Химические свойства, характерные особенности	Сходные минералы и их отличия	Парафенезис, генезис и условия нахождения
$n_{e'}(1\bar{0}11) = 1,566$ $2V_{Np}$ до 250	Бесцветный	Растворяется в уксусной кислоте; медленно реагирует с $\text{Co}(\text{NO}_3)_2$; растворяется в растворе квасцов	Другие карбонаты — хуже растворимы; арагонит — быстрее разлагается в $\text{Co}(\text{NO}_3)_2$	Очень редко первично-магматический; биогенный — осадочный; в метаморфических породах вместе с силикатами $\text{Ca}, \text{Mg}, \text{Fe}$; гидротермальный часто с кварцем
$n_{e'}(1\bar{0}11) = 1,600$	Бесцветный; редко коричневатый; $Ne < No$	Почти не растворим в холодных кислотах; в горячих кислотах легко растворим	Кальцит и доломит — меньшие n и часто пластинчатые \diamond	Метасоматический, в известняках; метаморфический, в тальковых и хлоритовых сланцах; в серых засоленных глинах
$n_{e'}(1\bar{0}11) = 1,748$	Бесцветный; пепельно-серый до коричневатого; $Ne < No$	Растворяется в горячей HCl ; в растворе квасцов не растворяется; становится черным и магнитным при нагревании выше 300°	Кассiterит — меньшее Δ , \oplus	Пегматитово-гидротермальный (главным образом Mp -содержащий); метасоматический, в известняках; метаморфический, в гнейсах и слюдяных сланцах
$n_{e'}(1\bar{0}11) = 1,587$	Бесцветный; редко серый или коричневатый; $Ne < No$	Слабо растворим в холодных кислотах, менее прозрачен, чем кальцит	Кальцит — более низкий n и другое положение \diamond пластинок	Метасоматический, в известняках; гидротермальный, с кварцем; редко осадочный
	Бесцветный	Растворяется в H_2SO_4 и KOH , нерастворим в HF ; мутнеет при нагревании выше 520°	Мусковит — $l=(+)$; канкринит — более низкий n	Гидротермальный с диаспором и кварцем по полевым шпатам и другим калийсодержащим минералам
Иногда аномальный: слабо двуосный	Бесцветный, коричневатый, красноватый; серо-черный от включений; $Ne > No$, редко $Ne < No$	Растворяется в HNO_3	Геленит — имеет тетрагональный облик; цоизит — больший n ; турмалин — $No \gg Ne$	Магматический, наиболее ранний по времени выделения во всех типах горных пород; гидротермальный; биогенный; в осадках
Иногда аномальный: слабо двуосный	Эльбант — почти бесцветный; дравит — бледно-желтый, светло-коричневый; шерл — оливково-коричневый, синесерый, в зонах нарастания изменчивый. Постоянно $No \gg Ne$	В HF не разлагается	Апатит — $Ne > No$ слабо; рибекит — меньшее Δ ; эгирин — большие n и Δ	Пневматолитовый в гранитах и пегматитах; редко встречается в эфузивных горных породах; редко магматический (в гранитах); метаморфический; в песках и песчаниках
Часто аномальный: $2V=0-30^\circ$ в одном зерне	Бледный синевато-красный до бледного желтовато-коричневого; большей частью $No > Ne$ слабая	С HCl образует студенистый осадок	Гранат — больший n	Магматический в фойяитах и тингуаитах; поздний по времени образования в фойяитовых пегматитах

№ п/п	Название, сингония, формула	Наиболее часто встречающиеся про- стые формы, двой- ники, габитус, агрегаты	Спайность, твер- дость, уд. вес	Оптическая ориентировка	Показатель прелом- ления, двупрелом- ление
93	Катаплеит, псевдотриг., $\text{Na}_2\text{CaO}\cdot\text{ZrO}_2\cdot$ $\cdot 3\text{SiO}_2\cdot\text{H}_2\text{O}$	{0001}, {h01}; $\diamond=\{10\bar{1}0\}$, ложные тройники; таблички (0001)	# {1010} соверш., # {1011}, пл.; тв. 6; уд. в. 2,77±	Ниже 140° встречает- ся в виде моноклин- ных полей $Ng \wedge c =$ $=3^{\circ}30'$, бисс.; $Nm \parallel$ или $\perp a$, П.О. \parallel , \perp (1010) Рис. на стр. 50	$n_p=1,5905$ $n_m=1,5921$ $n_g=1,6269$ $\oplus, \Delta=0,0364$
94	Берилл, гекс., $3\text{BeO}\cdot\text{Al}_2\text{O}_3\cdot 6\text{SiO}_2$	{1010}, {0001}; короткостолбчатый, зерна	#(0001) пл., хруп- кий; тв. 7,5—8; уд. в. 2,70±	$Np \parallel c$; $Ne=Np$; $l=(-)$ Рис. на стр. 50	$n_o=1,567-1,594$ $n_e=1,563-1,586$ $\ominus, \Delta=0,004-0,008$ Диаграмма на стр. 53
95	Нефелин, гекс? $\text{Na}_2\text{O}\cdot\text{Al}_2\text{O}_3\cdot 2\text{SiO}_2$	{1010}, {0001}; при свободном по- сте изометричный, в основной массе пород часто бес- форменный	# {1010} ясн., #(0001) ясн. (отд.?); тв. 5,5—6; уд. в. 2,62±	$Np \parallel c$; $Ne=Np$; иногда аномальный; угасает участками Рис. на стр. 50	$n_o=1,532-1,547$ $n_e=1,529-1,542$ $\ominus, \Delta=0,003-0,005$ Диаграмма на стр. 52
96	Калиофилит, гекс., $\text{K}_2\text{O}\cdot\text{Al}_2\text{O}_3\cdot 2\text{SiO}_2$	{0001}, {1010}; короткостолбчатый	# {1010} ясн., #(0001) соверш.; тв. 6; уд. в. 2,56±	$Np \parallel c$; $Ne=Np$ Рис. на стр. 50	Чистый Na-со- держ. $n_o=1,532-1537$ $n_e=1,527-1533$ $\ominus, \Delta=0,005-0,004$
97	Канкринит, гекс., $3\text{Na}_2\text{O}\cdot 3\text{Al}_2\text{O}_3\cdot 6\text{SiO}_2\cdot$ $\cdot 3\text{H}_2\text{O}$. . CaCO_3 —канкринит. . K_2SO_4 —вишневит	{1010}, {1011}; призматический, чешуйчатый	# {1010} в соверш., # {0001} соверш., # {1120} пл., тв. 5—6.; уд. в. 2,46±	$Np \parallel c$; $Ne=Np$; $l=(-)$ Рис. на стр. 50	Канкри-Вишне- вит $n_o=1,524-1,4890$ $n_e=1,498-1,4885$ $\ominus, \Delta=0,026-0,0005$ Диаграмма на стр. 53
98	Давин, гекс., $3(\text{Na}, \text{K})_2\text{O}\cdot 3\text{Al}_2\text{O}_3\cdot$ $\cdot 6\text{SiO}_2\cdot 2\text{CaSO}_4$	{1010}, {1011}; призматический, чешуйчатый	# {1010} в. соверш., #(0001) хор.; тв. 5,5; уд. в. 2,4±	$Ng \parallel c$; $Ne=Ng$ (редко в богатых К-породах $Np \parallel c$, $Ne=Np$); $l=(+)(-)$ Рис. на стр. 50	Na K $n_o=1,522-1,518$ $n_e=1,527-1,517$ $\Delta=\oplus 0,005-\ominus 0,001$ Диаграмма на стр. 53
99	Гидронефелин, гекс., $2\text{Na}_2\text{O}\cdot 2\text{CaO}\cdot$. $3\text{Al}_2\text{O}_3\cdot 6\text{SiO}_2\cdot 7\text{H}_2\text{O}$	Не имеет кристалло- графических граней: волокнистый, при- зматический, листо- ватый, зернистый	# {1010} пл.; тв. 5; уд. в. 2,26±	$Ng \parallel c$; $Ne=Ng$; $l=(+)$ Рис. на стр. 50	$n_o=1,490$ $n_e=1,502$ $\oplus, \Delta=0,012$
100	Шабазит (хабазит), триг., $\text{Na}_2\text{O}\cdot 2\text{CaO}\cdot 3\text{Al}_2\text{O}_3\cdot$. $12\text{SiO}_2\cdot 18\text{H}_2\text{O}$	{1011}; $\diamond=(0001)$; ромбоэдрический (псевдокубический)	# {1011} хор.; тв. 4—5; уд. в. 2,10±	$Np \parallel c$; $Ne=Np$ (редко $Ng \parallel c$, $Ne=Ng$); ча- сто аномальный, гас- нет участками по 6-ти трикл. (?) секторам Рис. на стр. 50	$n_o=1,480-1,485$ $n_e=1,478-1,490$ $\Delta=\ominus 0,002\oplus 0,005$

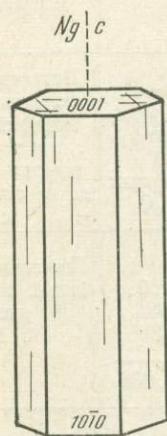
Угол и дисперсия оптических осей	Окраска в шлифе, плеохроизм, абсорбция	Химические свойства, характерные особенности	Сходные минералы и их отличия	Парагенезис, генезис и условия нахождения
$2V_{Ng} 20-60^\circ$, при нагревании выше 40° понижается до 0° ; $r < v$ слабая	Светло-желтый до коричневатого (богатый кальцием); бесцветный до синеватого (бедный кальцием)	Легко растворяется в HCl, образуя студенистый осадок; часто переполнен включениями		Встречается в пегматитах с другими циркониевыми минералами в щелочных провинциях
Часто аномальный: $2V_{Np}=0-6^\circ$	Большей частью бесцветный; редко бледно-желтый или зеленоватый, тогда $Ne > No$, редко $Nc < No$	В кислотах не разлагается	Кварц — меньший n и большее Δ , \oplus ; апатит — больший n	Встречается с турмалином и литиевой слюдой, в пегматитах кислых горных пород и в метаморфических сланцах
Иногда аномальный: $2V_{Np}=0-6^\circ$	Бесцветный	В HCl дает студенистый осадок, а при высыхании выделяются кубики NaCl. Изометричные зерна иногда зональны	Кварц — большее Δ , \oplus ; санидин — косое погасание. Калиофилит } Содержит Калсилит } K_2O	Встречается с другими фельдшпатоидами; магматический до пегматитового, в натриевых горных породах; никогда не встречается вместе с кварцем
	Бесцветный	В HCl дает студенистый осадок	Калсилит Уд. в. = 2,59—2,63 $n_o=1,542-1,543$ $n_e=1,537-1,537$ \ominus , $\Delta=0,005-0,006$	Пневматолитовый в богатых калием эфузивных породах
	Бесцветный	При действии HCl выделяется CO_2 и остается студневидный кремнезем; при про-каливании мутнеет; наличие SO_3 указывает, что это вишневит	Давин — большей частью \oplus ; мусковит — больший n , $l=(-)$; нефелин — больший n и меньшее Δ	Магматический, образуется вместе с нефелином вследствие поглощения кальция в лейкократовых щелочных породах
	Бесцветный	С HCl дает студенистый осадок	Канкринит — постоянно \ominus	Автометаморфический и пневматолитический, в санидинитах
$2V_{Np} \sim 70^\circ$	Бесцветный	С HCl дает студенистый осадок	Натролит — двуосный	Продукт разрушения нефелина
Часто аномальный: $2V_{Ng}=0-30^\circ$, тогда: $n_p=1,485$ $n_m=1,485$ $n_g=1,488$	Бесцветный	Разлагается в HCl с образованием студневидного кремнезема	Содалит, нозеан, давин — больший n	Образуется в пустотах и трещинах базальтов при гидротермальном изменении силикатов кальция



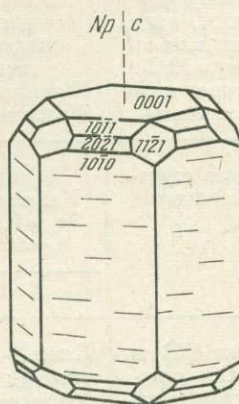
90. Анатит



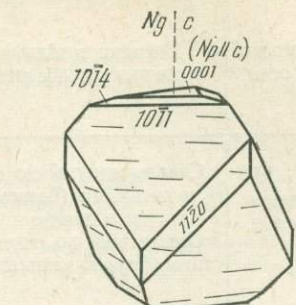
91. Турмалин



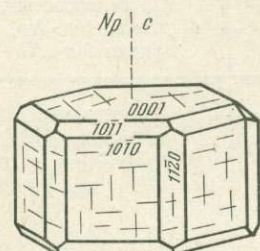
99. Гидронефелин



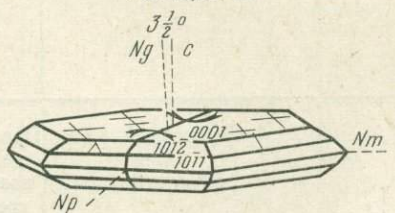
94. Берилл



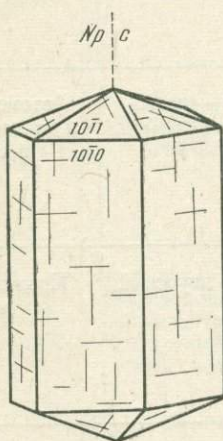
92. Эфедрит



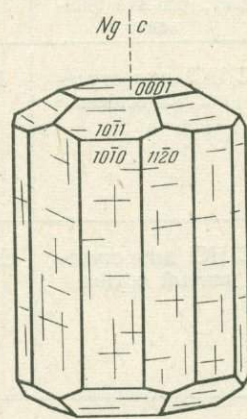
95-96. Нефелин,
калиофиллит



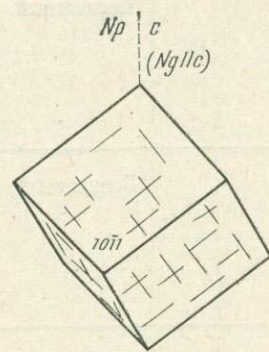
93. Катаплеит



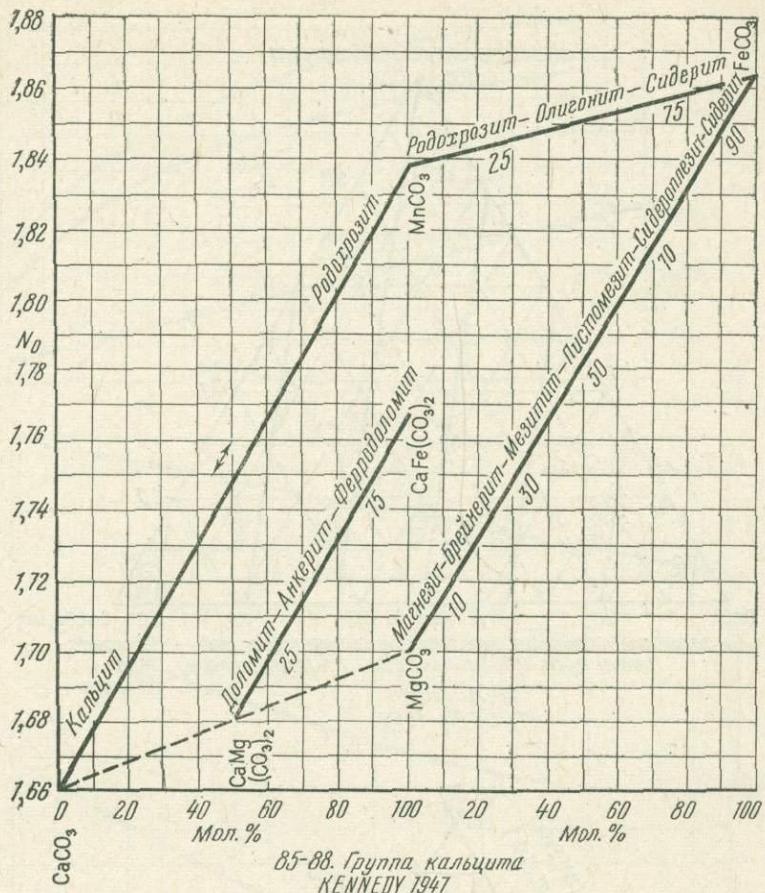
97. Канкринит



98. Дафин

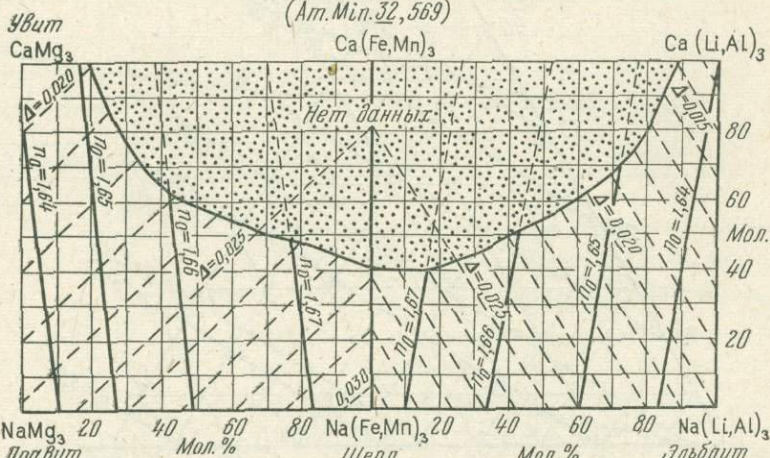


100. Шабазит



85-88. Группа кальцита
KENNEDY 1947

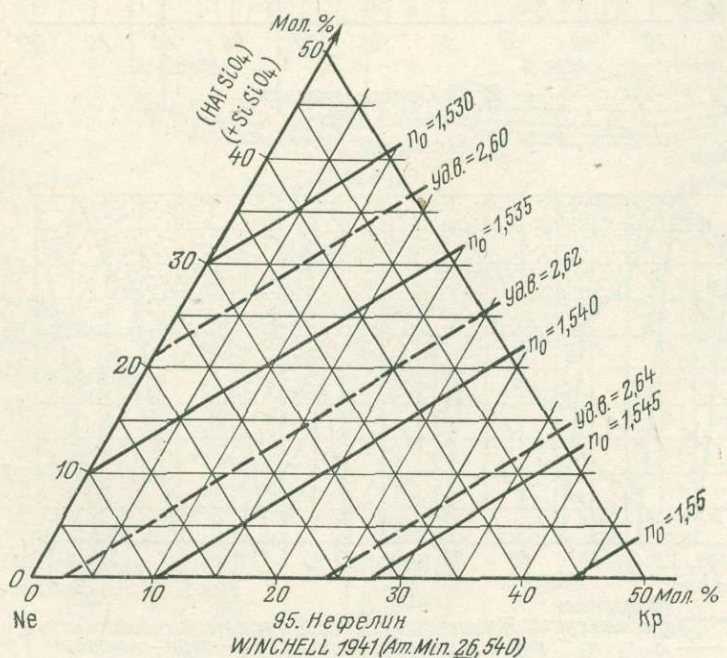
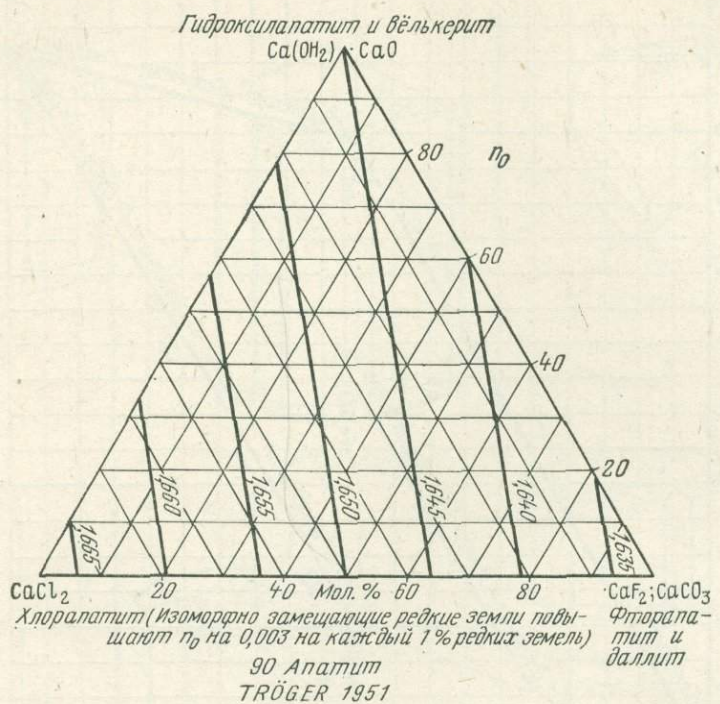
(Am. Min. 32, 569)

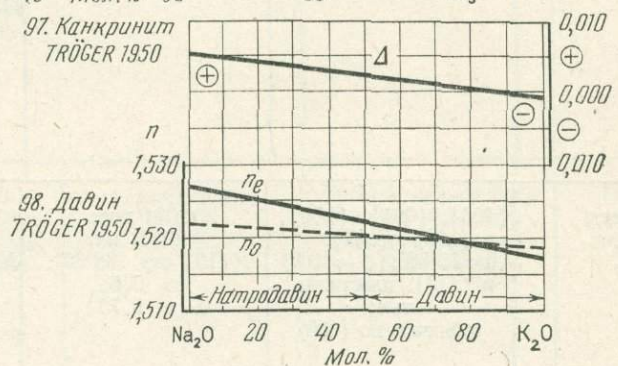
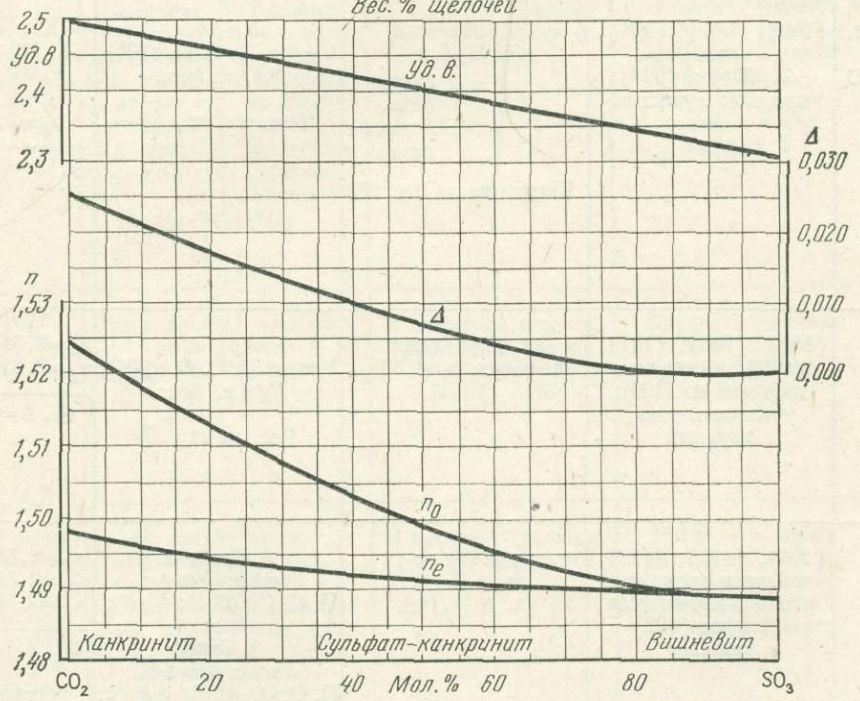
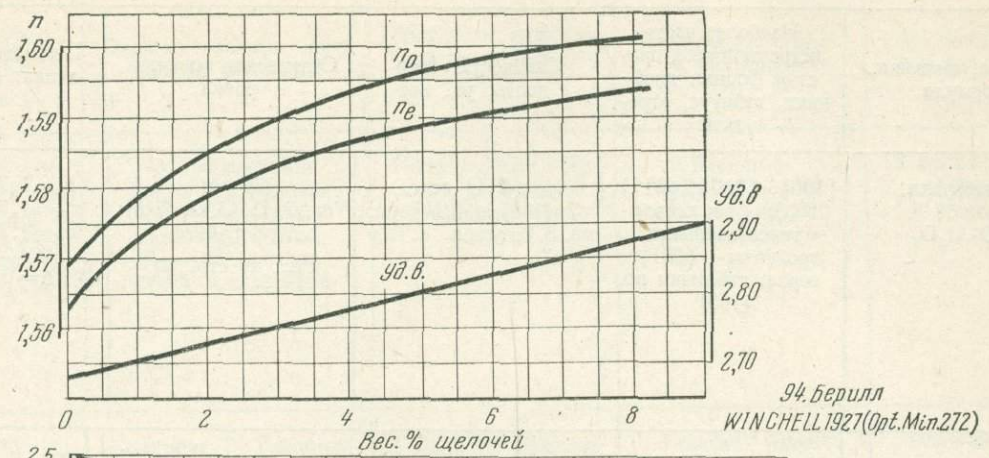


Показатель
преломления η_1 . Изменения в составе и оптических свойствах
 $\Delta = \eta_e - \eta_o$ турмалинов ряда: убит-дравит-шерл-эльбазит

WINCHELL 132 (Am. Min. 17, 475)

(Copyrighted, 1951, by A. N. Winchell in Elements of Mineralogy, pt II, Reproduced by permission)





ОПТИЧЕСКИ ДВУОСНЫЕ МИНЕРАЛЫ: ОКИСЛЫ

№ п/п	Название, сингония, формула	Наиболее часто встречающиеся про- стые формы, двой- ники, габитус, агре- гаты	Спайность, твер- дость, уд. вес	Оптическая ориенти- ровка	Показатель прелом- ления, двупрелом- ление
101	Хризоберилл, ромб., $\text{BeO} \cdot \text{Al}_2\text{O}_3$	{100}, {010}, {011}, {120}; \diamond и псевдо- гексагональные тройники — {031}; зерна, таблички по (100)	# {011} ясн., # (100) и (010) пл.; тв. 8,5; уд. в. 3,72±	$Np \parallel a$; $Nm \parallel b$, П. О. О. (010); $Ng \parallel c$, бисс. Рис. на стр. 60	$n_p=1,744-1,747$ $n_m=1,747-1,749$ $n_g=1,753-1,758$ $\oplus, \Delta=0,009-0,011$
102	Колумбит — танталит, ромб., $(\text{Fe}, \text{Mn})\text{O} \cdot (\text{Nb}, \text{Ta})_2\text{O}_5$	{100}, {h01} {001}, {hk0} $\diamond=\{021\}$ и {023}; крепкий, лучистый	# (100) ясн.; тв. 6—6,5; уд. в. $\left\{ \begin{array}{l} 4,9 \text{ колум-} \\ \text{бита} \\ 7,75 \text{ танта-} \\ \text{лита} \end{array} \right.$	$Np \parallel b$; $Nm \parallel a$, П. О. О. (100); $Ng \parallel c$, бисс. Рис. на стр. 60	Колум- бит Танта- лит $n_p=2,40$ 2,24 $n_m=2,45$ 2,30 $n_g=2,53$ 2,41 $\oplus, \Delta=0,13$ 0,17
103	Псевдобрукит, ромб., $\text{Fe}_2\text{O}_3 \cdot \text{TiO}_2$	{100}, {210}, {101}, {010}; в основном таблички по (100); устойчиво идио- морфный	# (010) ясн.; тв. 6; уд. в. 4,39±	$Np \parallel b$; $Nm \parallel c$, П. О. О. (001); $Ng \parallel a$, бисс. Рис. на стр. 60	$n_p=2,347-2,42$ $n_g=2,375-2,47$ Li $\oplus, \Delta=0,028-0,05$
104	Брукит, ромб., TiO_2	{100}, {110}, {122}; таблички вытянуты вдоль c или b ; если преобладает {122} — арканзит	# {110} пл.; тв. 5,5—6; уд. в. 4,14±	λ Красный $Np \parallel b$; $Nm \parallel c$, П. О. О. (001); $Ng \parallel a$, бисс. λ Синий $Np \parallel c$; $Nm \parallel b$, П. О. О. (010); $Ng \parallel a$, бисс. Редко П. О. О. для всех λ в (001) Рис. на стр. 60	$n_p=2,583-2,583$ $n_m=2,584-2,586$ $n_g=2,700-2,741$ $\oplus, \Delta=0,117-0,158$ $r > v$ большей частью сильная
105	Бадделеит, мон., ZrO_2	{100}, {001}, {h01}, {hk0}, {hkl}; $\beta=99^{\circ}30'$; $\diamond=(100)$ и {110}, пластинча- тые; таблички по (100)	# 001 хор; # (010) пл.; {110} отд. $88^{\circ}30'$; тв. 6,5; уд. в. 5,73±	$Np \wedge c \approx +11$ до 13° , бисс.; $Nm \parallel b$, П. О. О. (010); $Ng \wedge a, \approx -1^{\circ}30'$ до $-3^{\circ}30'$ Рис. на стр. 60	$n_p=2,136$ $n_m=2,236$ $n_g=2,243$ $\ominus, \Delta=0,107$

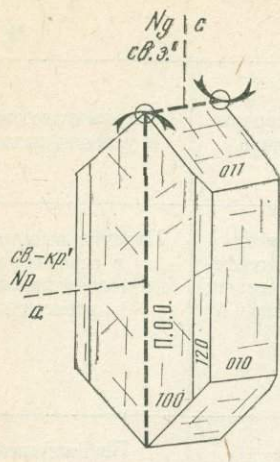
Угол и дисперсия оптических осей	Окраска в шлифе, плеохронизм, абсорбция	Химические свойства, характерные особенности	Сходные минералы и их отличия	Парагенезис, генезис и условия нахождения	
$2V_{Ng} \approx 45^\circ$ (0° красный, до 90° фиолетовый); $r > v$ — иногда слабая, а иногда очень сильная	Np — бесцветный, светло-красноватый; Nm — бесцветный, светло-желтоватый; Ng — бесцветный, светло-зеленоватый	Нерастворим в кислотах; аномальные интерференционные окраски	Берилл — низкое Δ , односочный, \ominus ; корунд — односочный, \ominus	В альпийских и пегматитовых жилах, в инъецированных сланцах	
$2V_{Ng} \approx 75^\circ$; $r < v$	Колумбит Np — красно-коричневый; Nm — темно-красно-коричневый; Ng — непрозрачный $Np < Nm < Ng$	Танталит Np — желтый; Nm — красно-коричневый; Ng — темно-красно-коричневый	В кислотах нерастворим, открывается с $KHSO_4$	Гематит — односочный, \ominus ; рутил — односочный и имеет большее Δ ; касситерит — односочный и имеет меньшее Δ	Встречается с минералами F, В и W в гранитных и сненитовых пегматитах
$2V_{Ng} \approx 50^\circ$; $r < v$	Темно-желтый до коричнево-красного $Nm > Np = Ng$ слабая	В холодных кислотах нерастворим; растворим в горячей $H_2SO_4 + HF$	Брукит — светлее; похожи кроссит, рёнит, ильвант, гётит	Пневматолитовый, по ильмениту; никогда не бывает первичномагматическим	
Дисперсия очень сильная (варьирует); $\approx 10-20^\circ$ /Na/ в (001). $\approx 0^\circ$ для желто-зеленого, $\approx 20-30^\circ$ для фиолетового в (010)	$\parallel a$ светло-желтый; красно-коричн.; гвоздично коричн.; $\parallel b$ бесцветный; оливковый; желто-коричневый; $\parallel c$ светло-желтый; оранжево-коричн.; гвоздично-коричневый $Ng > Nm > Np$ слабо	В кислотах (включая HF) не разлагается	Рутил — не имеет дисперсии; псевдобрукит — более темно-коричневый и имеет более низкий n	Гидротермальный; при выветривании Ti-содержащих минералов; в осадках; не бывает первичномагматическим	
$2V_{Np} = 30 \pm 1^\circ$; $r \gg v$	Np — темно-красно-коричневый; Nm — оливково-зеленый; Ng — красновато-коричневый; $Np > Nm > Ng$ зонально изменяется	Разлагается в $KHSO_4$	Гётит — прямое погасание; рубиновая слюдка — значительно большее Δ	Пневматолитовый, в основных щелочных породах; в россыпях	

№ п/п	Название, сингония, формула	Наиболее часто встречающиеся про- стые формы, двой- ники, габитус, агре- гаты	Спайность, твер- дость, уд. вес	Оптическая ориенти- ровка	Показатель прелом- ления, двупрелом- ление
106	Гётит, ромб., $\text{Fe}_2\text{O}_3 \cdot \text{H}_2\text{O}$	{110}, {hk0}, {011}; иголочки $\parallel c$, лучистый; образует псевдоморфозы	# (010) соверш., # (100) пл.; тв. 5—5,5; уд. в. $4,28 \pm$	λ красный $Np \parallel b$, бисс.; $Nm \parallel a$, П. О. О. (100); $Ng \parallel c$ λ зеленый $Np \parallel b$, бисс.; $Nm \parallel c$, П. О. О. (001); $Ng \parallel a$	Содер- жатый боль- шое коли- чество H_2O $n_p=2,275-2,15$ $n_m=2,409-2,22$ Na $n_g=2,415-2,23$ $\ominus, \Delta=0,140-0,08$ Изменяются с темпе- ратурой
107	Рубиновая слюдка (лепидокрокит), ромб., $\text{Fe}_2\text{O}_3 \cdot \text{H}_2\text{O}$	{010}, таблички несколько вытянутые вдоль c ; розетки	# {010} в. соверш., # {001}, соверш., # (100) хор.; тв. 5; уд. в. $4,09 \pm$	$Np \parallel b$, бисс.; $Nm \parallel c$, П. О. О. (001); $Ng \parallel a$	$n_p=1,94$ $n_m=2,20$ $n_g=2,51$ } Na $\ominus, \Delta=0,57$
108	Диаспор, ромб., $\text{Al}_2\text{O}_3 \cdot \text{H}_2\text{O}$	{010}, {hk0}, {hkl}; тонкотаблитчатый, редко стебельчатый по [001]	# (010) в. соверш., # {210} хор.; тв. 6,5—7; уд. в. $3,36 \pm$	$Np \parallel c$; $Nm \parallel b$, П. О. О. (010); $Ng \parallel a$, бисс.; $l=(+)(-)$	$n_p=1,702$ $n_m=1,722$ $n_g=1,750$ $\oplus, \Delta=0,048$
109	Гидрагиллит (гипбсит), мон., $\text{Al}_2\text{O}_3 \cdot 3\text{H}_2\text{O}$	{001}, {100}, {110}; $\beta=94^\circ 30'$; \diamond — псевдогексаго- нальные; таблитча- тый $\parallel (001)$	# (001) в. соверш.; тв. 2,5—3; уд. в. $2,38 \pm$	Главным образом $Np \parallel b$, П. О. О. \perp (010); $Nm \wedge a = -25^\circ$, $Ng \wedge c = -21^\circ$, бисс. Редко $Np \wedge a = +30^\circ$; $Nm \parallel b$, П. О. О. (010); $Ng \wedge c = -25^\circ$, бисс.	$n_p=1,566-1,568$ $n_m=1,566-1,568$ $n_g=1,587-1,589$ $\oplus, \Delta=0,021-0,021$
110	Арагонит, ромб., $\text{CaO} \cdot \text{CO}_2$	{110}, {010}, {001}, {hkl}; \diamond — псевдогексаго- нальные = {110}, пластинчатые; призматический, лучистый $\parallel c$	# (010) пл.; тв. 3,5—4; уд. в. $2,94 \pm$	$Np \parallel c$, бисс.; $Nm \parallel a$, П. О. О. (100); $Ng \parallel b$; $l=(-)$	$n_p=1,530-1,530$ $n_m=1,682-1,681$ $n_g=1,686-1,685$ $\ominus, \Delta=0,156-0,155$

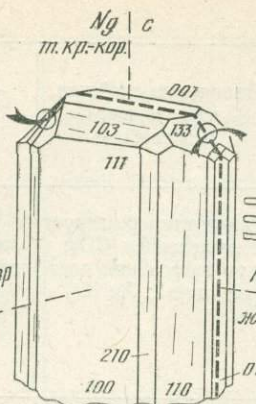
Угол и дисперсия оптических осей	Окраска в шлифе, плеохроизм, абсорбция	Химические свойства, характерные особенности	Сходные минералы и их отличия	Парагенезис, генезис и условия нахождения
$2V_{Np}$ 23° (для красного цвета в (100), 0° (для $\lambda 605-620 \text{ м} \mu$, 27° (для зеленого) в (001))	Np — светло-желтый или коричневый; Nm — желто-коричневый; Ng — оранжевый или оливковый; $Ng > Nm > Np$ или $Np > Ng > Nm$	Растворим в кислотах; п. п. т. теряет воду при 400° с образованием гематита; аномальные интерференционные окраски	Рубиновая слюдка — больший $2V$; похожие минералы; брукит, псевдобрукит, ильвант	Гидатогенный, иногда выпадает из гидрогелей; встречается в осадочных железных рудах; главный компонент лимонита и стеклянных голов
$2V_{Np}=83-90^\circ$; незначительная дисперсия	Np — светло-желтый, желтый; Nm — красно-оранжевый, красный; Ng — оранжево-красный, коричнево-красный; $Np < Nm < Ng$ сильная	П. п. т. теряет воду при 200° и распадается; исключительно высокое Δ	Гётит — меньший $2V$	С гётитом встречается, но редко
$2V_{Ng}=84-85^\circ$ $r \approx v$ до $r < v$	Большой частью бесцветный, коричневатый от примеси Fe, Mn, тогда $Np < Nm < Ng$	Медленно растворяется в HF, в других кислотах нерастворим	Корунд — больший n и меньшее Δ ; силлиманит — меньший n и меньшее Δ	Часто в бокситах; метаморфический, в богатых глиноземом кристаллических сланцах; контактово-метаморфический, в известняках и доломитах
$2V_{Ng}=0-40^\circ$ (изменяется в зависимости от температуры); $r > v_1$, если П. О. О. \perp (010); $r < v_1$, если П. О. О. \parallel (010)	Бесцветный	Легко растворяется в холодной HCl и в концентрированной H_2SO_4	Каолинит — меньшее Δ ; мусковит — \ominus ; бруцит, алунит — одноосные	Главным образом в бокситах, кроме того, в соляных глинах; метаморфический, в тальковых сланцах и серпентинитах
$2V_{Np}=18^\circ$ $r < v$ слабая	Бесцветный	Быстро становится фиолетовым в растворе $Co(NO_3)_2$; переходит в кальцит при $t > 400^\circ$	Кальцит — имеет хорошую спайность и значительно медленнее реагирует с раствором $Co(NO_3)_2$	Гидротермально-водный; осадочный; биогенный

№ п/п	Название, сингония, формула	Наиболее часто встречающиеся простые формы, двойники, габитус, агрегаты	Спайность, твердость, уд. вес.	Оптическая ориентировка	Показатель преломления, двупреломление
111	Гидромагнезит, МОН., $5 \text{MgO} \cdot 4 \text{CO}_2 \cdot 5 \text{H}_2\text{O}$	{100}, {110}, {011}; $\beta = 114^\circ$; $\diamond = (100)$, пластинчатые; таблицки (100); иголочки c	# (010) соверш.; (100) отд; тв. 3,5; уд. в. 2,15±	$Np \wedge c = +47^\circ$; $Nm \wedge c = -43^\circ$; П.О.О. \perp (010); $Ng \parallel b$, бисс. Рис. на стр. 61	$n_p = 1,515 - 1,523$ $n_m = 1,530 - 1,527$ $n_g = 1,544 - 1,545$ $\ominus, \Delta = 0,029 - 0,022 \oplus$
112	Людвигит, ромб., $4(\text{Mg}, \text{Fe})\text{O} \cdot \text{Fe}_2\text{O}_3 \cdot \text{B}_2\text{O}_3$	{110}, {410}, {310}, {210}; радиально- волокнистый c, ветвистый	Тв. 5; уд. в. 3,96±	$Np \parallel a$; $Nm \parallel b$, П. О. О. (010); $Ng \parallel c$, бисс. Рис. на стр. 61	Богатый Fe Бедный Fe $n_p = 1,85 - 1,84$ $n_m = 1,85 - 1,85$ $n_g = 2,02 - 1,98$ $\oplus, \Delta = 0,17 - 0,14$
113	Ангидрит, ромб., $\text{CaO} \cdot \text{SO}_3$	{100}, {010}, {001}; изометрический, зернистый, таблитча- тый, плотный; {101}. {010}, {001}; $\diamond = \{101\}$, пластинчатые; столбчатый b; волокнистый	# (001) в. соверш., # (010) соверш., # (100) хор.; тв. 3—3,5; уд. в. 2,96±	$Np \parallel c$; $Nm \parallel b$, П. О. О. (010); $Ng \parallel a$, бисс. Рис. на стр. 61	$n_p = 1,5700$ $n_m = 1,5757$ $n_g = 1,6138$ $\oplus, \Delta = 0,0438$
114	Целестин, ромб., $\text{SrO} \cdot \text{SO}_3$	{011}, {001}, {110}, {102}; зерна	# (001) соверш.. # (010) ясн., # {110} хор. 76° ; тв. 3—3,5; уд. в. 3,95±	$Np \parallel c$; $Nm \parallel b$, П. О. О. (010); $Ng \parallel a$, бисс. Рис. на стр. 61	$n_p = 1,622$ $n_m = 1,624$ $n_g = 1,631$ $\oplus, \Delta = 0,009$
115	Барит, ромб., $\text{BaO} \cdot \text{SO}_3$	{001}, {110}, {011}, {102}; таблитчато-листоватый; {011}, {110}, {010}; вытянутый a; лучистый, также зернистый; плотный	# (001) соверш., # (010) ясн., # {110} хор. 78° ; тв. 3; уд. в. 4,47±	$Np \parallel c$; $Nm \parallel b$, П. О. О. (010); $Ng \parallel a$, бисс.; $l = (+)$ Рис. на стр. 61	$n_p = 1,636$ $n_m = 1,637$ $n_g = 1,648$ $\oplus, \Delta = 0,012$
116	Гипс, мон., $\text{CaO} \cdot \text{SO}_3 \cdot 2 \text{H}_2\text{O}$	{010}, {110}, {111}; $\beta = 99^\circ$; $\diamond = (100)$ и {101}, непластиничные; зернистый, плотный, таблитчатый (010), волокнистый, призматический c	# (010) в. соверш. # (100) хор., # {111} соверш. $41^\circ 30'$; волокнистый, гибкий; [001]:[101] = $66^\circ 30'$; тв. 2; уд. в. 2,32±	$Np \wedge c = -38^\circ$; $Nm \parallel b$, П. О. О. (010); $Ng \wedge c = +52^\circ$, бисс.; $Ng \wedge [101] = +14^\circ$; $l = (+)(-)$ Рис. на стр. 61	$n_p = 1,5205$ $n_m = 1,5226$ $n_g = 1,5296$ $\oplus, \Delta = 0,0091$

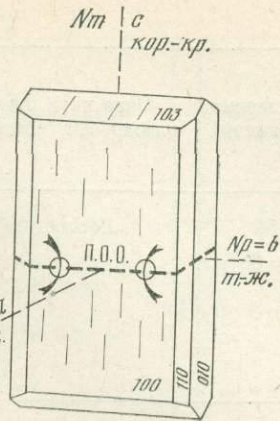
Угол и дисперсия оптических осей	Окраска в шлифе, плеохроизм, абсорбция	Химические свойства, характерные особенности	Сходные минералы и их отличия	Парагенезис, генезис и условия нахождения
$2V_{Ng} \approx 52^\circ$ (до $2V_{Np} = 88^\circ$)	Бесцветный	С кислотами реагирует с выделением CO_2 ; при нагревании дает реакцию с $AgNO_3$	Бруцит — имеет аномальные интерференционные окраски; гипс — меньшее Δ	Продукт выветривания, в серпентинитах и доломитизированных известняках
$2V_{Ng}$ очень малый; $r > v$ очень сильная	$Np = Nm$ — темно-зеленый; Ng — темно-красновато-коричневый; $Np = Nm < Ng$; богатый Fe почти непрозрачный	Растворяется в кислотах; краснеет при нагревании; вязкий, трудно разрушается	Турмалин — односный. \ominus ; колумбит — больший n	Пневматолитовый; контактово-метасоматический, в известняках и скарнах
$2V_{Ng} = 42^\circ$ $r < v$	Бесцветный	Растворим в HCl , очень слабо в H_2O ; образует с H_2O гипс при $t < 42^\circ$; дает пойкилитовые срастания с галитом		Преимущественно осадочный; также гидротермальный и продукт испарения
$2V_{Ng} = 51^\circ$ $r < v$	Бесцветный	В H_2O при $t = 20^\circ$ растворяется 1,5% тончайшего порошка, значительно больше в присутствии $NaCl$	Барит — нерастворим в H_2O	Гидротермальный; выпадает из водных растворов, выполняя трещины в известняках и гипсах
$2V_{Ng} = 36—38^\circ$ $r < v$	Бесцветный	Практически нерастворим в воде	Целестин — заметно растворим в H_2O , особенно в присутствии $NaCl$	Гидротермальный, в сульфидных рудах; гидратогенный, выполняющий трещинки; осадочный
$2V_{Ng} = 58^\circ$ ($t = 19^\circ!$); наклонная дисперсия: $r < \text{желтый} > v$	Бесцветный	Растворим в HCl ; в H_2O растворяется тончайшего порошка 2% при $t = 20^\circ$; мутнеет при нагревании; переходит в ангидрит при $t > 42^\circ$	Гидромагнезит — большее Δ	Преимущественно осадочный; из ангидрита при поглощении воды; образуется в глинах и мергелях при выветривании сульфидов



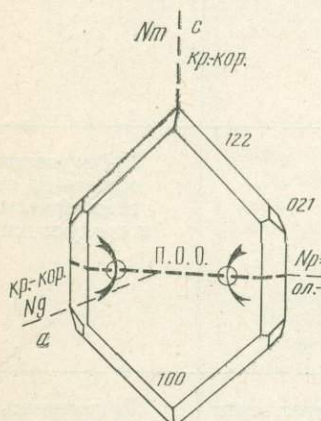
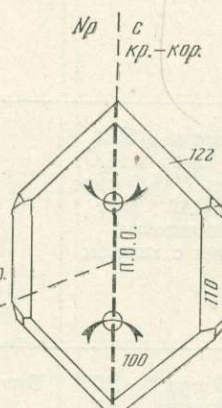
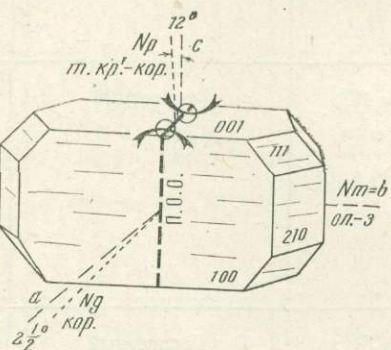
101. Хризоберилл



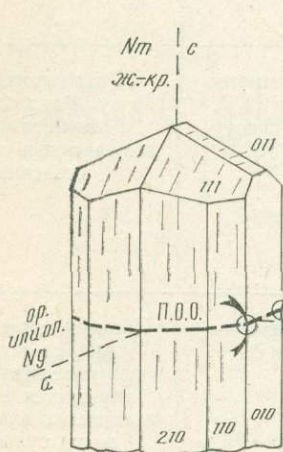
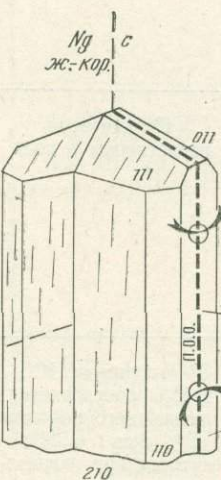
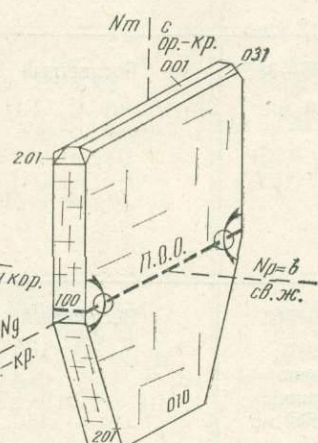
102. Колумбийт+танталит



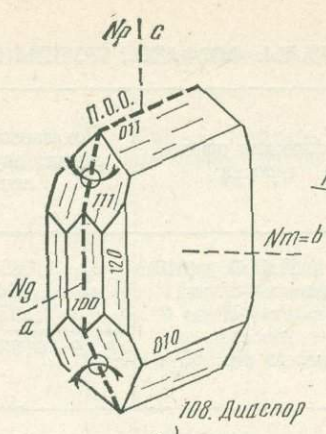
103. Псевдобрюкит

104 а. брюкит ($\lambda = \kappa$)104 б. брюкит ($\lambda = \phi$)

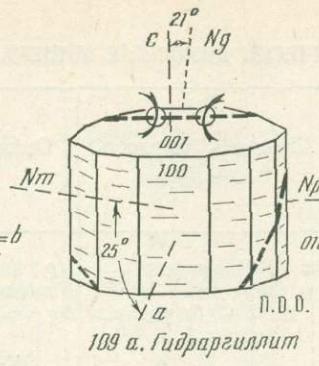
105. Бадделеит

106 а. Гёттингит ($\lambda = \frac{J_{cs.}}{c}$)106 б. Гёттингит ($\lambda = \kappa$)

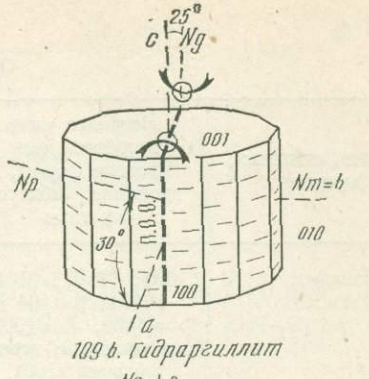
107. Рубиновая слюдка



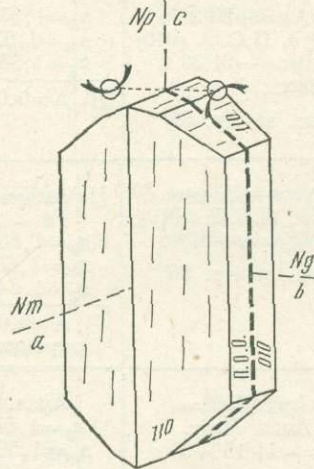
108. Диаспор



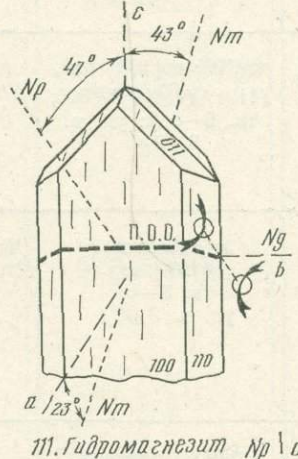
109 а. Гидрагиллит



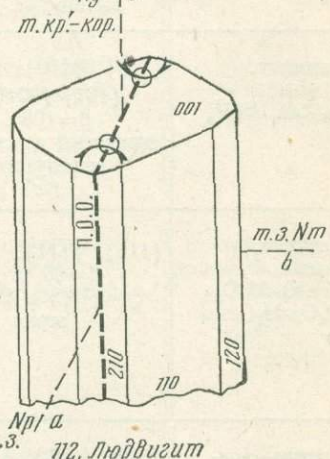
109 б. Гидрагиллит



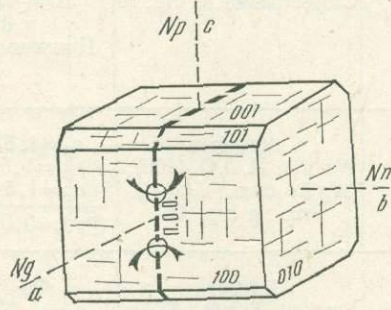
110. Арагонит



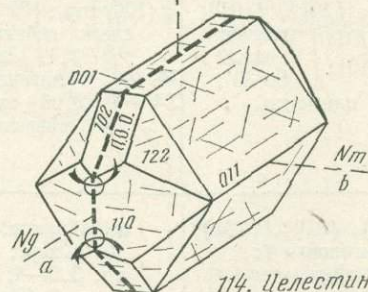
111. Гидромагнезит



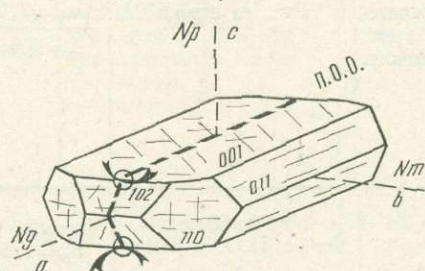
112. Люддигит



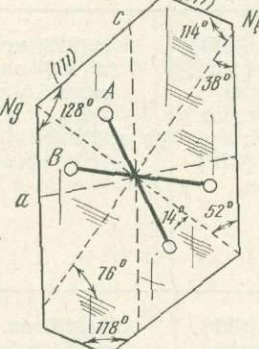
113. Ангидрит



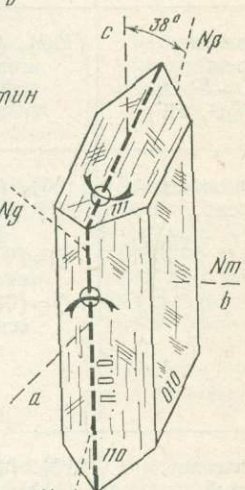
114. Целестин



115. Барит



116 б. Гипс, разрез по спайности // (010)



116 а. Гипс

ОПТИЧЕСКИ ДВУОСНЫЕ МИНЕРАЛЫ: ФОСФАТЫ, ГРУППЫ ОЛИВИНА,

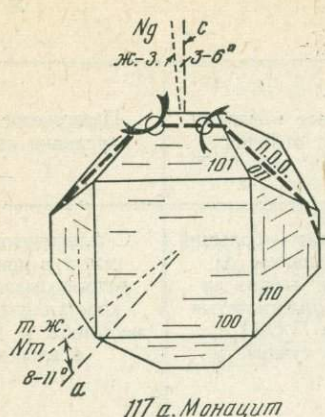
№ п/п	Название, сингония, формула	Наиболее часто встречающиеся простые формы, двойники, габитус, агрегаты	Спайность, твердость, уд. вес	Оптическая ориен- тировка	Показатель прелом- ления, двупрелом- ление
117	Монацит, МОН., $(Ce, La, Nd)_2O_3 \cdot P_2O_5$	{100}, {110}, {101}, {010}, $\beta=104^\circ$; $\diamond=(100)$, $\diamond=(001)$, пластиначатый; зерна; таблички {100}, вытянутые $\parallel b$	# (001) соверш., $\{100\}$ ясн. тв. 5—5,5; уд. в. 5,0—5,3	$Np \parallel b$, П.О.О. $\perp (010)$; $Nm \wedge a = \text{от} +8^\circ \text{ до} 11^\circ$; $Ng \wedge c = \text{от} +2^\circ \text{ до} 6^\circ$, бисс. Рис. на стр. 66	$n_p=1,786-1,800$ $n_m=1,788-1,801$ $n_g=1,837-1,849$ $\oplus, \Delta=0,051-0,049$
118	Вагнерит, МОН., $3MgO \cdot P_2O_5 \cdot MgF_2$	{120}, {110}, {100}, {101} {001}; $\beta=108^\circ$; зернистый до сильно вытянутого $\parallel c$	#(100) и {100} пл., (110) $\wedge (110)=57^\circ 30'$; тв. 5—5,5; уд. в. 3,12±	$Np \wedge a = +39^\circ 30'$; $Nm \parallel b$, П.О.О. (010); $Ng \wedge c = -21^\circ 30'$, бисс.; $l'=(+)$ Рис. на стр. 66	$n_p=1,569-1,5678$ $n_m=1,570-1,5719$ $n_g=1,582-1,5824$ $\oplus, \Delta=0,013-0,0146$
119	Лазулит, МОН., $(Mg, Fe)O \cdot Al_2O_3 \cdot P_2O_5 \cdot H_2O$	{111}, {111}, {101}; $\beta=90^\circ 45'$; $\diamond=(100)$ и {223}; зерна	# {110} хор., # {101} хор.; тв. 5—6; уд. в. 3,08±	$Np \wedge c \approx -9^\circ$, бисс.; $Nm \parallel b$, П.О.О. (010); $Ng \wedge c \approx +81^\circ$ Рис. на стр. 66	Не содержит. Содерж. Fe Fe $n_p=1,609-1,620$ $n_m=1,633-1,646$ $n_g=1,643-1,656$ $\ominus, \Delta=0,034-0,036$ Диаграмма на стр. 68
120	Амблигонит—мон- тебразит, трикли., $Al_2O_3 \cdot P_2O_5 \cdot 2LiF$ амблигонит $2LiOH$ монтебразит	{100}, {001}, {110}, {110}, {101}, {101}; $\diamond=(101)$ {пласти- $\diamond=(101)$ \parallel чатый 90°30'; плитчатый	#(001) соверш., #(100) хор., {021} пл.; слегка гибкий; тв. 6. $\left\{ \begin{array}{l} 3,11 \pm \text{ам-} \\ \text{бл.} \end{array} \right.$ уд. в. $\left\{ \begin{array}{l} 2,99 \pm \text{мон-} \\ \text{тебразит} \end{array} \right.$	$Np \wedge [010] =$ Амбл. Монт. $= \sim 11^\circ 15' \sim 0^\circ$ Рис. на стр. 66; Стереограмма на стр. 76	Амбл. Монт. $n_p=1,578-1,613$ $n_m=1,594-1,623$ $n_g=1,598-1,636$ $\Delta=\ominus 0,020-\oplus 0,023$ Диаграмма на стр. 76
121	Вавеллит, ромб., $3Al_2O_3 \cdot 2P_2O_5 \cdot 13(H_2O, HF)$	{110}, {010}, {101}; иголочки $\parallel c$, сферолиты	# {110} хор., (010) хор.; тв. 3,5—4; уд. в. 2,40±	$Np \parallel b$; $Nm \parallel a$, П.О.О. (100); $Ng \parallel c$ бисс.; $l'=(+)$ Рис. на стр. 66	$n_p=1,525-1,525$ $n_m=1,534-1,534$ $n_g=1,545-1,552$ $\oplus, \Delta=0,020-0,027$
122	Группа оливина, ромб., форстерит фаялит	{100}, {010}, {110}, {001}, {021}, {101}, {111}; $\diamond=(011)$, редко: $c \wedge c \sim 61^\circ$; $\diamond=(031)$ и {012} еще реже; зерна	#(010) ясн. #(100) пл.; тв. 6,5—7; уд. в. $\left\{ \begin{array}{l} 3,21 \uparrow \text{форсте-} \\ 4,34 \downarrow \text{рит} \\ \text{фаялит} \end{array} \right.$	$Np \parallel b$; $Nm \parallel c$, П.О.О. (001); $Ng \parallel a$ Рис. на стр. 67	Фо Фа $n_p=1,636-1,827$ $n_m=1,651-1,869$ $n_g=1,669-1,879$ $\Delta=\oplus 0,033-\ominus 0,052$
123	Монтичеллит, ромб., $CaO \cdot (Mg, Fe, Mn) \cdot O \cdot SiO_2$	{010}, {120}, {021}, {111}; зернистый, короткостолбчатый— толстотаблитчатый	#(010) пл.; тв. 5—5,5; уд. в. 3,03±	$Np \parallel b$, бисс.; $Nm \parallel c$, П.О.О. (001); $Ng \parallel a$ Рис. на стр. 67	20% Чистый Ca, Fe $n_p=1,641-1,654$ $n_m=1,646-1,664$ $n_g=1,652-1,674$ $\ominus, \Delta=0,011-0,020$

ГУМИТА, ЭПИДОТА, КОРДИЕРИТА И ДР.

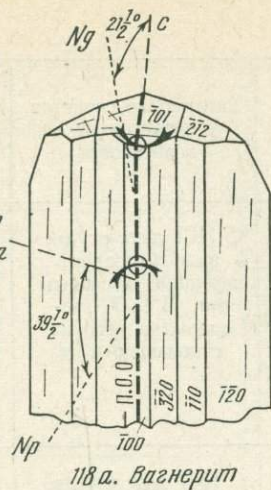
Угол и дисперсия оптических осей	Окраска в шлифе, плеохроизм, абсорбция	Химические свойства, характерные особенности	Сходные минералы и их отличия	Парагенезис, генезис и условия нахождения
$2V_{Ng}=6-19^\circ$; $r < v$ оч. слабая, редко $r > v$ оч. слабая	Бесцветный; редко: Np — светло-желтый, Nm — темно-желтый, Ng — зеленовато-желтый; $Nm > Np = Ng$ слабая	С трудом растворяется в HCl ; разлагается в горячей H_2SO_4 ; радиоактивный, так как содержит $Th SiO_4$	Циркон — больший n и односочный, абсорбция! Оливин и эпидот — больший $2V$	В пегматитах и аplitах; гидротермальный, в трещинах; в россыпях с цирконом, рутилом, гранатом
$2V_{Ng}=26-28^\circ$; $r > v$ заметная	Бесцветный	Легко растворяется в кислотах	Апатит — больший n и меньший Δ	Гидротермальный, в кварцевых жилах в филлитах
$2V_{Np}=64-67^\circ$; $r < v$ заметная	Np — бесцветный; Nm — небесно-голубой; Ng — небесно-голубой; $Ng > Nm \gg Np$	В кислотах не разлагается	Глаукофан, дистен-хор. #, больший n	В кварцитах и сходных метаморфических породах; в кварцевых жилах метаморфических областей; в гранитных пегматитах
$2V_{Np}=50-90^\circ$, амбл.; $r > v$; $2V_{Ng}=90^\circ-50^\circ$ монт.; $r < v$ Диаграмма на стр. 76	Бесцветный	Разлагается в HCl или H_2SO_4 ; дает реакции на F и PO_4 ; слабые аномальные интерференционные окраски; полисинтетические двойники	Плагиоклазы — меньшее Δ ; топаз — больший n	Li-минералы; пегматитовый до пневматолитового
$2V_{Ng}=72-84^\circ$; $r > v$	Бесцветный	Растворяется в HCl	Натролит — меньшие n и Δ ; пренит — большие n и Δ ; гидраргиллит — косое погасание	Гидротермально-низкотемпературный, преимущественно в осадочных породах
$2V_{Ng}=86^\circ$, форст.; $r < v$; $2V_{Np}=47^\circ$, фаял.; $r > v$ Диаграмма на стр. 68	Почти бесцветный, реже при окислении Np — зелено-вато-желтый; Nm — оранжево-желтый; Ng — зелено-вато-желтый	В HCl растворяется с образованием студневидного осадка; переходит в серпентин с ожелезнением и карбонатизацией; П.О.О. \perp к лучшей #	Пироксены — лучшая #; монтанеллит — меньшее Δ ; гумит — П.О.О. #, эпидот — другая окраска	Первично-магматический совместно с кварцем не встречается; форстерит — контактово-метаморфический; хризолит и гиалосидерит — базальты, габбро и эклогиты; горгонолит (редко) — габбро; фаялит — контактово-метаморфический
$2V_{Np}=80-90^\circ$; $r > v$ слабая	Бесцветный	В HCl растворяется с образованием студневидного осадка; переходит в серпентин	Оливин — большее Δ и лучше выраженная #	В контактово-метаморфизованных известняках; в альнейтах

№ п/п	Название, сингония, формула	Наиболее часто встречающиеся простые формы, двойники, габитус, агрегаты	Спайность, твердость, уд. вес	Оптическая ориентировка	Показатель прелом- ления, двупреломление
124	Хондродит, мон., $4(\text{Mg}, \text{Fe})\text{O} \cdot 2\text{SiO}_2 \cdot$ $\cdot \text{Mg}(\text{F}, \text{OH})_2$	{221}, {011}, {021}, {010}, {100}; $\beta=109^\circ$ (Гольдшмидт); $\diamond=(100)$; $\diamond=\{103\}$ и {403}; $90^\circ 30'$; зерна	#(100) ясн.; тв. 6—6,5; уд. в. $3,22 \pm$	$Np \wedge c = \text{от} +22$ до 29° ; $Nm \wedge a = \text{от} -3$ до -10° , П.О.О. \perp (010) ; $Ng \parallel b$, бисс. Рис. на стр. 67	Бедный Богатый Fe Fe $n_p=1,593-1,619$ $n_m=1,603-1,632$ $n_g=1,623-1,653$ $\oplus, \Delta=0,030-0,034$
125	Гумит, ромб., $6(\text{Mg}, \text{Fe})\text{O} \cdot 3\text{SiO}_2 \cdot$ $\cdot \text{Mg}(\text{F}, \text{OH})_2$	{110}, {100}, {011}, {001}, {hkl}; $\diamond=\{407\}$, пластинча- тые $\diamond=\{307\}$, пластинча- тые зерна, толсто- таблитчатый (010)	#(001) хор.; тв. 6—6,5; уд. в. $3,24 \pm$	$Np \parallel a$; $Nm \parallel c$. П.О.О. (001); $Ng \parallel b$, бисс. Рис. на стр. 67	Бедный Богатый Fe Fe $n_p=1,607-1,643$ $n_m=1,623-1,653$ $n_g=1,643-1,675$ $\oplus, \Delta=0,036-0,032$
126	Клиногумит, мон., $8(\text{Mg}, \text{Fe})\text{O} \cdot 4\text{SiO}_2 \cdot$ $\cdot \text{Mg}(\text{F}, \text{OH})_2$	{100}, {001}, {hol}, {hkl}; $\beta=101^\circ$ (Гольдшмидт); $\diamond=(100)$; $\diamond=(102)$, и $(\bar{1}01):59^\circ 30'$; зерна	#(100) ясн.; тв. 6—6,5; уд. в. $3,19 \pm$	$Np \wedge c = \text{от} +7$ до 15° ; $Nm \wedge a = \pm 4^\circ$, П.О.О. $\perp (010)$; $Ng \parallel b$, бисс. Рис. на стр. 67	Бедный Богатый Fe Fe $n_p=1,623-1,664$ $n_m=1,636-1,673$ $n_g=1,651-1,698$ $\oplus, \Delta=0,028-0,034$
127	Титанклиногумит, мон., $8(\text{Mg}, \text{Ti})\text{O} \cdot 4\text{SiO}_2 \cdot$ $\cdot \text{Mg}(\text{F}, \text{OH})_2$	{301}, {102}, {100}, {021}, {121}; $\beta=101^\circ$ (Гольд- шмидт); $\diamond=\overline{(101)}$, пластин- чатые; зерна, столбики	#(100) ясн.; тв. 6; уд. в. $3,25 \pm$	$Np \wedge a = \text{от} +11^\circ$ (красный) до $+27^\circ$ (синий); $Nm \wedge c = \text{от} 0^\circ$ (красный) до -16° (синий), П.О.О. \perp (010) ; $Ng \parallel b$, бисс. Рис. на стр. 67	Бедный Богатый Fe Fe $n_p=1,658-1,691$ $n_m=1,670-1,700$ $n_g=1,690-1,724$ $\oplus, \Delta=0,032-0,033$
128	Мервинит, мон., $\text{MgO} \cdot 3\text{CaO} \cdot 2\text{SiO}_2$	{010}, {110}; $\diamond\{110\}$, пластинчатые, редко $\diamond=(100)$; зерна	# (010) соверш.; тв. 6; уд. в. $3,15 \pm$	$Np \wedge c = +36^\circ$; $Nm \wedge a = ?$ П.О.О. $\perp (010)$; $Ng \parallel b$, бисс. Рис. на стр. 67	$n_p=1,708-1,710$ $n_m=1,711-1,712$ $n_g=1,718-1,718$ $\ominus, \Delta=0,010-0,008$
129	Спэррит, мон. /?, $5\text{CaO} \cdot 2\text{SiO}_2 \cdot \text{CO}_2$	$\beta=101^\circ$; $\diamond=(001)$ и {hol}, пластинчатые, зернистый, вытянутый $\parallel c$	# (001) хор., # (100) пл.; тв. 5; уд. в. 3,01	$Np \parallel b$, бисс.; $Nm \wedge a = +33^\circ$, П.О.О. $\perp (010)$; $Ng \wedge a = -57^\circ$, $Ng \wedge c = -22^\circ$ Рис. на стр. 67	$n_p=1,637-1,641$ $n_m=1,672-1,674$ $n_g=1,676-1,681$ $\ominus, \Delta=0,039-0,040$

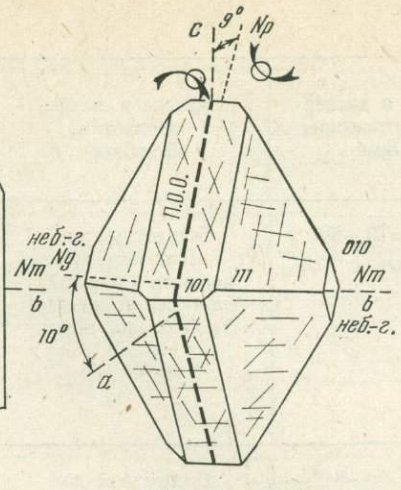
Угол и дисперсия оптических осей	Окраска в шлифе, плеохроизм, абсорбция	Химические свойства, характерные особенности	Сходные минералы и их отличия	Парафенезис, генезис и условия нахождения
$2V_{Ng}=73-89^\circ$; $r>v$ оч. слабая	Бесцветный до: Np — золотисто-желтый, коричнево-желтый; Nm — светло-желтый; Ng — бледно-желто-ватый; $Np>Nm>Ng$	С HCl дает студневидный осадок; переходит в серпентин; П.О.О. расположена косо по отношению к #	Ставролит — больший n и низкое Δ ; оливин — едва ли имеет пластинчатые \diamond и П.О.О. \perp к лучшей #	С флогопитом и шпинелью в kontaktово-метаморфизованных и кристаллических известняках и доломитах; в альбёитах
$2V_{Ng}=68-81^\circ$; $r>v$ слабая	Бесцветный до: Np — золотисто-желтый; Nm — бледно-желтый; Ng — бледно-желтый;	С HCl дает студневидный осадок; переходит в серпентин; П.О.О. #	Оливин — П.О.О. \perp #; клиногумит — П.О.О. косо к #	Редкий; с хондродитом и клиногумитом в зернистых известняках и доломитах
$2V_{Ng}=62-85^\circ$; $r>v$ оч. слабая	Бесцветный до: Np — золотисто-желтый, коричневато-желтый; Nm — светло-желтый; Ng — бледно-желто-ватый; $Np>Nm>Ng$	С HCl дает студневидный осадок; серпентинизируется; П.О.О. косо к ##	Ставролит — больший n и меньшее Δ ; оливин — не имеет \diamond и П.О.О. \perp к лучшей #	Редкий; с флогопитом и шпинелью в метаморфизованных известняках и доломитах
$2V_{Ng}=58-76^\circ$; $r>v$ оч. ясная	Np — красно-оранжевый, кроваво-красный; Nm — светло-желтый, оранжевый; Ng — светло-желтый, оранжевый; $Np>Nm\sim Ng$	С HCl дает студневидный осадок; серпентинизируется; оч. сильная дисперсия	Хондродит и клиногумит — Np близко к следу \diamond ; ставролит — больший n и меньшее Δ	С оливином в серпентинатах и тальковых сланцах; редко — в метаморфизованных известняках
$2V_{Ng}=60-68^\circ$; $r>v$ слабая	Бесцветный	С HCl дает студневидный осадок; при разложении серпентинизируется; полисинтетические $\diamond: 42^\circ 30'$	Монтчеллит — ромбический и имеет меньший n , \ominus	С спирритом, геленитом и волластонитом в kontaktово-метасоматических известняках
$2V_{Np}=39-41^\circ$; $r>v$ ясная	Бесцветный	В концентрированной HCl вспучивается и дает студневидный осадок; при выветривании переходит в карбонаты; полисинтетические альбитообразные \diamond	Плагиоклазы — меньшие n и Δ	С геленитом, волластонитом и мервинитом в kontaktово-метасоматических известняках



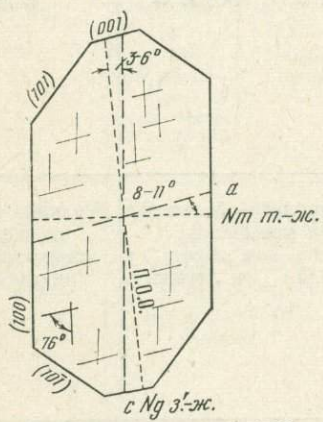
117 а. Монацит



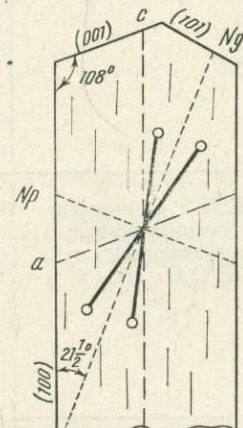
118 а. Вагнерит



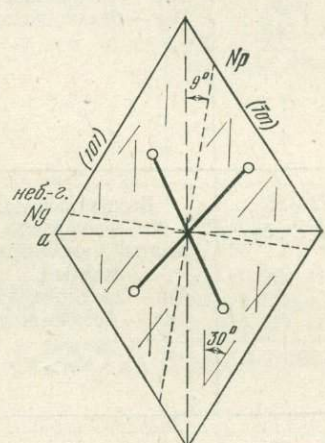
119 а. Лазулит



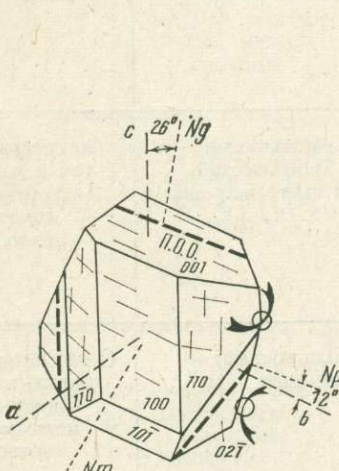
117 б. Монацит. Разрез //010



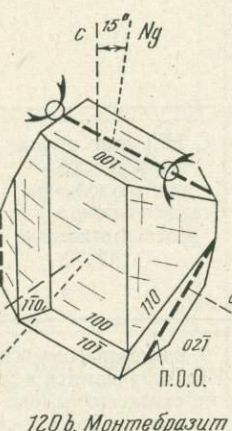
118 б. Вагнерит. Разрез //010



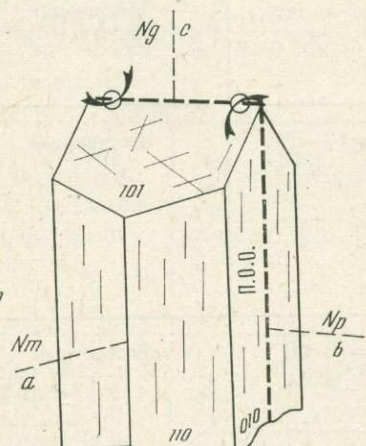
119 б. Лазулит. Разрез //010



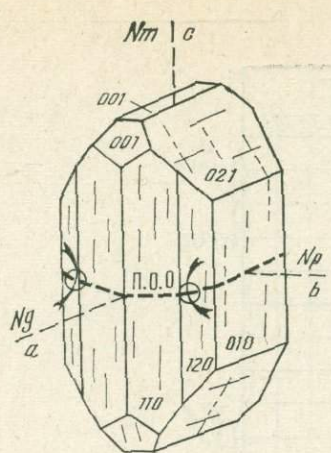
120 а. Амблигонит



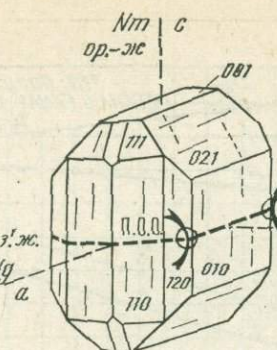
120 б. Монтеброзит



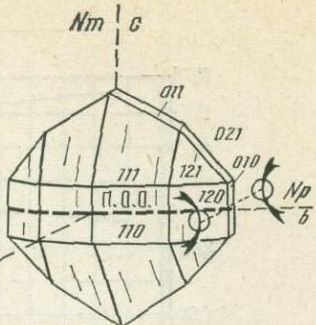
121. Вавеллит



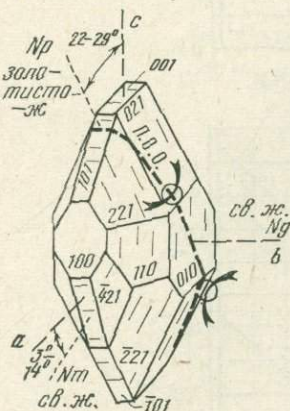
122 а. *Форстерит*



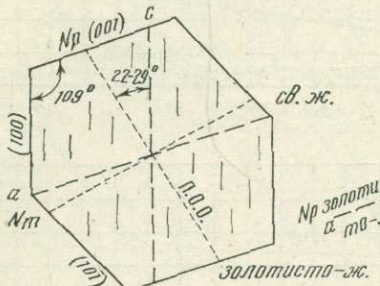
122б. Фаялит



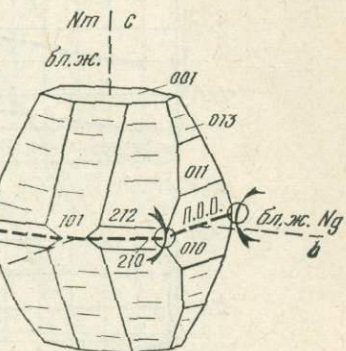
123. Монтичелли



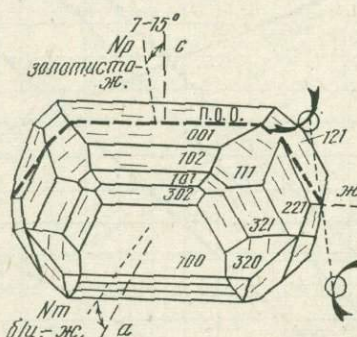
124a. Хондродит



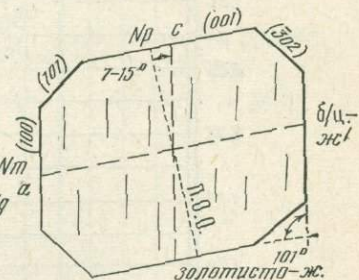
124 б. Хондродит, разрез II 010



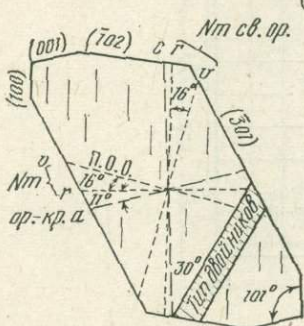
125. Гјмит



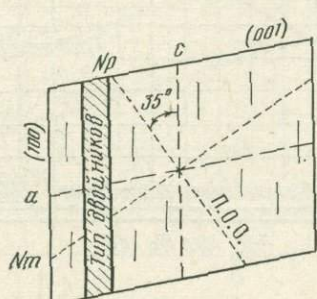
126 а. Клиногумит
(сходен с 127 титанклиногумитом)



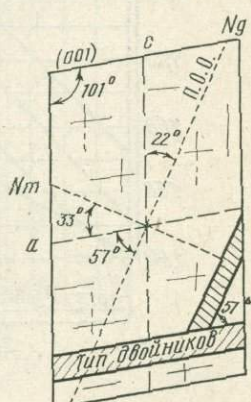
126 б. Клиногемит, разрез II ОД



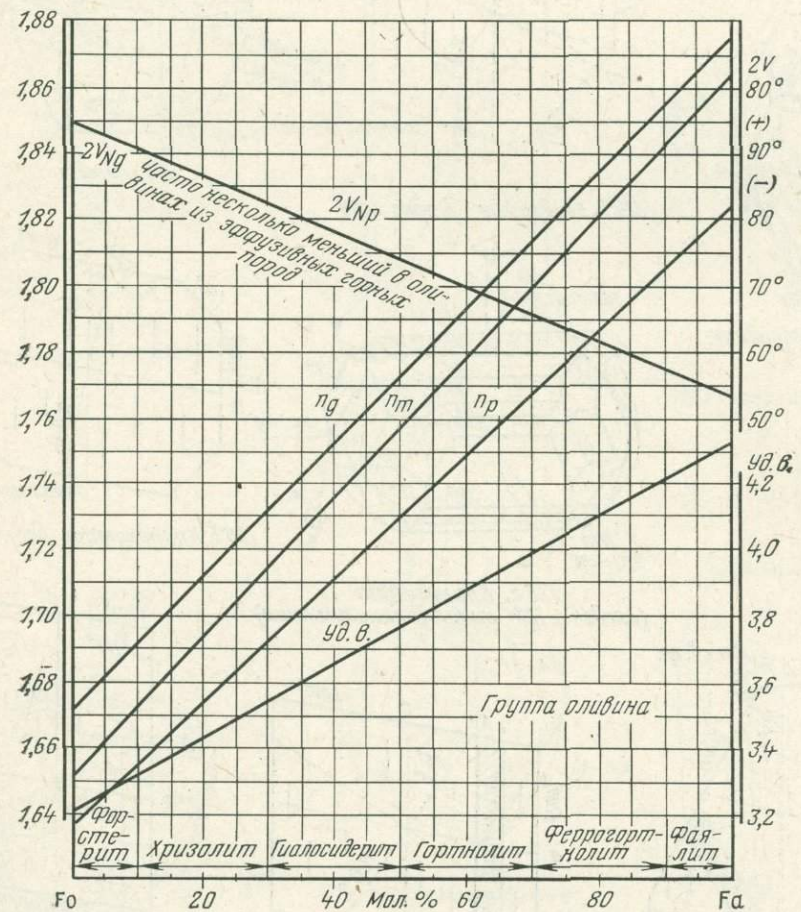
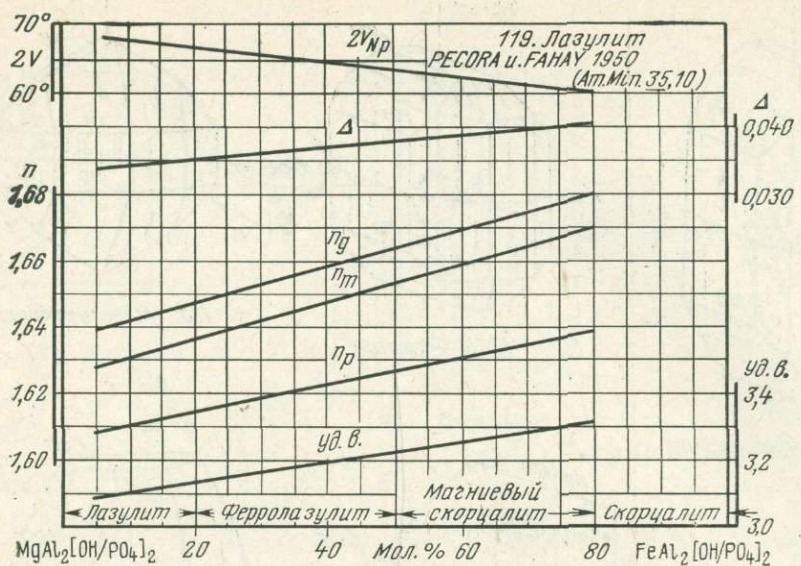
127. Титанклиновгумит

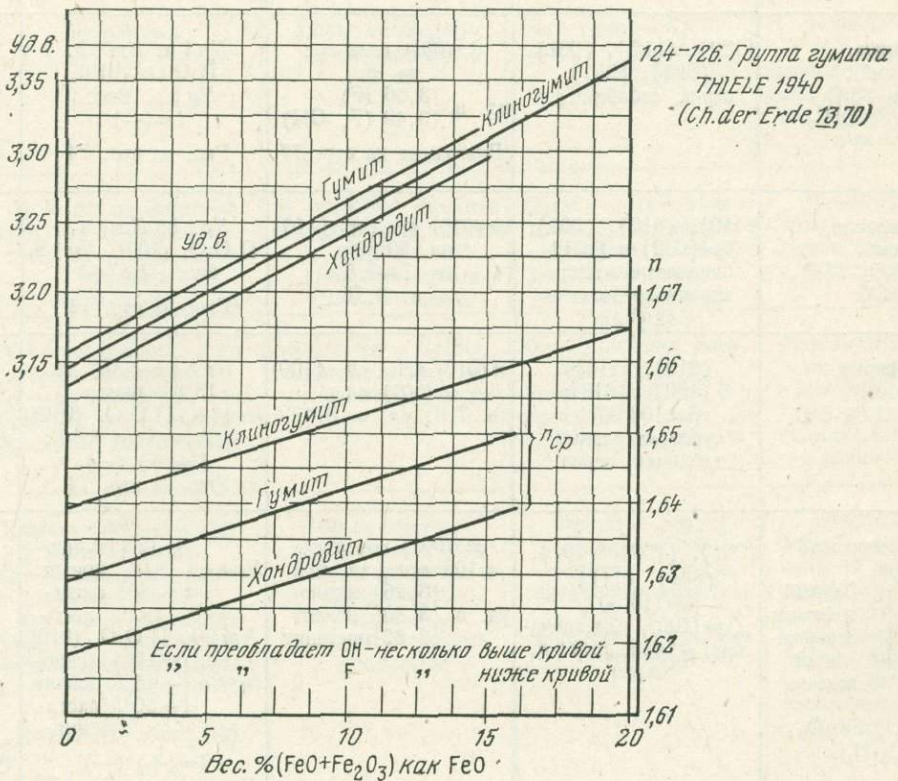
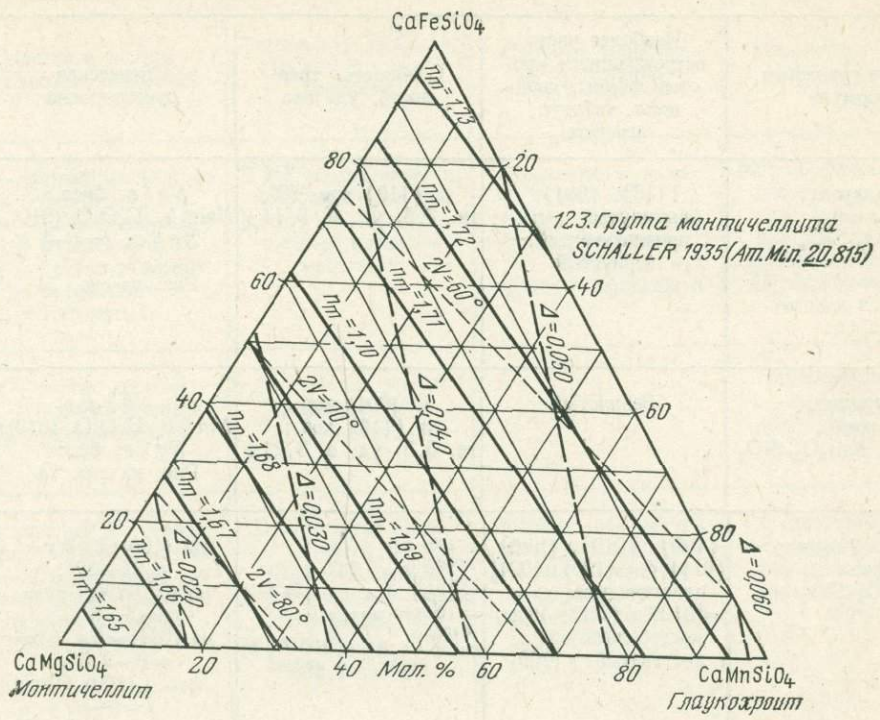


128. Мервинит, разрез II 010



129. Спиррит, разрез 11010



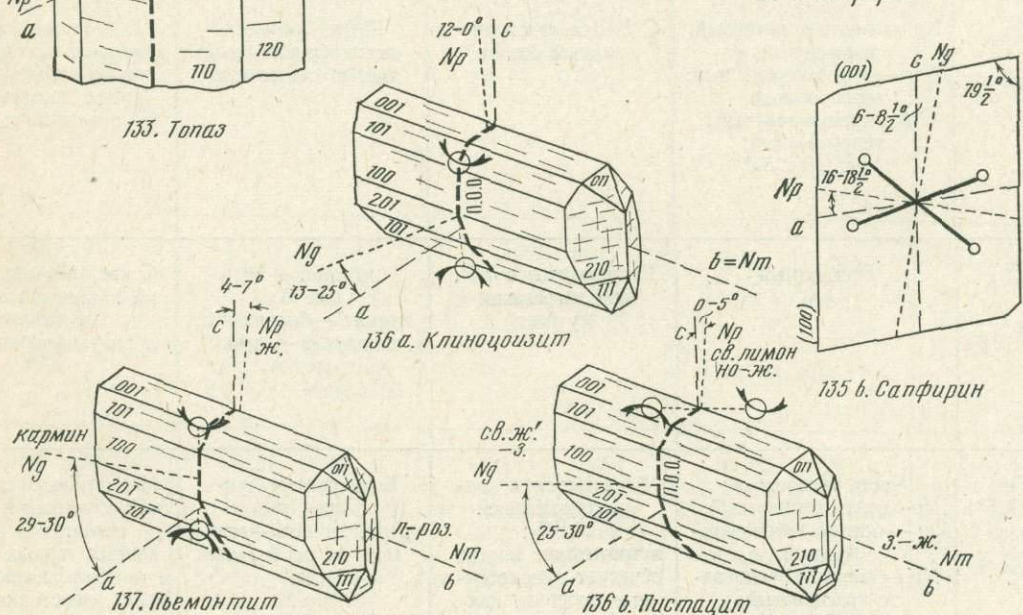
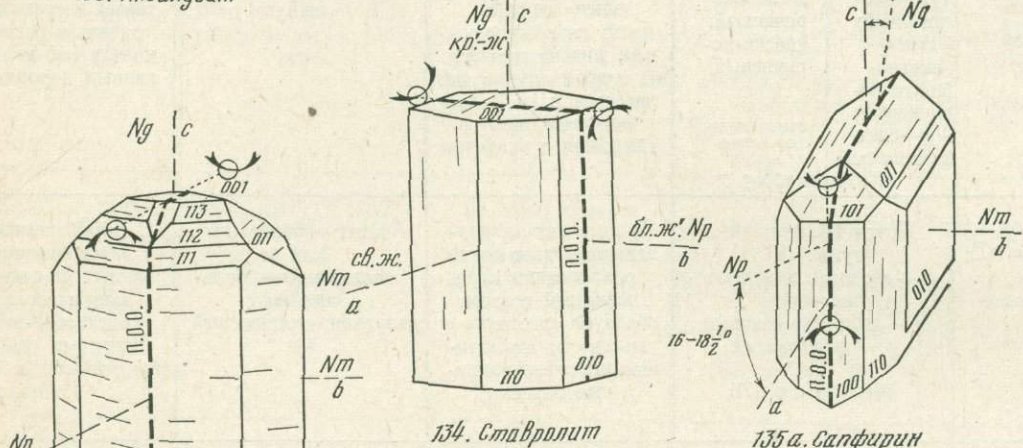
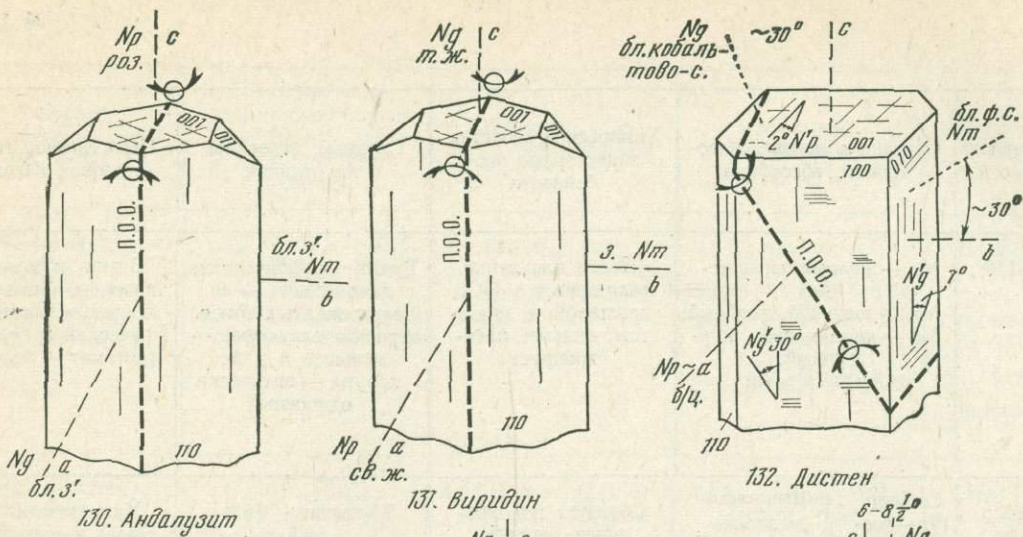


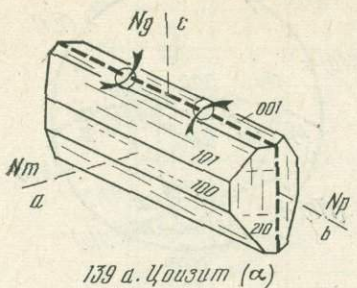
№ п/п	Название, сингония, формула	Наиболее часто встречающиеся про- стые формы, двой- ники, габитус, агрегаты	Слайность, твер- дость, уд. вес	Оптическая ориентировка	Показатель прелом- ления, двупрелом- ление
130	Андалузит, ромб., $\text{Al}_2\text{O}_3 \cdot \text{SiO}_2$	{110}, {001}; вытянутый $\parallel c$; призматический, зернистый	# {110} хор. 89°; тв. 7,5; уд. в. 3,14±	$Np \parallel c$, бисс.: $Nm \parallel b$, П.О.О. (010), $Ng \parallel a$, $l=(-)$ Рис. на стр. 74	Не содер- жащий Fe Содержа- щий Fe $n_p=1,629-1,640$ $n_m=1,633-1,644$ $n_g=1,638-1,651$ $\ominus, \Delta=0,009-0,011$ Диаграмма на стр. 77
131	Виридин, ромб., $(\text{Al}, \text{Fe}, \text{Mn})_2\text{O}_3 \cdot \text{SiO}_2$	Зернистый	# {001} хор., # {110} хор.; тв. 6,5; уд. в. 3,21±	$Np \parallel a$; $Nm \parallel b$, П.О.О. (010); $Ng \parallel c$, бисс. Рис. на стр. 74	$n_p=1,662$ $n_m=1,671$ $n_g=1,691$ $\oplus, \Delta=0,029$
132	Дистен (кианит), трипл., $\text{Al}_2\text{O}_3 \cdot \text{SiO}_2$	{100}, {010}, {hk0}, {011}; $\diamond=(100) \text{ и } \{001\}$ пластинчатые; $\diamond=[010] \text{ и } \{212\}$; широ- костебельчатый $\parallel c$; листоватый $\parallel (100)$	#(100) в. соверш. } 74° #(010) } соверш. } 78°30'; #(001) } 86°45' волокн. тв. 4—4,5 $\parallel c$, 5—7 $\parallel b$; уд. в. 3,59	На (100): $Ng \wedge c =$ = 27—32°, на (010): $Ng' \wedge c =$ = 5—8°, на (001): $Ng' \wedge c =$ = 0—2,5°, $Np \sim \perp (100)$ бисс.; $l=(+)$ Рис. на стр. 74, 76	$n_p=1,712-1,717$ $n_m=1,720-1,722$ $n_g=1,728-1,729$ $\ominus, \Delta=0,016-0,012$
133	Топаз, ромб., $2\text{Al}_2\text{O}_3 \cdot 3\text{SiO}_2 \cdot$ $\cdot 2\text{Al} (\text{F}, \text{OH})_3$	{120}, {hk0}, {001}, {0k1}, {hkl}; зерна, столбики $\parallel c$	# (001) соверш.; тв. 8; уд. в. {3,56 (F) [3,49 (F, OH)}	$Np \parallel a$; $Nm \parallel b$, П.О.О. (010); $Ng \parallel c$, бисс.; $l=(-)$ Диаграмма на стр. 77	(F) (F, OH) $n_p=1,606-1,635$ $n_m=1,609-1,637$ $n_g=1,616-1,644$ $\oplus, \Delta=0,010-0,009$ Диаграмма на стр. 77
134	Ставролит, ромб., $4\text{FeO} \cdot 9\text{Al}_2\text{O}_3 \cdot 8\text{SiO}_2 \cdot$ $\cdot \text{H}_2\text{O}$	{110}, {010}, {001}; $\diamond=\{032\} \text{ и } \{231\}$, непластиничатые; короткопризматиче- ский $\parallel c$	# (010) ясн., # {110} пл. 50°30'; тв. 7—7,5; уд. в. 3,76±	$Np \parallel b$; $Nm \parallel a$, П.О.О. (010); $Ng \parallel c$, бисс.; $l=(+)$ Рис. на стр. 74	$n_p=1,739-1,747$ $n_m=1,745-1,753$ $n_g=1,752-1,762$ $\oplus, \Delta=0,013-0,015$ Диаграмма на стр. 77
135	Сапфирин, мон., $2\text{MgO} \cdot 2\text{Al}_2\text{O}_3 \cdot \text{SiO}_2$	{010}, {110}, {100}, {010}; $\beta=100^\circ 30'$; субпараллельные таблички, зерна	#(010) ясн., # (100) и (001) пл.; тв. 7,5; уд. в. 3,49±	$Np \wedge a = +16^\circ$ до 18°30' бисс.; $Nm \parallel b$, П.О.О. (010); $Ng \wedge c = 6$ до 8°30'; $l=(+) (-)$ Рис. на стр. 74	$n_p=1,705-1,714$ $n_m=1,709-1,719$ $n_g=1,711-1,720$ $\ominus, \Delta=0,006-0,006$
136	Группа эпидота, мон., клино- циозит бедный писта- железом цит содержит- жущий железо	{001}, {100}, {101}, {h01}, {111}; $\beta=115^\circ 30'$; $\diamond=(100)$, пластинча- тые; удлиненный $\parallel b$, зерна	# (001) соверш., #100 ясн.; тв. 6,5; {3,25} клино- уд. в. {3,30} циозит {3,52} пистацит	$Np \wedge c \begin{cases} +12^\circ \\ 0^\circ \\ -5^\circ \end{cases}$ клино- циозит $Nm \parallel b$, П.О.О. (010) $Ng \wedge a \begin{cases} +15^\circ \\ +25^\circ \\ +30^\circ \end{cases}$ клино- циозит $l=(+) (-)$ Рис. на стр. 74 и 78	Клино- циозит $n_p=1,697-1,729$ $n_m=1,699-1,761$ $n_g=1,702-1,778$ $\oplus, \Delta=0,005-0,008$ $-0,049$ Диаграмма на стр. 78

Угол и дисперсия оптических осей	Окраска в шлифе, плеохроизм, абсорбция	Химические свойства, характерные особенности	Сходные минералы и их отличия	Парафенезис, генезис и условия нахождения
$2V_{Np}=83^\circ-85^\circ$; $r < v$ слабая, (редко $r > v$ слабая)	Np — розово-красный до бесцветного; Nm — бледно-зеленый до бесцветного; Ng — бледно-зеленый до бесцветного; пятнистый	В HF не разлагается; превращается в се-рицит; с темно-окрашенным ядром — хиастолит	Призматин — мень-ший $2V$; гиперстен — $l = (+)$; скаполит — мень-ший n ; тулит — больший n	Метаморфический, с кордиеритом и слюдой в кристаллических сланцах; также в пегматитах; хиастолит в слабо контактово-метаморфизованных глинистых сланцах
$2V_{Ng}=71^\circ$; $r < v$	Np — светло-желтый; Nm — травяно-зеленый; Ng — темно-желтый	Аномальные интер-ференционные окраски		Метаморфический, в Mn-содержащих сланцах
$2V_{Np}=82^\circ 30'$; $r > v$ оч. слабая	Бесцветный до серо-синего; Np — бесцветный; Nm — бледно-фиолетово-синий; Ng — бледно-кобальтово-синий; $Np < Nm < Ng$	В HF плохо разла-гается; ясно выраженные пересекающиеся тре-щины спайности, искривленный; пере-ходит в серицит	Родонит — более тон-кие трещинки спай-ности и пластинчатые двойники; гиперстен — меньший $2V$	Со ставролитом, гранатом, силлманитом и рутилом, в кристаллических сланцах и в пегматитах
$2V_{Ng}=66^\circ$ (F) — -44° (F, OH); $r > v$ ясная Диаграмма на стр. 77	Бесцветный	Почти не подвер-гается действию кислот	Андалузит — $Np \parallel c$; кварц — меньший n , нет #	С кварцем, минералами F и B, касситеритом; пневматолитово-пегматито-вый, особенно в границах и родственных горных породах
$2V_{Ng}=79^\circ-88^\circ$; $r > v$ сильная	Np — бледно-желто-ватый; Nm — светло-желтый; Ng — красновато-желтый; $Np \approx Nm < Ng$	В холодных кислотах не разлагается; сильно загрязненный пойкилобластовыми включениями	Ортит — в основном в изоморфных смесях; сингматит — мень-ший n и большее Δ , а также другая #	Метаморфический; с гранатом, дистеном, рутилом и слюдой в кристаллических сланцах и россыпях
$2V_{Np}=50^\circ-70^\circ$; $r < v$ сильная наклонная	Np — бесцветный, розо-вый, желтоватый; Nm — светло-синий, сине-зеленый; Ng — сапфиро-во-синий, темно-синий; $Np < Nm < Ng$	Разлагается в $KHSO_4$; аномальные интер-ференционные окраски	Корунд — более высо-кая твердость; циозит — лучшая #; серендибит — имеет \diamond ; оттрелит — лучшая #	Метаморфический высоко-температурных зон; с антофиллитом, кордиеритом, шпинелью и силлманитом в гнейсах и слюдяных сланцах
$2V_{Ng}=65^\circ$ клиноцизит $r < v$; $2V=90^\circ$ пиаст- $2V_{Np}=65^\circ$ цит $r \gg v$ Диаграмма на стр. 78	Клиноцизит — бесцвет-ный; пиастазит: Np — бесцветный, светло-лимонно-желтый; Nm — зеленовато-желтый; Ng — бесцветный, светло-желтовато-зеле-ний; $Np < Ng < Nm$ (редко $Np < Nm < Ng$)	Только пиастазит разлагается в HCl; аномальные интер-ференционные окраски; не дают вторичных продуктов	Фаялит — другая окраска и #; пироксен — другая оптическая ориенти-ровка и #; везувиан — оптически одноосный	С авгитом, роговой обманкой, кварцем и магнетитом в основных регионально- и контакто-во-метаморфизованных породах; пиастазит — также гидротермальный в трещинах; клиноцизит также в соссюrite

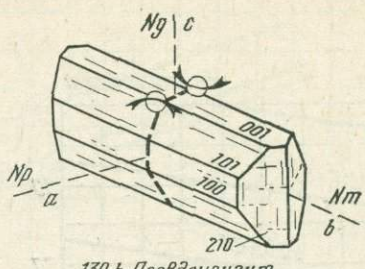
№ п/п	Название, сингония, формула	Наиболее часто встречающиеся про- стые формы, двой- ники, габитус, агрегаты	Спайность, твер- дость, удельный вес	Оптическая ориентировка	Показатель прелом- ления, двупрелом- ление
137	Пьемонтит, мон., $4 \text{ (Ca, Mn) O} \cdot 3 \text{ (Al, Fe, Mn)}_2 \text{O}_3 \cdot 6\text{SiO}_2 \cdot \text{H}_2\text{O}$	{100}, {001}, {101}, {h01}, {201}, {111}; $\beta=115^{\circ}30'$; $\diamond=(100)$, пластинчатый; удлиненный $\parallel b$	# (001) хор., # (100) и (010) ясн.; тв. 6—6,5; уд. в. $3,45 \pm$	$Np \wedge c=\text{от } -4$ до $-7^{\circ}30'$; $Nm \parallel b$, П.О.О. (010); $Ng \wedge a=+29$ до $+33^{\circ}$, бисс.; $l=(+)(-)$ Рис. на стр. 74 и 79	Бедный Богатый Mn Mn $n_p=1,730-1,756$ $n_m=1,747-1,789$ $n_g=1,765-1,829$ $\oplus, \Delta=0,035-0,073$ Диаграмма на стр. 79
138	Ортит (алланит), мон., $4 \text{ (Ca, Cl, La) O} \cdot 3 \text{ (Al, Fe)}_2 \text{O}_3 \cdot 6\text{SiO}_2 \cdot \text{H}_2\text{O}$	{100}, {001}, {102}, {h01}; $\beta=115^{\circ}$; $\diamond=(100)$; таблитчатый $\parallel (100)$, зерна	#(001) ясн., #(100) и {110} пл.; хрупкий; тв. 5,5—6; уд. в. 4,2—3,7 у изотропного до 2,8; Диаграмма на стр. 79	$Np \wedge c=-(22)-35^{\circ}-$ $-(47^{\circ})$, бисс.; $Nm \parallel b$, П.О.О. (010); $Ng \wedge a=+(47)-60^{\circ}-$ $-(72^{\circ})$; иногда сильно диспергирует Рис. на стр. 75, 78	Свеж. Корич. Изотр. $n_p=1,788-1,727$ $n_m=1,810-1,739$ $n_g=1,820-1,751$ $\oplus, \Delta 0,032-0,024-0,000$ Диаграмма на стр. 79
139	Цоизит (α) и псевдо- циозит (β), ромб., $4 \text{ (Ca, Mn) O} \cdot 3 \text{ (Al, Fe)}_2 \text{O}_3 \cdot 6\text{SiO}_2 \cdot \text{H}_2\text{O}$	{101}, {210}, {100}, {001} (Брёггер); нет \diamond ; короткопризматический $\parallel b$, листоватый	# (100) соверш., # (001) пл.; попеченные трещины $\parallel (010)$; тв. 6—6,5; уд. в. $3,36 \pm$	$Np \parallel b$ α β $Nm \parallel a$ a $Ng \wedge c$, бисс. c , бисс. П.О.О. (100) (010) $l=(+)(-)$ Рис. на стр. 75	α β $n_p=1,704$ $1,695$ $n_m=1,702$ $1,695$ $n_g=1,707$ $1,702$ $\oplus, \Delta=0,006$ $0,007$
140	Ильвант (лиеврит), ромб., $2\text{CaO} \cdot 4\text{FeO} \cdot \text{Fe}_2\text{O}_3 \cdot 4\text{SiO}_2 \cdot \text{H}_2\text{O}$	{110}, {120}, {101}, {010}; удлиненный $\parallel c$, волокнистый; плотный	# (010) ясн., # (001) и (100) пл.; тв. 5,5—6; уд. в. $4,03 \pm$	$Np \parallel b$; $Nm \parallel a$, П.О.О. (100); $Ng \parallel c$, бисс.; $l=(+)$ Рис. на стр. 75	$n_p \sim 1,878$ $n_m \sim 1,890$ $n_g \sim 1,926$ $\oplus, \Delta \sim 0,048$
141	Лавсонит, ромб., $\text{CaO} \cdot \text{Al}_2\text{O}_3 \cdot 2\text{SiO}_2 \cdot 2\text{H}_2\text{O}$	{010}, {101}, {001}, {0h1}; $\diamond\{101\}$, $67^{\circ}15'$, пластинчатый; удлиненный $\parallel b$; волокнистый, таблитчатый $\parallel (010)$, зернистый	# (100) соверш., # (010) хор., # {101} ясн. 67° ; тв. 6; уд. в. $3,09 \pm$	$Np \parallel c$; $Nm \parallel a$, П.О.О. (100); $Ng \parallel b$, бисс.; $l=(-)$ Рис. на стр. 75	$n_p=1,665$ $n_m=1,674$ $n_g=1,684$ $\oplus, \Delta=0,019$
142	Титанит (сфен), мон., $(\text{Ca, Y}) \text{O} \cdot (\text{Ti, Al})_2 \text{O}_3 \cdot \text{SiO}_2$	{111}, {100}, {001}, {110}; $\beta=119^{\circ}45'$; $\diamond=(100)$; имеет форму конверта, таблитчатый $\parallel (001)$, призматический, зернистый	# {110} или {111} пл.; отд. приблизительно $\parallel (221)$; тв. 5—5,5; уд. в. $3,51 \pm$ (итротитанит 3,65)	$Np \wedge a=-21^{\circ}$; $Nm \parallel b$, П.О.О. (010); $Ng \wedge c=+51^{\circ}$, (титанит)= 59° (итротитанит), бисс.; $Ng \approx \perp (102)$ Рис. на стр. 75	Тит. Грот. Кейльг. $n_p=1,921-1,920-1,885$ $n_m=1,927-1,932-1,896$ $n_g=2,081-2,050-1,993$ $\oplus, \Delta 0,160-0,130-0,108$

Угол и дисперсия оптических осей	Окраска в шлифе, плеохроизм, абсорбция	Химические свойства, характерные особенности	Сходные минералы и их отличия	Парафенезис, генезис и условия нахождения	
$2V_{Ng}=70^\circ\text{--}110^\circ$; $r \gg v$ Диаграмма на стр. 79	Np — желтый, оранжевый; Nm — лиловый, розовый; Ng — карминовый, пурпурный; $Ng > Np > Nm$	После плавления разлагается в HCl; срастается с эпидотом; сильнее плеохроирует	Тулит — ромбический; диомортьерит — не имеет желтых тонов окраски; глаукофан — меньшие n и Δ ; корунд — оптически односочный	В эпигенетической мезозоне; с кварцем, слюдой, глаукофаном; автометаморфический в порфиритах (витамит — бедный Mn)	
$2V_{Np}$ $70^\circ\text{--}90^\circ$; $r \gg v$ оч. сильная	Свежий Np — бесцветный; Nm — светло-желто-коричневый; Ng — светло-зеленый $Np < Nm < Ng$	Измененный желто-коричневый; красно-коричневый; темно-красно-коричневый	Образует плеохроичные дворики; часто изотропизирован: низкие n и Δ ; в этом случае разлагается в HCl; изоморфные смеси и срастания с эпидотом	Ti-гранат — больший n	Магматически-пегматитовый в гранитах — диоритах; в регионально-контактово-метаморфизованных породах (гнейсы)
α $2V_{Ng}=0^\circ\text{--}30^\circ$; $r \ll v$	β $25\text{--}50^\circ$; $r > v$	Почти бесцветный; тулит (β) a — светлый зеленовато-желтый, b — лиловато-розовый, c — желтоватый Рис. на стр. 75	В кислотах не разлагается; дает после прокаливания студневидный осадок; образует срастания с эпидотом; аномальные интерференционные окраски	Апатит — более низкий n ; силлиманит — большее Δ ; везувиан — односочный, \ominus	С амфиболами в регионально-метаморфизованных основных породах; в соссюорите; в контактово-метаморфизованных силикатных известняках; в кварцевых жилах
$2V_{Ng} \sim 60^\circ$; $r \ll v$ оч. сильная	Np — желто-коричневый, коричневый; Nm — темно-коричневый, непрозрачный; Ng — темно-зеленый, непрозрачный; $Np < Nm < Ng$	C HCl дает студневидный осадок	Гётит, лимонит, псевдобрукит, энigmatит, синтагматит	Контактово-пневматолитовый; ассоциирует с роговой обманкой, эпидотом, кварцем и железной рудой	
$2V_{Ng}=84^\circ$; $r \gg v$ сильная	Бесцветный	Растворяется в HF; при нагревании мутнеет	Ангидрит — меньшее Δ ; пренит — большее Δ ; андалузит — меньшее Δ	С кислыми плагиоклазами в измененных габбро и диабазах; в глаукофановых сланцах	
Чист. Al, Fe $2V_{Ng}=23^\circ\text{--}37,5^\circ$; $r \gg v$	Часто бесцветный; Np — почти бесцветный; Nm — бледно-зеленовато-желтый; Ng — светло-коричневато-красноватый; $Np < Nm < Ng$	Разлагается в концентрированной H_2SO_4 ; итротитанит иногда образует плеохроичные дворики; как и лейкоксен продукт разрушения ильменита	Бадделеит — лучшая $\#$; ортит, эпидот — меньшие Δ , n , больший $2V$	Магматический, с роговой обманкой в гранитах, сиенитах и родственных горных породах; в метаморфических породах: известняках, амфиболовых породах и скарнах; гидротермальный в трещинах	

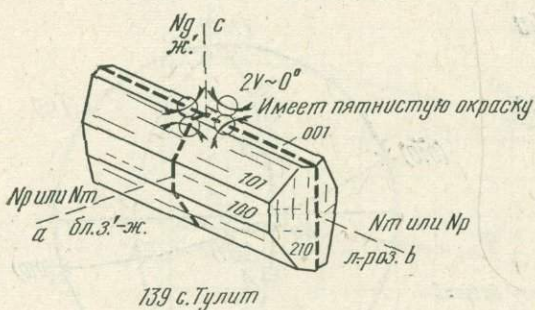




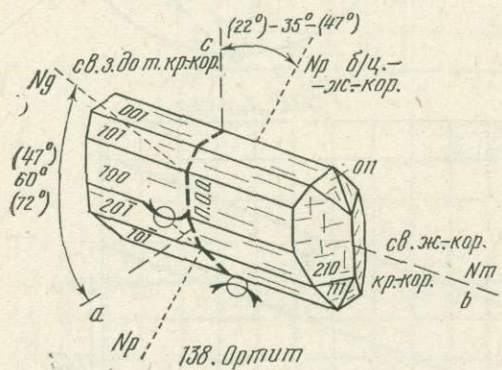
139 а. Цирозит (α)



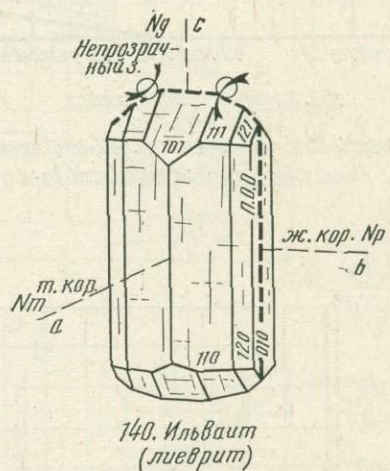
139 б. Псевдоцирозит



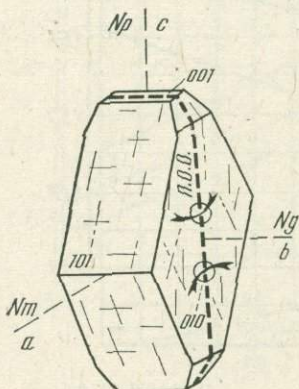
139 с. Тулиит



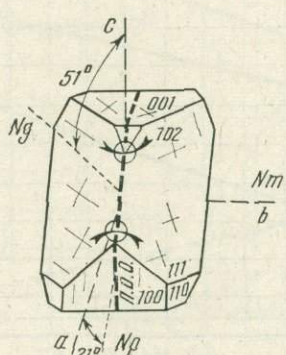
138. Ортит



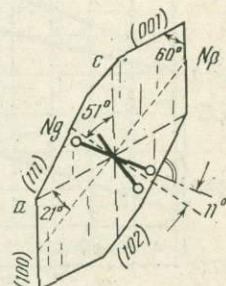
140. Ильвагит (лиеврит)



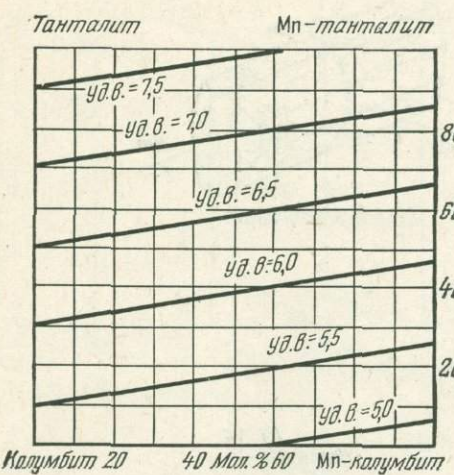
141. Лавсанит



142 а. Титанит



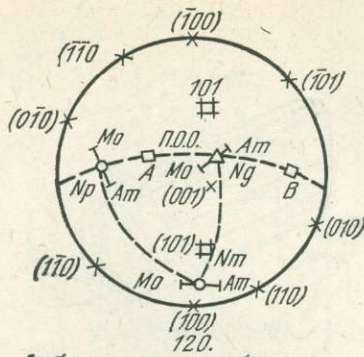
142 б. Титанит



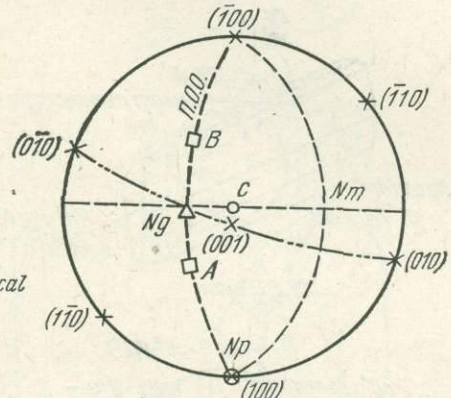
102. Колумбит-танталит

WINCHELL 1927

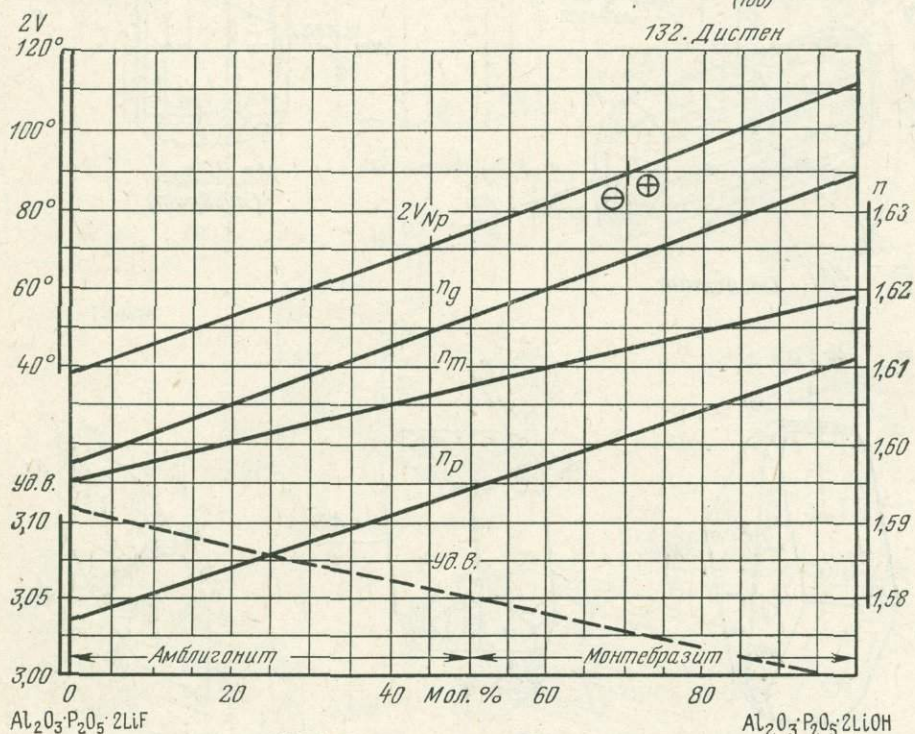
(Copyrighted, 1951, by A.N. Winchell in Elements of Optical Mineralogy, pt. II; Reproduced by permission)



Амблигонит-монтиебразит



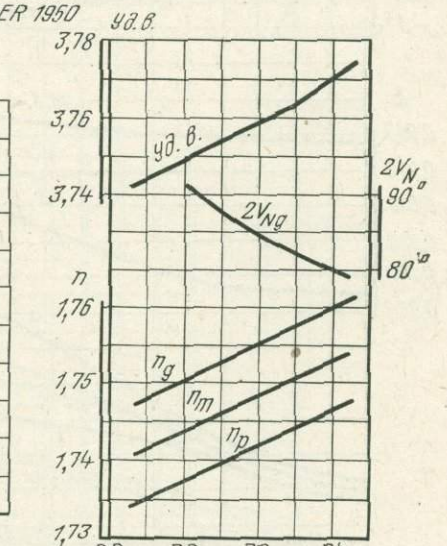
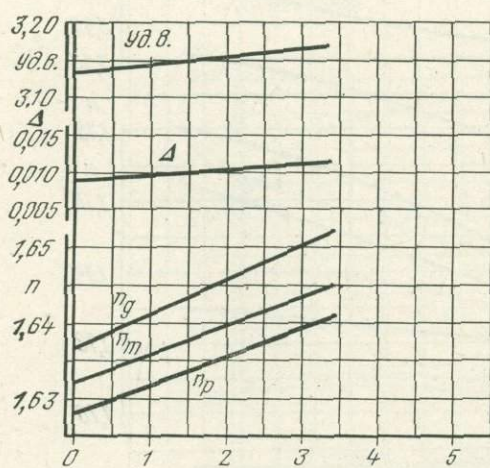
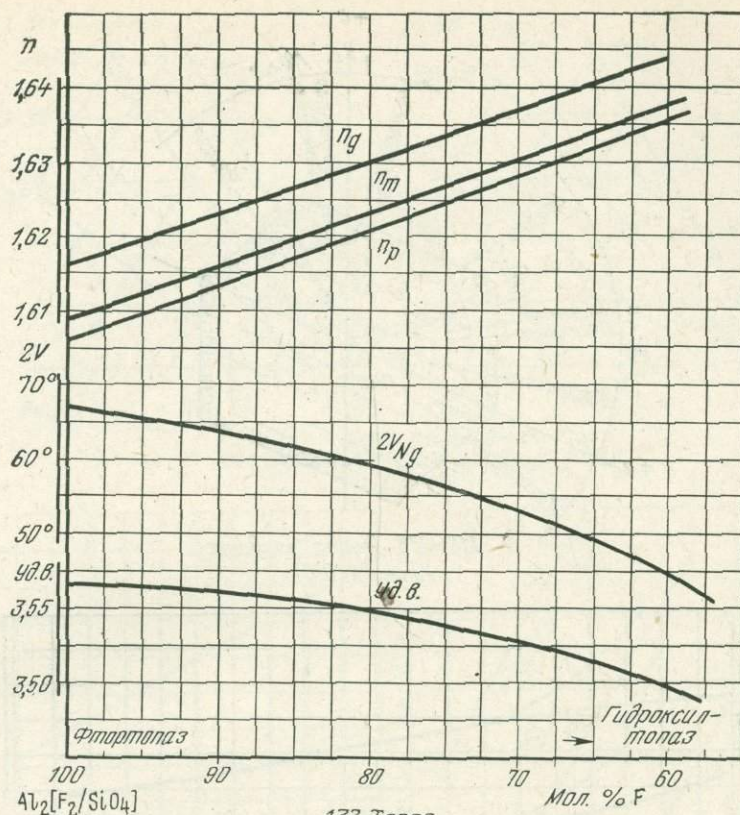
132. Дистен

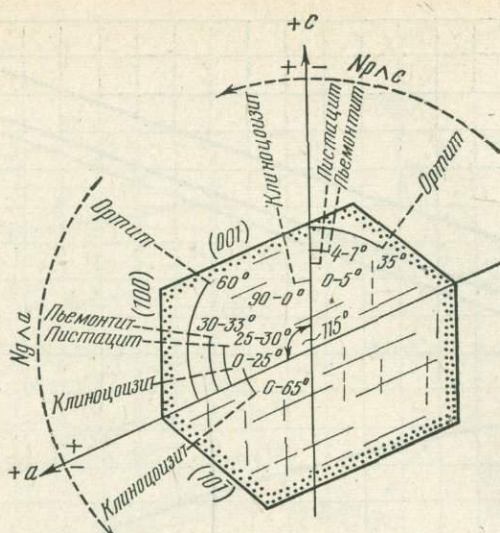


120. Амблигонит-монтиебразит

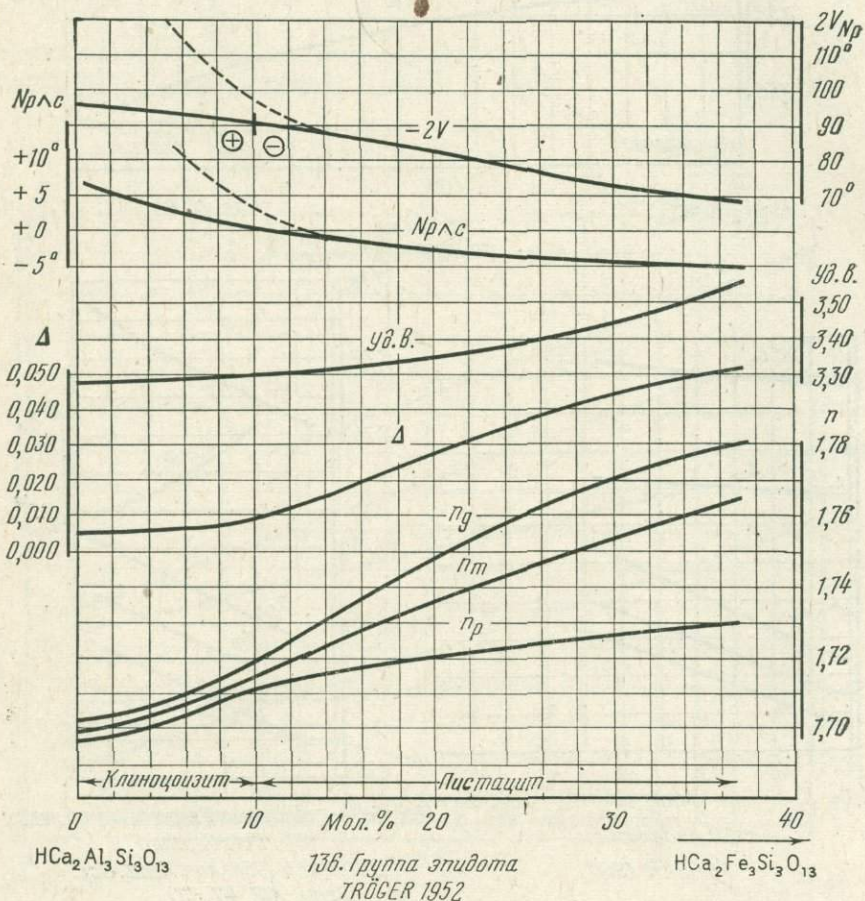
WINCHELL 1927, (Opt. Min. 149) korrig. TRÖGER 1951

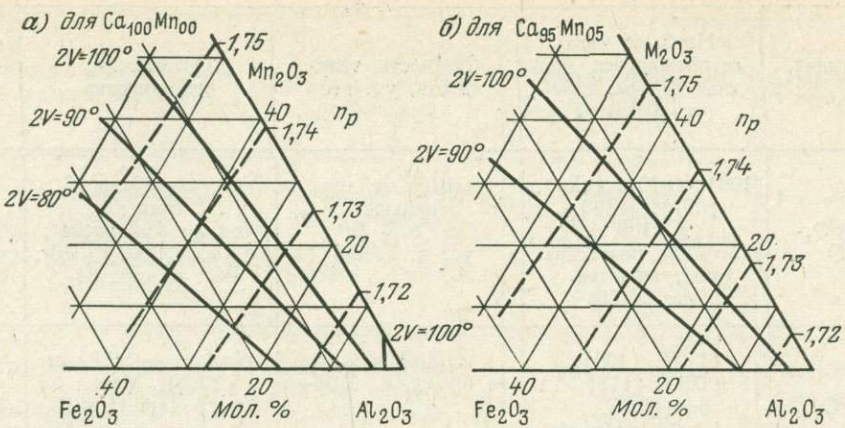
(Copyrighted, 1951, by A.N. Winchell in Elements of Optical Mineralogy, pt. II; Reproduced by permission)



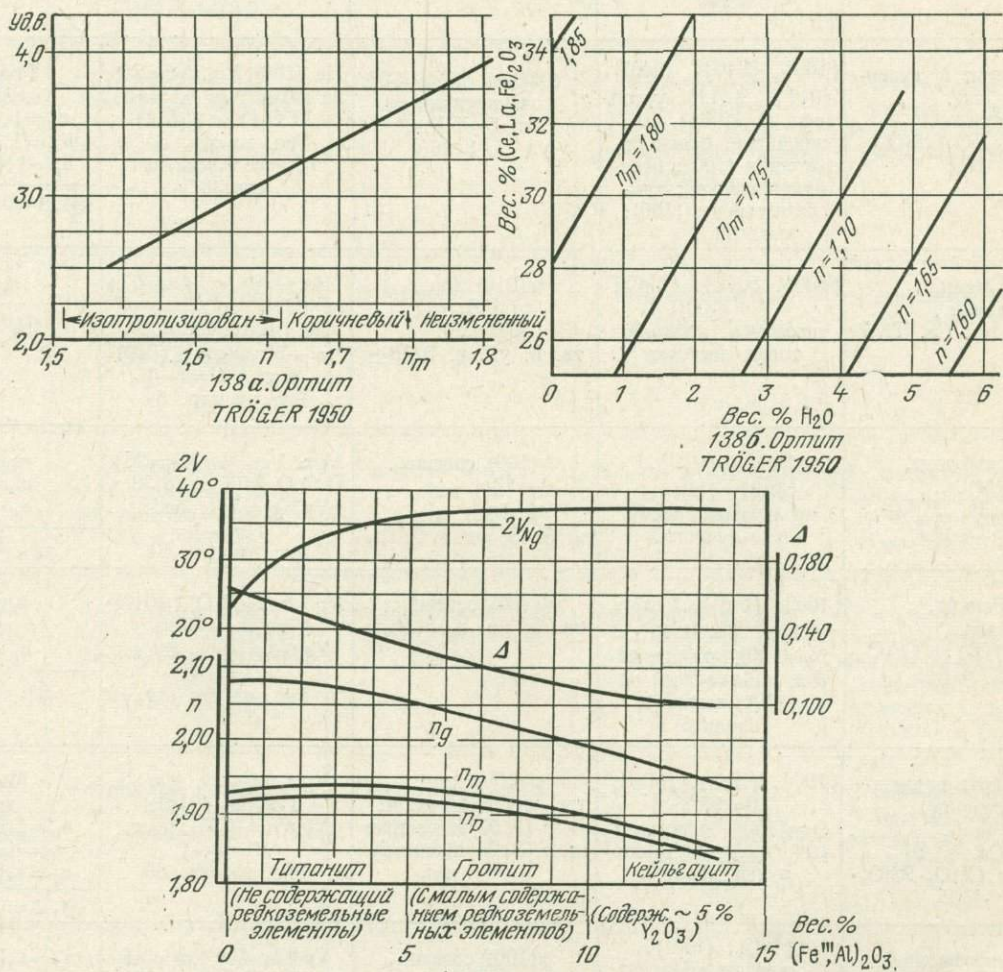


136-138. Группа эпидота
Разрез II (010)





137. Группа пьемонитита
MALMQUIST 1929 (Bull. Upsala 22, 276-8)



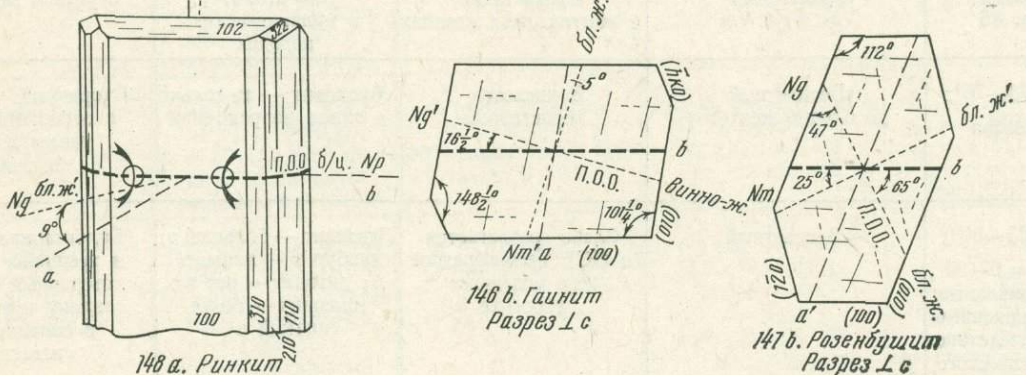
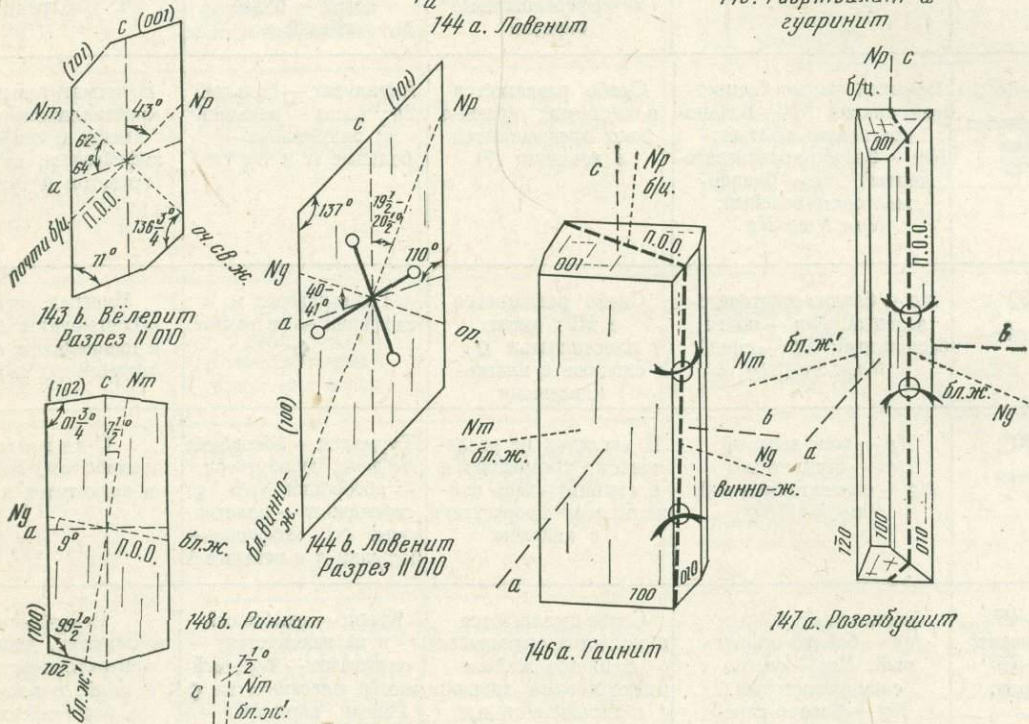
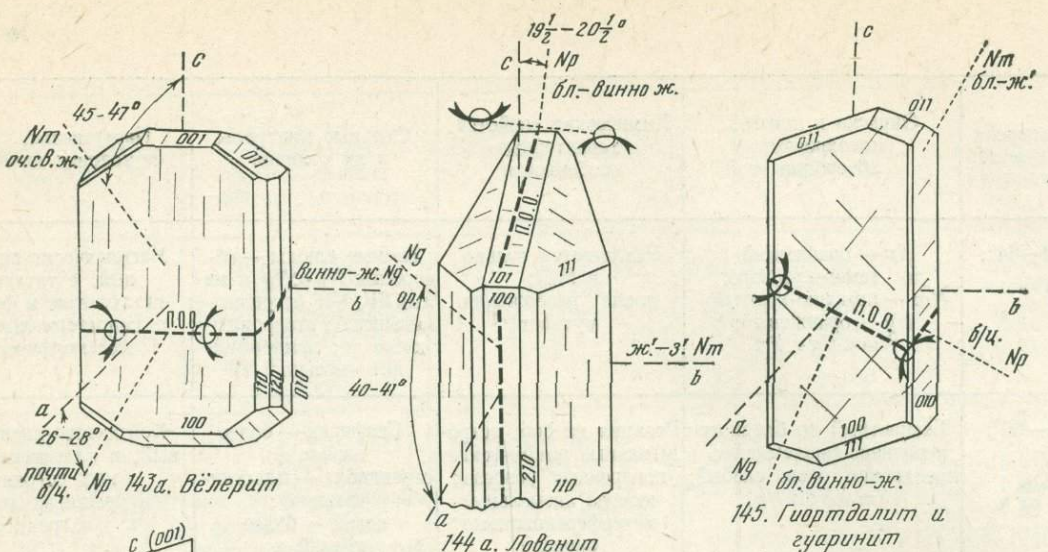
142. Титанит
TRÖGER 1955 (Handb. Minr. Techn. 4, 1, 207)

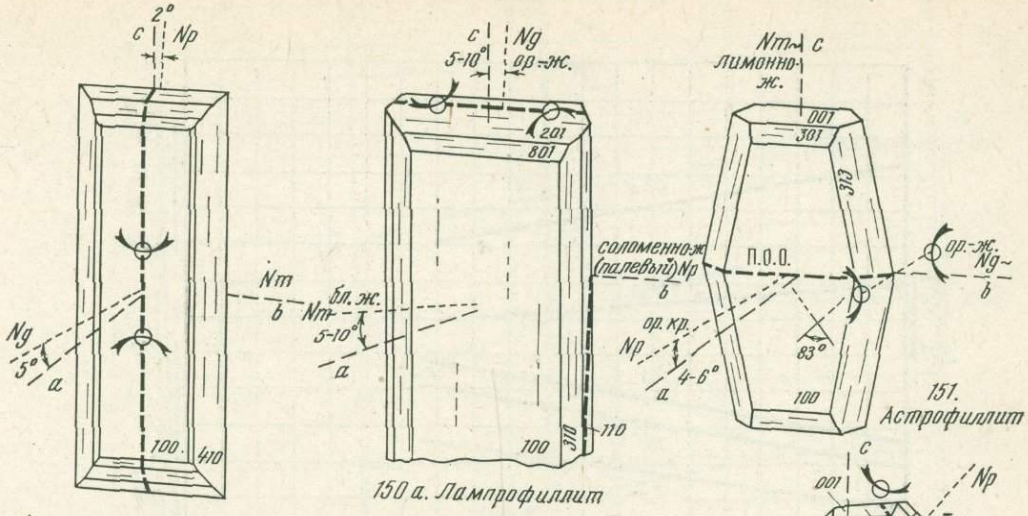
№ п/п	Название, сингония, формула	Наиболее часто встречающиеся про- стые формы, габи- тус, агрегаты	Спайность, твер- дость, уд. вес	Оптическая ориентировка	Показатель прелом- ления, двупрелом- ление
143	Вёлерит, мон., $2\text{CaO}\cdot(\text{Zr}, \text{Nb})\text{O}_2\cdot2\text{SiO}_2\cdot\text{NaF}$	{100}, {010}, {hk0}, {001}, {011}; $\beta=109^\circ$; $\diamond=(100)$, пластинча- тые, таблитча- тые $\parallel (100)$	#(010) пл.; оч. хрупкий; тв. 5,5–6; уд. в. $3,45\pm$	$Np \wedge c = -43$ до 45° , бисс.; $Nm \wedge a = +62$ до 64° ; $Ng \parallel b$, П.О.О. $\perp (010)$; Рис. на стр. 84	$n_p=1,681-1,700$ $n_m=1,690-1,716$ $n_g=1,704-1,726$ $\ominus, \Delta=0,023-0,026$
144	Ловенит, мон., $\text{Na}_2\text{O}\cdot\text{CaO}\cdot\text{ZrO}_2$	{110}, {100}, {101}, {111}; $\beta=110^\circ 15'$; $\diamond=(100)$, пластинча- тые, вытянутый $\parallel c$; таблитчатые по (100); зерна	#(100) ясн.; тв. 6; уд. в. $3,53\pm$	$Np \wedge c = -19^\circ 30'$ до $20^\circ 30'$, бисс.; $Nm \parallel b$, П.О.О. (010); $Ng \wedge a = +40^\circ$ до 41° ; $l'=(-)$ Рис. на стр. 84	$n_p=1,690-1,698$ $n_m=1,707-1,723$ $n_g=1,720-1,745$ $\ominus, \Delta=0,030-0,047$
145	Гиортдалит и гуари- нит, трикл., $2\text{CaO}\cdot\text{ZrO}_2\cdot2\text{SiO}_2\cdot\text{NaF}$	{100}, {010}, {hk0}, {011}, {111}; устой- чив; $\diamond=[001]$, пла- стинчатые; плоскость срастания (100); псев- доромбический; таб- литчатый по (100); вытянут $\parallel c$	#(032) и $(\overline{0}2)\sim 90^\circ$; оч. хрупкий; тв. 5–5,5; уд. в. $3,26\pm$	на (100) $Nm' \wedge c = 25^\circ$; на (010) $Nm' \wedge c = 15^\circ$, П.О.О. $\approx \parallel (011)$ Рис. на стр. 84 Стереограмма на стр. 87	Гиорт- далит Гуа- ринит $n_p=1,652-1,704$ $n_m=1,658-1,716$ $n_g=1,665-1,727$ $\oplus, \Delta=0,013-0,023$
146	Гаинит, трикл., силикат Na, Ca, Ti, Zr	{100}, {010}, {hk0}; $\diamond=(100)$; иголочки, пойкили- товые листочки	#(010) хор., #(100) пл.; хрупкий; тв. 5; уд. в. $3,18\pm$	на (100) $Np' \wedge c \approx 0^\circ$; на (010) $Np' \wedge c = -4^\circ$; на $\perp [001]Nm' \wedge a =$ $= -5^\circ$; $Ng \approx \perp (010)$, бисс.; $l'=(-)$ Рис. на стр. 84	$n_m \sim 1,7$ $\oplus, \Delta < 0,012$
147	Розенбушит, трикл., $2\text{CaO}\cdot(\text{Zr}, \text{Ti})\text{O}_2\cdot2\text{SiO}_2\cdot\text{NaF}$	{100}, {010}, {120}, {h01}; игольчатый, ради- ально-лучистый	#(100) соверш., #(120) ясн., #(010) пл.; тв. 5–6; уд. в. $3,31\pm$	$Np \approx \parallel c$; $Nm \wedge b = 25^\circ$, П.О.О. (100) $= 28^\circ 30'$; $Ng \wedge a = 47^\circ$, бисс.; $l'=(-)$ Рис. на стр. 84	$n_p=1,678$ $n_m=1,687$ $n_g=1,705$ $\oplus, \Delta=0,027$
148	Ринкит, мон., $2(\text{Ca}, \text{Ce})\text{O}\cdot(\text{Ti}, \text{Ce})\text{O}_2\cdot2\text{SiO}_2\cdot\text{NaF}$	{100}, {hk0}, {102}, {102}; $\beta=91^\circ 15'$; $\diamond=(100)$, пластинча- тые; таблитчатый по (100); вытянут вдоль c	#(100) соверш.; тв. 5; уд. в. $3,46\pm$	$Np \parallel b$, П.О.О. $\perp (010)$; $Nm \wedge c = -7^\circ 30'$; $Ng \wedge a = +9^\circ$, бисс.; $l'=(-)$ Рис. на стр. 84	$n_p=1,665$ $n_m=1,668$ $n_g=1,681$ $\oplus, \Delta=0,016$
149	Мозандрит и джон- струпит, мон., $2(\text{Ca}, \text{Y})\text{O}\cdot(\text{Ti}, \text{Zr}, \text{Ce})\text{O}_2\cdot2\text{SiO}_2\cdot\text{NaF}$	{100}, {hk0}, {h01}; $\beta=93^\circ$; $\diamond=(100)$, пластинча- тые; таблички, вытя- нутые вдоль c	#(100) хор.; оч. хрупкий; тв. 4; 3,00 мозандрит уд. в. {3,23 джонстру- пит	$Np \wedge c = -2^\circ$; $Nm \parallel b$, П.О.О. (010); $Ng \wedge a = +5^\circ$, бисс.; $l'=(-)$ Рис. на стр. 85	Мозан- дриит Джон- струпит $n_p=1,646-1,661$ $n_m=1,649-1,666$ $n_g=1,658-1,673$ $\oplus, \Delta=0,012-0,012$
150	Лампрофиллит, мон., $\text{Na}_2\text{O}\cdot2\text{SrO}\cdot3\text{TiO}_2\cdot4\text{SiO}_2\cdot\text{NaF}$	{100}, {hk0}, {201}, {302}; $\beta \sim 90^\circ$, псевдором- бический; $\diamond=(100)$; таблички, вытянутые вдоль c	#(100) соверш., #(010) пл.; тв. 2–3; уд. в. $3,47\pm$	$Np \parallel b$; $Nm \wedge a = -5$ до 13° , П.О.О. $\perp (010)$; $Ng \wedge c = +5$ до 13° , бисс.; $l'= (+) (-)$ Рис. на стр. 85	$n_p=1,744-1,745$ $n_m=1,747-1,754$ $n_g=1,773-1,780$ $\oplus, \Delta=0,029-0,035$

Угол и дисперсия оптических осей	Окраска в шлифе, плеохроизм, абсорбция	Химические свойства, характерные особенности	Сходные минералы и их отличия	Парафенезис, генезис и условия нахождения
$2V_{Np}=71^{\circ}-79^{\circ}$; $r < v$ слабая, горизонтальная	Np —желтоватый до бесцветного; Nm —очень светло-желтый; Ng —винно-желтый; $Np < Nm < Ng$	Разлагается в HCl; очень различные $n_g - n_p$; для \diamond половинок $\perp Np \perp Nm$	Гиортдалит—две системы #; ловенит—большее Δ	В фойяитах и фойяитовых пегматитах
$2V_{Np}=80^{\circ}-85^{\circ}$; $r < v$ ясная	Np —бледно-винно-желтый до бесцветного; Nm —желтоватый, зеленоватый до бесцветного; Ng —оранжево-красный до бесцветного; $Np < Nm < Ng$	Слабо разлагается в HCl; на # (100) выходит оптическая ось	Вёлерит—меньше Δ ; гиортдалит—две системы #	Встречается с флюоритом, мозандритом, ринкитом в фойяитах, санидинитах, их пегматитах и излившихся аналогах
$2V_{Ng}=84^{\circ}$; $r \ll v$ у гуаринита; $2V_{Np}=87^{\circ}$; $r < v$ у гиортдалита	Np —бесцветный; Nm —бледно-желтоватый; Ng —бледно-винно-желтый; $Np < Nm < Ng$	С HCl дает студневидный осадок	Вёлерит—только одна #; ловенит—большее Δ ; ринкит и джонструпйт—имеют лучшую #	Магматический и пегматитовый, в фойяитах; kontaktово-пневматолитовый, в санидинитах
$2V_{Ng}$ —большой; $r > v$ —сильная	Np —бесцветный; Nm —бледно-желтый; Ng —винно-желтый; $Np < Nm < Ng$	В кислотах легко разлагается	Ринкит—меньший $2V$ и $Np \parallel b$	Встречается в фонолитах и тингуитах
$2V_{Ng}=60^{\circ}-78^{\circ}$	Np —бесцветный; Nm —бледно-желтоватый; Ng —бледно-желтый; $Np < Nm < Ng$	Разлагается в HCl	Эпидот—П.О.О. (010) и другой характер плеохроизма	С ловенитом, ринкитом, мозандритом и эвколитом; магматический и в пегматитах; в щелочных сиенитах и фойяитах
$2V_{Ng}=43^{\circ}$; $r < v$ сильная	Np —бесцветный; Nm —бледно-желтоватый; Ng —бледно-желтый; $Np < Nm < Ng$	Легко разлагается в концентрированных кислотах	Мозандрит и джонструпйт—П. О. О (010)	С ловенитом, астрофиллитом и фиолетовым флюоритом встречается в фойяитах, фойяитовых пегматитах, щелочных трахитах и фонолитах
$2V_{Ng} \begin{cases} 75^{\circ} \text{—мозандрит,} \\ 70^{\circ} \text{—джонструпйт} \end{cases} r > v$ сильная	Желтоватый до бесцветного, без заметного плеохроизма	Легко разлагается в HCl	Ринкит—П. О. О. \perp (010); гиортдалит—другая оптическая ориентировка	С розенбушитом и фиолетовым флюоритом; встречается в фойяитах и фойяитовых пегматитах
$2V_{Ng}=23^{\circ}-50^{\circ}$; $r > v$	Np —желтый, соломенно-желтый; Nm —бледно-желтый, соломенно-желтый; Ng —оранжево-желтый; $Nm \perp Np < Ng$	Плохо разлагается в кислотах	Темные слюды—всегда Θ ; астрофиллит—больший $2V$	С эвдиалитом, эгирином и ринкитом; в фойяитах и фойяитовых пегматитах

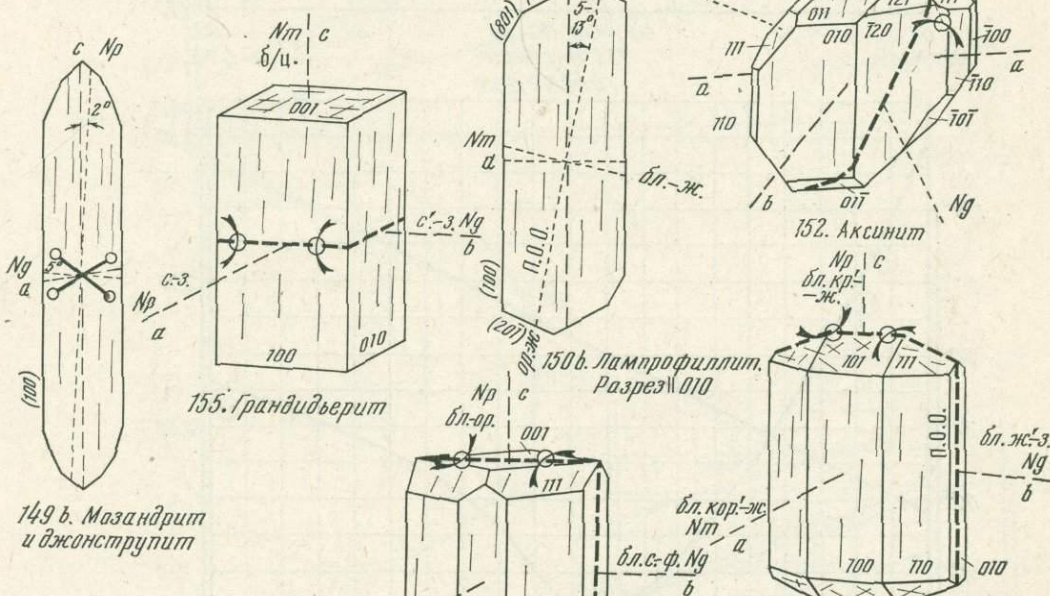
№ п/п	Название, сингония, формула	Наиболее часто встречающиеся простые формы, габитус, агрегаты	Спайность, твердость, уд. вес	Оптическая ориентировка	Показатель преломления, двупреломление
151	Астрофиллит трикл. $4(\text{Fe}, \text{Mn})\text{O} \cdot (\text{Ti}, \text{Zr})\text{O}_2 \cdot 4\text{SiO}_2 (\text{K}, \text{Na})\text{OH}$	{100}, {hkl}, {h01}, {001}; $\beta = 94^\circ$, псевдомоноклинный; вытянут $\parallel c$ или b ; лучистые агрегаты	# {100} в. соверш.; хрупкий {021}; фигура удара, 83° ; тв. 3—4; уд. в. $3,35 \pm$	$Np \wedge a = +4$ до 6° ; $Nm \approx \parallel c$, П. О. О. \perp (010); $Ng \approx \parallel b$, бисс.; $l' = (+)$ Рис. на стр. 85	$n_p = 1,678$ $n_m = 1,703$ $n_g = 1,733$ $\oplus, \Delta = 0,055$
152	Аксинит, трикл., $4\text{CaO} \cdot 2(\text{Mn}, \text{Fe}, \text{Mg})\text{O} \cdot 2\text{Al}_2\text{O}_3 \cdot 8\text{SiO}_2 \cdot \text{B}_2\text{O}_3 \cdot \text{H}_2\text{O}$	{010}, {120}, {011}, {111}, {111} (Пикок); нет \diamond ; линзообразные формы $\approx \parallel (121)$; листоватый, зернистый	# {100} ясн.; занозистый; тв. 6,5—7; уд. в. $3,30 \pm$	$N_p \approx \perp (111)$, П. О. О. $\approx \parallel (111)$; одна оптическая ось $\approx \perp (120)$. Стереогр., стр. 87 Рис. на стр. 85	Только (Fe, Mn, Mn, Mg) $n_p = 1,678_5 - 1,687_5$ $n_m = 1,685 - 1,695$ $n_g = 1,688 - 1,698$ $\ominus, \Delta = 0,009_5 - 0,010_5$ Диаграмма стр. 86
153	Корнерупин и призматин (> 2% Na_2O), ромб., $7(\text{Mg}, \text{Fe})\text{O} \cdot 6\text{A}_2\text{O}_3 \cdot (\text{Si}, \text{B})\text{O}_2 \cdot 0,5\text{H}_2\text{O}$	{110}, {100}, {010}; призматический $\parallel c$, удлиненно-лучистый	# {110} хор. $81^\circ 30'$; (001) отд.; тв. 6,5—7; уд. в. {3,27 (Mg) 3,45 (Mg, Fe)}	$Np \parallel c$, бисс.; $Nm \parallel a$, П. О. О. (100); $Ng \parallel b$; $l = (-)$ Рис. на стр. 85	Чистый Fe-сад. $n_p = 1,665 - 1,682$ $n_m = 1,677 - 1,696$ $n_g = 1,677 - 1,699$ $\ominus, \Delta = 0,012 - 0,017$
154	Серендибит, трикл., $4\text{CaO} \cdot 6\text{MgO} \cdot 4\text{Al}_2\text{O}_3 \cdot 6\text{SiO}_2 \cdot \text{B}_2\text{O}_3 \cdot \text{H}_2\text{O}$	Шестиугольные таблички; \diamond пластинчатые \parallel удлинению; зерна	# нет; тв. 6,5—7; уд. в. $3,42 \pm$	Погасание в разрезах $\perp \diamond$ и $\approx \perp Ng = 35$ до 40° Рис. на стр. 85	$n_p = 1,701$ $n_m = 1,703$ $n_g = 1,706$ $\oplus, \Delta = 0,005$
155	Грандидьеит, ромб., $2\text{Na}_2\text{O} \cdot 8(\text{Fe}, \text{Mg})\text{O} \cdot 16\text{Al}_2\text{O}_3 \cdot 10\text{SiO}_2 \cdot \text{B}_2\text{O}_3 \cdot 3\text{H}_2\text{O}$	{100}, {010}, {hk0}; удлиненный	# {100} соверш., # {010} хор.; тв. 7,5; уд. в. $2,99 \pm$	$Np \parallel a$, бисс.; $Nm \parallel c$, П. О. О. (001); $Ng \parallel b$; $l = (+) (-)$ Рис. на стр. 85	$n_p = 1,6018$ $n_m = 1,6360$ $n_g = 1,6335$ $\ominus, \Delta = 0,0367$
156	Кордиерит (дихроит), ромб., $2(\text{Mg}, \text{Fe})\text{O} \cdot 2\text{Al}_2\text{O}_3 \cdot 5\text{SiO}_2$	{110}, {010}, {001}, {100}, {111}; $\diamond = \{110\}$ и {130}; перекрещенные проросшие тройники; псевдогексагональный; короткостолбчатый $\parallel c$, зернистый; крепкий	# {010} пл.; {001} отд.; тв. 7—7,5; 2,57} корди- 2,66} ерит уд. в. {2,78} Fe-кор- диерит	$Np \parallel c$, бисс.; $Nm \parallel a$, П. О. О. (100); $Ng \parallel b$; $l = (-)$ Рис. на стр. 85	Корд. Fe — корд. $n_p = 1,534 - 1,551_5 - 1,558$ $n_m = 1,539 - 1,559 - 1,569$ $n_g = 1,543 - 1,561 - 1,575$ $\ominus, \Delta = 0,009 - 0,009_5 - 0,017$
157	Бертрандит, ромб., $4\text{BeO} \cdot 2\text{SiO}_2 \cdot \text{H}_2\text{O}$	{010}, {100}, {001}, {h01}, {0k1}; $\diamond = \{011\}$, сердцевидные; таблитчатый по (100) или (010)	# {110} соверш., 121°, # {010} и {001} хор.; тв. 6—6,5; уд. в. $2,60 \pm$	$Np \parallel a$, бисс.; $Nm \parallel b$, П. О. О. (010); $Ng \parallel c$; $l = (-)$ Рис. на стр. 85	$n_p = 1,584 - 1,591$ $n_m = 1,603 - 1,605$ $n_g = 1,611 - 1,614$ $\ominus, \Delta = 0,027 - 0,023$
158	Пренит, ромб., $2\text{CaO} \cdot (\text{Al}, \text{Fe})_2\text{O}_3 \cdot 3\text{SiO}_2 \cdot \text{H}_2\text{O}$	{001}, {110}, {010}, {031}; $\diamond = (100)$, оптически незаметные; толстотаблитчатый $\parallel (001)$; короткотаблитчатый $\parallel c$; розетки	# (001) соверш., # {100} пл. 80°; тв. 6—6,5; уд. в. $2,91 \pm$	$Np \parallel a$; $Nm \parallel b$, П. О. О. (010); $Ng \parallel c$, бисс.; $l = (\pm)$ Рис. на стр. 85	Не содер. 20% Fe Fe · · · пренита $n_p = 1,611 - 1,630$ $n_m = 1,617 - 1,641$ $n_o = 1,632 - 1,669$ $\ominus, \Delta = 0,021 - 0,039$ Диаграмма на стр. 87

Угол и дисперсия оптических осей	Окраска в шлифе, плеохроизм, абсорбция	Химические свойства, характерные особенности	Сходные минералы и их отличия	Парагенезис, генезис и условия нахождения
$2V_{Ng} = 70\text{--}84^\circ$ $r < v$ Диаграмма на стр. 86	Np — оранжевый до темно-красного; Nm — лимонно-желтый; Ng — оранжевый; $Nm < Ng < Np$	Разлагается только в HCl ; после разложения мутнеет	Темные слюды — абсорбция $Np < Ng$ и малый $2V$, \ominus ; отрелит — меньшее Δ ; ставролит — хуже $\#$; лампрофиллит — меньший $2V$	Магматически-пегматитовый, с титанитом, пектолитом в фойяитах; гидротермальный и метаморфический
$2V_{Np} = 64\text{--}80^\circ$ $r < v$ Диаграмма на стр. 86	Бесцветный до бледного коричнево-фиолетового; плеохроизм очень слабый; ($Nm \gg Np \gg Ng$)	Реакция на бор; остроугольные ромбические поперечные разрезы; иногда аномальные интерференционные окраски	Сапфирин — более низкое Δ ; серендибит — пластинчатые \diamond ; кварц — более низкий n	Контактово-пневматолитовый, в кальциево-силикатных роговиках; в трещинах диабазов и гранитов
$2V_{Np} = 3\text{--}48^\circ$ $r < v$ очень слабая Диаграмма на стр. 87	Большей частью бесцветный, также: Np — бледно-красновато-желтый; Nm — бледно-коричневато-желтый; Ng — бледно-желтовато-зеленый; $Np < Nm > Ng$	Слабо разлагается в кислотах; краевые зоны превращаются в каолинит (?)	Андалузит — больший $2V$; топаз — меньший n ; силлиманит — большее Δ и $Ng \parallel c$	В пегматитовых шлирах кристаллических сланцев вместе с сапфирином, амфиболами, кордиеритом, гранатом и турмалином
$2V_{Ng} \approx 90^\circ$ $r < v$ сильная	Np — бледно-желтовато-зеленый; Nm — почти бесцветный; Ng — синий; $Nm < Np \ll Ng$	Слабо разлагается в HF ; имеет пластинчатые \diamond , сходные с плагиоклазовыми	Грандильтерит и сапфирин — не имеют \diamond	Минерал катазоны; ассоциирует с диопсидом и шпинелью в силицированных известняках
$2V_{Np} = 30^\circ$ $r < v$ сильная	Np — сине-зеленый; Nm — бесцветный; Ng — синевато-зеленый; $Nm \ll Np \ll Ng$	В кислотах не разлагается; превращается в серицит; дает пойкилитовые прорастания с кварцем	Турмалин — абсорбция $No \gg Ne$; диомортьерит — абсорбция $Np > Ng$; серендибит — пластинчатые \diamond ; сапфирин — больший n и меньшее Δ	С альмандином, плеонастом, андалузитом в пегматитах и аplitах
$2V_{Np}$ } 80—45° кордиерит; 45—75° Фе-кордиерит, $r < v$ Диаграмма на стр. 86	Бесцветный; также: Np — бледно-оранжевый; Nm — светло-сине-фиолетовый, Ng — бледно-сине-фиолетовый $Np < Ng < Nm$	Слабо разлагается в кислотах: изменяется в пинит; желтые плеохроичные дворики; пойкилобластовые прорастания в контактовых сланцах	Кварц — одноосный и не изменяется; олигоклаз — большей частью пластинчатые \diamond Гексаг. кордиерит — $\Delta = 0,004$, в вулканических породах	Резорбционный, в диоритах, дацитах и др.; контактово-метаморфический, в роговиках; в парагнейсах высших ступеней метаморфизма
$2V_{Np} = 73\text{--}75^\circ$ $r < v$ слабая	Бесцветный до бледно-желтого	В кислотах нерастворим	Мусковит — $\#$ только в одном направлении	Вторичный, по бериллу в пегматитах; иногда также в гранитах и аplitах
$2V_{Ng} = 65\text{--}69^\circ$ $r > v$; ($2V = 0\text{--}30^\circ$, $r \ll v$, аномальные интерференционные окраски вследствие микроскопического прорастания)	Бесцветный	Слабо разлагается в HCl ; веерообразное или мозаичное строение	Лавсонит — больший n ; данбурит — меньшее Δ ; датолит — нет $\#$; томсонит — более низкий n	Гидротермально-водный, в трещинах и пустотах; вторичный по плагиоклазу и анальциму; в силицированных известняках

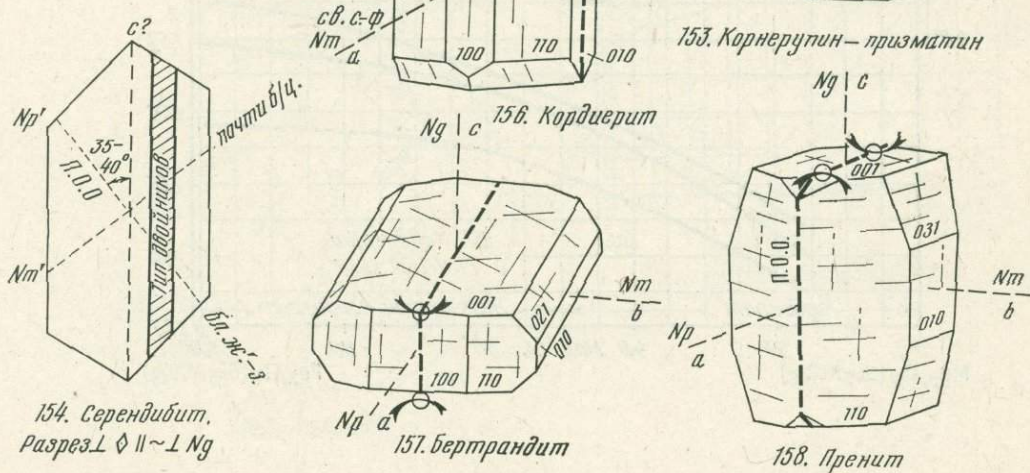


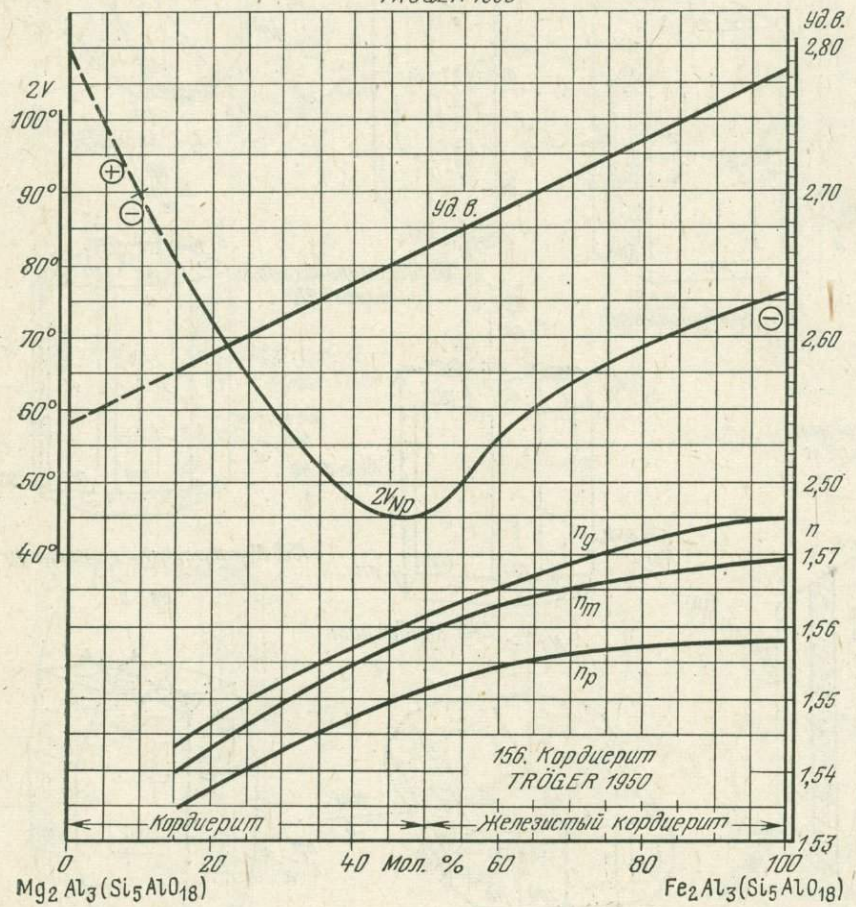
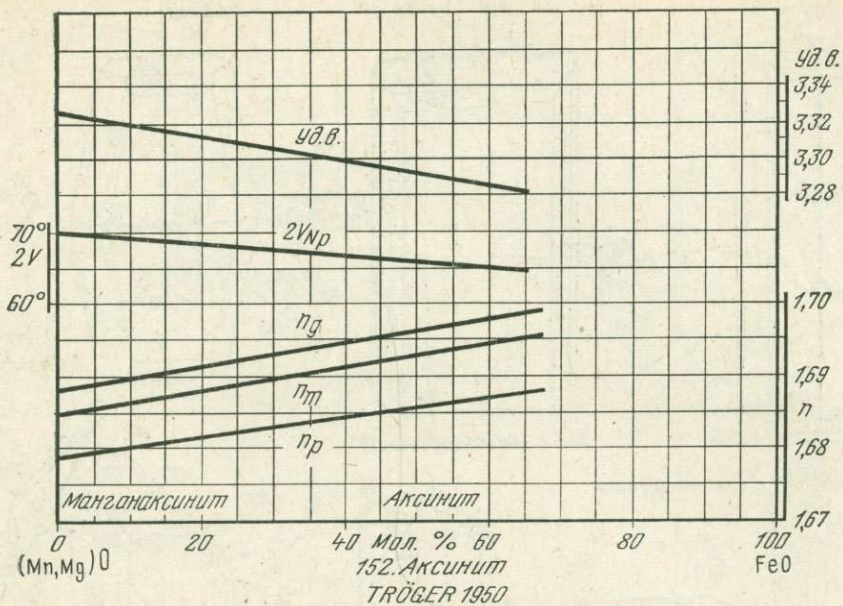


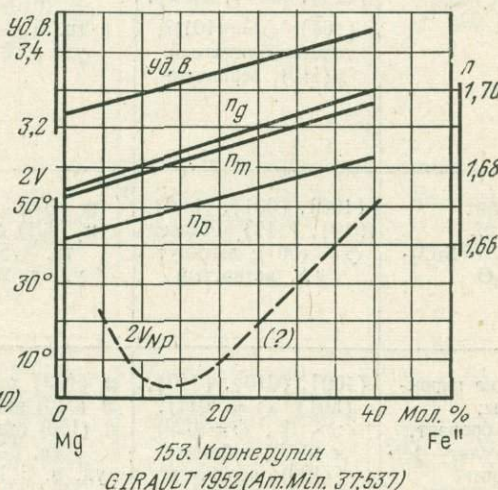
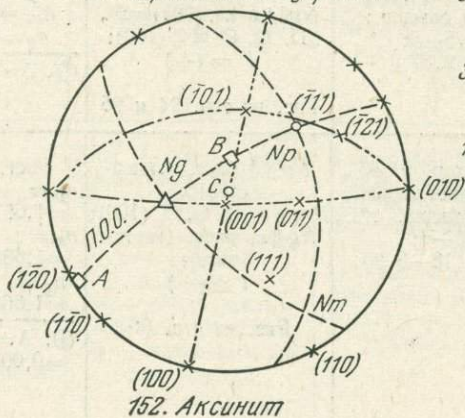
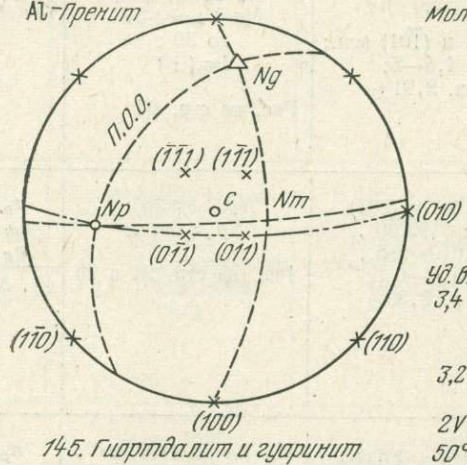
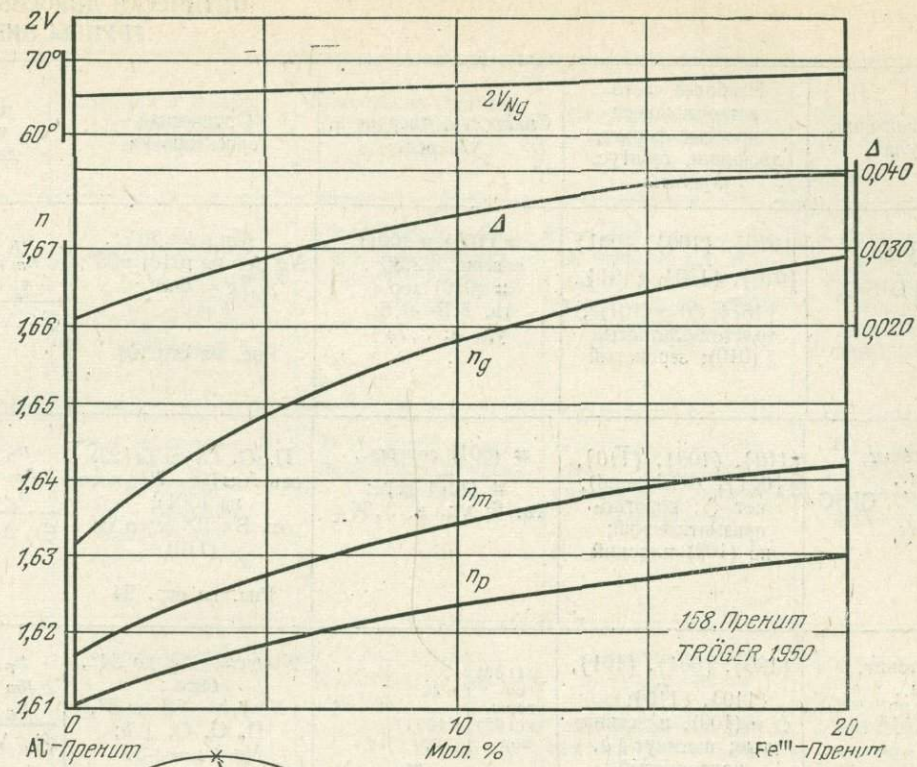
149 а. Мозандрит и джонструпит



149 б. Мозандрит и джонструпит







153. Корнерул ph
GIRAUFT 1952 (Ат. Min. № 537)

ОПТИЧЕСКИ ДВУОСНЫЕ МИНЕРАЛЫ:
ГРУППЫ ПИРОКСЕНА И ДР.

№ п/п	Название, сингония, формула	Наиболее часто встречающиеся простые формы, двойники, габитус, агрегаты	Спайность, твердость, уд. вес	Оптическая ориентировка	Показатель преломления, двупреломление
159	Родонит, трикл., $(\text{Mn}, \text{Fe}, \text{Ca}) \text{O} \cdot \text{SiO}_2$	{010}, {100}, {001}, {010}, {1\bar{1}0}, {101}, {10\bar{1}} \diamond = (101)?; толстотаблитчатый (010); зернистый	# (100) и (001) соверш. 92°30', # (010) хор.; тв. 5,5—6,5; уд. в. 3,73±	$Nm \wedge b \approx 20^\circ;$ $Ng' \wedge c$ на (010) $\approx 35^\circ;$ $Ng =$ бисс.; $l = / \pm /$ Рис. на стр. 94	$n_p = 1,711—1,738$ $n_m = 1,716—1,741$ $n_g = 1,723—1,752$ $\oplus, \Delta = 0,012—0,014$
160	Бабингтонит, трикл., $(\text{Ca}, \text{Fe}^{\prime\prime}, \text{Fe}^{\prime\prime\prime}, \text{OH}) \text{O} \cdot \text{SiO}_2$	{110}, {100}, {1\bar{1}0}, {001}, (Richmond); нет \diamond ; коротко- призматический; по (100) плоский	# (001) соверш., # (11\bar{0}) хор.; тв. 6; уд. в. 3,36±	П. О. О. $\approx \parallel (1\bar{2}2)$ ось А $\approx 10^\circ—20^\circ$ косо на (001); ось В $\approx 10^\circ$ косо на (110) Рис. на стр. 94	$n_p = 1,700—1,720$ $n_m = 1,710—1,731$ $n_g = 1,725—1,753$ $\oplus, \Delta = 0,025—0,033$
161	Волластонит, трикл., $\text{CaO} \cdot \text{SiO}_2$	{100}, {001}, {101}, {110}, {1\bar{1}0}; $\diamond = (100)$, пластинча- тые; вытянут $\parallel b$, волокнистый	# (100) со- верш. $\left. \begin{array}{l} 70^\circ \\ \hline 84^\circ 30' \end{array} \right\}$ # (102) хор. # (001) хор. # (101) и (10\bar{1}) ясн.; тв. 4,5—5; уд. в. 2,91±	$Np \wedge c = -28$ до 34° , бисс.; $Nm \wedge b = +3$ до 5° , П. О. О. $\perp b$; $Ng \wedge a = +34$ до 39° ; $l = (\pm)$ Рис. на стр. 94	$n_p = 1,618—1,622$ $n_m = 1,630—1,634$ $n_g = 1,632—1,636$ $\ominus, \Delta = 0,014—0,014$
162	Бустамит, трикл., $\text{CaO} \cdot \text{MnO} \cdot 2\text{SiO}_2$	{010}, {100}, {001}, {110}, {1\bar{1}0}, {101}, {10\bar{1}}; $\diamond = (101)?$; толстотаблитчатый (110); зернистый	# (100) и (001) соверш. 92°30', # (010) хор.; тв. 5,5—6,5; уд. в. 3,33±	$Nm \wedge b \approx 35^\circ$; $Np =$ бисс. Рис. на стр. 94 и 95	$n_p = 1,662—1,689$ $n_m = 1,675—1,701$ $n_g = 1,677—1,704$ $\ominus, \Delta = 0,015—0,015$
163	Пектолит, трикл., $4 \text{CaO} \cdot \text{Na}_2\text{O} \cdot 6 \text{SiO}_2 \cdot \text{H}_2\text{O}$	{100}, {001}, {hk0}, {010}, {111} {Peaceck} $\diamond = (001)$; вытянут $\parallel b$, ветвистый	# (100) соверш.; # (001) соверш.; тв. 4,5—5; уд. в. 2,87±	$Ng' \wedge b$ на (100) $\approx 0^\circ$; $Ng' \wedge b$ на (001) $= 2^\circ$; П. О. О. $\approx \parallel (100)$; $l' = (+)$ Рис. на стр. 94 и 95	$n_p = 1,595—1,610$ $n_m = 1,604—1,614$ $n_g = 1,633—1,642$ $\oplus, \Delta = 0,038—0,032$
164	Ромбические пирок- сены; энstatит—бронзит, гиперстен—эулит—фер- росиллит $(\text{Mg}, \text{Fe}) \text{O} \cdot \text{SiO}_2$	{100}, {010}, {110}, {h01}; $\diamond = (011)$, $c:c \sim 61^\circ$; $\diamond = (023)$ и (043); таблички (100); вытянуты $\parallel c$; также таблитча- тые (010); зернистые	# {110} хор. 91°45', # (010) иногда ясн., # (100) соверш. отд.; тв. 5—6; уд. в. 3,18—3,90	$Np \parallel b$ бисс. (гипер- стен)*; $Nm \parallel a$, П. О. О. (100); $Ng \parallel c$, бисс. (энста- тиит.); $l = (+)$ Рис. на стр. 96	Энст. Гип. Эул. $n_p = 1,657—1,712—1,766$ $n_m = 1,659—1,724—1,770$ $n_g = 1,665—1,927—1,788$ $\oplus, \Delta = 0,008—0,015—0,022$

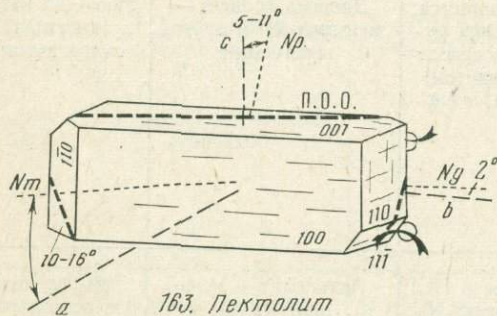
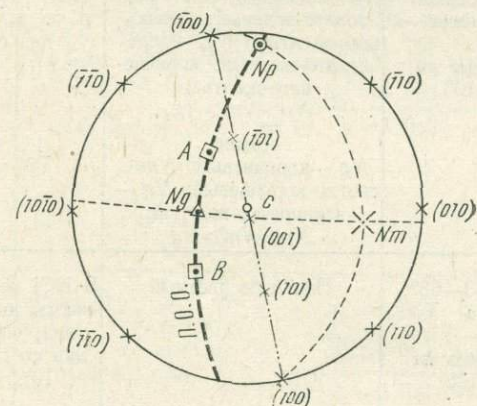
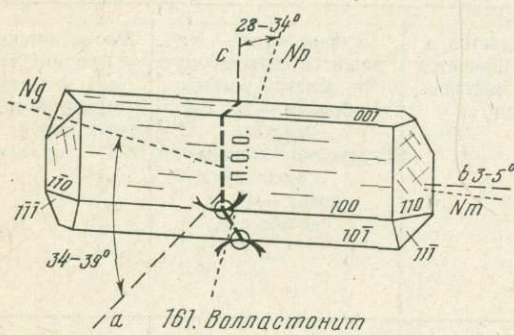
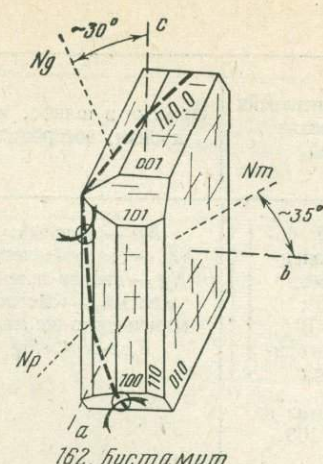
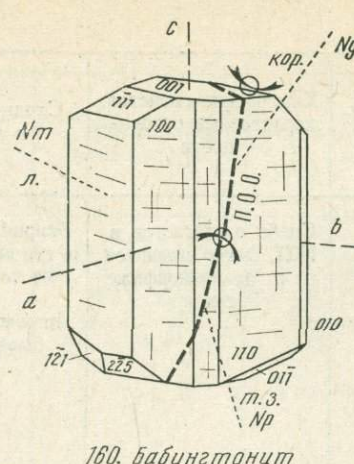
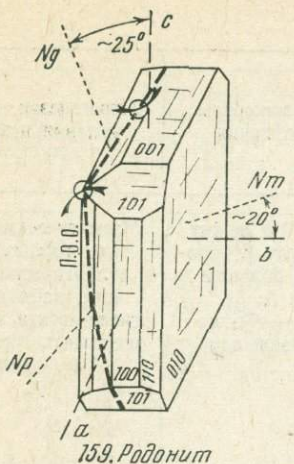
Угол и дисперсия оптических осей	Окраска в шлифе, плеохроизм, абсорбция	Химические свойства, характерные особенности	Сходные минералы и их отличия	Парагенезис, генезис и условия нахождения	
$2V_{Ng} = 74\text{--}58^\circ$; $r < v$ несимметричная Диаграмма на стр. 95	Бесцветный; в толстом препарате; $\approx \parallel Np$ — оранжевый; $\approx \parallel Nm$ — розовый; $\approx \parallel Ng$ — бледно-оранжевый	Растворяется в HCl; при выветривании образуются окислы марганца	Бустамит — меньший n и меньший уд. в.; авгит — большее Δ ; дистен — более грубая спайность	В ассоциации с кварцем и родохрозитом, спессартином и магнетитом; kontaktово-метасоматический, в силикатных известняках	
$2V_{Ng} = 76^\circ\text{--}50^\circ$; $r > v$ сильная	Np — темно-зеленый; Nm — светло-пурпурно-серый; Ng — оранжево-коричневый; $Np > Nm > Ng$	В кислотах не разлагается; дисперсия биссектрис	Пироксены — значительно более слабый плеохроизм, роговая обманка — \ominus	С эпидотом, пренитом и кальцитом; гидротермальный, в трещинах диабазов и пегматитов	
$2V_{Ng} = 42\text{--}36^\circ$; $r > v$ четкая наклонная Диаграмма на стр. 95	Бесцветный	С HCl образует студневидный осадок	Параволластонит (в вулканических выбросах), очень похож, но $Nm \parallel b$; пектолит — $l = (+)$ и большее Δ ; грамматит (тремолит) — П. О. О. $\parallel l$	С диопсидом, гроссуляром и эпидотом; kontaktово-метаморфический, в мраморах; как резорбционные образования в нефелиновых породах	
$2V_{Np} = 36\text{--}41^\circ$; $r > v$ Диаграмма на стр. 95	Бесцветный; также: Np — бледно-оранжевый; Nm — розово-красный; Ng — бледно-оранжевый	В HCl частично растворим; при выветривании образуются окислы марганца	Родонит — большие n и ул. в.; пьемонтит — большие n , Δ	С ильвайтом (лиевритом) и спессартином; kontaktово-метасоматический, в мраморах	
$2V_{Ng} = 60^\circ\text{--}50^\circ$; $r > v$ слабая	Бесцветный	В HCl частично растворяется с выделением студневидного кремнезема	Волластонит — П. О. О. $\perp l$; розенбушит — $l' = (-)$	Постмагматический, в основных эфузивных породах и трещинах в них	
$2V_{Ng} = > 54^\circ$ энст., $2V = 90^\circ \pm$ бронз., $2V_{Np} = > 45^\circ$ гип., $2V = 90^\circ \pm$ эулит Диаграмма на стр. 98	$r < v$	Энст. — бронз.: почти бесцветный; гипер. — эулит: $Np \approx Nm < Ng$; Np — светло-розово-коричневый, розовый; Nm — светло-желто-зеленый, охряный; Ng — светло-зеленый, серо-зеленый	В холодной HCl медленно растворяется; структура распада: пластинки ильменита $\parallel (100)$ в гиперстене; клинопироксеновые пластинки $\parallel (010)$ или $\parallel (110)$; часто серпентинизированы	Клинопироксены — большее Δ ; у циозита большей частью $l = (-)$ и меньшее Δ ; андалузит — $l = (-)$ и меньший n ; амфиболы — другая $\#$	Энст. — бронз. — магматические, в габброидах, ультрабазитах и метеоритах; гип. — магматический, в габброидах, метаморфический, в роговиках и кристаллических сланцах; эулит — мезозональный, в эулизитах

№ п/п	Название, сингония, формула	Наиболее часто встречающиеся простые формы, двойники, габитус, агрегаты	Спайность, твердость, уд. вес	Оптическая ориентировка	Показатель преломления, двупреломление
165	Ряд клиноэнстата, мон., клиноэнстатит — клиноферросилит, (Mg, Fe) O · SiO ₂	{100}, {010}, {110}, {111}, {001}; $\beta = 104^\circ 30'$; $\diamond = (100)$, плас- тинчатый; столбчатый c; таблитчатый (100)	# {110} хор. от 92° до 91°; (001) отд.: тв. 6; уд. в. {3,18} ↑ энст. {3,90} ферр.	$N_p \parallel b$; $N_m \wedge a = -8$ до 20°, П. О. О. \perp (010); $Ng \wedge c =$ $\{+22^\circ \uparrow \text{энст.}\}$ $\{+34^\circ \uparrow \text{ферр.}\}$ бисс.	Энстатит Ферросил. $n_p = 1,651$ — 1,762 $n_m = 1,653$ — 1,764 $n_g = 1,660$ — 1,794 $\oplus, \Delta = 0,009$ — 0,032
166	Пижонит, мон., 2CaO · 14(Mg, Fe)O · · 16SiO ₂	{110}, {100}, {010}, {111}, {\overline{101}}; $\beta = 105^\circ 30'$; $\diamond = (100)$ пласти- нчатый; $\diamond = (001)$, пластиначные; призматический c; таблитчатый (100)	# {110} хор. 92°30' # (100) и (010) ясн.; (001) отд. часто наблюдается; тв. 6; уд. в. 3,30—3,46	Большой частью $N_p \parallel b$, П.О.О. \perp (010); $N_m \wedge a = 21$ —28°; $Ng \wedge c = +37^\circ$ до 44°, бисс. Редко: $N_p \wedge a = -21$ до 28°; $N_m \parallel b$, П.О.О. (010); $Ng \wedge c = +37^\circ$ до 44°, бисс. Рис. на стр. 96	Богатый энстатитом Богатый ферросили- том $n_p = 1,682$ — 1,722 $n_m = 1,684$ — 1,722 $n_g = 1,705$ — 1,751 $\oplus, \Delta = 0,023$ — 0,029
167	Ряд диопсида, мон., диопсид — салит — геденбергит, 8CaO · 8(Mg, Fe)O · · 16SiO ₂	{100}, {010}, {110}, {001}, {101}: {hkl}; $\beta = 105^\circ 45'$; $\diamond = (100)$ пласти- нчатый; $\diamond = (001)$, пластиначные; стебельчатый c до зернистого	# {110} хор. 92°45', # (010) ясн., # (100) редко; (100) и (001) отд.; тв. 5,5—7; уд. в. 3,25—3,62	$N_p \wedge a = -22$ —32°; $N_m \parallel b$ П. О. О. (010); $Ng \wedge c = +38^\circ$ до 48°, ($r > v$) бисс. Рис. на стр. 96	Диоп- сид Салит Геден- бергит $n_p = 1,665$ —1,699—1,727 $n_m = 1,672$ —1,706—1,735 $n_g = 1,696$ —1,728—1,756 $\oplus, \Delta = 0,031$ —0,029—0,029 Диаграмма на стр. 102
168	Ряд авгита, мон., авгит — ферроавгит 6,5 CaO · 8(Fe, Mg) · · O · 3 (Al, Fe) ₂ O ₃ · · 14,5 SiO ₂	{100}, {010}, {110}, {111}, {001}; $\beta = 105^\circ 45'$; $\diamond = (100)$, пласти- нчатый; $\diamond = (101)$, {122} и (001); короткостолбча- тый c, зернистый	# {110} хор. 92°45', # (010) ясн.; отд. (100): «диал- лаг»; тв. 5,5—6; уд. в. 3,35—3,45	$N_p \wedge a = -23$ до 31°; $N_m \parallel b$ П.О.О. (010); $Ng \wedge c = +39$ до 47°, бисс. Рис. на стр. 96	Диоп- сид Салит Геден- бергит $n_p = 1,670$ —1,693—1,743 $n_m = 1,676$ —1,698—1,750 $n_g = 1,694$ —1,720—1,772 $\oplus, \Delta = 0,024$ —0,027—0,029
169	Ряд фассаита, мон., 8CaO · 6,5 (Mg, Fe)O · · 1,5 (Al, Fe, Ti) ₂ · · O ₃ · 14,5 SiO ₂	{110}, {111}, {221}; $\beta = 105^\circ 45'$; $\diamond = (100)$; пирамидальный, зернистый	# {110} хор. 92°45'; # (010) ясн.; тв. 5,5—6; уд. в. 2,97—3,31	$N_p \wedge a = -26$ до 29°; $N_m \wedge b$, П.О.О. (010); $Ng \wedge c = +42$ до 45° ($r > v$), бисс. Рис. на стр. 96	Диоп- сид Салит $n_p = 1,690$ —1,696 $n_m = 1,696$ —1,703 $n_g = 1,716$ —1,724 $\oplus, \Delta = 0,026$ —0,028
170	Титанавгит, мон., 7(Mg, FeNa) ₂ O · TiO ₂ · 3,5 · · (Al, Fe) ₂ O ₃ · · 13,5 SiO ₂	{100}, {110}, {010}, {111}; $\beta = 106^\circ$; $\diamond = (100)$, пластиначный; $\diamond = (101)$ и {122}, прекрещенно-про- росшие; коротко- столбчатый, толсто- таблитчатый	# {110} хор. до пл. 92°45', иногда только раковистый излом; тв. 5,5—6; уд. в. = 3,36 ±	$N_p \wedge a = -16$ до 19°; $N_m \parallel b$ П.О.О. (010); $Ng \wedge c = +32^\circ$ до 55° ($v > r$) бисс.; иногда зональный Рис. на стр. 96	$n_p = 1,695$ —1,741 $n_m = 1,700$ —1,746 $n_g = 1,728$ —1,762 $\oplus, \Delta = 0,033$ —0,021

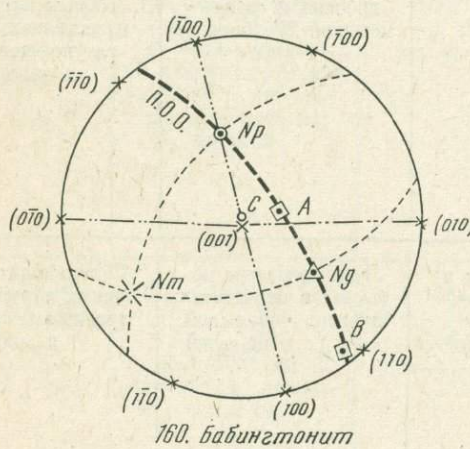
Угол и дисперсия оптических осей	Окраска в шлифе плеохроизм, абсорбция	Химические свойства, характерные особенности	Сходные минералы и их отличия	Парафенезис, генезис и условия нахождения
$2V_{Ng} = 28^\circ$; $r < v$	Клиноэнстатит — бесцветный; клиногиперстен — $Nm < Np < Ng$; Np — светло-красновато-коричневый; Nm — светло-желто-зеленый; Ng — светло-зеленый	Образует плоскостные срастания с энстатитом	Ортопироксены — прямое погасание; пижонит — больший $Ng \wedge c$ и меньший $2V$ Пироксены диопсидового ряда — большее Δ	В метеоритах, особенно хондритах; в кимберлитах; редко в магматических породах; искусственные в циляках
$2V_{Ng}$ — большой, частью $= 25 - 0^\circ$ в пл. $\perp (010)$; $r > v$; $2V_{Ng}$ редко $= 0^\circ - 30^\circ$ в пл. (010) ; $r > v$ Диаграмма на стр. 100	Бесцветный до: Np — розовый, светло-зеленовато-коричневый; Nm — розовый, светло-зеленовато-коричневый; Ng — светло-зеленый, светло-желтый; $Np \sim Nm \sim Ng$	Не разлагается в HCl; пластинчатые срастания 100 с энстатитом и диопсидом	Энстатит — меньшее Δ и П. О. О. (100); оливин — большее Δ ; диопсид — больший $2V$	Магматический, в базальтах; реже в глубинных горных породах группы габбро; не встречается в метаморфических горных породах
$2V_{Ng} = 56 - 63^\circ$; $r > v$; оптическая ось A (вблизи a) сильнее диспергирует, чем оптическая ось B Диаграмма на стр. 102	Диопсид — бесцветный; салит — геденбергит — $Np \geq Ng \geq Nm$; Np — светло-сине-зеленый; Nm — светло-желто-зеленый, бледно-зеленый; Ng — бледно-зеленый, светло-сине-зеленый	Не разлагается в HCl; геденбергит: на разрезе (010) сильные супернормальные интерференционные окраски	Авгит — большей частью интенсивнее окрашен; пижонит — меньший $2V$; бронзит — меньшее Δ ; оливин — хуже #	Диопсид — магматический, в кислых и средних горных породах; контактовый и катамезозональный, в известняках и основных горных породах; салит и геденбергит преимущественно в скарнах и метаморфических известняках
$2V_{Ng} = 42 - 70^\circ$; $r > v$	Np — светло-зеленый, светлый сине-зеленый; Nm — светлый желто-зеленый, светло-зеленый; Ng — оливково-зеленый, серо-зеленый; $Nm < Np \leq Ng$	Не разлагается в HCl; структура распада: пластинки ильменита (100) вытянуты по b и ортопироксеновые пластинки (100) и (001)	Ортопироксены — прямое погасание; диопсид — несколько большее Δ и большей частью более бледные абсорбционные окраски	Магматические, в основных горных породах тихоокеанской провинции; минералы мезокатазон и контактово-метаморфические в амфиболовых и пироксеновых горных породах
$2V_{Ng} = 58 - 60^\circ$; $r \gg v$; оптическая ось B (близ c) диспергирует сильнее, чем оптическая ось A	Большой частью бесцветный; кроме того: Np — светло-зеленый; Nm — светло-желто-зеленый; Ng — светло-зеленый	Не разлагается в HCl; аномальные окраски при погасании особенно на (010)	Авгит — в большинстве случаев не наблюдается дисперсии осей индикаторы	Магматический, — в монцонитах и андезитах: контактово-метаморфический, в скарнах и мраморах
$2V_{Ng} = 45 - 58^\circ$; $r \gg v$ очень сильно наклонная; оптическая ось B (близ c) сильнее диспергирует, чем оптическая ось A	Np — светло-коричневато-желтый; Nm — коричневато-лиловый, фиолетовый; Ng — коричнево-желтый; фиолетово-коричневый $Np < Nm \leq Ng$	В горячей HCl быстро растворяется; резко зональное строение, структура песочных часов; аномальные окраски при погасании, особенно на (010)	Шерл — оптически одноосный, глаукофан — меньший n и \ominus	Магматический, в основных и средних горных породах атлантической провинции; не бывает метаморфическим

№ п/п	Название, синго- ния, формула	Наиболее часто встречающиеся про- стые формы, двой- ники, габитус, агре- гаты	Спайность, твер- дость, уд. вес	Оптическая ориенти- ровка	Показатель прелом- ления, двупрелом- ление
171	Эгирин-авгит, мон., $m[\text{CaO} \cdot (\text{Mg}, \text{Fe})\text{O} \cdot 2\text{SiO}_2] \cdot n[\text{Na}_2\text{O} \cdot \text{Fe}_2\text{O}_3 \cdot 4\text{SiO}_2]$	{110}, {100}, {010}, {461}, {111}; $\beta = 106^\circ$; $\diamond = (100)$; столбчатый $\parallel c$, редко зернистый	# {110} соверш. 93°, # {010} ясн.; (001) отд.; тв. 5,5–6; уд. в. 3,46 ±	$Np \wedge c = 0$ до -30° бисс; $Nm \parallel b$, П.О.О. (010); $Ng \wedge a = +46$ до $+16^\circ$; $l' = (-)$	Богатый диопсидом Богатый эгирином $n_p = 1,716 - 1,762$ $n_m = 1,730 - 1,796$ $n_g = 1,750 - 1,810$ $\oplus, \Delta = 0,034 - 0,048$
172	Эгирин, мон., $\text{Na}_2\text{O} \cdot \text{Fe}_2\text{O}_3 \cdot 4\text{SiO}_2$	{110}, {100}, {010}, {661}, {461}, {111}, {101}; $\beta = 106^\circ 45'$; $\diamond = (100)$, пластинчатые; стебельчатый $\parallel c$; игольчатый	# {110} соверш. 93°, # {010} ясн.; (001) отд. (?); тв. 6,5; уд. в. 3,54 ±	$Np \wedge c = 0$ до $+8^\circ$ ($r < v$) бисс.; $Nm \parallel b$, П.О.О. (010); $Ng \wedge a = +9$ до $+17^\circ$; $l' = (-)$	Содержащий диопсид Чистый диопсид $n_p = 1,762 - 1,776$ $n_m = 1,796 - 1,821$ $n_g = 1,810 - 1,836$ $\ominus, \Delta = 0,048 - 0,060$
173	Омфацит, мон., $6\text{CaO} \cdot (\text{Mg}, \text{Fe}) \cdot \text{O} \cdot 2\text{Na}_2\text{O} \cdot 2,5\text{Al}_2\text{O}_3 \cdot 15,5 \text{ SiO}_2$	Не имеет кристалло-графических форм; $\beta = 106^\circ$; $\diamond = (100)$ пластинчатые; короткостебельчатый; зернистый	# {110} соверш. 92°30'; (100) отд.; тв. 5,6; уд. в. 3,31 ±	$Np \wedge a = 23^\circ$ до -27° ; $Nm \parallel b$, П.О.О. (010); $Ng \wedge c = +43^\circ$ до $+39^\circ$, бисс.	$n_p = 1,669 - 1,667$ $n_m = 1,676 - 1,674$ $n_g = 1,693 - 1,689$ $\oplus, \Delta = 0,024 - 0,022$
174	Жадеит, мон., $\text{Na}_2\text{O} \cdot \text{Al}_2\text{O}_3 \cdot 4\text{SiO}_2$	Не имеет кристалло-графических форм; $\beta = 107^\circ 15'$; $\diamond = (100)$ и (001) пластинчатые; волокнистый $\parallel c$, листоватый, волокнистый; плотный	# {110} хор. 92°; (100) отд.; тв. 6,5; уд. в. 3,33 ±	$Np \wedge a = 16 - 18^\circ$ (чистый) до $-22 - 30^\circ$; $Nm = b$, П.О.О. (010); $Ng \wedge c = \begin{cases} +33 + 35^\circ \\ \text{бисс.} \end{cases}$ (чистый) $+39^\circ + 47^\circ$ (богатый диопсидом)	Чистый Богатый диопсидом $n_p = 1,654 - 1,666$ $n_m = 1,657 - 1,673$ $n_g = 1,665 - 1,688$ $\oplus, \Delta = 0,011 - 0,022$
175	Сподумен, мон., $\text{Li}_2\text{O} \cdot \text{Al}_2\text{O}_3 \cdot 4\text{SiO}_2$	{100}, {010}, {110}, {0kl}; {hk0}; $\beta = 110^\circ 30'$; $\diamond = (100)$ хор., листоватый, стебельчатый $\parallel c$	# {110} соверш. 93°15'; (100) отд.; тв. 6,5–7; уд. в. 3,17 ±	$Np \wedge a = -3$ до 7° , бисс.; $Nm \parallel b$, П.О.О. (010); $Ng \wedge c = +23$ до $+27^\circ$, бисс.	$n_p = 1,651 - 1,668$ $n_m = 1,660 - 1,671$ $n_g = 1,676 - 1,681$ $\oplus, \Delta = 0,025 - 0,013$

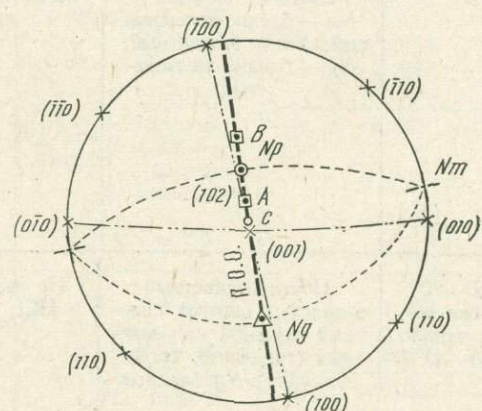
Угол и дисперсия оптических осей	Окраска в шлифе, плеохроизм, абсорбция	Химические свойства, характерные особенности	Сходные минералы и их отличия	Парафенезис, генезис и условия нахождения
$2V_{Ng} = 80^\circ$ богатый диопсидом, $r > v$; $2V = 90^\circ$; $2V_{Np} = 70^\circ$ богатый эгирином, $r < v$	Np — зеленый; Nm — светло-зеленый; Ng — светло-зелено-желтый, — светло-коричневато-желтый; $Np > Nm > Ng$ Диаграмма на стр. 103	Слабо разлагается в HCl, легко плавится п. п. т; изоморфные смеси	Эгирин — Np лежит в тупом углу β , кроме того, большие n и Δ ; пироксен — \oplus , не бывает зеленым	Магматический, в средних горных породах атлантической провинции; каемки вокруг титан-авгита в основных щелочных горных породах
$2V_{Np} = 70—60^\circ$; $r < v$ сильная наклонная Диаграмма на стр. 103	Эгирин Np — зеленый; Nm — желтовато-зеленый, зелено-вато-желтый; Ng — зелено-вато-желтый, коричневато-желтый; $Np > Nm > Ng$, Акмит Np — коричневый; Nm — светло-коричневый; Ng — зеленовато-желтый; $Np > Nm > Ng$	Слабо разлагается в HCl, легко плавится п. п. т; изоморфные смеси	Эгирин-авгит — Np лежит в остром углу β ; зеленая роговая обманка — другой $Ng \wedge c$; турмалин — оптически одноосный; авгит — \oplus и меньшее Δ	Магматический, в кислых и средних горных породах атлантической провинции и в пегматитах этих пород; в щелочных ортогнейсах
$2V_{Ng} = 63—68^\circ$; $r > v$ Диаграмма на стр. 102	Почти бесцветный	В HCl не разлагается; часты включения рутила; часто в срастании со смаргидитом; $(010) \parallel (010)$, $c \parallel c$	Диопсид и авгит — меньший $2V$ и другой парагенезис	Мезо- до катазонального, в эклогитах; с гранатом, смаргидитом и дистеном
$2V_{Ng} = 72—68^\circ$; $r < v$	Большей частью бесцветный; иногда: Np — бледно-зеленоватый; Nm — бесцветный; Ng — бледно-желтоватый	Не разлагается в HCl; легко плавится; Na пламя	Актинолит — меньший $Ng \wedge c$; диопсид и авгит — меньший $2V$, больший $Ng \wedge c$	Эпи- до катазонального, в основных щелочных горных породах и в известняках; вместе с глаукофаном; также в эклогитах
$2V_{Ng} = 50—70^\circ$; $r < v$ слабая наклонная; также: $2V_{Np} = 60—80^\circ \ominus$	Почти бесцветный в толстых шлифах лиловый (кунцит) или зеленый (гидденит), тогда: $Np > Nm > Ng$ бледные	Не разлагается в HCl; Li пламя	Клиноэнстатит не бывает в пегматитах; диопсид — больший, $Ng \wedge c$ и меньший $2V$	С лепидолитом, трифилином, турмалином и в гранитных пегматитах и аplitах



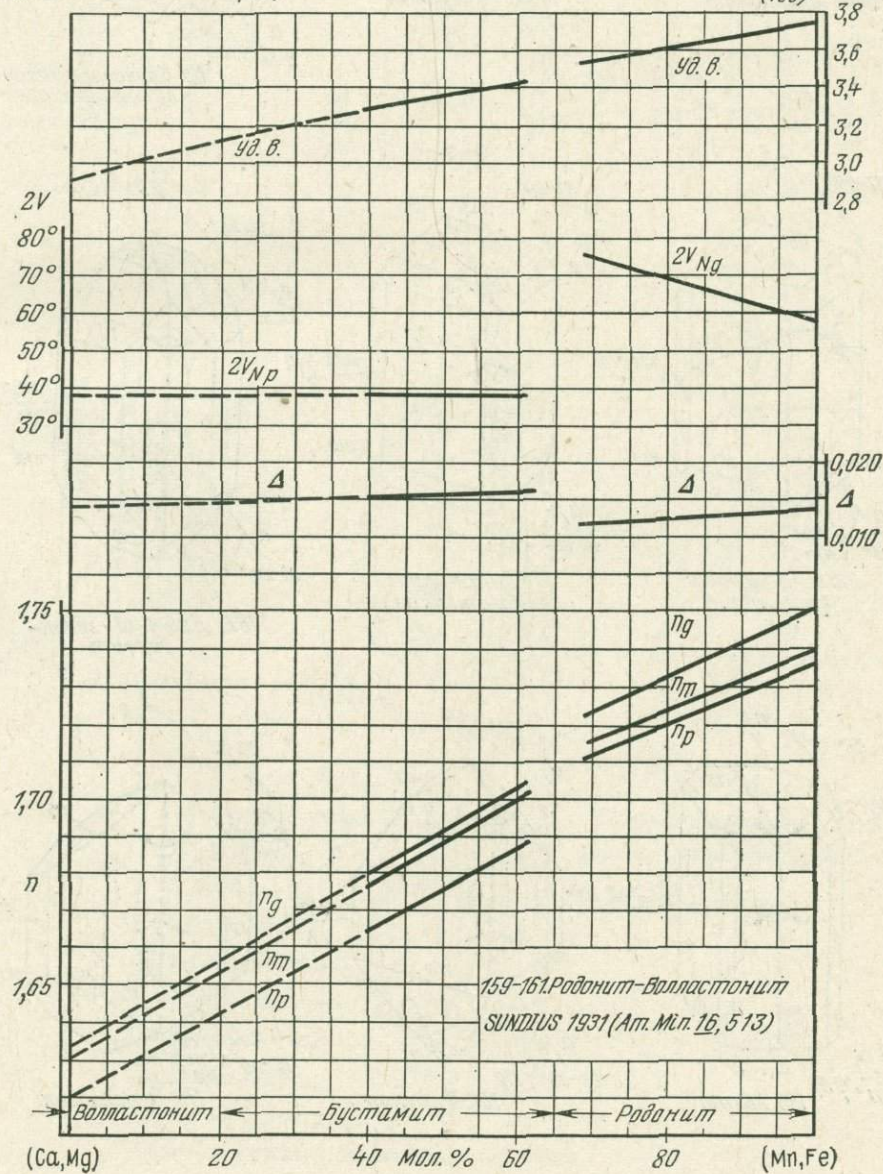
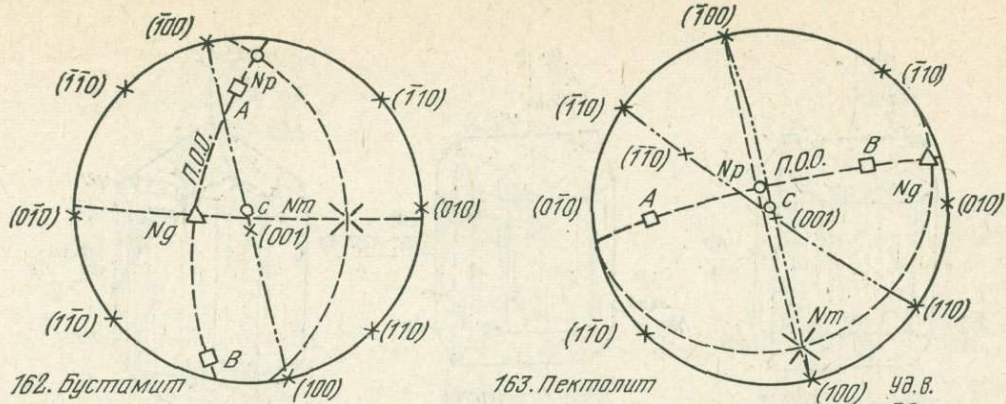
159. Родонит

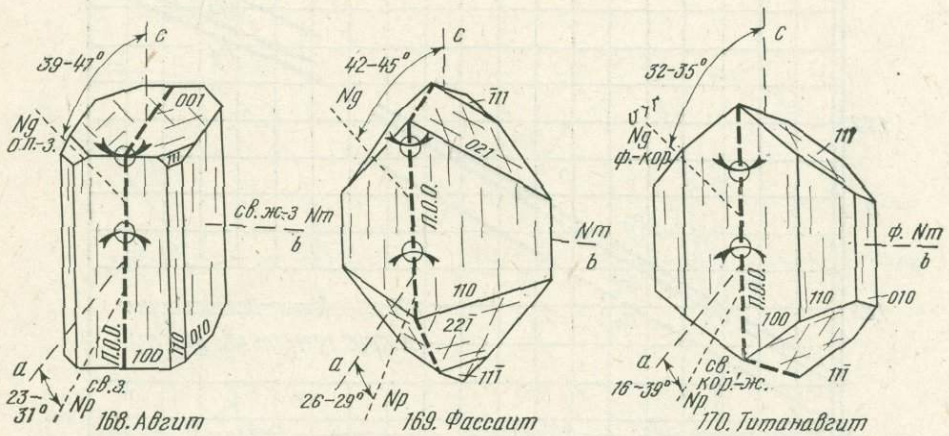
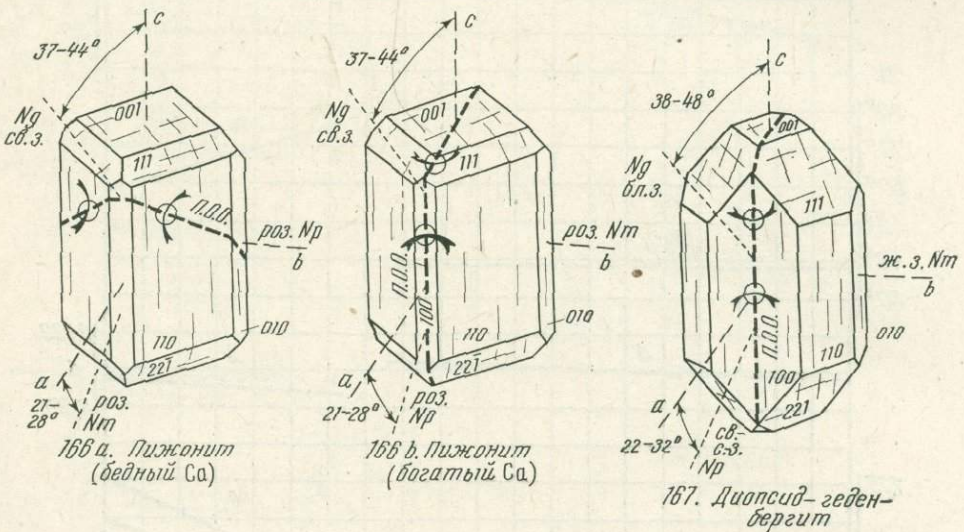
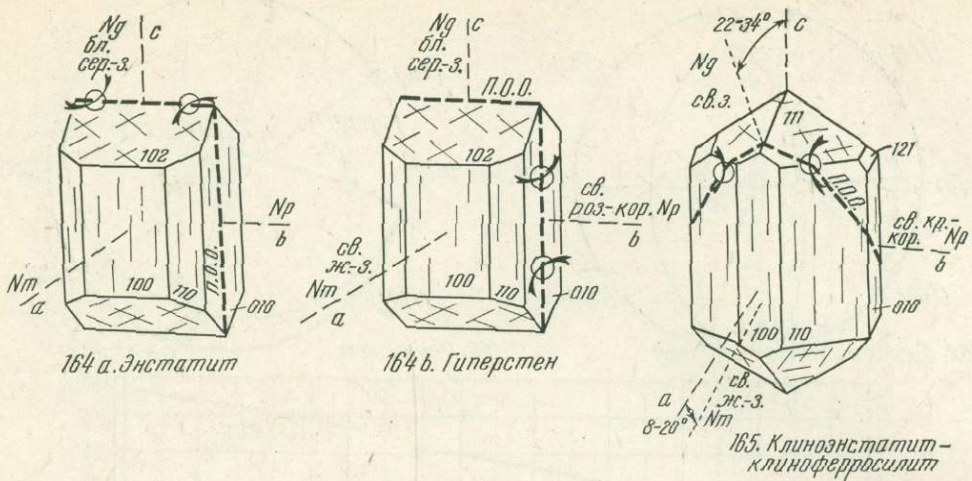


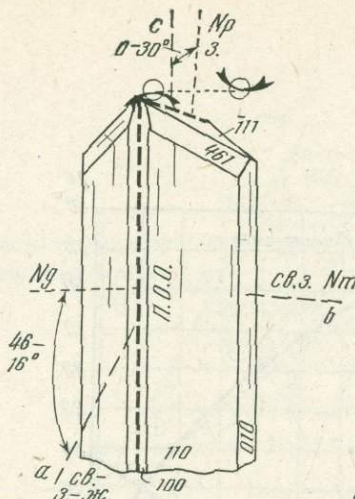
160. бабингтонит



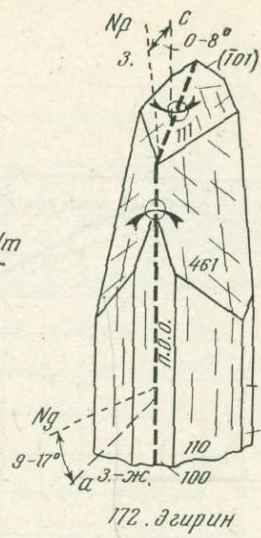
161. Волластонит



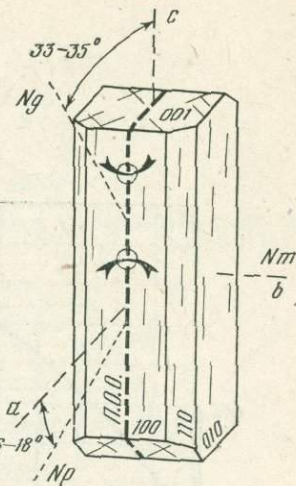




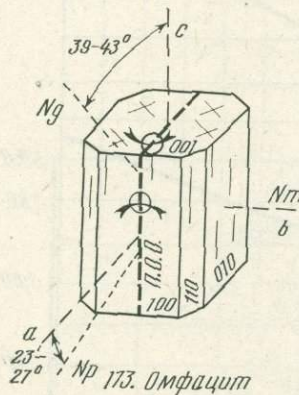
171. Эгирин-авгит



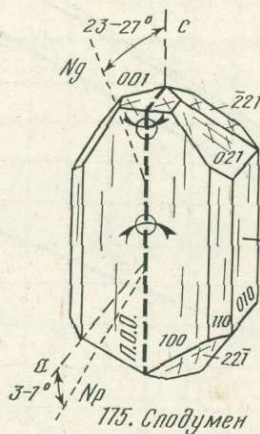
172. Эгирин



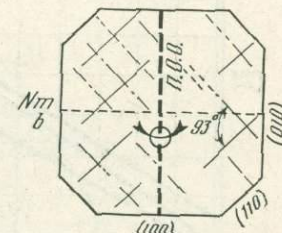
174. Жадеит



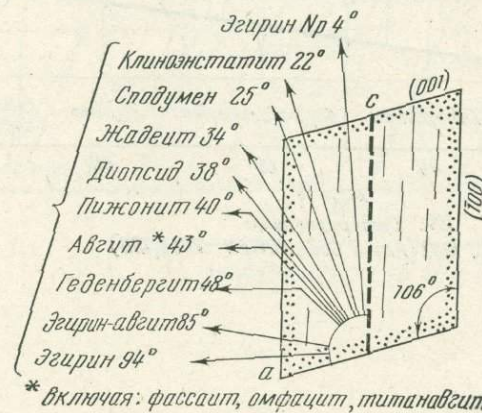
173. Омфацит

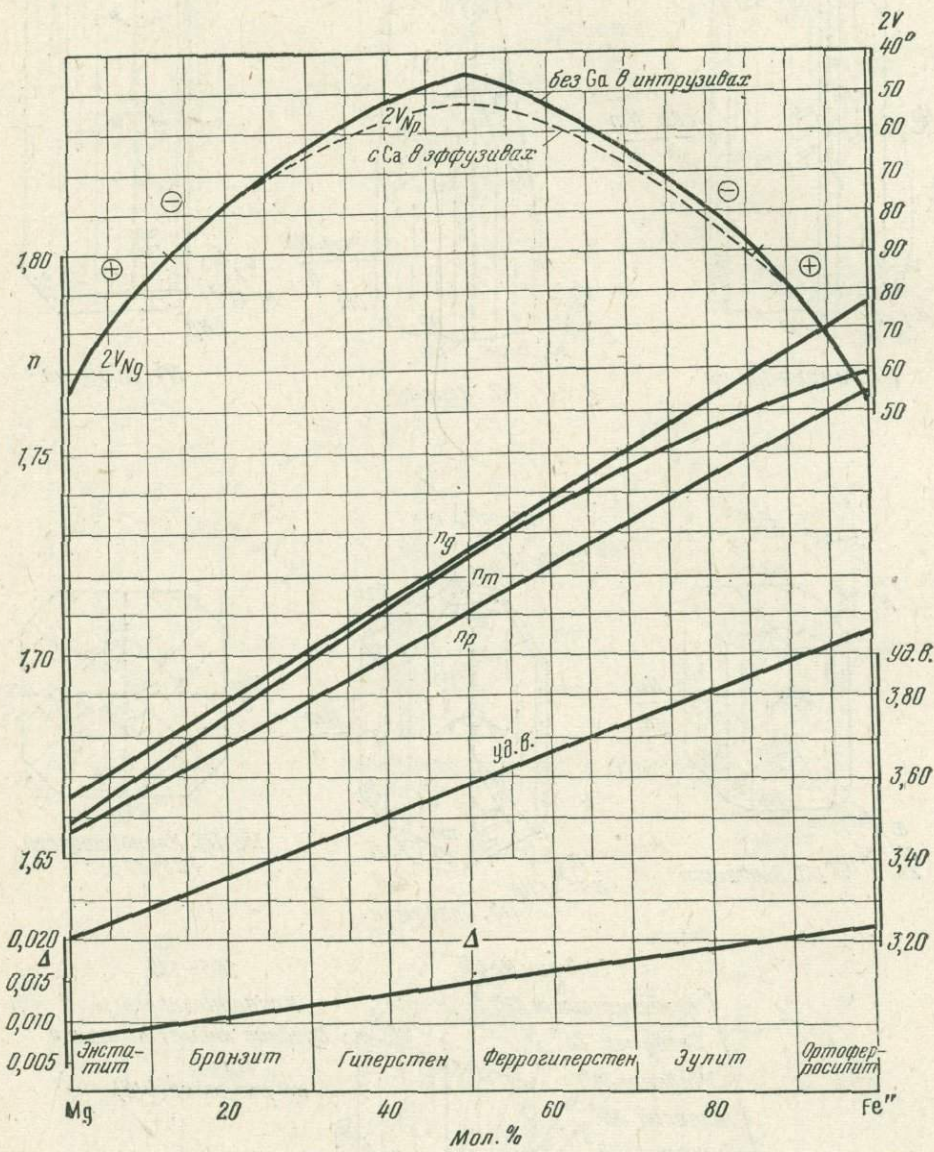


175. Сподумен

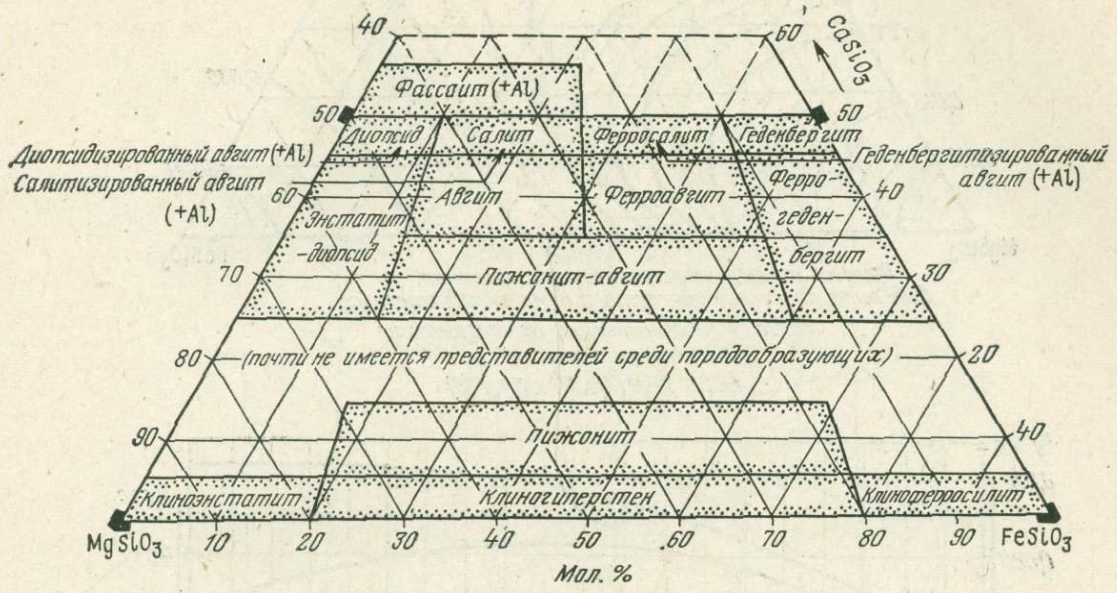


166-175. Клинопироксен.
Разрез $\perp c$

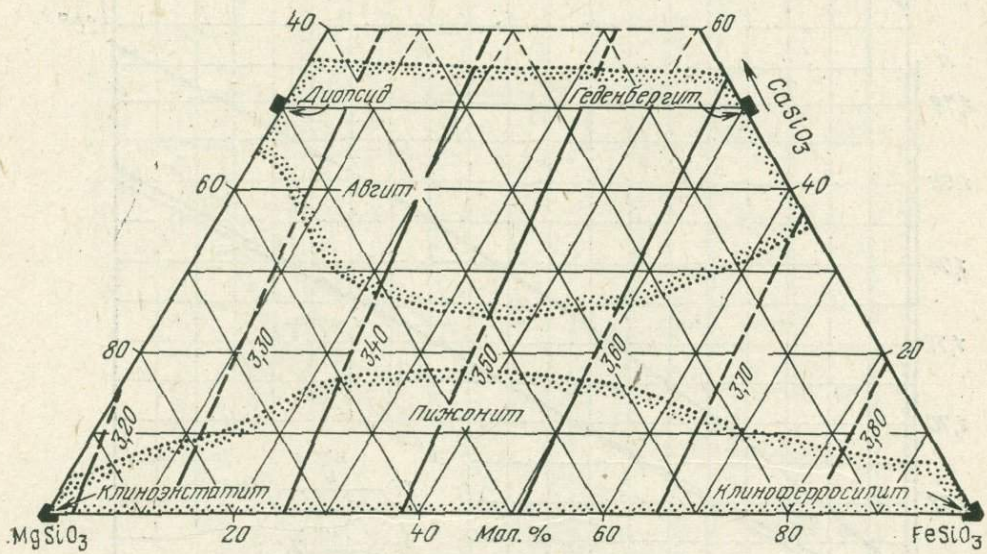




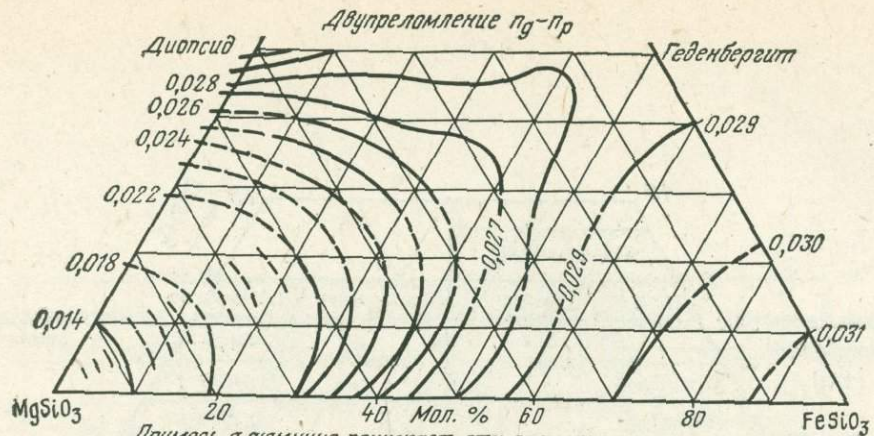
164. Ортопироксены
H.H. HESS 1952 (Am. J. Sci., BOWEN-VOL., 780)



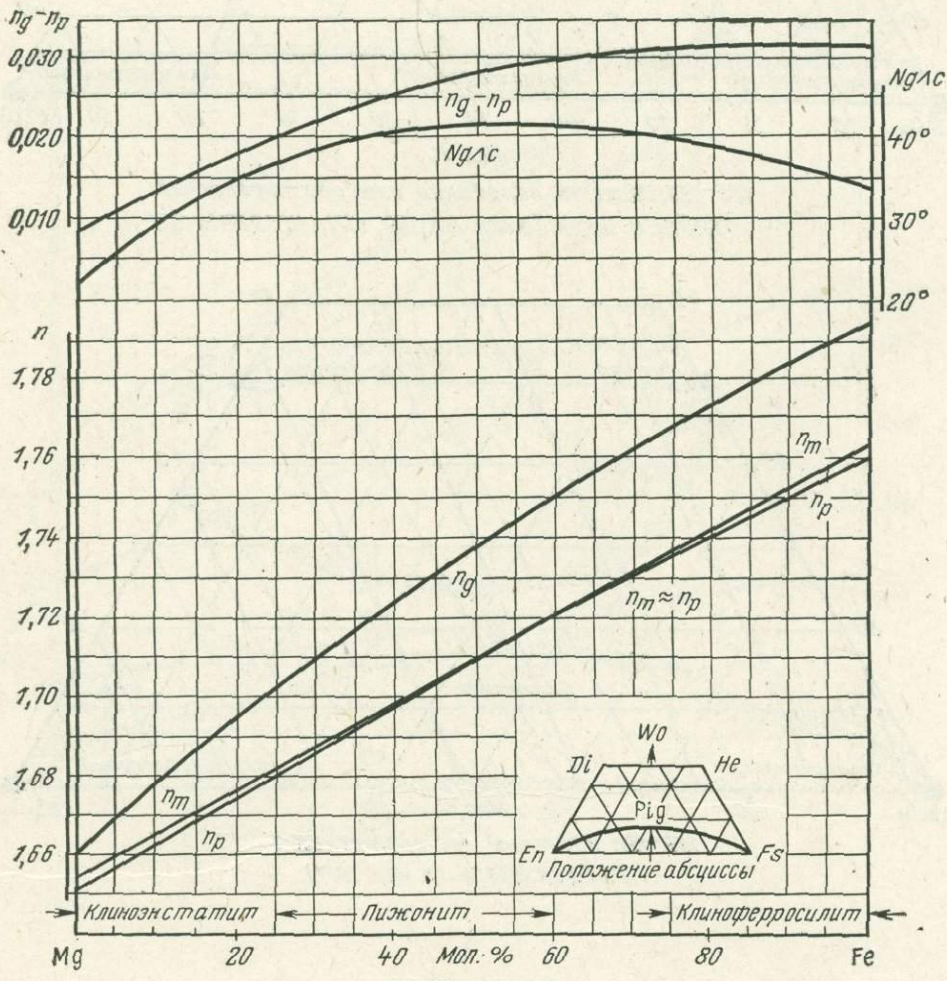
165-169. Область колебания состава пироксенов
TRÖGER 1951 (N.Jb. Min. Mh., 1951, 136) и HESS 1941 и 1951



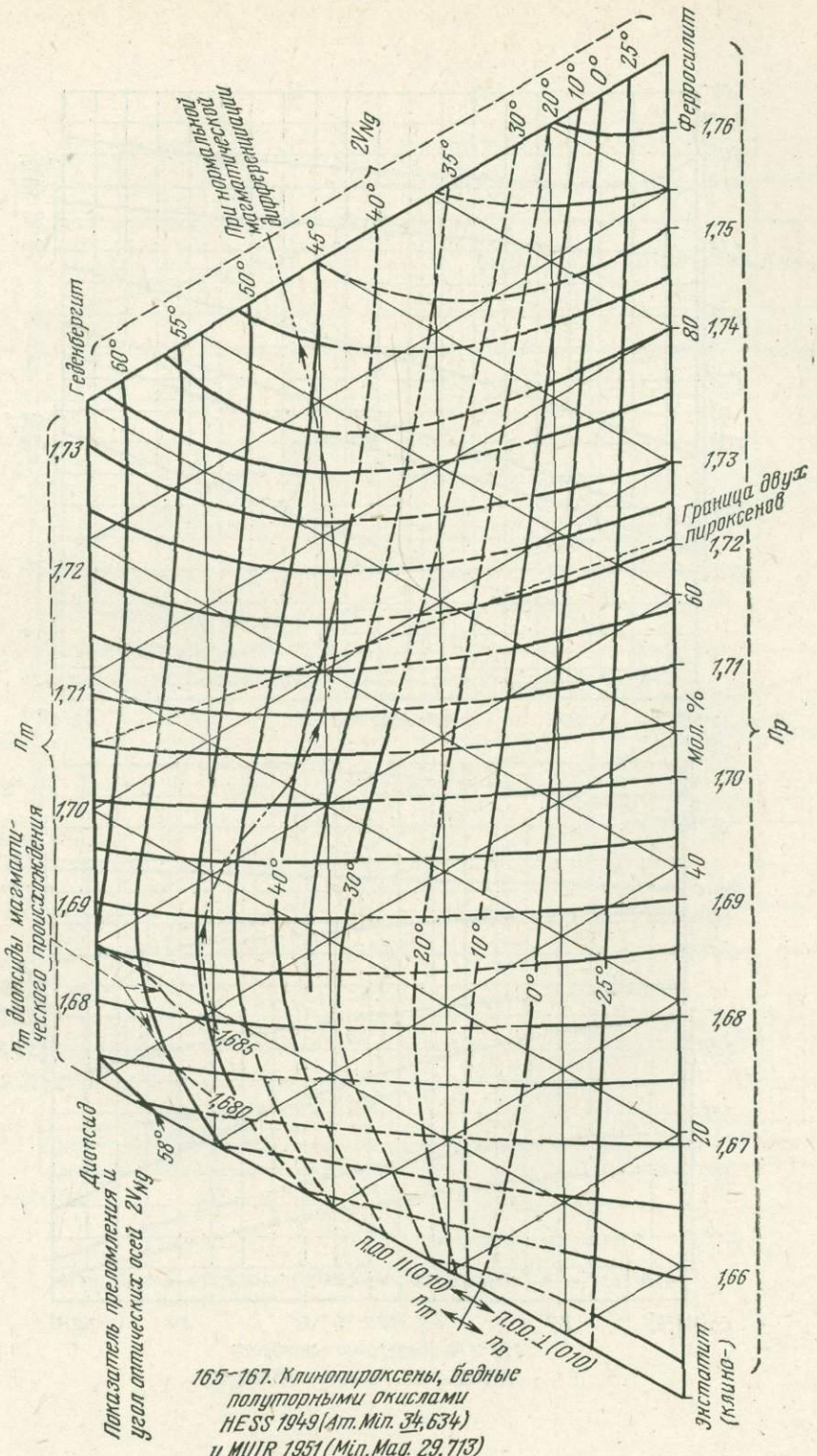
165-169. Удельный вес пироксенов
TRÖGER 1951 (N.Jb. Min. 1951)

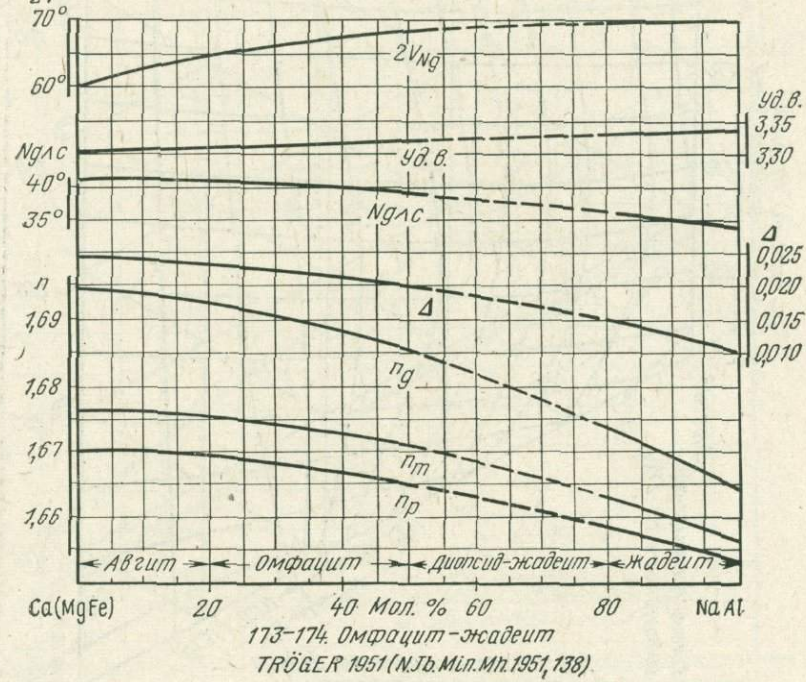
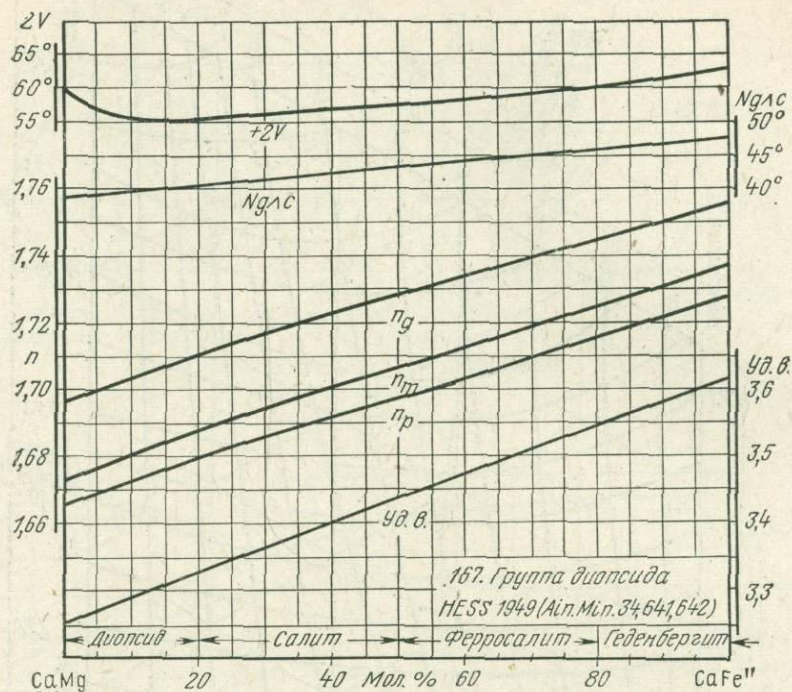


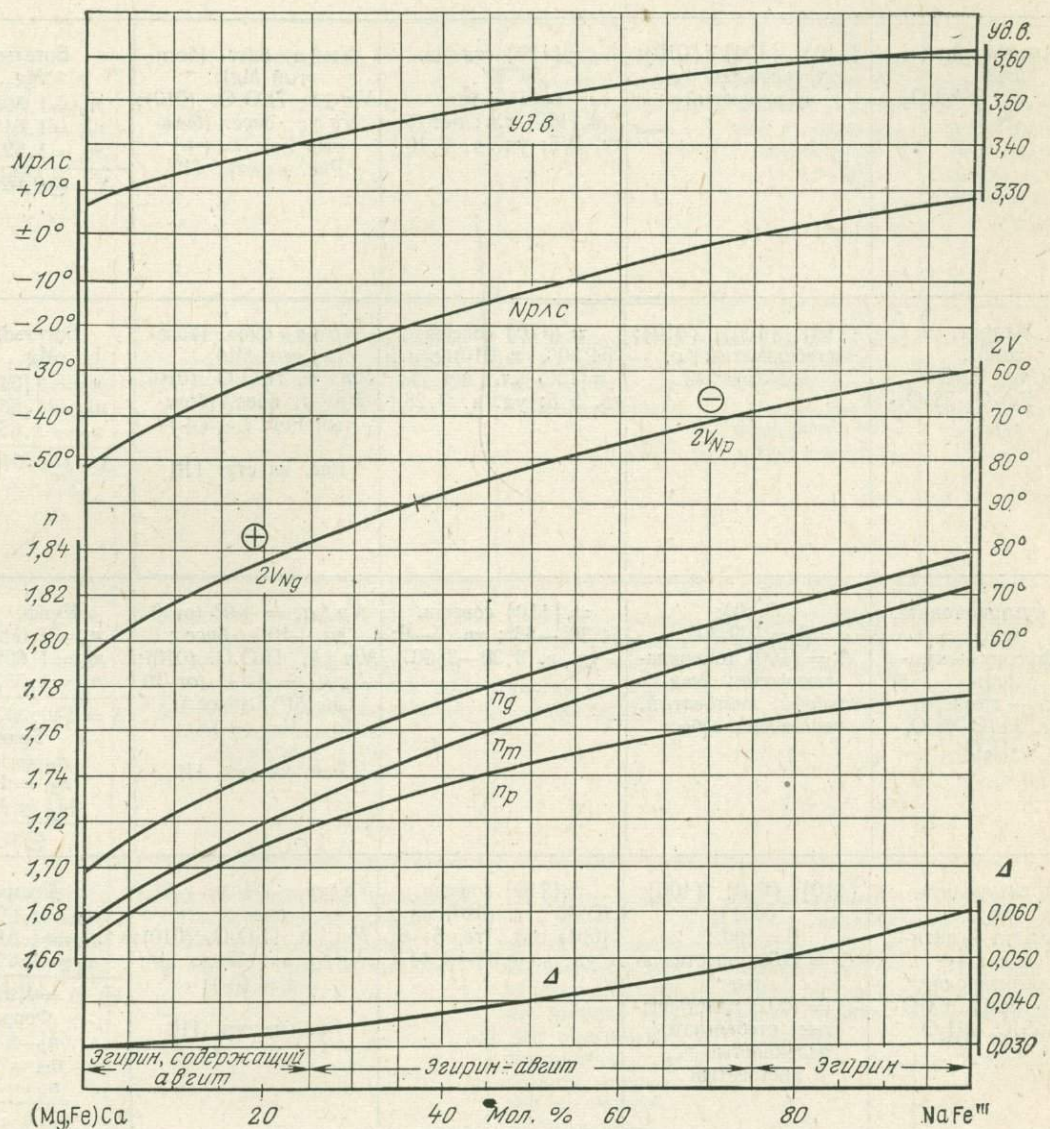
Примесь алюминия понижает эти значения.
Выделение пластинок гиперстена немножко повышает их
165-167. Клинопироксены, не содержащие
полутвердых окислов
HESS 1949 (Am. Min. 34, 639)



166. Пижонит
HESS 1949 (Am. Min. 34, 643)







171-172. Эгирин-авгит-эгирин
TRÖGER 1950 nach LARSEN 1941

ОПТИЧЕСКИ ДВУОСНЫЕ МИНЕРАЛЫ:

№ п/п	Название, сингония, формула	Наиболее часто встречающиеся про- стые формы, двой- ники, габитус, аг- регаты	Спайность, твер- дость, уд. вес	Оптическая ориентировка	Показатель преломле- ния, двупреломле- ние
176	Антофиллит, ромб., $7(\text{Mg}, \text{Fe})\text{O} \cdot 8\text{SiO}_2 \cdot \text{H}_2\text{O}$	{110}, {100}, {010}; стебельчатый c, волокнистый	# {110} соверш. 54°30', # {110} ясн. # {100} пл.; нет \diamond ; тв. 5,5; уд. в. 3,10±	$Np \parallel a$, бисс. (бога- тый Mg); $Nm \parallel b$, П.О.О. (010); $Ng \parallel c$, бисс. (бога- тый Fe); $l = (+)$ Рис. на стр. 110	Богатый Mg $n_p = 1,598$ $n_m = 1,616$ $n_g = 1,623$ $\Delta = \ominus 0,026 \oplus 0,017$ Богатый Fe $n_p = 1,647$ $n_m = 1,651$ $n_g = 1,664$
177	Жедрит, ромб., $6(\text{Mg}, \text{Fe})\text{O} \cdot (\text{Al}, \text{Fe})_2\text{O}_3 \cdot 7\text{SiO}_4 \cdot \text{H}_2\text{O}$	{110}, {100}, {010}; стебельчатый c, волокнистый	# {110} соверш. 54°30', # {010} ясн., # {100} пл.; нет \diamond ; тв. 5,5; уд. в. 3,28±	$Np \parallel a$, бисс. (бога- тый Mg); $Nm \parallel b$, П.О.О. (010); $Ng \parallel c$, бисс. (бога- тый Fe); $l = (+)$ Рис. на стр. 110	Богатый Mg $n_p = 1,642$ $n_m = 1,651_5$ $n_g = 1,658$ $\Delta = \ominus 0,016 \oplus 0,022$ Богатый Fe $n_p = 1,669$ $n_m = 1,676_5$ $n_g = 1,691$
178	Ряд куммингтонита, мон., купфферит — кум- минг- тонит — грюнерит, $7(\text{Mg}, \text{Fe})\text{O} \cdot 8\text{SiO}_2 \cdot \text{H}_2\text{O}$	{hk0}; $\beta = 109^\circ 30'$; $\diamond = (100)$ тонкопла- стинчатые; лучи- стый c, листоватый, напоминает асбест .	# {110} соверш. 54°30°—56°; тв. 5—6; уд. в. 3,30—3,60	$Np \wedge a = +9^\circ$ (от 0 до +10°), бисс.; $Nm \parallel b$, П.О.О. (010); $Ng \wedge c = +11^\circ$ (от 10 до 20°), (бисс.); $l' = (+)$ Рис. на стр. 110	Купф. $n_p = 1,602$ $n_m = 1,622$ $n_g = 1,632$ $\Delta = \ominus 0,030 — \oplus 0,030$ Грюнер. $n_p = 1,685$ $n_m = 1,709$ $n_g = 1,728$ $\ominus 0,043$ Кумм. $n_p = 1,644$ $n_m = 1,657$ $n_g = 1,674$
179	Ряд актинолита, мон., граммит — акти- нолит — ферроактинолит, $4\text{CaO} \cdot 10(\text{Mg}, \text{Fe})\text{O} \cdot 16\text{SiO}_2 \cdot 2\text{H}_2\text{O}$	{110}, {010}, {100}, {001}; $\beta = 106^\circ$; $\diamond = (100)$ пластина- чные; $\diamond = (001)$ пластина- чные; стебельчато- волокнистый c, листоватый	# {110} соверш. 55°45', # {010} пл.; (001) отд., тв. 5—6; уд. в. 2,98—3,44	$Np \wedge a = -1$ до +6°, бисс.; $Nm \parallel b$, П.О.О. (010); $Ng \wedge c = +17$ до 11°; $l' = (+)$ Рис. на стр. 110	Грамм. $n_p = 1,600$ $n_m = 1,613$ $n_g = 1,624$ $\ominus, \Delta = 0,024$ Ферроакт. $n_p = 1,688$ $n_m = 1,699$ $n_g = 1,704$ $\ominus, \Delta = 0,016$ Акт. $n_p = 1,647$ $n_m = 1,659$ $n_g = 1,667$
180	Рихтерит, мон., $\text{Na}_2\text{O} \cdot 3\text{CaO} \cdot 10(\text{Mg}, \text{Mn})\text{O} \cdot 16\text{SiO}_2 \cdot \text{H}_2\text{O}$	{110}, {100}, {hk0}, {010}, {121}; $\beta = 104^\circ 15'$; стебельчатый c, игольчатый	# {110} соверш. 56°; тв. 5—6; уд. в. 2,99±	$Np \wedge a = -3$ до 5°, бисс.; $Nm \parallel b$, П.О.О. (010); $Ng \wedge c = +17^\circ$ до 19°; $l' = (+)$ Рис. на стр. 110	$n_p = 1,605—1,622$ $n_m = 1,620—1,635$ $n_g = 1,627—1,641$ $\ominus, \Delta = 0,022—0,019$

ГРУППЫ АМФИБОЛА

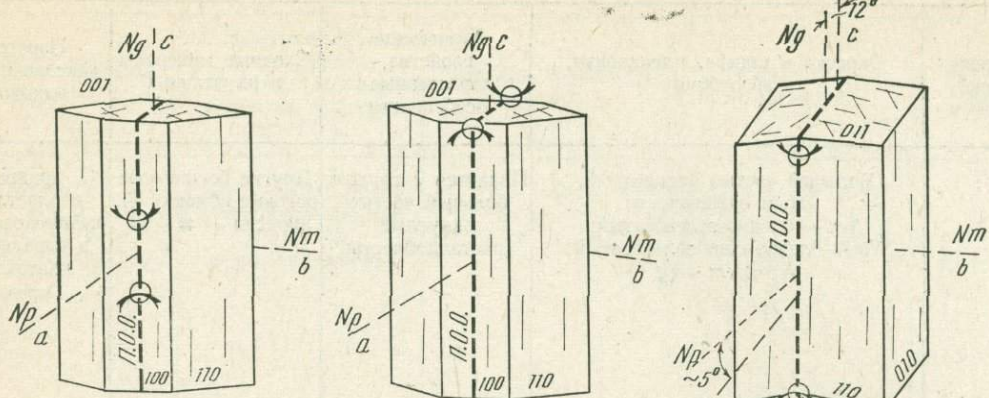
Угол и дисперсия оптических осей	Окраска в шлифе, плеохроизм, абсорбция	Химические свойства, характерные особенности	Сходные минералы и их отличия	Парагенезис, генезис и условия нахождения
Mg:Fe $2V_{Np}=65^\circ$ ↑ 95:5 $2V=90^\circ$ 83:7 $2V_{Ng}=58^\circ$ ↓ 60:40; $r > v$ слабая Рис. на стр. 114	Бесцветный	Не разлагается в кислотах; легко переходит в тальк и антигорит	Цонзит — больший n и меньшее Δ ; карфолит — больший n ; силламинит — имеет $(110) \sim 90^\circ$	Метаморфический, с клиноамфиболами в кристаллических сланцах, особенно серпентинатах; не бывает первичномагматическим
Mg:Fe $2V_{Np}=80^\circ$ ↑ 80:20 $2V=90^\circ$ 66:34 $2V_{Ng}=70^\circ$ ↓ 40:60 $r < v$ слабая Рис. на стр. 114	Np — светло-желто-коричневый; Nm — светло-желто-коричневый; Ng — желто-коричневый до серого; $Np \approx Nm < Ng$	Не разлагается в кислотах; образует включения в биотите и шпинели	Антофиллит — большие n и Δ ; цоизит — больший n и меньшее Δ ; куммингтонит — $Ng \wedge c \sim 15^\circ$	С гранатом и кордиеритом; мезозональный в амфиболитах, эклогитах и кордиеритовых породах
$2V_{Np} = 80 - 90^\circ$ купферит; $2V_{Ng} = 80 - 90^\circ$ куммингтонит; $2V_{Np} = 90 - 84^\circ$ грюнерит; $r > v$ слабая Рис. на стр. 114	Бесцветный; с большим содержанием Fe также: Np — оч. светло-желтоватый; Nm — оч. светло-коричневатый; Ng — бледно-коричнево-желтый; бледно-зеленоватый; $Np < Nm < Ng$	При прокаливании чернеет, если богат железом; иногда плеохроичные дворики	Антофиллит $Ng \parallel c$; актинолит $- \ominus$; хризотил — меньшие n и Δ	С кварцем и карбонатами контактово-метаморфический и эпизональный в филлитах и слюдяных сланцах; грюнерит с железными рудами
$2V_{Np}$ ↑ 85°; $2V_{Np}$ ↓ 80°; $2V_{Np}$ ↓ 74° $r < v$ слабая Рис. на стр. 115	Грамматит бесцветный, остальные: Np — светло-желто-зеленый; Nm — светло-зеленый; Ng — светло-синевато-зеленый; $Np < Nm < Ng$	В HF не разлагается; при прокаливании зеленый → красный; иногда плеохроичные дворики; нефрит плотнее волокнистого актинолита, смарагдит — Сг-содерж., Ng — зеленый	Эгирин — имеет $l' = (-)$; волластонит — меньший $2V$; карфолит — меньший $Ng \wedge c$; роговая обманка — зеленая	С хлоритом, эпидотом, кальцитом; эпизональный в кристаллических сланцах и известняках; kontaktово-метаморфический в роговиках
$2V_{Np} = 70 - 66^\circ$; $r < v$	Np — бесцветный — светло-желто-коричневый; Nm — светло-желтый — оранжевый; Ng — бесцветный — оранжевый; $Ng = Np < Nm = Ng$	Легко плавится; при прокаливании темнеет	Актинолит — больший $2V$; жедрит — $Ng \parallel c$	С родонитом и шефферитом в скарновых Мп-Fe месторождениях; в kontaktово-метаморфизованных доломитовых известняках

№ п/п	Название, сингония, формула	Наиболее часто встречающиеся про- стые формы, двой- ники, габитус, агрегаты	Спайность, твердость, уд. вес	Оптическая ориенти- ровка	Показатель прелом- ления, двупрелом- ление
181	Ряд глаукофана, мон. глаукофан — крос- сит — бабабуданит, $2\text{Na}_2\text{O}\cdot 6(\text{Mg}, \text{Fe})\text{O}\cdot 2(\text{Fe}, \text{Al})_2\text{O}_3\cdot 16\text{SiO}_2\cdot 2\text{H}_2\text{O}$	{110}, {010}, {100}, {011}; $\beta=104^\circ 15'$; $\diamond=(100)$ редко; стебельчатый $\parallel c$, волокнистый, листоватый	# {110} соверш. 55°30'; $\approx(001)$ отд.; тв. 5—6; уд. в. 3,07— 3,33	$Ng \wedge c = +7$ до 5°, $l' = (+)$ $Nm = b, \text{П.О.О.}(010) -$ глаукофан; $Ng = b, \text{П.О.О.} \perp (010)$ — кроссит, бабабуд.; $Nm \wedge c = +5$ до 2°; $l' = (+)$ до (\pm) Рис. на стр. 110	Глаукоф. Крос. $n_p = 1,606 - 1,642$ $n_m = 1,622 - 1,656$ $n_g = 1,627 - 1,657$ $\ominus, \Delta = 0,021 - 0,015$ Бабабуд. $n_p = 1,668$ $n_m = 1,676$ $n_g = 1,678$ $\ominus, \Delta = 0,010$
182	Рибекит — озаннит, мон.. $2\text{Na}_2\text{O}\cdot 6(\text{Fe}, \text{Mg})\text{O}\cdot 2\text{Fe}_2\text{O}_3\cdot 16\text{SiO}_2\cdot 2\text{H}_2\text{O}$	{110}, {100}, {101}; $\beta=103^\circ 30' - 107^\circ 30'?$; стебельчатый $\parallel c$, ветвисто-волокни- стый	# {110} соверш. 56—55°, # {010} хор., # {001} ясн.; тв. 5,5—6; уд. в. 3,38±	$Np \wedge c = 1$ до 8°, $r > v$ бисс.; $Nm \parallel b, \text{П.О.О.}(010) -$ рибекит; $Ng \parallel b, \text{П.О.О.} \perp (010)$ —озаннит; $l' = (-)$ Рис. на стр. 111	$n_p = 1,685 - 1,695$ $n_m = 1,687 - 1,697$ $n_g = 1,689 - 1,699$ $\ominus, \Delta = 0,004 - 0,004$
183	Ряд арфведсонита, мон., эккерманит — фтор- тарамит, магнезио- арфведсонит — арфведсонит $3\text{Na}_2\text{O}\cdot 8(\text{Mg}, \text{Fe})\text{O}\cdot (\text{Al}, \text{Fe})_2\text{O}_3\cdot 16\text{SiO}_2\cdot 2\text{H}_2\text{O}$	{110}, {010}; редко идиоморфный; $\beta=104^\circ 15'$; $\diamond=(100)$; стебельчатый $\parallel c$, листоватый $\parallel (010)$	# {110} соверш. 56°; # {010} ясн.; тв. 5—6; уд. в. 3,00—3,42	$Np \wedge c = -66^\circ$ до -6° , бисс.; $Nm \parallel b, \text{П.О.О.}(010) -$ эккерманит; $Ng \parallel b, \text{П.О.О.} \perp (010)$ фортарамит. арфведсонит; $l' = (\pm)$ до $(-)$ Рис. на стр. 111	Эккер. Форт. $n_p = 1,614$ 1,660 $n_m = 1,625$ 1,671 $n_g = 1,630$ 1,672 $\ominus, \Delta = 0,016$ 0,012 Арфвед. $n_p = 1,693$ $n_m = 1,696$ $n_g = 1,698$ $\ominus, \Delta = 0,005$
184	Ряд гастиングита, мон., магнезиогастинг- сит — баркевикит — гастиングит, $\text{Na}_2\text{O}\cdot 4\text{CaO}\cdot 8(\text{Mg}, \text{Fe})\text{O}\cdot 3(\text{Al}, \text{Fe})_2\text{O}_3\cdot 12\text{SiO}_2\cdot 2\text{H}_2\text{O}$	{110}, {010}, {011}, {101}; $\beta=105^\circ 45'$; коротко- до длинно- призматических $\parallel c$; зернистый, листова- тый $\parallel (010)$	# {110} соверш. 55°45', # {010} хор.; тв. 5—6; уд. в. 3,00—3,45	$Np \wedge c = -46$ до 75° бисс.; $Nm \parallel b, \text{П.О.О.}(010);$ $Ng \wedge c = +44$ до 15°; $l' = (\pm)$ до $(+)$ Рис. на стр. 111	Mg-гаст. Барк. $n_p = 1,646$ 1,680 $n_m = 1,658$ 1,696 $n_g = 1,662$ 1,700 $\ominus, \Delta = 0,016$ 0,020 Гаст. $n_p = 1,700$ $n_m = 1,719$ $n_g = 1,722$ $\ominus, \Delta = 0,022$
185	Титанистая роговая обманка, мон., керсунит — синтаг- матит, $\text{Na}_2\text{O}\cdot 4\text{CaO}\cdot 8(\text{Mg}, \text{Fe}, \text{Ti})\text{O}\cdot 3(\text{Al}, \text{Fe})_2\text{O}_3\cdot 12\text{SiO}_2\cdot 2\text{H}_2\text{O}$	{110}, {010}, {011}; {101}, {100}; $\beta = 105^\circ 45'$; короткостолбча- тый $\parallel c$	# {110} соверш. 55°30'; (001) отд.; тв. 5—6; уд. в. 3,13— 3,27	$Np \wedge c =$ (от 74 до —86°), бисс.; $Nm \parallel b, \text{П.О.О.}(010);$ $Ng \wedge c = + (4^\circ) - 10^\circ -$ $(16^\circ);$ $l' = (+)$ Рис. на стр. 111	Керсунит Синтагм. $n_p = 1,670$ 1,683 $n_m = 1,690$ 1,694 $n_g = 1,704$ 1,701 $\ominus, \Delta = 0,034$ 0,018

Угол и дисперсия оптических осей	Окраска в шлифе, плеохроизм, абсорбция	Химические свойства, характерные особенности	Сходные минералы и их отличия	Парагенезис, генезис и условия нахождения		
$2V_{Np}$ $\left. \begin{array}{l} 60-10^{\circ} \text{ глаукофан} \\ 0-40^{\circ} \text{ кросцит} \\ 40-70^{\circ} \text{ бабуданит} \end{array} \right\} r < v$ Рис. на стр. 116	Глаукофан: Np —бесцветный, желто-зеленый; Nm —лавандово-синий Ng —ультрамариновый; $Np < Nm < Ng$	Бабуданит: Np —темно-синий; Nm —пурпурный; Ng —фиолетово-синий; $Nm < Ng < Np$	Легко плавится; нерастворим в кислотах; иногда плеохроичные дворики; часто включения в хлорите; родусит—бабуданит—асбест	Турмалин—абсорбция $\perp l \gg \parallel l$; арфедсонит— $l' = (-)$; рибекит—только магматический	С гранатом, эпидотом и ционитом; только регионально-метаморфический в слюдяных сланцах, эпидотовых сланцах и эклогитах	
$2V_{Np} = 80-90^{\circ}$; $r > v$ наклонная дисперсия Рис. на стр. 113	Рибекит: $\approx Np$ —темно-синий; $\approx Nm$ —светло-синий; $\approx Ng$ —зелено-вато-желтый; $Np \gg Nm > Ng$	Озаннит: $\approx Np$ —темно-стальной; $\approx Nm$ —светло-коричневато-желтый; светло-зеленовато-желтый; $\approx Ng$ —темно-серосиний, непрозрачный; $Ng > Np \gg Nm$	Легко плавится; нерастворим в кислотах; разлагается в сидерит + лимонит; крокидолит \approx рибекит-асбест	Турмалин—абсорбция $\perp l \gg \parallel l$; димортерт—большее Δ ; глаукофан $l' = (+)$; арфедсонит—чаще больший $Np \wedge c$	С эгирином, кварцем; магматический, в лейкократовых натровых породах; реликтовый в щелочных эпигнейсах; редко kontaktово-метаморфический (привнос Na)	
$2V_{Np}$ $\left. \begin{array}{l} 80-15^{\circ} \text{ эккерманит} \\ 0-50^{\circ} \text{ фтор-тара-} \\ 50-100^{\circ} \text{ арфед-} \\ \text{сонит} \end{array} \right\} r < v$ Рис. на стр. 117	Эккерм.: Np —сине-зеленый; Nm —светло-сине-зеленый; Ng —светло-желто-зеленый; $Nm < Np > Ng$	Фортарам.: Np —сине-зеле-ный; Nm —серо-зеле-ный; Ng —светло-желто-зеленый; $Nm < Np \sim Ng$	Арфвед.: темно-си-не-зеле-ный; коричне-во-жел-тый; зеленово-то-сине-серый; $Nm \ll Np \ll Ng$	Легко плавится; сильная дисперсия осей индикаторы: $r \ll v$	Турмалин—абсорбция $\perp l \gg \parallel l$; рибекит—меньший $Np \wedge c$; кроссит—абсорбция $Np < Ng$; гастиングсит— $Ng \wedge c + 25-30^{\circ}$	С эгирином; только магматический, в фельдшпатоидных натровых породах—особенно плутонических и в пегматитах этих пород
$2V_{Np}$ $\left. \begin{array}{l} 68-15^{\circ} \text{ Mg-га-} \\ \text{стингсит}; \\ 53-40^{\circ} \text{ барке-} \\ \text{викит}; \\ 40-24^{\circ} \text{ гасти-} \\ \text{нгсит}; \\ r \gg v \rightarrow \text{до } r < v \end{array} \right\}$ Рис. на стр. 118	Mg-гаст.: Np —светло-зеленый; Nm —зеленый; Ng —зеленый;	Барк.: светло-ко-ричнево-желтый; красновато-коричневый; красновато-коричневый;	Гаст.: светло-желто-коричне-вый; оливково-зеленый; темно-зеленый;	Легко плавится; дейтерический, баркевикит \rightarrow эгирин + биотит	Синтагматит—больший 2V; роговая обманка—меньший n ; авгит—другая #	Большей частью магматический, в натровых породах: эгирин-фойянит-натровый гранит; гастиングсит редко в kontaktово-метаморфизованных известняках
$2V_{Np}$ $\left. \begin{array}{l} 83-80^{\circ} \text{ керсу-} \\ \text{тиит}, \\ 81-79^{\circ} \text{ синтаг-} \\ \text{матит}; \\ r > v \text{ (редко } r < v) \end{array} \right\}$ Рис. на стр. 119	Керсугит Np —светло-серо-желтый; Nm —коричне-во-красный; Ng —коричнево-красный; $Np < Nm \sim Ng$	Синтагматит Np —светло-желто-коричневый; Nm —красновато-коричневый; Ng —темно-красновато-коричневый, темно-оливково-коричневый; $Np < Nm \ll Ng$	Легко плавится; зональное изменение окраски (изоморфные смеси); в эффузивах разлагается; авгит + магнетит	Баркевикит—меньший уд. в. и 2V; каринтий—только в эклогитах; энigmatит $Ng \wedge c \approx 45^{\circ}$	С титанавитом и оливином; керсугит в перидотитах, тетшенитах; синтагматит в эсекситах—тефритах—мончикитах	

№ п/п	Название, сингония, формула	Наиболее часто встречающиеся простые формы, двойники, габитус, агрегаты	Спайность, твердость, уд. вес	Оптическая ориентировка	Показатель преломления, двупреломление
186	Паргасит, мон., $\text{Na}_2\text{O} \cdot 4\text{CaO} \cdot 8\text{MgO} \cdot 3\text{Al}_2\text{O}_3 \cdot 12\text{SiO}_2 \cdot 2\text{H}_2\text{O}$	{110}, {010}, {011}, редко идиоморфный; $\beta = 105^\circ 45'$; зернистый; каемки	# {110} соверш. 56° ; тв. 5—6; уд. в. $3,15 \pm$	$Np \wedge c = -62^\circ$ до 65° ; $Nm \parallel b$. П.О.О. (010); $Ng \wedge c = +28$ до 25° , бисс. Рис. на стр. 111	Чистый. Содерж. Fe $n_p = 1,614 - 1,640$ $n_m = 1,618 - 1,645_5$ $n_g = 1,633 - 1,659$ $\oplus, \Delta = 0,019 - 0,019$
187	Ряд роговой обманки, мон., $0,6\text{Na}_2\text{O} \cdot 3,7\text{CaO} \cdot 8,5(\text{Mg, Fe})\text{O} \cdot 2,2(\text{Al, Fe})_2\text{O}_3 \cdot 13\text{SiO}_2 \cdot 2\text{H}_2\text{O}$	{110}, {010}, {011}, {001}, {hkl}; $\beta = 105^\circ 45'$; $\diamond = (100)$, пластиначатые; зернистый, коротко-столбчато- стебельчатый $\parallel c$	# {110} соверш. 56° ; (100) и (001) отд.; тв. 5—6; уд. в. $3,06 - 3,40$	$Np \wedge c = -63$ до 75° до 68° бисс.; $Nm \parallel b$, П. О. О. (010); $Ng \wedge c = +27$ до 15° до 22° ; $l' = (+)$ Рис. на стр. 111	Богатый Богатый Mg Fe $n_p = 1,630 - 1,678$ $n_m = 1,637 - 1,697$ $n_g = 1,644 - 1,704$ $\ominus, \Delta = 0,014 - 0,026$
188	Каринтин, мон., $\text{Na}_2\text{O} \cdot 3,5\text{CaO} \cdot 8(\text{Mg, Fe})\text{O} \cdot 2,5\text{Al}_2\text{O}_3 \cdot 13\text{SiO}_2 \cdot 2\text{H}_2\text{O}$	{110} не бывает идиоморфным; $\beta = 105^\circ 45'$; $\diamond = (100)$, пластиначатые; стебельчатый $\parallel c$, зернистый	# {110} соверш. 56° ; тв. 5—6; уд. в. $3,13 \pm$	$Np \wedge c = -69$ до 68° , бисс.; $Nm \parallel b$, П. О. О. (010); $Ng \wedge c = +21$ до 22° ; $l' = (+)$ Рис. на стр. 111	$n_p = 1,636$ $n_m = 1,648_5$ $n_g = 1,659$ $\ominus, \Delta = 0,023$
189	Энгматит, трикл. (кессирит), $\text{Na}_2\text{O} \cdot 2(\text{Fe, Mg, Mn}) \cdot \text{O} \cdot 0,5(\text{Fe, Al})_2\text{O}_3 \cdot 0,5\text{TiO}_2 \cdot 4\text{SiO}_2$	{010}, {100}, {110}, {110}, {001}; $\beta = 96^\circ 30'$ (Gossner); $\diamond = (\bar{1}10)$, устойчивопластиначатые; столбчатый $\parallel c$, игольчатый	# (010) хор. } $66^\circ 15'$; # (100) хор. } $66^\circ 15'$; тв. 5,5; уд. в. $3,79 \pm$	П. О. О. $\approx (\bar{1}\bar{1}0)$; $Ng' \wedge c \approx 45^\circ$ на $(\bar{1}10)$; $Ng' \wedge c \approx 4^\circ$ на (110) Рис. на стр. 121	$n_p \approx 1,80$ $n_m \approx 1,80$ $n_g \approx 1,80$ $\oplus, \Delta = 0,006$
190	Рёнит, трикл., $\text{CaO} \cdot 2(\text{Mg, Fe})\text{O} \cdot 0,5\text{Fe}_2\text{O}_3 \cdot 0,75\text{Al}_2\text{O}_3 \cdot 0,5\text{TiO}_2 \cdot 2,5\text{SiO}_2$	{100}, {010}, {001}, {110}, {110}; $\beta = 96^\circ 30'$ (Gossner); $\diamond = (\bar{1}10)$, пластиначатые (часто полисинтети- ческие); столбчатые $\parallel c$; таблитчатый $\parallel (1\bar{1}0)$; блёстки	# (010) хор. } $\approx 66^\circ$; # (100) хор. } $\approx 66^\circ$; тв. 5,5; уд. в. $3,58 \pm$	П. О. О. $\approx (\bar{1}\bar{1}0)$; $Ng' \wedge c = 40^\circ$ на $(\bar{1}10)$; $Ng' \wedge c = 10^\circ$ на (110) Рис. на стр. 121	$n_p \approx 1,70$ $n_m \approx 1,70$ $n_g \approx 1,70$ $\oplus, \Delta = 0,008$

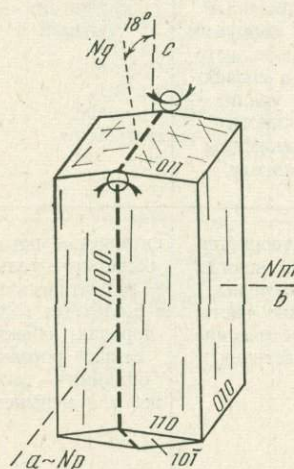
Угол и дисперсия оптических осей	Окраска в шлифе, плеохроизм, абсорбция	Химические свойства, характерные особенности	Сходные минералы и их отличия	Парагенезис, генезис и условия нахождения
$2V_{Ng} = 52-65^\circ$ $r > v$ Рис. на стр. 120	Большой частью бесцветный, если окрашен, то Nm — бледно-зеленоватый; Ng — бледно-сине-зеленоватый; $Np < Nm \sim Ng$	Плавится с трудом; большей частью округлые кристаллобласти	Другие бесцветные роговые обманки \ominus , диопсид — $\# \sim 90^\circ$	С хондритом и волластонитом; катамезозональный, в парагнейсах и kontaktовых мраморах
$2V_{Np} = 87-63^\circ$ $r < v$ Рис. на стр. 120	Np — светло-желто-зеленый, светло-желто-коричневый, светло-желтый; Nm — желто-зеленый, оливково-зеленый, зеленый; Ng — оливково-зеленый, коричнево-зеленый, сине-зеленый; $Np < Nm < Ng$	В HCl не растворяется; иногда плеохроичные дворики; барруазит: Ng — зеленовато-синий, в амфиболитах; уралит — волокнистые псевдоморфозы по авгию	Актиноплит — меньшие n и Δ ; гастингсит — больший n	С биотитом и титанитом; магматический, в кислых средних (редко в основных) горных породах; мезозональный и kontaktово-метаморфический, в богатых Mg и Fe сланцах
$2V_{Np} = 85^\circ$ $r > v$	Np — светло-серо-желтый; Nm — красновато-коричневый, гвоздично-коричневый; Ng — коричневый, зеленовато-коричневый; $Nm > Ng \gg Np$	Не растворяется в HCl; иногда плеохроичные дворики; часты диабластические прорастания	Титанистые роговые обманки — только магматические в щелочных горных породах; обычные роговые обманки — такой же n и меньшее Δ	С омфацитом и гранатом; первичный, в эклогитах
$2V_{Ng} = 32^\circ$ $r < v$ Рис. на стр. 121	Np — светло-красно-коричневый; Nm — темно-каштаново-коричневый; Ng — очень темно-коричневый, непрозрачный; $Np < Nm < Ng$	Не растворяется в кислотах; плоскость оптических осей делит примерно пополам тупой угол между спайностями	Рёнит — по Np — зеленовато-коричневая окраска; титанистые роговые обманки — большее Δ и Ng близко с	С эгирином и арфведсонитом; только магматический, в натровых и нефелиновых сиенитах, натровых трахитах и фонолитах
$2V_{Ng} = 40^\circ$ $r < v$ Рис. на стр. 121	Np — зеленовато-коричневый; Nm — коричневый; Ng — темно-красно-коричневый, непрозрачный; $Np \leq Nm < Ng$	Не растворяется в кислотах; плоскость оптических осей делит примерно пополам тупой угол между спайностями	Ильменитовые пластинки слабее плеохроируют; энгматит по Np красно-коричневый; титанистые роговые обманки — большее Δ	Только дейтерический; в титановых роговых обманках и биотите, щелочных базальтах; нефелиновые базаниты и нефелиниты



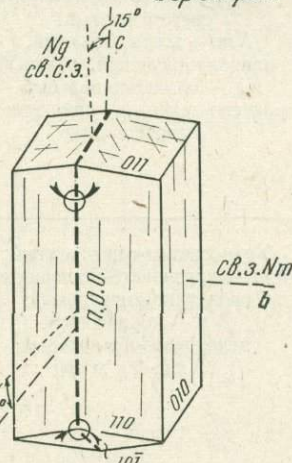
176/7а. Антофиллит-
гедррит богатый Mg

176/7б. Антофиллит-
гедррит богатый Fe

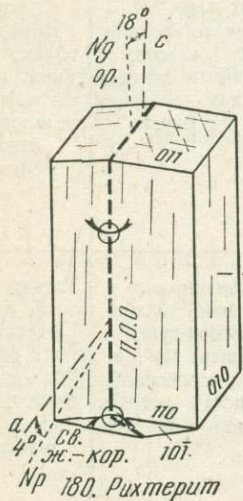
178а. Купфферит
и грюнерит



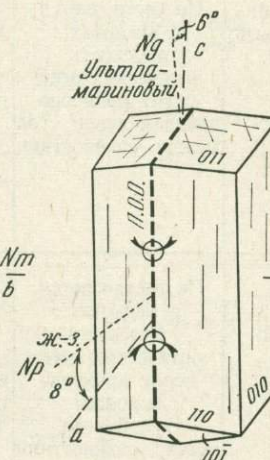
178 б. Куммингтонит



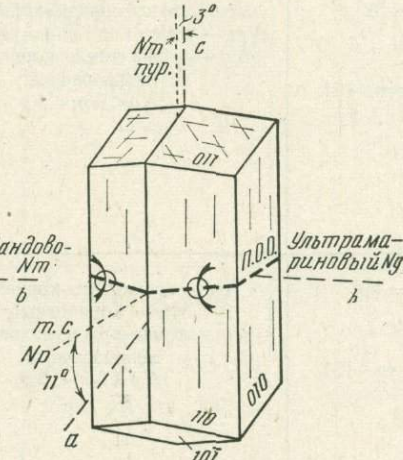
179. Актинолитовый ряд



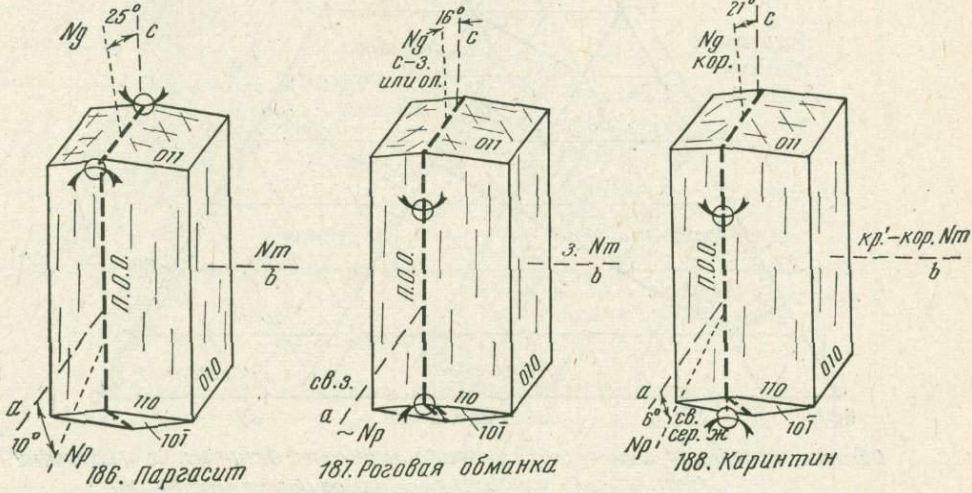
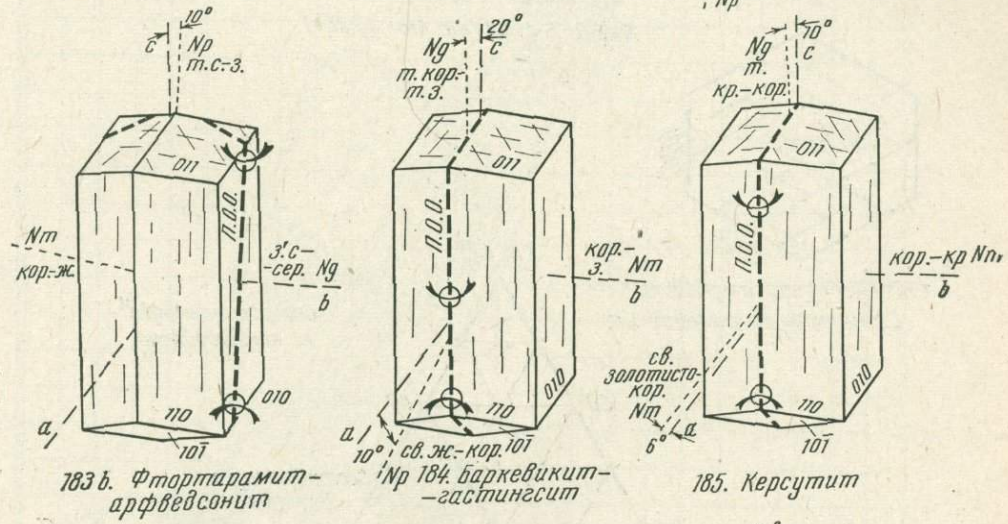
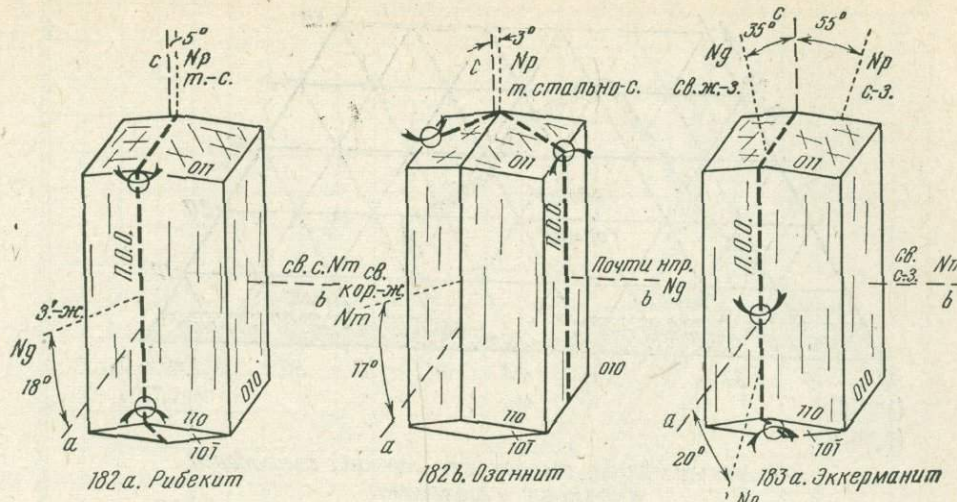
180. Рихтерит

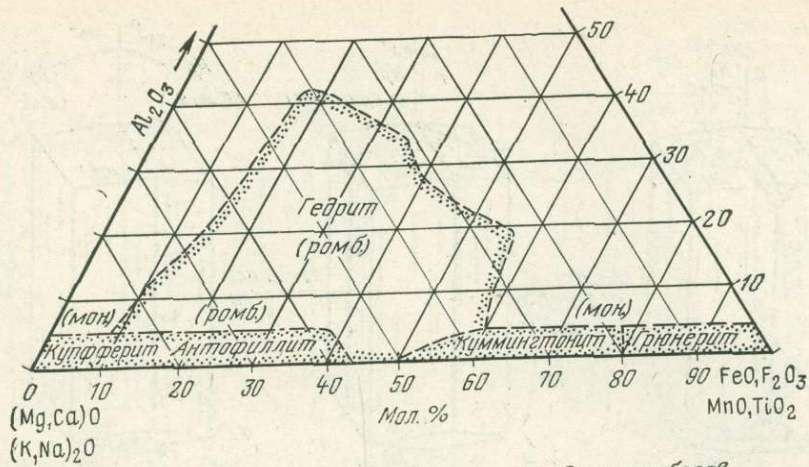


181а. Глаукофан



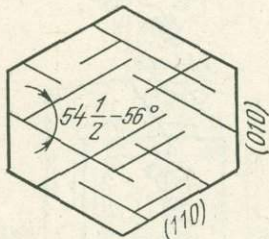
18b. Кроссит-бабабуданит



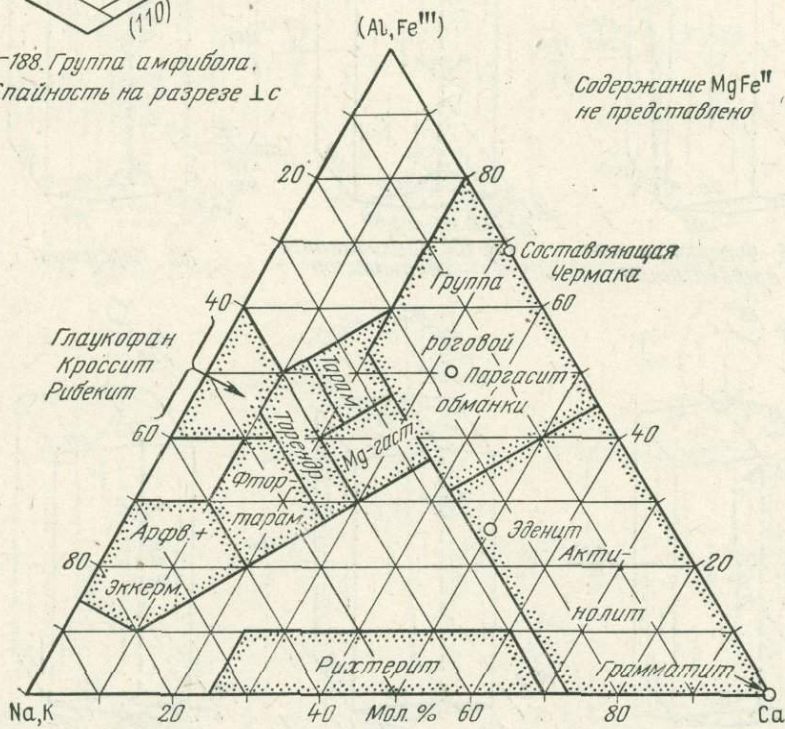


Область колебания химического состава амфиболов
богатых Ca и щелочами

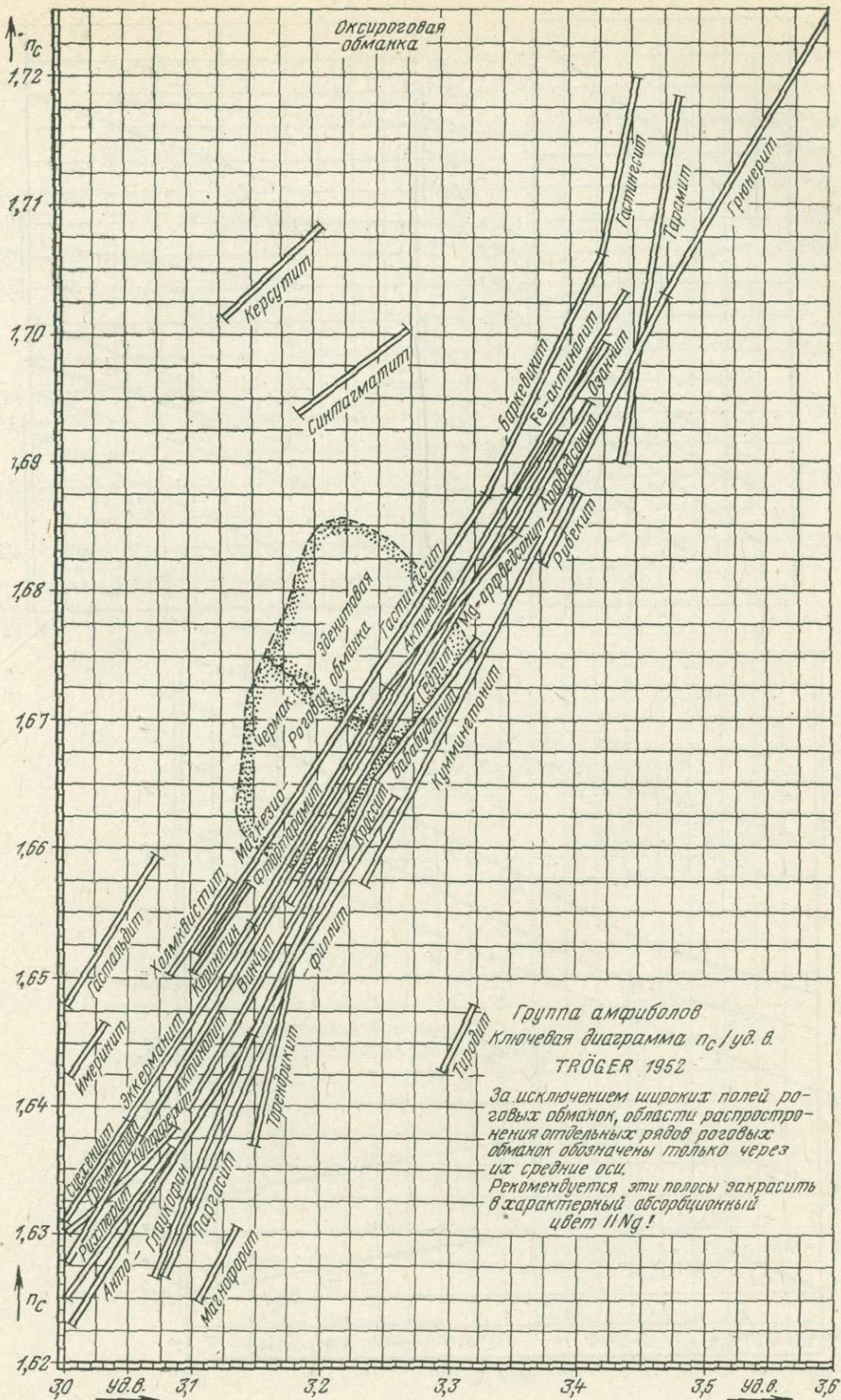
RABBIT 1948 (Ат. Міл. 33,284)

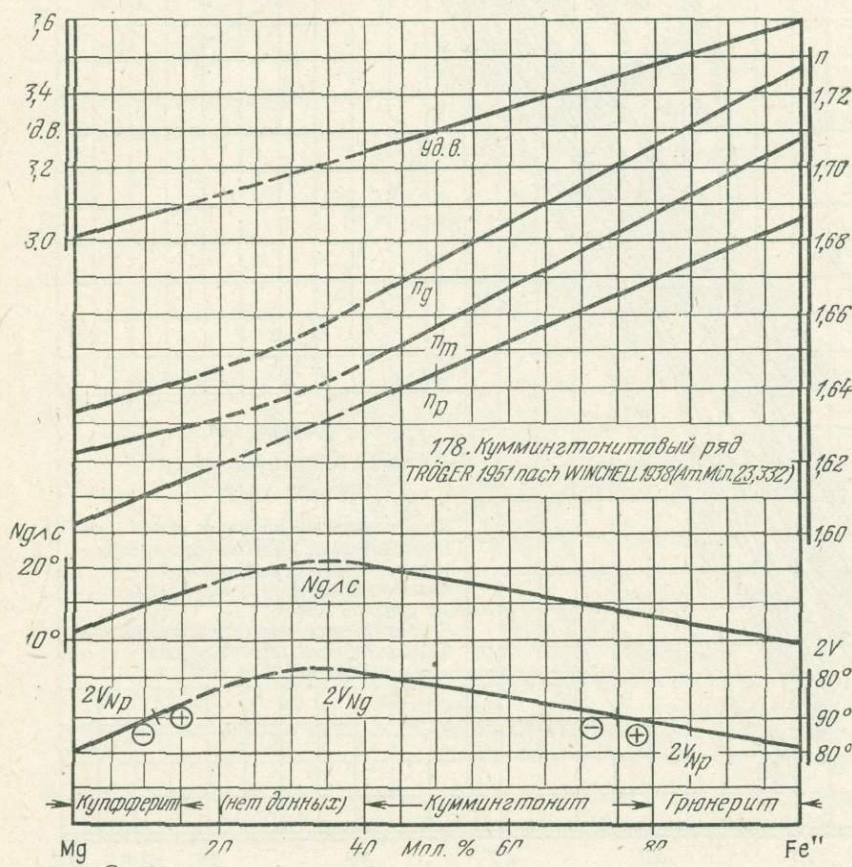
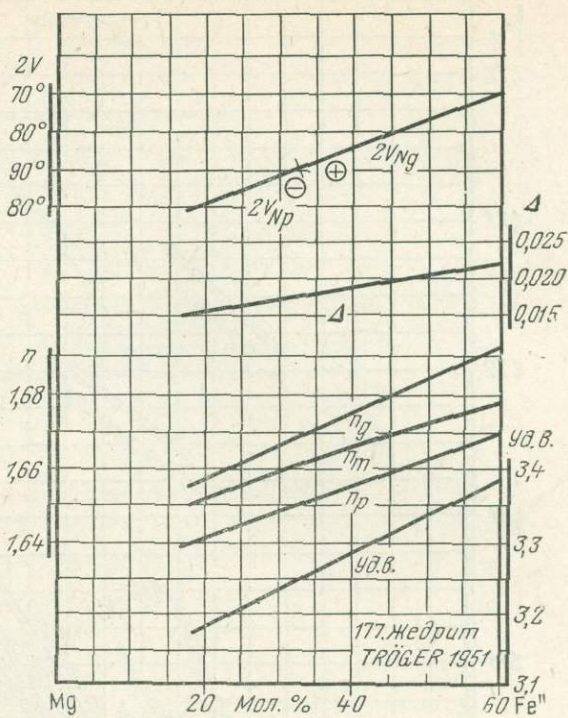
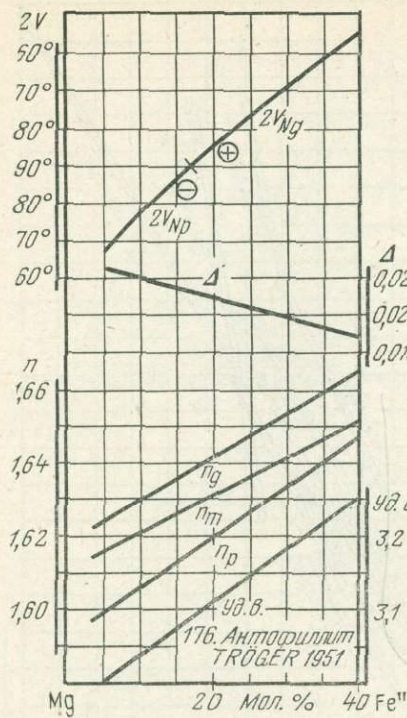


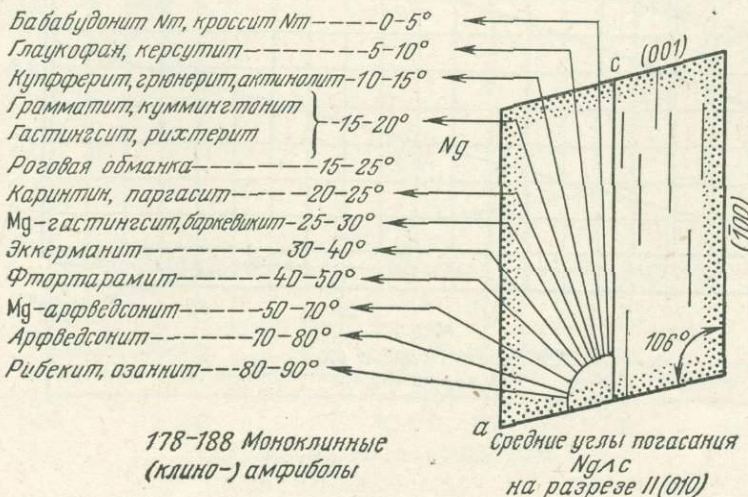
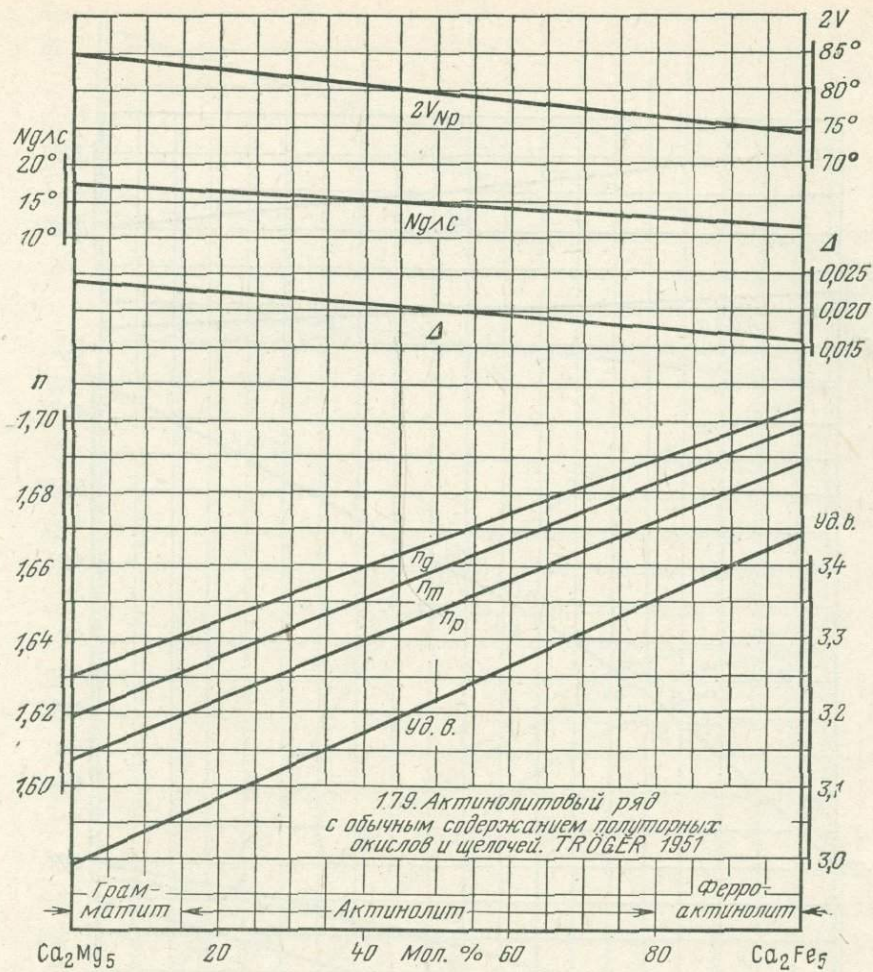
176-188. Группа амфибала.
Спайность на разрезе $\perp c$

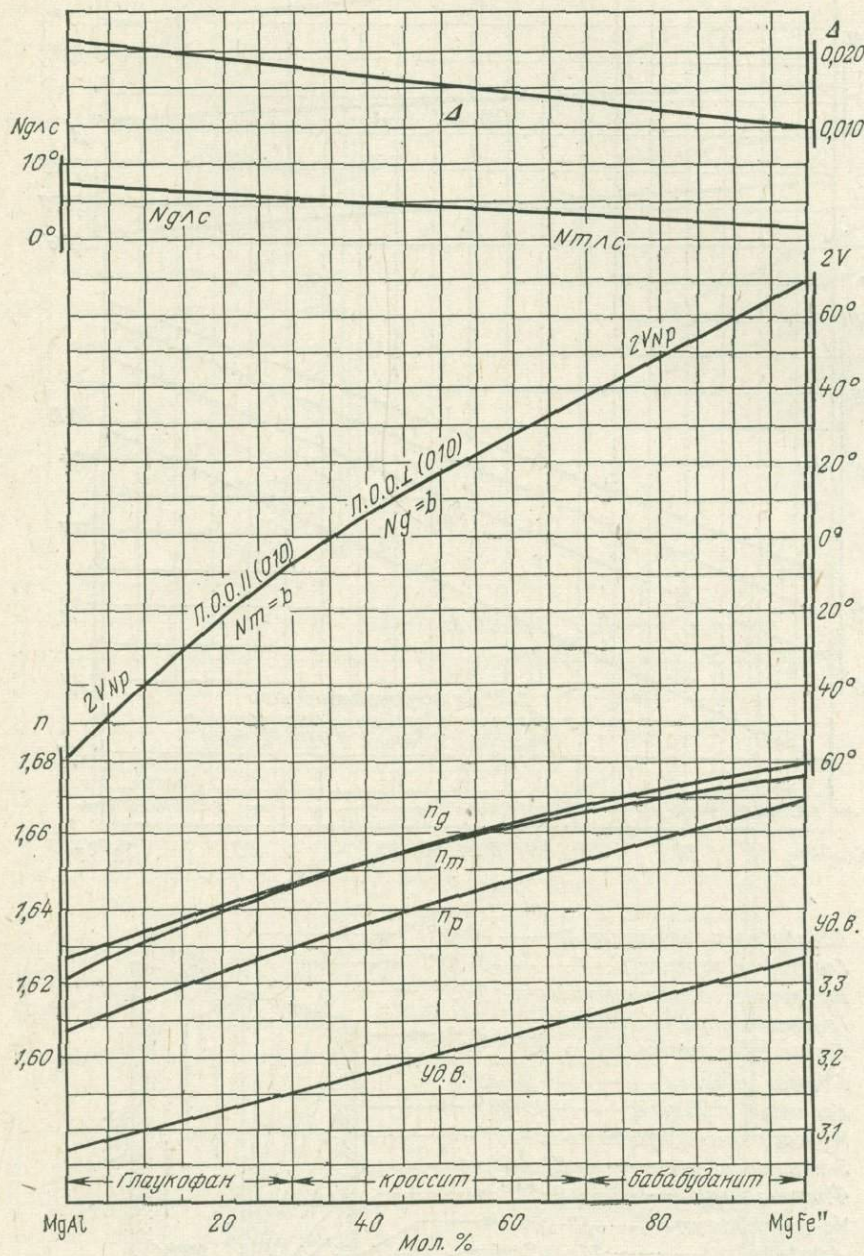


Область колебания химического состава амфиболов, богатых Ca и щелочами
TRÖGER nach SUNDIUS (Sver. geolog. Unders. Arsb. 404, 34)

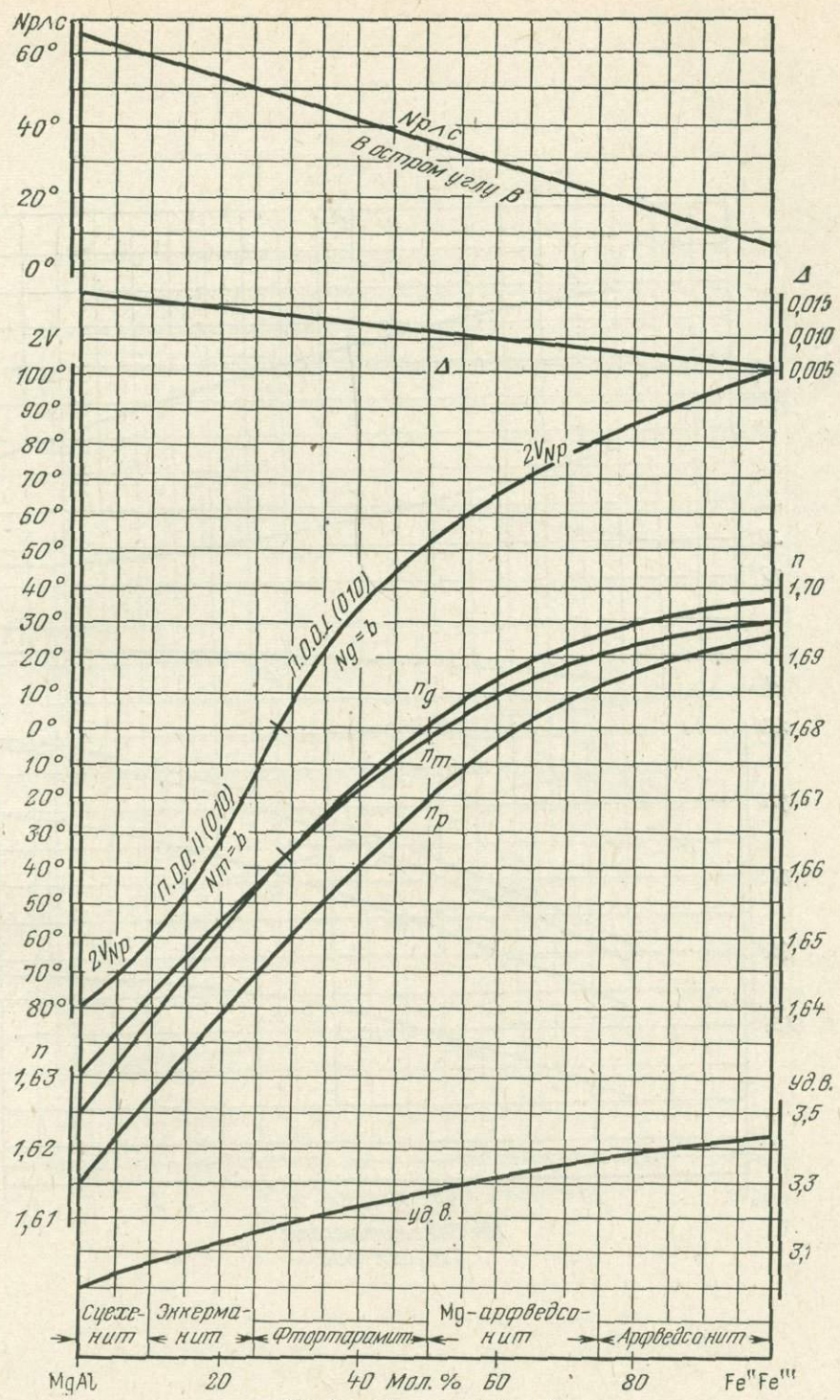




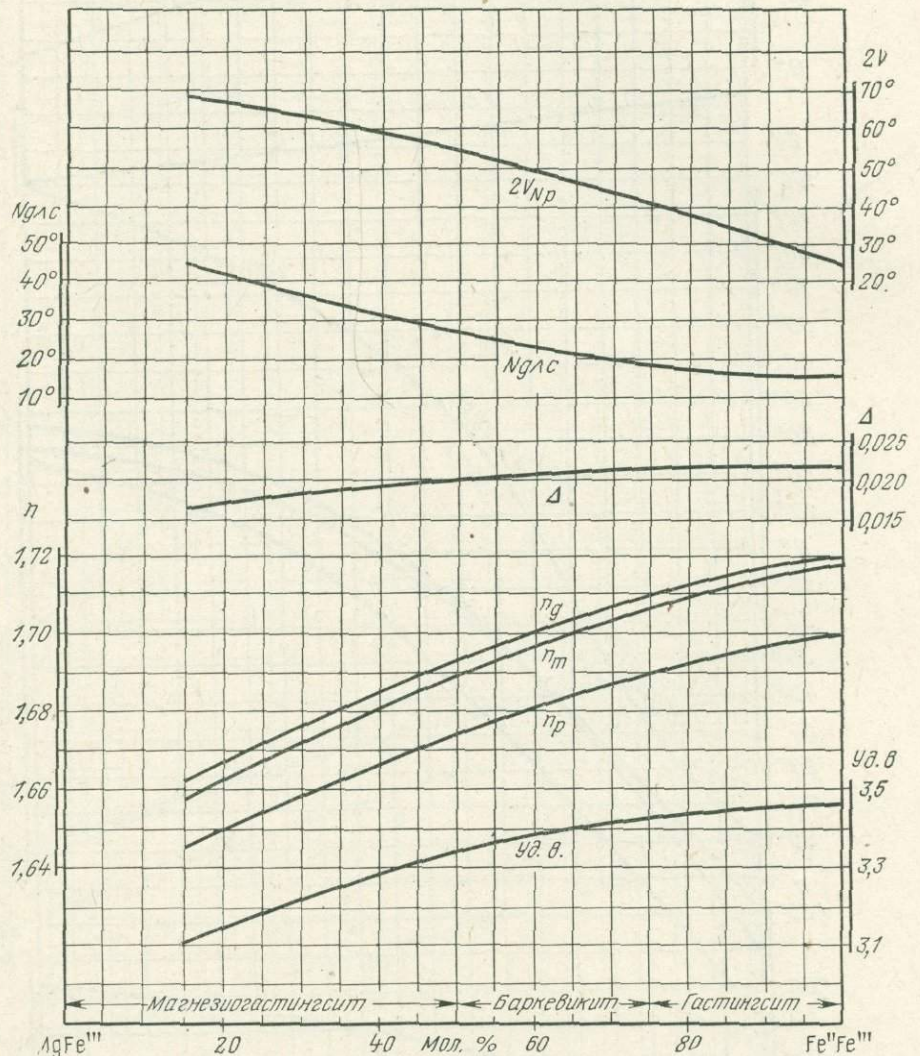




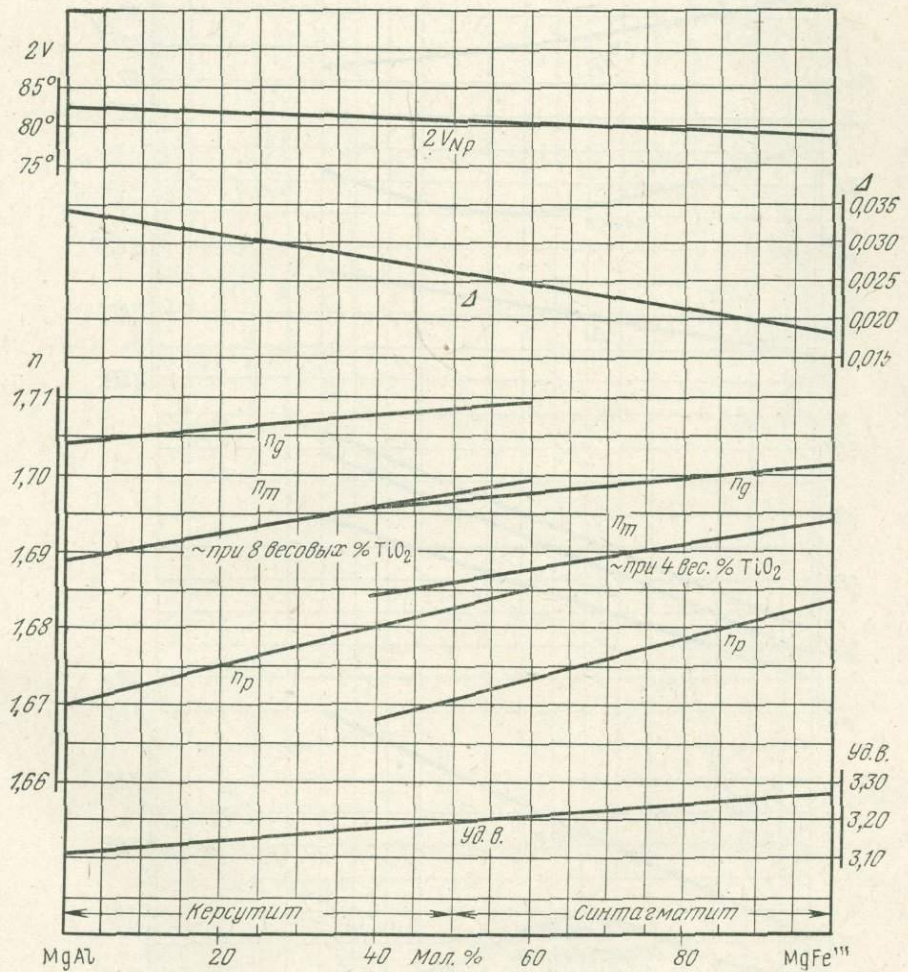
181. Глаукофановый ряд
TRÖGER 1952



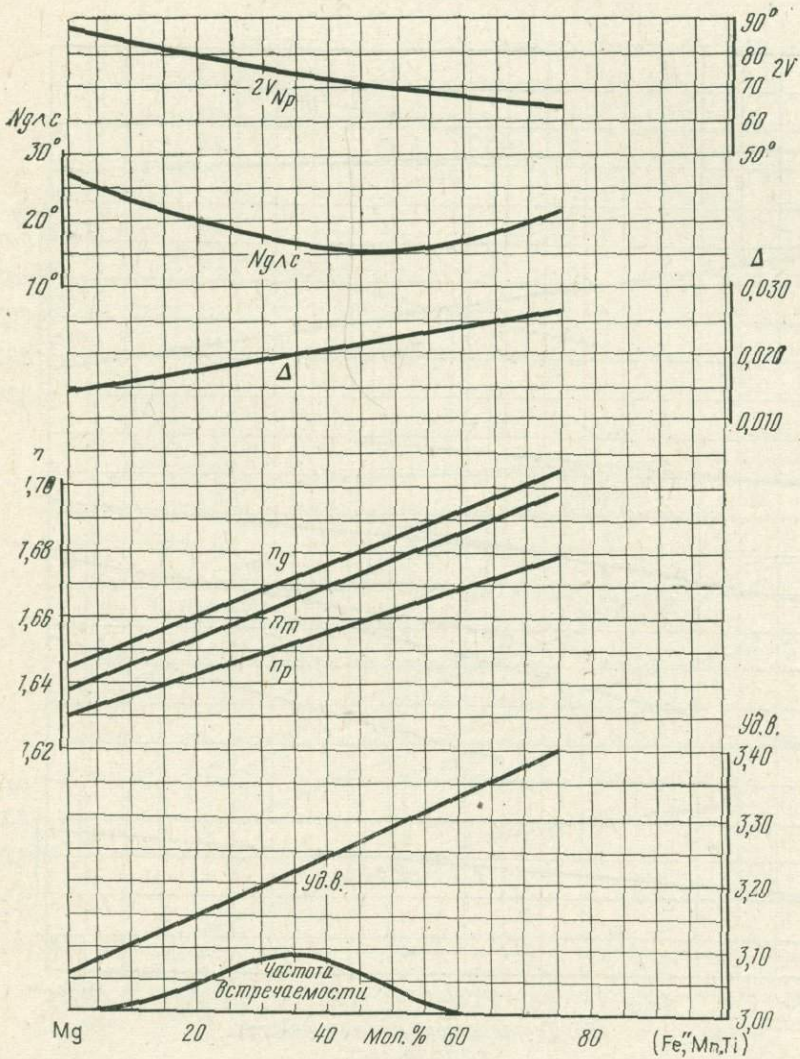
183. Арфведсонитовый ряд
TRÖGER 1952



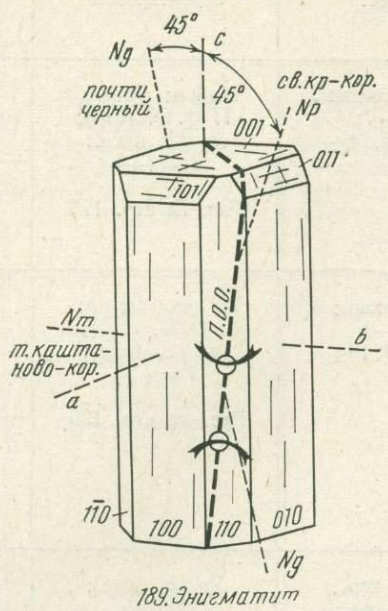
184. Ряд гастингсита
TRÖGER 1952



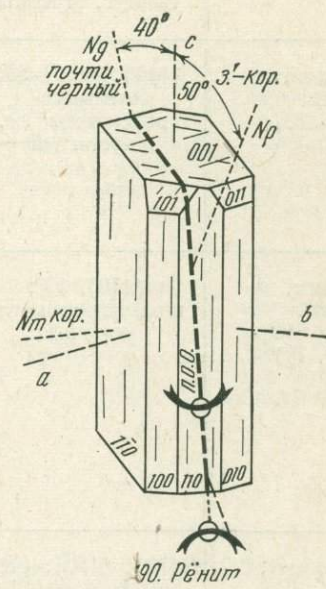
185. Титанистые роговые обманки
TRÖGER 1952



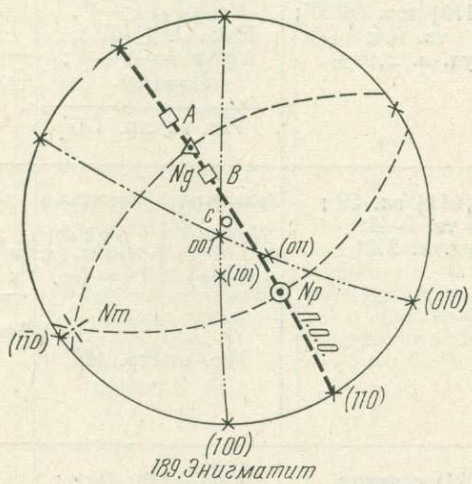
187. Роговые обманки
TRÖGER 1952



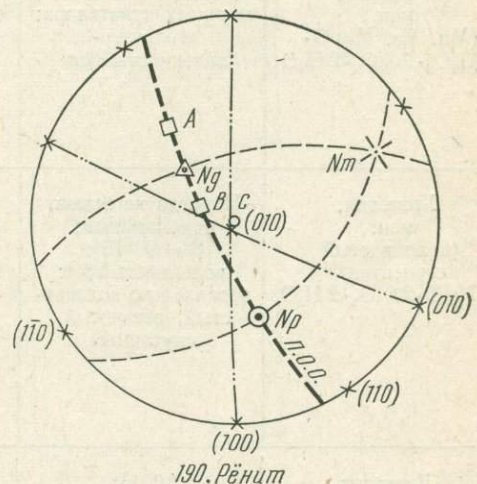
189. Энгматит



190. Ренит



189. Энгматит



190. Ренит

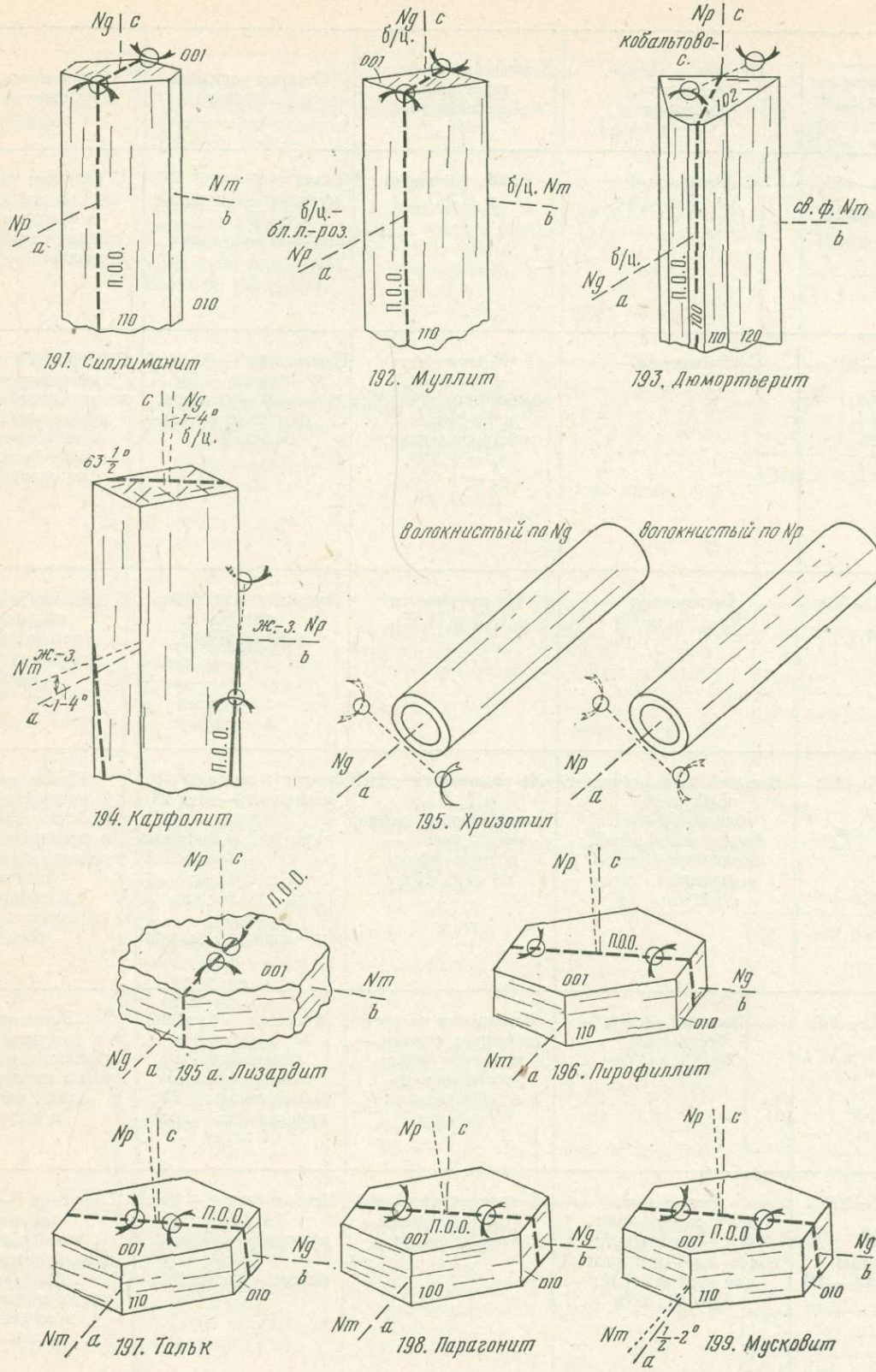
ОПТИЧЕСКИ ДВУОСНЫЕ МИНЕРАЛЫ:

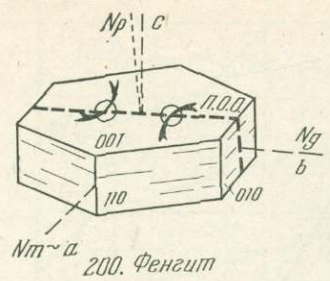
№ п/п	Название, сингония, формула	Наиболее часто встречающиеся простые формы, двойники, габитус, агрегаты	Спайность, твердость, уд. вес.	Оптическая ориентировка	Показатель преломления, двупреломление
191	Силлиманит., ромб., $\text{Al}_2\text{O}_3 \cdot \text{SiO}_2$	{010}, {110} 88°; игольчато- волокнистый c, кустистый	# (010) соверш., тв. 6—7; уд. в. 3,24±	$Np \parallel a$; $Nm \parallel b$, П. О. О. (010); $Ng \parallel c$, бисс.; $l = (+)$	$n_p = 1,657-1,660$ $n_m = 1,658-1,661$ $n_g = 1,677-1,682$ $\oplus, \Delta = 0,020-0,022$
192	Муллит, ромб., $9\text{Al}_2\text{O}_3 \cdot 6\text{SiO}_2 \cdot (\text{H}_2\text{O}, \text{F}_2)$	{110}, 89°; игольчато-призмати- ческий c	# (010) хор.; тв. 6—7; уд. в. 3,19±	$Np \parallel a$, $Nm \parallel b$, П. О. О. (010); $Ng \parallel c$, бисс.; $l = (+)$	Чистый Содерж. Fe-Ti $n_p = 1,639-1,651$ $n_m = 1,641-1,654$ $n_g = 1,653-1,668$ $\oplus, \Delta = 0,014-0,017$
193	Дюмортьерит, ромб., $7(\text{Al}, \text{Fe})_2\text{O}_3 \cdot 6\text{SiO}_2 \cdot \text{B}_2\text{O}_3$	{110}, {120}, {100}, {102}; $\diamond = (210)$, пластиначатый, 60°; псевдогексагональный; игольчато- волокнистый c, ветвистый	# (100) хор., # {210} пл.; (001) — отд.; тв. 7; уд. в. 3,31±	$Np \parallel c$, бисс.; $Nm \parallel b$, П. О. О. (010); $Ng \parallel a$; $l = (-)$	$n_p = 1,659-1,686$ $n_m = 1,684-1,672$ $n_g = 1,686-1,723$ $\ominus, \Delta = 0,027-0,037$
194	Карфолит, мон., $(\text{Mn}, \text{Fe}, \text{Mg})\text{O} \cdot \text{Al}_2\text{O}_3 \cdot 2\text{SiO}_2 \cdot 2\text{H}_2\text{O}$	Не образует идио- морфных кристаллов; игольчато- волокнистый c	# (010) соверш., # {110} хор. 68°30'; тв. 5,5; уд. в. 2,92±	$Np \parallel b$, бисс.; $Nm \wedge a \sim 1^\circ-4^\circ$, П. О. О. \perp (010); $Ng \wedge c = -1^\circ-4^\circ$, $l' = (+)$	$n_p = 1,611-1,617$ $n_m = 1,628-1,632$ $n_g = 1,630-1,639$ $\ominus, \Delta = 0,019-0,022$
195	Хризотил, мон. (волокнистый серпентин), $3\text{MgO} \cdot 2\text{SiO}_2 \cdot 2\text{H}_2\text{O}$	Никогда не бывает идиоморфным; $\beta = 90^\circ 15'$; волокнистый a; параллельно-волокни- стый, ветвистый, спутанный	# {011} пл. 59°; тв. 3—4; уд. в. 2,51±	Хризотил γ Хризотил α $Ng \parallel a$; П. О. О. a; $l = (+)$ $Ng \parallel a$; П. О. О. a; $l = (-)$	Хризотил γ Хризотил α $n_p = 1,532-52$ $1,538-60$ $n_g = 1,545-61$ $1,546-67$ $\Delta = \oplus 0,013-$ $\ominus 0,008-07$ —09
195a	Лизардит, гекс?, $3\text{MgO} \cdot 2\text{SiO}_2 \cdot 2\text{H}_2\text{O}$	{001}; не бывает идиоморфным; $\beta = 90^\circ$; тонковолокнистый	(001) соверш.; тв. 3—4; уд. в. 2,53±	$Np \wedge a = 90^\circ$; бисс.; П. О. О. (001); $Ng \wedge a = 0^\circ$; $l = (+)$	$n_p = 1,538-1,550$ $n_m = 1,546-1,560$ $n_g = 1,546-1,560$ $\ominus, \Delta = 0,008-0,010$

Угол и дисперсия оптических осей	Окраска в шлифе, плеохроизм, абсорбция	Химические свойства, характерные особенности	Сходные минералы и их отличия	Парагенезис, генезис и условия нахождения
$2V_{Ng} = 21\text{--}30^\circ$; $r > v$ сильная	Большой частью бесцветный; редко пятнистый, коричневатый, тогда $Np < Nm < Ng$ слабая	Слабо разлагается в HF; не бывает зернистым или в виде плотных масс; субпараллельного срастания с кварцем; фибролит	Дистен — больший $2V$ и меньшее Δ ; андалузит — меньшее Δ ; цоизит — меньшее Δ ; карфолит — другая ориентировка	С кордиеритом, гранатом, биотитом и дистеном; в мезокатаzonальных глинистых горных породах; редко в эклогитах и в амфиболитах
$2V_{Ng} = 45\text{--}50^\circ$; $r > v$ четкая	Бесцветный; содержащий Fe и Ti: Np — бледно-лилово-розовый; Nm — бесцветный; Ng — бесцветный	Нерастворим в HF	Силлиманит — большие n и Δ	В сильно спекшихся kontaktово-метаморфизованных глинисто-песчанистых горных породах; в ксенолитах филлитов; синтетический, в фарфоре
$2V_{Np} = 20\text{--}40^\circ$; $r \ll v$ сильная, редко $r \gg v$ /?	Np — кобальтово-синий (или зеленый); Nm — светло-фиолетовый, Ng — бесцветный; $Np > Nm > Ng$	В HF быстро не растворяется; иногда радиоактивный; часто переходит в серицит	Турмалин — абсорбция $No \gg Ne$; грандильтерит — П. О. О. $\perp l$; ибекит — меньшее Δ	С минералами Al, B, Zr, Ce, Y; пегматитово-пневматитовый особенно в областях развития гнейсов
$2V_{Np} = 50\text{--}70^\circ$; $r > v$	Np — желто-зеленый до желтого; Nm — желто-зеленый до желтого; Ng — бесцветный; $Np = Nm > Ng$	В HCl не разлагается; при нагревании становится коричневым и мутнеет	Силлиманит — \oplus и меньший $2V$; эпидот — П. О. О. $\perp l$; актинолит — больший $Ng \wedge c$	С кварцем в эпизональных сланцах; пневматолитовый, с кварцем в трещинах
$2V_{Ng} = 10\text{--}90^\circ$ (хризотил γ); $2V_{Np} = 30\text{--}35^\circ$ (хризотил α)	Очень бледный, почти бесцветный: Np — соловьинно-желтый до коричневатого; Ng — зеленовато-желтый до оранжево-желтого; $Np > Ng$ (хриз. γ); $Np \approx Nm \ll Ng$ (хризотил α)	Разлагается в кислотах; псевдоморфозы по оливину; хризотил γ выполняет трещины, хризотил α в виде петель образует псевдоморфозы по оливину	Хлорит — меньшее Δ , в большинстве случаев четко окрашен, часто плеохроирует	Гидротермальный, по оливину; перидотит \rightarrow серпентинит, выполняющий трещины — асбест
$2V$ — очень малый; часто \ominus одноосный; редко	Бесцветный, бледно-зеленоватый	Разлагается в HCl гель SiO_2 ; бастит — ориентированные псевдоморфозы лизардита по ортопироксену	В плотных агрегатах не отличим от хризотила и антигорита; рентген!	Только в массивных серпентинитах; часто в плотных смесях с хризотилом и антигоритом

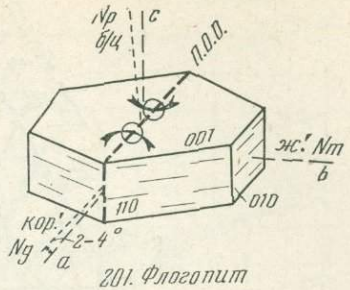
№ п/п	Название, сингония, формула	Наиболее часто встречающиеся простые формы, двойники, габитус, агрегаты	Спайность, твердость, уд. вес.	Оптическая ориентировка	Показатель преломления, двупреломление
196	Пирофиллит, МОН., $\text{Al}_2\text{O}_3 \cdot 4 \text{SiO}_2 \cdot \text{H}_2\text{O}$	Таблитчатый (001); вытянут вдоль b ; $\beta = 100^\circ 45'$; листоватый; ветвистый; плотный; сферолиты	# (001) соверш.; фигура удара: ? (100), $\perp \{110\}$; гибкий, неэластичный; тв. 1,5; уд. в. $2,79 \pm$	$Np \perp (001)$, бисс.; $Nm \parallel a$; $Ng \parallel b$; П. О. О. $\perp (010)$; $l = (+)$ Рис. на стр. 126	$n_p = 1,552$ $n_m = 1,588$ $n_g = 1,600$ $\ominus, \Delta = 0,048$
197	Тальк, МОН., $3 \text{MgO} \cdot 4 \text{SiO}_2 \cdot \text{H}_2\text{O}$	$\beta = 100^\circ 15'$; таблитчатый (001), псевдогексагональный; листоватый, чешуйчатый; плотный	# (001) соверш., фигура удара: ? (100), $\perp \{110\}$; гибкий, неэластичный; тв. 1; уд. в. $2,78 \pm$	$Np \perp (001)$, бисс.; $Nm \parallel a$; $Ng \parallel b$; П. О. О. $\perp (010)$; $l = (+)$ Рис. на стр. 126	$n_p = 1,539 - 1,545$ $n_m = 1,589 - 1,589$ $n_g = 1,589 - 1,590$ $\ominus, \Delta = 0,050 - 0,045$
198	Парагонит, МОН., $\text{Na}_2\text{O} \cdot 3 \text{Al}_2\text{O}_3 \cdot 6 \text{SiO}_2 \cdot 2 \text{H}_2\text{O}$	Не образует идиоморфных кристаллов; $\beta = 95^\circ$; таблитчатый (001); листоватый, чешуйчатый	# (001) соверш.; фигура удара: (010). $\{110\}$; эластичный; тв. 2,5; уд. в. $2,89 \pm$	$Np \approx \perp (001)$, бисс.; $Nm \approx \parallel a$; $Ng \parallel b$; П. О. О. $\perp (010)$?; $l = (+)$ Рис. на стр. 126	$n_p = 1,564 - 1,577$ $n_m = 1,594 - 1,599$ $n_g = 1,600 - 1,605$ $\ominus, \Delta = 0,036 - 0,028$
199	Мусковит, МОН., $\text{K}_2\text{O} \cdot (\text{Al}, \text{Fe})_2\text{O}_3 \cdot 6 \text{SiO}_2 \cdot 2 \text{H}_2\text{O}$	{001}, {110}, {010}, {111}; $\beta = 95^\circ 30'$; псевдогексагональный; $\diamond = [110]$, срастание по (001); чешуйчато-листоватый (в метаморфических горных породах); таблитчатый (001) до столбчатого c (в пегматитах)	# (001) в. соверш.; фигура удара: (010), {110}; в высшей степени эластичный; тв. 2—2,5; уд. в. $2,88 \pm$	$Np \wedge a = +89^\circ 30'$ до 88° , бисс.; $Nm \wedge a = 0^\circ 30'$ до 2° ; $Ng \parallel b$; П. О. О. $\perp (010)$; $l = (+)$ Рис. на стр. 126	Не содер- Богатый жит Fe Fe $n_p = 1,552 - 1,570$ $n_m = 1,582 - 1,619$ $n_g = 1,588 - 1,624$ $\ominus, \Delta = 0,036 - 0,054$
200	Фенгит, МОН., $\text{K}_2\text{O} \cdot \text{MgO} \cdot 2(\text{Al}, \text{Fe})_2\text{O}_3 \cdot 7 \text{SiO}_2 \cdot 2 \text{H}_2\text{O}$	Не образует идиоморфных кристаллов; таблитчатый (001), листовато-чешуйчатый	# (001) в. соверш.; фигура удара: (010), {110}; в высшей степени эластичный; тв. 2—2,5; уд. в. $2,81 \pm$	$Np \approx \perp (001)$, бисс.; $Nm \approx \parallel a$; $Ng \parallel b$; П. О. О. $\perp (010)$; $l = (+)$ Рис. на стр. 127	Не содер- Богатый жит Fe Fe $n_p = 1,547 - 1,571$ $n_m = 1,584 - 1,610$ $n_g = 1,587 - 1,612$ $\ominus, \Delta = 0,040 - 0,041$
201	Флогопит, МОН., $\text{K}_2\text{O} \cdot 6(\text{Mg}, \text{Fe})\text{O} \cdot \text{Al}_2\text{O}_3 \cdot 6 \text{SiO}_2 \cdot 2(\text{F}, \text{H}_2\text{O})$	{001}, {110}, {010}, {hkl}; $\beta = 100^\circ 15'$; псевдогексагональный; $\diamond = [110]$, срастание по (001); таблитчатый (001)	# (001) в. соверш.; фигура удара: (010), {110}; в высшей степени эластичный; тв. 2—2,5; уд. в. $2,83 \pm$	$Np \wedge a = +88 - 86^\circ$ бисс.; $Nm \parallel b$, П. О. О. (010); $Ng \wedge a = +2^\circ$ до 4° ; $l' = (+)$ Рис. на стр. 127	Не содер- Богатый жит Fe Fe $n_p = 1,520 - 1,535 - 1,550$ $n_m = 1,558 - 1,564 - 1,597$ $n_g = 1,558 - 1,565 - 1,597$ $\ominus, \Delta = 0,038 - 0,030 - 0,047$

Угол и дисперсия оптических осей	Окраска в шлифе, плеохроизм, абсорбция	Химические свойства, характерные особенности	Сходные минералы и их отличия	Парагенезис, генезис и условия нахождения
$2V_{Np} = 53\text{--}60^\circ$; $r > v$ слабая	Бесцветный; $Np < Nm \approx Ng$	Слабо растворим в H_2SO_4	Тальк — меньший $2V$; мусковит — меньший $2V$; каолинит — меньшее Δ	С кварцем; гидротермальный, в жилах и линзах в кристаллических сланцах; гидротермальный, замещает полевые шпаты
$2V_{Np} = 0\text{--}30^\circ$; $r > v$	Бесцветный	Нерастворим в кислотах; миннесотаит ($Fe > Mg$) в Fe-рудных месторождениях; $n_p = 1,580$, $n_g = 1,615$, $\Delta = 0,035$	Пирофиллит — больший $2V$; брусит — \oplus ; мусковит — больший $2V$; фенгит (серицит) — больший n	С хлоритом и грамматитом; метасоматический и эпизональный, в доломитах и тальковых сланцах; гидротермальный, в виде псевдоморфоз по оливину и др.
$2V_{Np} = 40\text{--}50^\circ$; $r > v$	Бесцветный; $Np < Nm \approx Ng$	Не разлагается в HCl и H_2SO_4	Мусковит — не содержит Na (микрохимия)!	С дистеном и ставролитом; эпизональный в парагенитовых сланцах; вместе с графитом в мраморах
$2V_{Np} = 35\text{--}50^\circ$; $r > v$ Диаграмма на стр. 128	Большей частью бесцветный; редко: бледно-желтый, бледно-зеленоватый, бледно-красновато-коричневый, тогда $Np < Nm \sim Ng$	Не разлагается в HCl и H_2SO_4 ; плеохроичные дворики редки; пинит — псевдоморфозы по кордиериту	Фенгит — меньший $2V$; лепидолит — дает Li пламя, парагонит — содержит Na ; тальк — меньший $2V$; фуксиг: Nm — желтовато-зеленый, Ng — синевато-зеленый	Преимущественно метаморфический, особенно эпизональный; в пегматитах и лейкократовых кислых плутонах первичный; резорбционный, в глинистых горных породах
$2V_{Np} = 24\text{--}36^\circ$ (редко $\approx 0^\circ$); $r > v$	Большей частью бесцветный; $Np < Nm \sim Ng$	В кислотах не растворяется; серицит — мелкочешуйчатая разновидность в эпизональных сланцах	Мусковит — больший $2V$; парагонит — больший $2V$; тальк — большей частью меньший $2V$; циннвалдит — дает Li пламя	Эпизональный, в глинистых сланцах, филлитах и эпигнейсах; редко автопневматолитовый, например в пегматитах
$2V_{Np} = 0\text{--}20^\circ$; $r < v$ Диаграмма на стр. 128—129	Бесцветный; с Fe окрашенный: Np — бесцветный; $Nm = Ng$ — желтоватый или коричневатый; $Np \ll Nm < Ng$	В концентрированной H_2SO_4 бледнеет; реакция на фтор	Протолитионит — дает Li пламя; мусковит — больший $2V$; биотит — больший n	С другими F-содержащими минералами; пневматолитовый; в кальцитовых и доломитовых мраморах; также в пироксенитах, в лампроитах

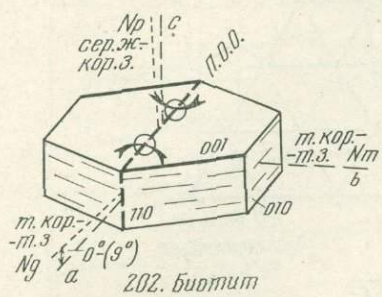




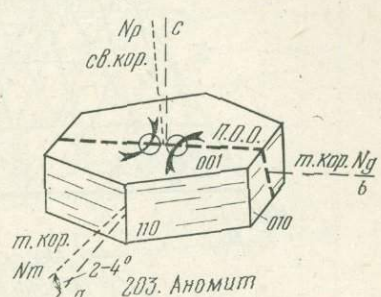
200. Фенгит



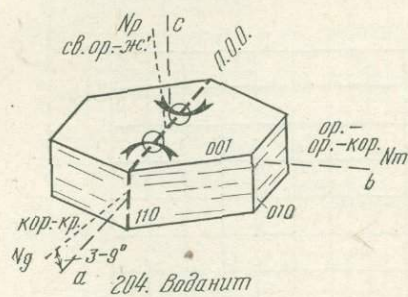
201. Флогопит



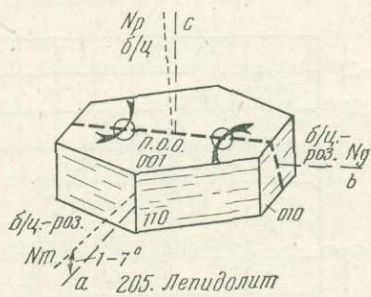
202. Биотит



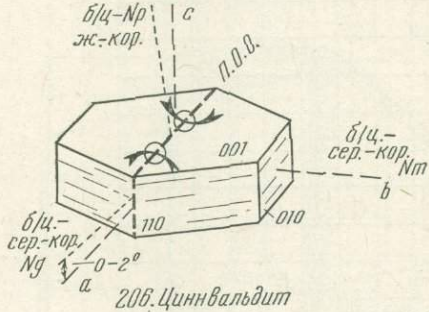
203. Аномит



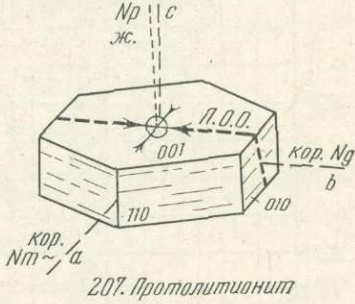
204. Воданит



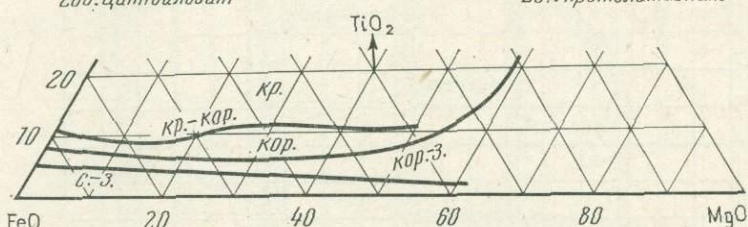
205. Лепидолит



206. Циннвалльдит

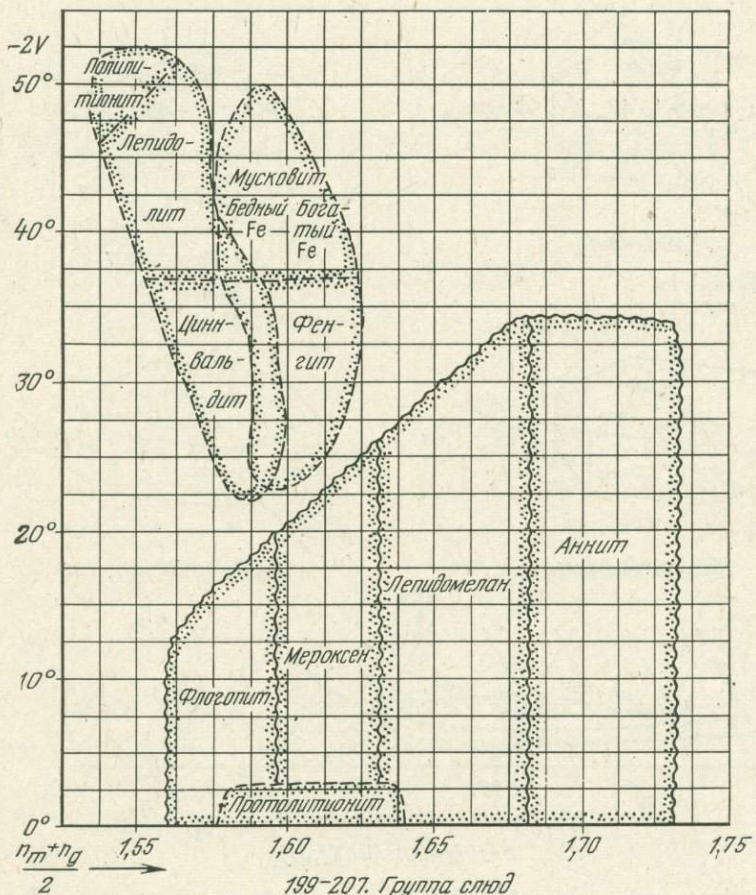
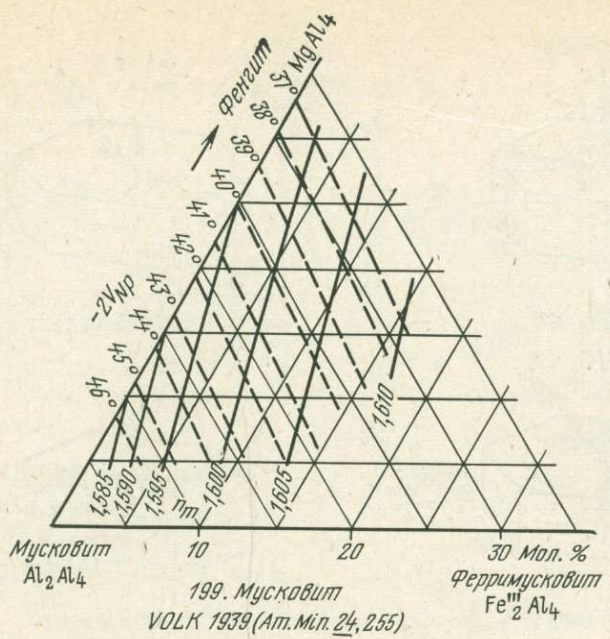


207. Протолитионит

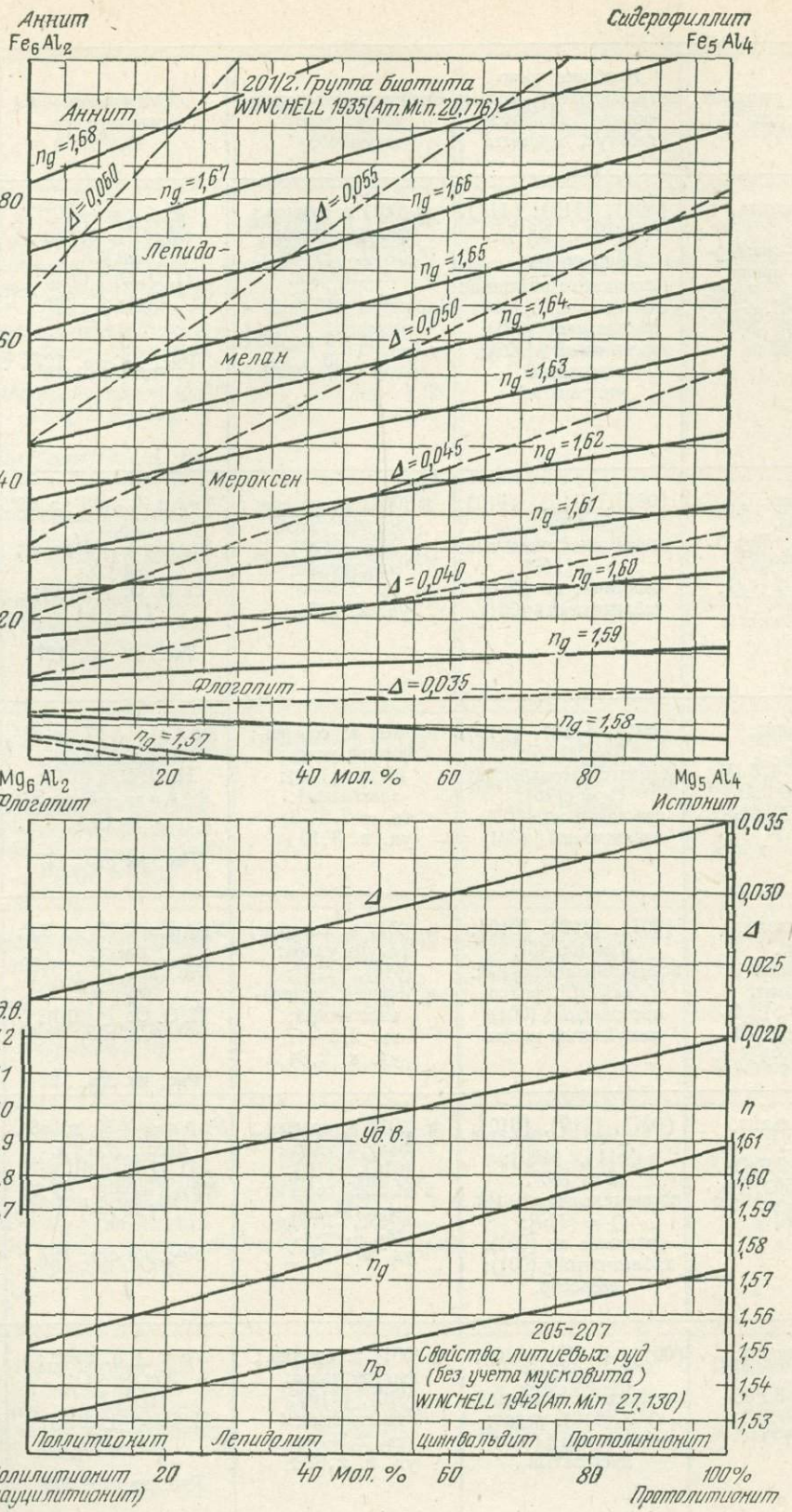


202. Группа биотита: окраска по Ng

HALL 1941 (Am. Min. 26, 30)



(Copyrighted, 1957, by A.N. Winchell in Elements of Optical Mineralogy, pt. II; Reproduced by permission)



№ п/п	Название, сингония, формула	Наиболее часто встречающиеся простые формы, двойники, габитус, агрегаты	Спайность, твердость, уд. вес	Оптическая ориентировка	Показатель преломления, двупреломление
202	Ряд биотита, мон., мероксен—лепидо- мелан—аннит $K_2O \cdot 6(Mg, Fe)O \cdot$ $\cdot (Al, Fe)_2O_3 \cdot 6SiO_2 \cdot$ $\cdot 2H_2O$	{001}, {110}, {111}, {010}, {hkl}; $\beta = 99^\circ 15'$; псевдогексагональный; $\diamond = [110]$; срастание по (001); таблитчатый (001); листоватый, чешуйчатый	# (001) в соверш.; фигура удара: (010), {110}; эластичный; тв. 2,5—3; уд. в. { 2,70 мероксен 3,30 аннит}	$Np \wedge a = +90^\circ$ (до 81°), бисс.; $Nm \parallel b$, П. О. О. (010); $Ng \wedge a = +0^\circ$ (до 9°); $l = (+)$ Рис. на стр. 127	Меро- ксен Лепидо- мелан Аннит $n_p = 1,571—1,598—1,616$ $n_m = 1,609—1,653—1,696$ $n_g = 1,610—1,654—1,697$ $\ominus, \Delta = 0,039—0,056—0,081$
203	Аномит, мон., $K_2O \cdot 4(Fe, Mg)O \cdot$ $\cdot 2(Al, Fe)_2O_3 \cdot$ $\cdot 6SiO_2 \cdot 2H_2O$	{001}, {110}, {010}; $\beta = 99^\circ 15'$; псевдогексагональный; $\diamond = [110]$; срастание по (001); таблитчатый (001)	# (001) в. соверш.; фигура удара: (010), {110}; эластичный; тв. 2,5—3; уд. в. 2,96±	$Np \wedge a = +88$ до 86° , бисс.; $Nm \wedge a = +2$ до 4° ; $Ng \parallel b$, П. О. О. \perp (010); $l = (+)$ Рис. на стр. 127	$n_p = 1,558—1,604$ $n_m = 1,594—1,664$ $n_g = 1,594—1,664$ $\ominus, \Delta = 0,036—0,060$
204	Воданит, мон., $(K, Na)_2O \cdot 4,5(Mg,$ $Fe)O \cdot 1,5TiO_2 \cdot$ $\cdot (Al, Fe)_2O_3 \cdot 6SiO_2 \cdot$ $\cdot H_2O \cdot F_2$	{001}, {110}, {010}; $\beta = 99^\circ 15'$; псевдогексагональный; $\diamond = [110]$; срастание по (001); таблитчатый (001)	# (001) в. соверш.; фигура удара: (010), {110}; эластичный; тв. 2,5—3; уд. в. 3,10±	$Np \wedge a = +87$ до 81° , бисс.; $Nm \parallel b$, П. О. О. (010); $Ng \wedge a = +3$ до 9° ; $l' = (+)$ Рис. на стр. 127	$n_p = 1,599—1,622$ $n_m = 1,639—1,671$ $n_g = 1,643—1,672$ $\ominus, \Delta = 0,044—0,050$
205	Ряд лепидолита, мон., полилитионит- ледиолит, $K_2O \cdot 1,5—2Li_2O \cdot$ $\cdot 2,5—1Al_2O_3 \cdot 6$ $\cdot 8SiO_2 \cdot 4F$	{001}, {110}, {010}; $\beta = 100^\circ 45'$; псевдогексагональный; $\diamond = [110]$, редко; листоватый (001); чешуйчатые массы	# (001) в. соверш.; фигура удара: (010), {110}; в высшей степени эластичный; тв. 2,5—4; уд. в. 2,84	$Np \wedge a = +89$ до 83° , бисс.; $Nm \wedge a = 1^\circ$ до 7° ; $Ng \parallel b$, П. О. О. \perp (010); $l' = (+)$ Рис. на стр. 127	$n_p = 1,533—1,537$ $n_m = 1,553—1,563$ $n_g = 1,555—1,566$ $\ominus, \Delta = 0,022—0,029$
206	Циннвальдит, мон., $K_2O \cdot Li_2O \cdot 2FeO \cdot$ $\cdot 2Al_2O_3 \cdot 6SiO_2 \cdot Fe_2 \cdot$ $\cdot H_2O$	{001}, {110}, {010}, $\bar{1}11$, {100}; $\beta = 100^\circ$; псевдогексагональный; $\diamond = [110]$; срастание по (001); таблитчатый (001); веерообр.	# (001) в. соверш.; фигура удара: (010), {110}; в высшей степени эластичный; тв. 2,5—4; уд. в. 2,97±	$Np \wedge a = +90$ до 88° , бисс.; $Nm \parallel b$, П. О. О. (010); $Ng \wedge a = +0^\circ$ до 2° ; $l = (+)$ Рис. на стр. 127	$n_p = 1,541—1,557$ $n_m = 1,571—1,585$ $n_g = 1,573—1,588$ $\ominus, \Delta = 0,032—0,031$
207	Протолитионит, мон., $K_2O \cdot Li_2O \cdot 3FeO \cdot$ $\cdot 2Al_2O_3 \cdot 6SiO_2 \cdot$ $\cdot F_2 \cdot H_2O$	{001}, {110}, {010}; $\beta = 99^\circ 45'$; псевдогексагональный; $\diamond = [110]$, редко; таблитчатый (001), листоватый	# (001) в. соверш.; фигура удара: (010), {110}; эластичный; тв. 2,5—4; уд. в. 2,98±	$Np \approx \perp a$, бисс.; $Nm \wedge a \sim O$; $Ng \parallel b$, П. О. О. \perp (010); $l = (+)$ Рис. на стр. 127	$n_p = 1,548—1,605$ $n_m = 1,583—1,645$ $n_g = 1,583—1,645$ $\ominus, \Delta = 0,035—0,040$

Угол и дисперсия оптических осей	Окраска в шлифе, плеохроизм, абсорбция	Химические свойства, характерные особенности	Сходные минералы и их отличия	Парагенезис, генезис и условия нахождения
$2V_{Np} = 0-35^\circ$; $r \approx v$ (богатый Mg) до $r < v$ (богатый Fe) Диаграмма на стр. 128—129	Np — серо-желтый, коричнево-зеленый, оранжево-коричневый; Nm — темно-коричневый, темно-зеленый, темно-красно-коричневый; Ng — темно-коричневый, темно-зеленый, темно-красно-коричневый; $Np \ll Nm \approx Ng$ Диаграмма на стр. 127	Бледнеет в концентрированной H_2SO_4 ; часто плеохроичные дворики; в эфузивных породах часто с резорционными каемками; гидробиотит похож, но у него $Ng \sim 1,58$	Флогопит — светлее и меньший n ; вермикулит — меньше n и Δ ; хлорит — значительно меньше Δ ; протолитионит — дает Li пламя	Магматический, особенно в кислых лейкократовых горных породах; пегматитовый; kontaktово-метаморфический и мезозональный метаморфический
$2V_{Np} = \begin{cases} 0-10^\circ \text{ (богатый Fe)}, \\ 10-25^\circ \text{ (богатый Mg)}; \end{cases}$ $r < v$, редко $r > v$	Не бывает зеленым, только иногда: Np — светло-коричневый; $Nm \sim Ng$ — темно-коричневый — красно-коричневый; $Np \ll Nm \approx Ng$	Бледнеет в кипящей HCl; часто плеохроичные дворики	Биотит — П. П. О. (010)	Часто вместе с биотитом; магматический, в щелочных горных породах (от трахитов до альбигитов), а также в диоритах и андезитах
$2V_{Np} = 5-35^\circ$; $r \ll v$	Np — светло-оранжевый, желтоватый; Nm — оранжевый, оранжево-коричневатый; Ng — коричнево-красный, темно-коричнево-красный; $Np \ll Nm < Ng$	Бледнеет в H_2SO_4	Аннат — большее Δ ; флогопит — меньший n ; протолитионит — дает Li пламя	Магматический, в лампроитах и шонкинитах; kontaktово-метасоматический, со шпинелью в оливиновых роговиках
$2V_{Np} = \begin{cases} 20-40^\circ \text{ (лепидолит)}, \\ 40-50^\circ \text{ (полилитионит)} \end{cases}$ Диаграмма на стр. 128—129	Бесцветный; лепидолит также: Np — почти бесцветный; $Nm = Ng$ — розовый, бледно-фиолетовый; $Np < Nm \ll Ng$	Почти нерастворим в кислотах; с плеохроичными двориками	Бедный Fe мусковит — не дает Li пламени и имеет меньший n	Первичный, в гранитных пегматитах; пневматолитовый, с топазом и рубелитом в гранитных жилах; полилитионит в элеолитовых сиенитах
$2V_{Np} = 10-37^\circ$; $r > v$ слабая Диаграмма на стр. 128—129	Бесцветный до окрашенного: Np — почти бесцветный, желто-коричневый; $Nm = Ng$ — коричневато-серый — темно-коричневый; $Np < Nm = Ng$	В кислотах быстро растворяется; с плеохроичными двориками; воронья слюдка — $Nm = Ng$ — сине-серый	Бедный Fe фенгит — не дает Li пламя	Первичный, в оловоносных гранитах; пневматолитовый, с топазом, касситеритом и вольфрамитом в грейзенах
$2V_{Np} \approx 0^\circ$; $r > v$ слабая Диаграмма на стр. 128—129	Редко бесцветный; большей частью: Np — желтоватый; $Nm = Ng$ — коричневатый; $Np \ll Nm \approx Ng$	В кислотах растворяется; с плеохроичными двориками	Флогопит, биотит и лепидомелан — П. О. О. (010); аномит — не дает Li пламя	Первичный, в гранитных пегматитах; пневматолитовый, в турмалиновых гранитах

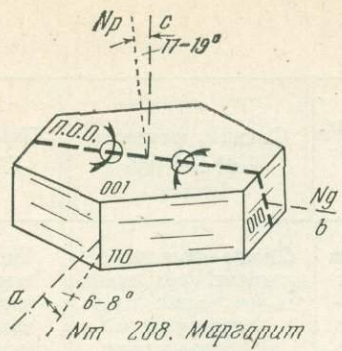
ОПТИЧЕСКИ ДВУОСНЫЕ МИНЕРАЛЫ

№ п/п	Название, сингония, формула	Наиболее часто встречающиеся про- стые формы, двойники, габитус, агрегаты	Спайность, твердость, уд. вес	Оптическая ориентировка	Показатель прелом- ления, двупрелом- ление
208	Маргарит, мон., $\text{CaO} \cdot 2\text{Al}_2\text{O}_3 \cdot 2\text{SiO}_2 \cdot \text{H}_2\text{O}$	{001}, {110}, {010}; $\beta=100^\circ 45'$; псевдо- гекс.; $\diamond=[110]$ срастание по {001}; тонкотаб- литчатый (001), листоватый	#(001) в. соверш.; лучи от удара (010); довольно хрупкий; тв. 3,5—4,5; уд. в. 3,02±	$Np \wedge a = +84^\circ$ до 82° , бисс; $Nm \wedge a = -6$ до -8° , П.О.О. \perp (010); $Ng \parallel b$; $l' = (+)$ Рис. на стр. 136	$n_p = 1,630—1,638$ $n_m = 1,643—1,648$ $n_g = 1,644—1,650$ $\ominus, \Delta = 0,014—0,012$ Диаграмма на стр. 139
209	Ряд клинтонита, мон., клинтонит—ксанто- филит, $\text{CaO} \cdot \text{MgO} \cdot \text{Al}_2\text{O}_3 \cdot 2\text{SiO}_2 \cdot \text{H}_2\text{O}$	{001}, {110}, {010}; $\beta=100^\circ$; псевдогекс.; $\diamond=[110]$ полисинте- тические, срастания по {001}; таблитча- тый (001); псевдо- ромбоэдрический	#(001) соверш.; лучи от удара (100); очень хрупкий; тв. 3,5—6; уд. в. 3,10±	Клинтонит $Np \wedge a \approx 90^\circ$, бисс.; $Nm \wedge a \approx 0^\circ$ $Ng \parallel b$, П.О.О. \perp (010); $l' = (+)$. Ксантофиллит $Np \wedge a = 89^\circ 30'$ бисс.; $Nm \parallel b$, П.О.О. (010); $Ng \wedge a = 0^\circ 30'$ Рис. на стр. 136	$n_p = 1,646—1,649$ $n_m = 1,657—1,660$ $n_g = 1,658—1,661$ $\ominus, \Delta = 0,012—0,012$
210	Хлоритоид, мон. (трикл.?), $\text{FeO} \cdot \text{Al}_2\text{O}_3 \cdot \text{SiO}_2 \cdot \text{H}_2\text{O}$	{001}, {110}, {010}, {hkl}; $\beta > 90^\circ$; псевдогекс.; $\diamond=[110]$, полисинте- тические срастания по {001}; таблитчатый (001), вытянут c; линзы, скопления	#(001) соверш., #(110) пл.; отд. (010); хрупкий; тв. 6,5—7; уд. в. 3,51±	$Np \wedge a = -3^\circ$ до -30° ($r > v$); $Nm \parallel b$, П.О.О. (010), также \perp (010); $Ng \wedge a = +$ $+87^\circ$ до 60° , бисс.; $l' = (\pm)$ Рис. на стр. 136	$n_p = 1,714—1,722—1,731$ $n_m = 1,717—1,725—1,734$ $n_g = 1,730—1,728—1,740$ $\oplus, \Delta = 0,016—0,006—0,009$
211	Ряд антигорита мон., антигорит—джен- кинсит, $3(\text{Mg}, \text{Fe})_2\text{SiO}_4 \cdot 2\text{H}_2\text{O}$	{001}, {110}, {010}, {hk0}, {h01}; $\beta = 91^\circ 15'$; псевдогекс.; $\diamond=(001)$; таблитчатый (001); чешуйчатый; плотные массы	#(001) в. соверш.; лучи от удара (010); гибкий не эластич- ный; тв. 3—4; уд. в. 2,56±	$Np \wedge a \approx 90^\circ$ бисс.; $Nm \parallel b$, П.О.О. (010); $Ng \wedge a = 0^\circ$; $l' = (+)$ Рис. на стр. 136	Антиг. Джэнк. $n_p = 1,546—1,568—1,591$ $n_m = 1,551—1,571—1,600$ $n_g = 1,552—1,572—1,601$ $\ominus, \Delta = 0,006—0,004—0,010$ Ср. с диаграммой на стр. 140
212	Ряд пеннина, мон., пеннин—клинохлор- шериданит, $3—2 \text{MgO} \cdot 0—1 \text{Al}_2\text{O}_3 \cdot 2\text{SiO}_2 \cdot 2\text{H}_2\text{O}$	{001}, {101}, {010}, {111}, {112}; $\beta = 97^\circ$; псевдогекса- гональный; $\diamond=(001)$, $\diamond=[110]$; срастание по {001}; таблитчатый (001), чешуйчатый; плотные массы	#(001) в. соверш.; лучи от удара (010); гибкий, не эластич- ный; тв. 2—2,5; уд. в. $\left\{ \begin{array}{l} 2,66 \text{ пеннин} \\ 2,72 \text{ шерида-} \\ \text{nит} \end{array} \right.$	$Np \wedge a = 0^\circ$ до $2^\circ 30'$; $Nm \parallel b$, П.О.О. (010); $Ng \wedge a = 90^\circ—87^\circ 30'$, бисс.; $l' = (-)$ Пенн. \ominus $Np \wedge a \approx 90^\circ$, бисс.; $Ng \wedge a = 0^\circ$; $l' = (+)$ Рис. на стр. 136	Пеннин Шериданит $n_p = 1,569—1,582$ $n_m = 1,571—1,585$ $n_g = 1,571—1,596$ $\Delta = \ominus 0,002—\oplus 0,014$ Ср. с диаграммой на стр. 140
213	Ряд делессита, мон., делессит—диабантит, $6(\text{Mg}, \text{Fe})_2 \cdot 0,75\text{Al}_2\text{O}_3 \cdot 3,5\text{SiO}_2 \cdot 6,5\text{H}_2\text{O}$	{001}, {110}, {010}; $\beta = 97^\circ$; псевдогекса- гональный; $\diamond=(001)$, $\diamond=[110]$; срастание по {001}; сферолиты, скорлупки, чешуйки	#(001) соверш.; тв. 2; уд. в. $\left\{ \begin{array}{l} 2,78 \text{ дел.} \\ 3,00 \text{ диаб.} \end{array} \right.$	$Np \wedge a \approx 90^\circ$, бисс.; $Nm \parallel b$, П.О.О. (010); $Ng \wedge a = 0^\circ$; $l' = (+)$. Реже $Np \wedge a = 0^\circ$; $Ng \wedge a \approx 90^\circ$, бисс.; $l' = (-)$ Рис. на стр. 136	Делесс. Диаб. $n_p = 1,598—1,595—1,624$ $n_m = 1,598—1,599—1,629$ $n_g = 1,602—1,599—1,629$ $\Delta = \oplus 0,004—$ $-\ominus 0,004—0,005$ Ср. с диаграммой на стр. 140

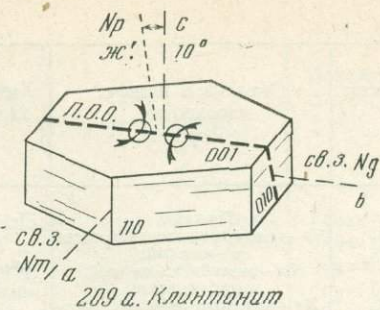
Угол и дисперсия оптических осей	Окраска в шлифе, плеохроизм, абсорбция	Химические свойства, характерные особенности	Сходные минералы и их отличия	Парагенезис, генезис и условия нахождения
$2V_{Np}=45^\circ$ (от 40 до 67°); $r < v$ (?) также $r > v$)	Бесцветный	Неполностью разлагается H_2SO_4	Мусковит—меньший n и большее Δ ; диаспор—иная ориентировка; хлоритоид— бесцветный; тальк—меньший n и большее Δ	В метаморфических породах с корундом и диаспором; за счет коруна образуется также в хлоритовых и слюдистых сланцах
$2V_{Np}=18—35^\circ$; $r < v$ слабая	Np —бесцветный, светло-оранжево-желтый, красновато-коричневый; Nm —светло-коричнево-зеленый, светло-зеленый, зеленый; Ng —светло-коричнево-желтый, светло-зеленый, зеленый; $Np < Nm \approx Ng$	Нерастворим в кислотах	Биотит—большее Δ , хлорит—большей частью меньшее Δ ; хлоритоид— \oplus и больший $2V$; стильпномелан—большее Δ	Эпизональный, с тальком в хлоритовых сланцах; kontaktово-метаморфический, в мраморах с монтичеллитом и серпентином
$2V_{Ng}=36—63^\circ$; $r > v$ сильная	Np —светло-желто-зеленый, оливково-зеленый; сине-зеленый; Nm —серо-синий; Ng —бесцветный; желто-зеленый, светло-синий $Np < Nm > Ng$	Растворяется в H_2SO_4 ; после прокаливания становится магнитным; сильная дисперсия осей индикаторы; зонарный и обладает структурой песочных часов	Хлорит—меньший n ; клиントонит— \ominus и меньший $2V$; биотит—большее Δ ; стильпномелан—большее Δ	Эпизональный, с рутилом и хлоритом в филлитах, хлоритовых и слюдистых сланцах; гидротермальный, в лавах?
$2V_{Np}=27—60^\circ$; $r > v$	Антигорит почти бесцветный; дженкинсит; Np —зеленовато-желтый, $Nm=Ng$ —зеленоватый; $Np \approx Nm \approx Ng$	Разлагается в кислотах; бастит—моно-кристаллическая псевдоморфоза по энстатиту	Слюды—большее Δ ; хризотил—волокнистый; прохлорит—сильнее плеохроирует; члены ряда пеннина большей частью \oplus	Эпизональный или гидротермальный, за счет Mg-силикатов (серпентин); метасоматический, в доломитах
$2V_{Np}=0—5^\circ$ (пеннин); $r > v$; $2V_{Ng}$ от 0 до 70° (клинохлор—шериданит); $r < v$	Np —бесцветный; синевато-зеленый; Nm —светло-зелено-желтый; Ng —светло-желто-зеленый, желтый; $Np \approx Nm (\approx (>)) Ng$	Полностью разлагается в H_2SO_4 ; плеохроичные дворики четкие и часто встречаются; кеммерерит— Cr пеннин; коучбент— Cr —клинохлор	Слюды—большее Δ ; антигорит— \ominus ; прохлорит—сильнее плеохроирует; делесцит—больший n плеохроирует в фиолетово-розовых тонах	Эпизональный, с тальком, актинолитом, магнезитом в хлоритовых сланцах и др.; в альпийских жилах с гранатом, везувианом или альбитом, кварцем
$2V_{Np}$ мал. до 0° делес- сит	Np —почти бесцветный (желтоватый или зеленоватый); Nm —зеленый, оливково-зеленый; Ng —зеленый, оливково-зеленый; $Np < Nm \approx Ng$ (редко $Np \approx Nm > Ng$)	В HCl разлагается до кремневого скелета; заметно плеохроирует, более четко с увеличением содержания Fe	Слюды—большее Δ ; антигорит, ряд пеннина— \ominus ; слабо плеохроирует; прохлорит—другие соотношения $n:\Delta$	Гидротермальный, в мандельштейновых мелфирах и диабазах; диабантит также эпизонально-водный за счет стекла в диабазах

№ п/п	Название сингония, формула	Наиболее часто встречающиеся про- стые формы, двой- ники, габитус, агрегаты	Спайность, твердость, уд. вес	Оптическая ориентировка	Показатель прелом- ления, двупрелом- ление
214	Ряд прохлорита, мон., грохауит—прохло- рит—тиурингит $5(\text{Mg}, \text{Fe})\text{O} \cdot \text{Al}_2\text{O}_3 \cdot 3,5\text{SiO}_2 \cdot 7,5\text{H}_2\text{O}$	{001}, {110}, {010}, {hkl}, {h01}; $\beta=96^\circ 45' - 97^\circ 15'$; псевдогексагональ- ный; $\phi=(001)$, $\diamond=[110]$; срастание по (001); чешуйча- тый; плотный; черве- образные нити, ро- зетки	#(001) в. соверш.; лучи от удара (010); гибкий, не эластичный; тв. 1—2; уд. в. { 1,272 грох. 3,20 тюрин.	$Np \wedge a=0-2^\circ$ (грох.); $Nm \parallel b, \text{П.О.О.} \parallel (010);$ $Ng \wedge \bar{a}=90-88^\circ$, бисс.; $l'=(-)$; $Np \wedge a=90-88^\circ$, бисс.; $Nm \parallel b, \text{П.О.О.}$ $\parallel (010); Ng \wedge a=$ $=0-2^\circ$ (тиюр.); $l'=(+)$. Рис. на стр. 137	Грохауит Тиурингит $n_p=1,595-1,669$ $n_m=1,596-1,682$ $n_g=1,601-1,683$ $\Delta=\oplus 0,006-\ominus 0,014$
215	Ряд вермикулита, мон., вермикулит—джеф- феризит, $11(\text{Mg}, \text{Fe})\text{O} \cdot 3(\text{Al}, \text{Fe})_2\text{O}_3 \cdot 11\text{SiO}_2 \cdot 20\text{H}_2\text{O}$	{001}, {110}, {010}; $\beta=93^\circ 45'$; псевдо- гексагональный; таб- литчатый по (001); мелкочешуйчатый, спутанные, червеоб- разные нити	#(001) соверш.; тв. 1,5—2; уд. в. $2,30 \pm$	$Np \wedge a=+88$ до 89° , бисс.; $Nm \parallel b, \text{П.О.О.} \parallel (010);$ $Ng \wedge a=+1^\circ$ до 2° ; $l'=(+)$ Рис. на стр. 137	Верм. Джейф. $n_p=1525-1540-1561$ $n_m=1,545-1,560-1,581$ $n_g=1,545-1,560-1,581$ $\Delta=\ominus 0,020-0,020-0,020$
216	Иддингсит, ? мон., $6,5(\text{Mg}, \text{Fe})\text{O} \cdot 5,5(\text{Fe}'', \text{Al})_2\text{O}_3 \cdot 16\text{SiO}_2 \cdot 22\text{H}_2\text{O}$	{001}; $\beta=?$ листовато-волокни- стые агрегаты, часто псевдоморфозы по оливину	#(001) в. соверш., #(010), (100), (101) хор. (?); тв. 2,5—3,5; уд. в. $2,80 \pm$	$Np \wedge a \approx 90^\circ$, бисс.; $Nm \parallel b, \text{П.О.О.} \parallel (010);$ $Ng \wedge a=0^\circ$; $l=(\pm)$ Рис. на стр. 137	$n_p=1,608-1,723-1,792$ $n_m=1,650-1,745-1,846$ $n_g=1,655-1,765-1,864$ $\Delta=0,047-0,042-0,072$
217	Стильпномелан, мон., $\text{K}_2\text{O} \cdot 8(\text{Fe}, \text{Mg})\text{O} \cdot 3(\text{Fe}, \text{Al})_2\text{O}_3 \cdot 16\text{SiO}_2 \cdot 12\text{H}_2\text{O}$	{001}—{110}, {010}; $\beta=97^\circ$; псевдогекса- гональный; таблит- чатый, листоватый; плотный	#(001) соверш., #(010) ясп.; хрупкий; тв. 3—4; уд. в. { 2,59—Fe'' 2,96—Fe'''	$Np \wedge a=90^\circ$, бисс.; $Nm \parallel b, \text{П.О.О.} \parallel (010);$ $Ng \wedge a=0^\circ$; $l=(+)$ Рис. на стр. 137	Ферро Ферри $n_p=1,546-1,625$ $n_m=1,576-1,735$ $n_g=1,576-1,735$ $\Delta=0,030-0,110$ Диаграмма на стр. 141
218	Глауконит, мон., $(\text{K}, \text{Na})_2\text{O} \cdot 1-2(\text{Fe}, \text{Mg})\text{O} \cdot 2-1(\text{Al}, \text{Fe})_2\text{O}_3 \cdot 6-8\text{SiO}_2 \cdot 2\text{H}_2\text{O}$	{001}; $\beta=95^\circ$; не бывает идиоморф- ным; чешуйчатый, зернистый; шаровид- ные лучистые агрегаты	#(001) соверш.; тв. 2; уд. в. $2,69 \pm$	$Np \wedge \bar{a}=87^\circ$, бисс.; $Nm \parallel b, \text{П.О.О.} \parallel (010);$ $Ng \wedge a=+3^\circ$; $l=(+)$ Рис. на стр. 137	$n_p=1,592-1,606-1,612$ $n_m=1,613-1,633-1,643$ $n_g=1,614-1,634-1,644$ $\Delta=0,022-0,028-0,032$
219	Шамозит, мон., $3(\text{Fe}, \text{Mg})\text{O} \cdot \text{Al}_2\text{O}_3 \cdot 2\text{SiO}_2 \cdot n\text{H}_2\text{O}$	{001}, $\beta=90^\circ (104^\circ)$; не бывает идиоморф- ным; мелкочешуйча- тый; плотный; солитовый	#(001)?; тв. 2,5—3; уд. в. $3,19 \pm$	$Np \wedge a \approx 90^\circ$, бисс.; $Nm \wedge a \approx 0^\circ, \text{П.О.О.}$ $\perp (010)?; Ng \parallel b;$ $l=(+)$ Рис. на стр. 137	$n_p=1,627-1,654$ $n_m=1,632-1,660$ $n_g=1,632-1,660$ $\Delta=0,005-0,006$

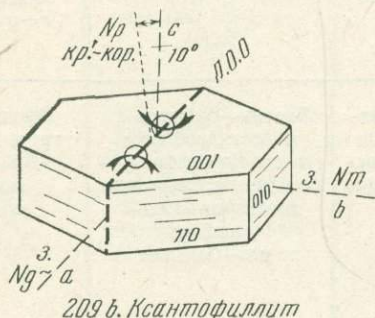
Угол и дисперсия оптических осей	Окраска в шлифе, плеохроизм, абсорбция	Химические свойства, характерные особенности	Сходные минералы и их отличия	Парагенезис, генезис и условия нахождения
$2V_{Ng}$ $\left\{ \begin{array}{l} 30^\circ \text{ гр-} \\ \text{хаунт} \\ \text{до } 0^\circ \text{ про-} \\ \text{хлорит} \end{array} \right\} r < v$ $2V_{Np}$ $\left\{ \begin{array}{l} 0^\circ \text{—Fe-} \\ \text{про-} \\ \text{хлорит} \\ \text{до } 30^\circ \text{—} \\ \text{тиорин-} \\ \text{гит} \end{array} \right\} r > v$	Грохаунт: Np —зеленовато-желтый, желто-зеленый; Nm —зеленовато-желтый, желто-зеленый; Ng —оливково-зеленый, серо-зеленый; $Np \approx Nm \approx Ng$; Тиорингит: Np —почти бесцветный; Nm —темно-зеленый; Ng —темно-зеленый; $Np \ll Nm \approx Ng$	Прохлорит растворим в H_2SO_4 ; тиорингит образует студневидный осадок с HCl ; с увеличением содержания Fe усиливается плеохроизм; часто встречаются ясные плеохроичные дворики	Слюды—большее Δ ; антигорит, ряд леннина—оч. слабо плеохроируют; дедесцит—другие соотношения n : Δ	Гидротермальный или диафторитческий, по гранату, биотиту; эпизональный, по авгиту и роговой обманке в хлоритовых сланцах и амфиболитах; тиорингит эпизональный в осадочных Fe-рудных месторождениях
$2V_{Np}=0-8^\circ$ $r \approx v$	Np —почти бесцветный; Nm —бледно-зеленовато-желтый, бледно-оливково-зеленый; Ng —бледно-зелено-желтый, бледно-оливково-зеленый; $Np < Nm \approx Ng$	При нагревании разбухает вследствие расслоения; при выветривании переходит в хлорит	Биотит—большие n и Δ ; гидробиотит (желто-коричневый)—большее n ; хлорит и антигорит—меньший n ; тальк—большее Δ	Эпизональный, по биотиту, вместе с хлоритом в серпентинитах; гидротермальный, за счет серпентина
$2V_{Np}=20-90^\circ$ $r < v$ сильная	Np —оранжево-желтый; светло-зеленовато-желтый; Nm —оранжево-коричневый, темно-желто-зеленый; Ng —оранжево-коричневый, темно-желто-зеленый; $Np < Nm \approx Ng$	В HCl растворяется; в псевдоморфозах по оливину: Nm иддингита $\parallel Ng$ оливина, Np и Ng иддингита соответственно \perp и \parallel к Np и Nm оливина	Биотит—другая абсорбция; хлорит—меньшее Δ	Автогидротермальный, по богатым железом оливинам в оливиновых базальтах до оливиновых андезитов; не встречается в глубинных и метаморфических породах
$2V_{Np} \approx 0^\circ$	Np —светло-желтый, золотисто-желтый; Nm —темно-зеленый, темно-оливково-коричневый; Ng —темно-зеленый, темно-оливково-коричневый; $Np \ll Nm \approx Ng$	Легко растворяется в кислотах: парасеттенсит (богатый Mn) $Nm = Ng$ —зеленовато-желтый	Биотит—чешуйчатое распределение интерференционной окраски; хлоритоид—меньший n ; клинтонит—меньшее Δ	Главным образом в трещинах; с магнетитом и кварцем; в тиорингитовых железных рудах; с эпидотом и гранатом в хлоритовых сланцах и т. д.
$2V_{Np}=10-24^\circ$ $r > v$	Np —темно-сине-зеленый, светло-желто-зеленый—зеленовато-желтый; Nm —коричневато-желтый, темно-оливково-зелен., сине-зеленый; Ng —коричнево-желтый, темно-оливково-зеленый, сине-зеленый; $Np < Nm \approx Ng$, редко $Np > Nm \approx Ng$	Разлагается в HCl : селадонит—похожий, гидротермальный, $\oplus?$	Хлорит—меньшее Δ ; тиорингит—больший n ; шамозит—меньший n	Глауконит только морской в прибрежных осадочных образованиях; селадонит—гидротермальные псевдоморфозы по оливину (и гиперстену); в миндалинах базальтов
$2V_{Np}=0^\circ$ до оч. маленьского	Np —желтоватый, бесцветный; Nm —бледно-зеленый; Ng —бледно-зеленый; $Np < Nm \approx Ng$	С HCl дает студневидный осадок; аномальная лавандово-синяя интерференционная окраска	Тиорингит—большие n и Δ ; глауконит—большее Δ ; вермикулит—меньший n	С сидеритом (иногда тиорингитом, магнетитом); диагенетический, в осадочных железорудн. месторождениях (шамозитовые месторождения, минетте)



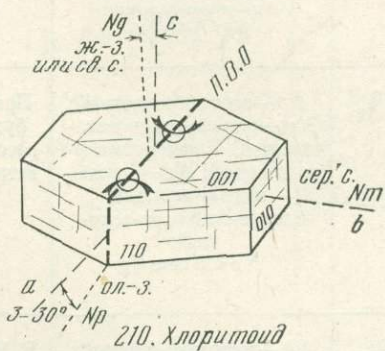
№ 208. Маргарит



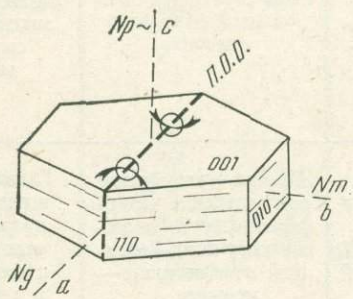
209 a. Клинтонит



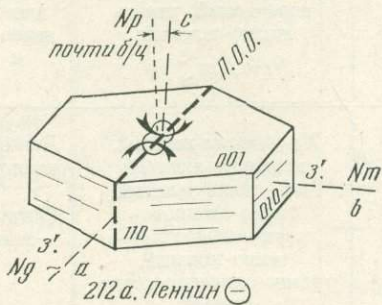
209 б. Ксантофиллит



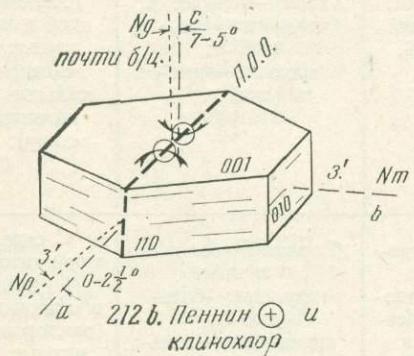
210. Хлоритоид



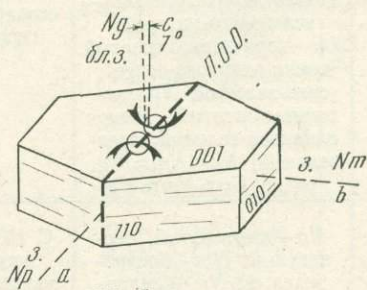
211. Антигорит



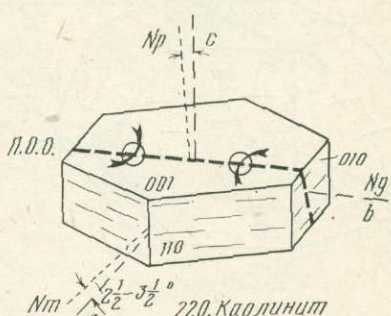
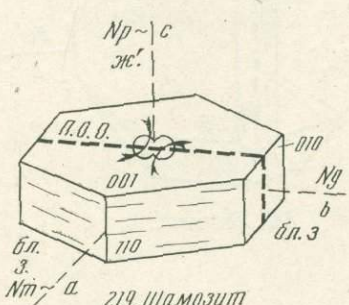
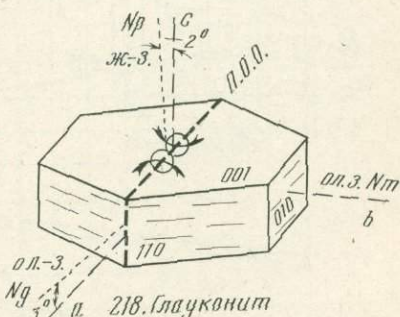
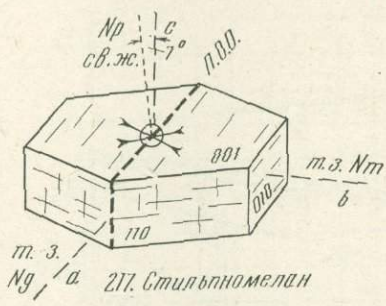
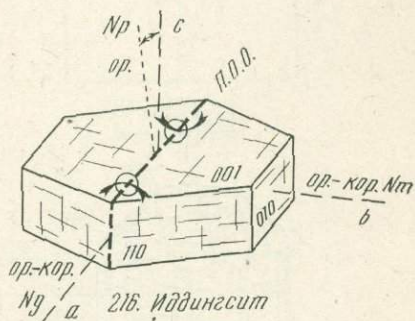
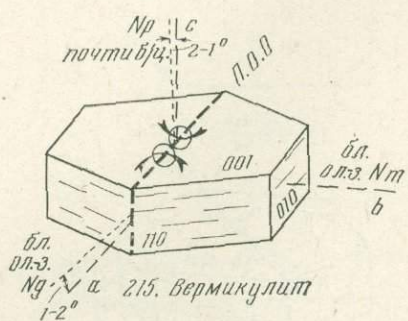
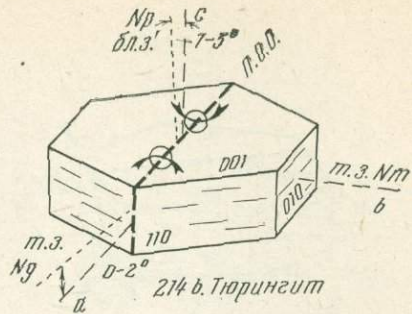
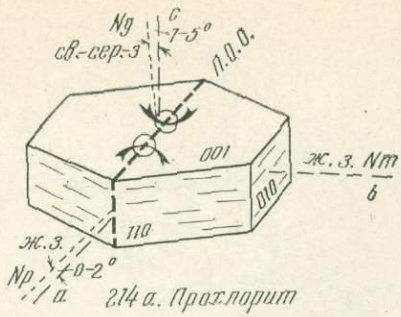
212а. Пеннин

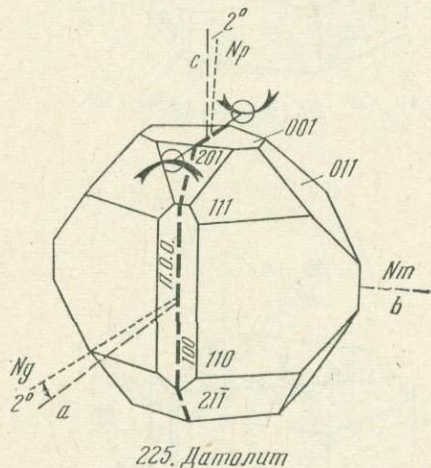
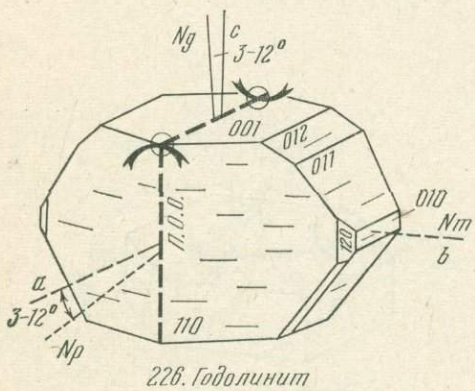
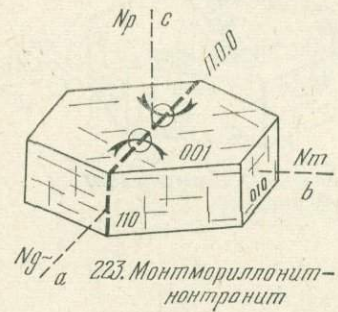
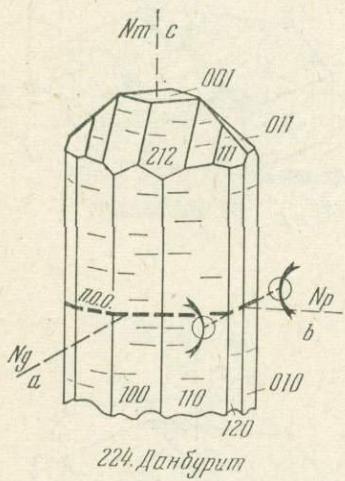
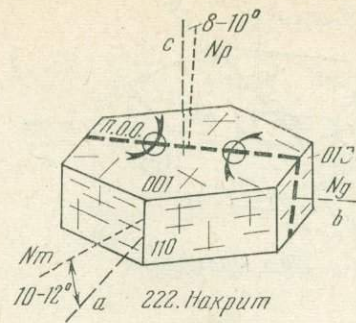
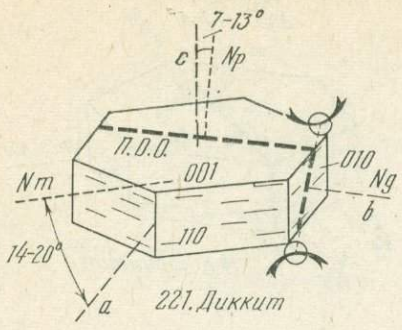


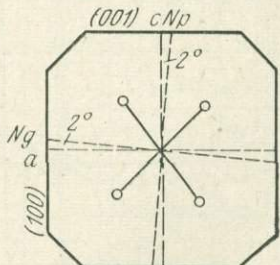
212 б. Пеннин + и
клинохлор



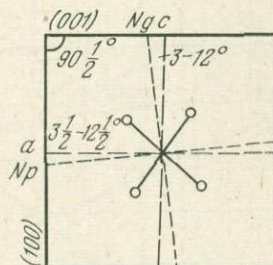
213. Делессим



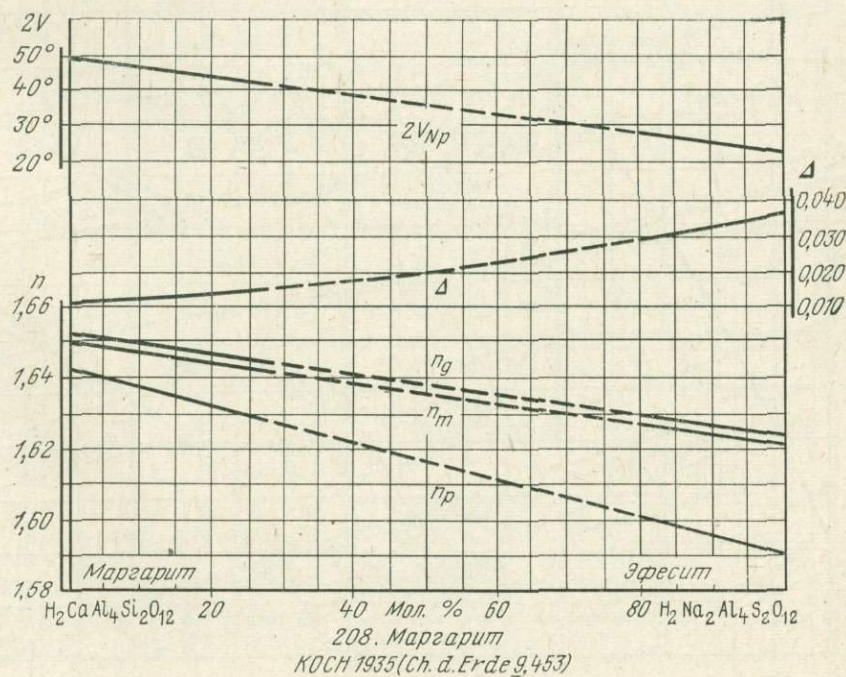




225. Датолит
Разрез // 010

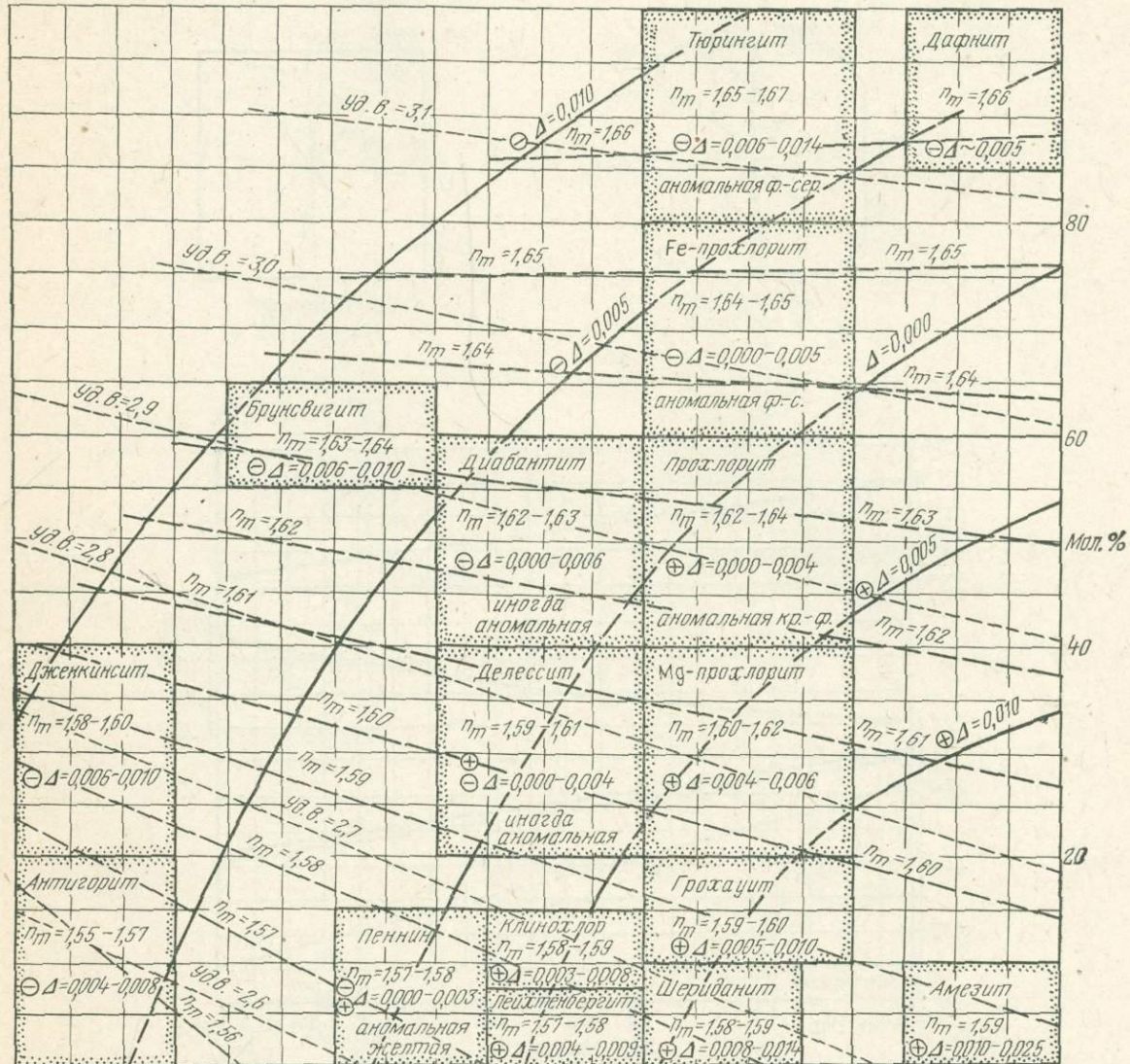


226. Гадолинит
Разрез // 010



Ферроантимонит
 $2(\text{M}_4\text{Fe}_3\text{Si}_2\text{O}_9)$

Дафнит
 $3(\text{M}_4\text{Fe}_2\text{Al}_2\text{Si}_2\text{O}_9)$



$2(\text{H}_4\text{Mg}_3\text{Si}_2\text{O}_9)$

Антигорит

20

40

60

80

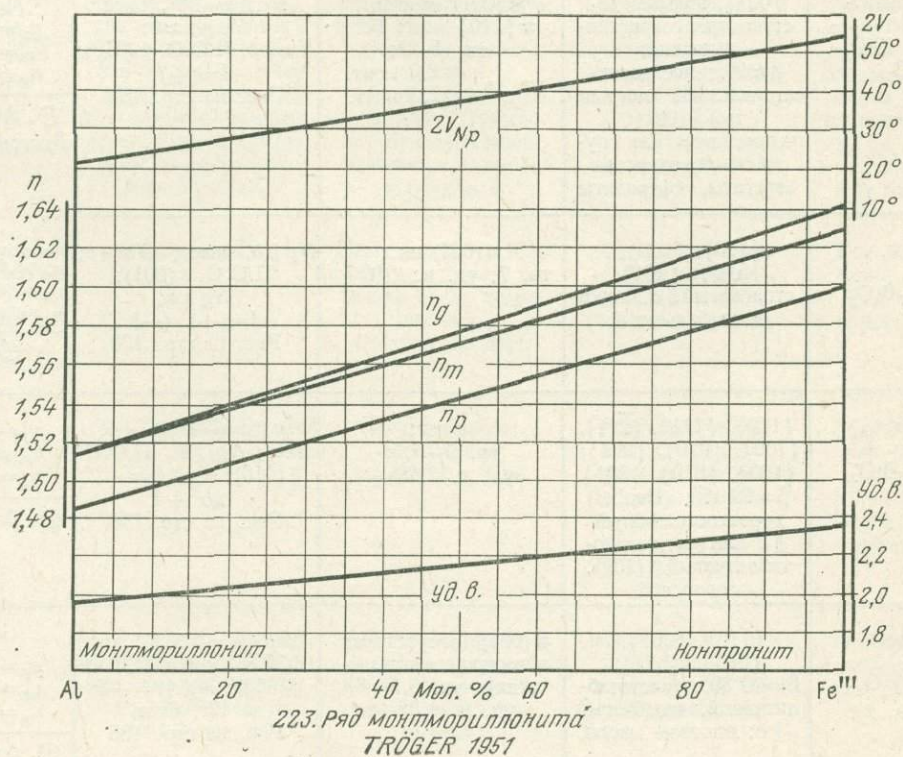
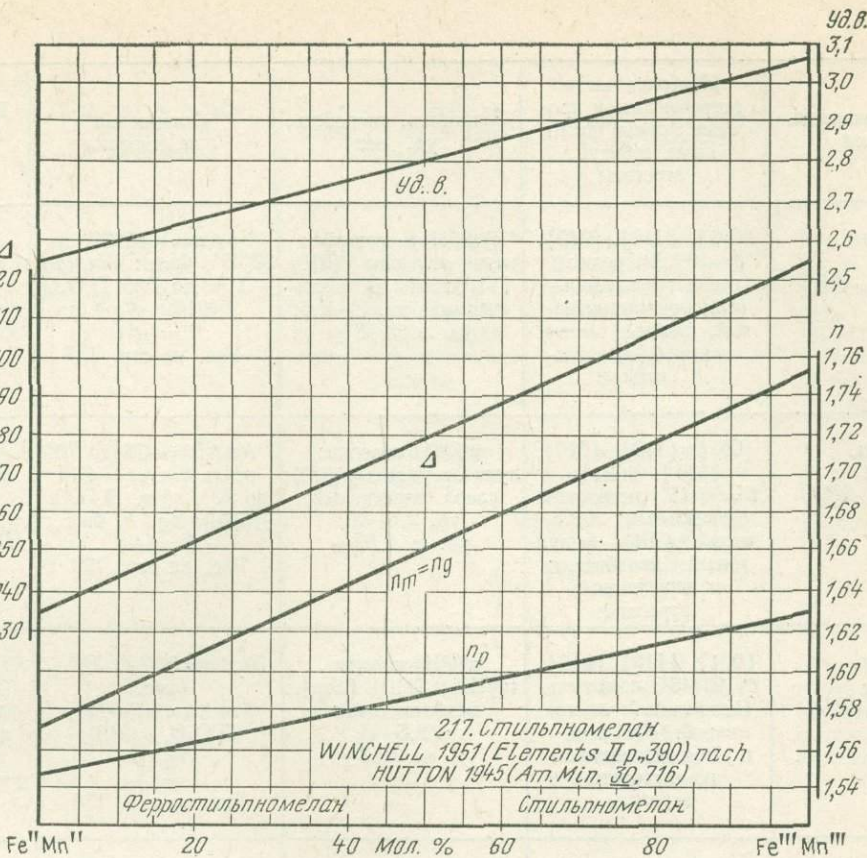
$3(\text{H}_4\text{Mg}_2\text{Al}_2\text{Si}_2\text{O}_9)$

Амезит

211-214. Группа хлорита

E. TRÖGER 1951 nach WINCHELL 1926 и 1936 и HÖDL 1942 (N.Jb.Min. 77A, 1-77)

(Copyrighted, 1951, by A.N. Winchell in Elements of Optical Mineralogy, pt. II, Reproduced by permission.)



№ п/п	Название, сингония, формула	Наиболее часто встречающиеся про- стые формы, двой- ники, габитус, агрегаты	Спайность, твердость, уд. вес	Оптическая ориентировка	Показатель прелом- ления, двупрелом- ление
220	Каолинит, трикл., $\text{Al}_2\text{O}_3 \cdot 2\text{SiO}_2 \cdot 2\text{H}_2\text{O}$	{001}, {110}, {010}; $\beta=104^\circ 30'$; редко \diamond ; псевдогексагональ- ный; тонкочешуйча- тый; плотные массы, червевидные агре- гаты	#(001) соверш.; лучи от удара $\parallel (010)$; {110}; гибкий, неэла- стичный; тв. 2—2,5; уд. в. $2,58 \pm$	$Np \wedge \bar{a} = +87^\circ 30'$ до $86^\circ 30'$, бисс.; $Nm \wedge a =$ $+2^\circ 30'$ до $3^\circ 30'$ П.О.О. $\perp (010)$; $Ng \parallel b$; $l'=(+)$ Рис. на стр. 137	$n_p=1,553-1,563$ $n_m=1,559-1,569$ $n_g=1,560-1,570$ $\ominus, \Delta=0,007-0,007$
221	Диккит, мон., $\text{Al}_2\text{O}_3 \cdot 2\text{SiO}_2 \cdot 2\text{H}_2\text{O}$	{001}, {110}, {010}, {111}, {0k1}; $\beta=96^\circ 45'$; псевдогек- сагональный, листо- ватый $\parallel (001)$, чешуй- чатель; столбчатые и червевидные агрегаты	#(001) соверш.; лучи от удара $\parallel (010)$; слабо эластичный; tv. 2,5—3; уд. в. $2,62 \pm$	$Np \wedge \bar{a} = -76$ до 70° , $v > r$; $Nm \wedge a = +14$ до 20° , $r > v$, П.О.О. $\perp (010)$; $Ng \parallel b$, бисс.; $l'=(+)$ Рис. на стр. 138	$n_p=1,560-1,561$ $n_m=1,562-1,563$ $n_g=1,566-1,568$ $\oplus, \Delta=0,006-0,007$
222	Накрит, мон., $\text{Al}_2\text{O}_3 \cdot 2\text{SiO}_2 \cdot 2\text{H}_2\text{O}$	{001}, {110}, {010}; $\beta=91^\circ 45'$; псевдогек- сагональный; листо- ватый $\parallel (001)$; че- шуйчатый; радиаль- но-листоватые агрегаты	#(001) соверш., #(010), {110} {хор.}; неэластичный; tv. 2,5—3, уд. в. $2,58 \pm$	$Np \wedge \bar{a} = 80^\circ$ до 78° , бисс.; $Nm \wedge a = 10^\circ - 12^\circ$, П.О.О. $\perp (010)$; $Ng \parallel b$; $l'=(+)$ Рис. на стр. 138	Чистый Содер- жащ. Fe $n_p=1,557-1,560$ $n_m=1,562-1,563$ $n_g=1,563-1,566$ $\ominus, \Delta=0,006-0,006$
223	Монтмориллонит- хонтронит, $(\text{Al}, \text{Fe})_2\text{O}_3 \cdot 4\text{SiO}_2 \cdot$ $\cdot n\text{H}_2\text{O}$	{001}, большей ча- стью криптокристал- лический; $\beta \approx 90^\circ$; псевдогек- сагональный; листова- тый $\parallel (001)$; червевидные или спу- танно-волокнистые агрегаты, сферолиты	#(001) соверш., # {110} ясн.; 63° ; tv. 1—2; уд. в. { 2,0 монт. 2,3 хонт.}	$Np \wedge a = 90^\circ$, бисс.; $Ng \wedge a \approx 0^\circ$; $Nm \parallel b$, П.О.О. $\parallel (010)$; $l'=(+)$ Рис. на стр. 138	Монт. Нонтр. $n_p=1,485-1,600$ $n_m=1,510-1,632$ $n_g=1,510-1,640$ $\ominus, \Delta=0,025-0,040$ Диаграмма на стр. 141
224	Данбурит, ромб., $\text{CaO} \cdot 2\text{SiO}_2 \cdot \text{B}_2\text{O}_3$	{110}, {100}, {hk0}, {001}; столбчатый $\parallel c$, корот- костебельчатый	#(001) пл.; tv. 7; уд. в. $2,99 \pm$	$Np \parallel b$, бисс.; $Nm \parallel c$, П.О.О. $\parallel (001)$; $Ng \parallel a$; $l'=(+)$ (-) Рис. на стр. 138	$\lambda=\text{красный, желтый, фенол.}$ $n_p=1,6275-1,6303-1,6456$ $n_m=1,6304-1,6332-1,6484$ $n_g=1,6332-1,6360-1,6515$ $\Delta=\ominus 0,0057-\ominus 0,0057-$ $\quad \quad \quad \oplus 0,0059$
225	Датолит, мон., $2\text{CaO} \cdot 2\text{SiO}_2 \cdot \text{B}_2\text{O}_3 \cdot$ $\cdot \text{H}_2\text{O}$	{110}, {111}, {211}, {100}, {010}, {001}; {100}, {010}, {001}; $\beta=90^\circ 15'$; (Dauber) короткостолбчатый $\parallel c$ или $\parallel a$, толсто- таблитчатый $\parallel (100)$, зернистый	# нет; tv. 5—5,5; уд. в. $2,99 \pm$	$Np \wedge c = -1$ до $+9^\circ$, бисс.; $Nm \parallel b$, П.О.О. $\parallel (010)$; $Ng \wedge a = -1^\circ$ до $+4^\circ$ Рис. на стр. 138	$n_p=1,621-1,626$ $n_m=1,649-1,653$ $n_g=1,666-1,670$ $\ominus, \Delta=0,045-0,044$
226	Гадолинит, мон., $2\text{BeO} \cdot \text{FeO} \cdot \text{Y}_2\text{O}_3 \cdot$ $\cdot 2\text{SiO}_2$	{110}, {001}, {0k1}, {hkl}; $\beta=90^\circ 30'$; толстотаб- литчатый, столбчатый $\parallel c$; плотные массы	#(001) (отсутствует в изотропных разно- стях); tv. 6,5—7; уд. в. $4,32 \pm$	$Np \wedge a = -3^\circ 30'$ до $12^\circ 30'$; $Nm \parallel b$, П.О.О. $\parallel (010)$; $Ng \wedge c = +3^\circ$ до 12° , бисс. Рис. на стр. 138	Метамиктн. $n_p=1,801-1,710$ $n_m=1,812-1,710$ $n_g=1,824-1,710$ $\oplus, \Delta=0,023-0,000$

Угол и дисперсия оптических осей	Окраска в шлифе, плеохроизм, абсорбция	Химические свойства, характерные особенности	Сходные минералы и их отличия	Парагенезис, генезис и условия нахождения
$2V_{Np}=42^\circ$ (от 36 до 50°); $r>v$ слабая	Бесцветный	Не разрушается в HCl, но разрушается в HF или NaOH; абсорбирует анилиновые краски; батчелорит—червеобразные агрегаты	Серицит—меньший n и большее Δ ; диккит—меньший n и \oplus ; накрит—больший $Nm \wedge a$; монтмориллонит—большее Δ	Как продукт выветривания в глинистых осадках (каолин, глина, мергель); гидротермальный, за счет полевых шпатов и фельдшпатоидов в гранитах, гнейсах и других породах
$2V_{Ng}=68^\circ$ (от 50 до 80°); $r<v$	Бесцветный	Слабо абсорбирует анилиновые краски	Каолинит— \ominus и $Nm \wedge a=3^\circ$; накрит— \ominus и $Nm \wedge a=$ от 10 до 12°; монтмориллонит—большее Δ ; серицит—большее Δ	Гидротермальный, с сульфидами и кварцем в жилах, трещинах, пустотах; не бывает осадочным
$2V_{Np} = \begin{cases} 40^\circ & \text{чистый Fe-со-} \\ & \text{держа-} \\ & \text{щий} \\ 90^\circ & \downarrow \\ r > v \end{cases}$	Бесцветный	Расслаивается п. п. т.; абсорбирует анилиновые краски, но слабо; редок	Диккит— $Nm \wedge a=14-20^\circ$, \oplus ; каолинит— $Nm \wedge a=3^\circ$; монтмориллонит—большее Δ ; серицит—большее Δ	Пневматолитовый или гидротермальный, с криолитом и слюдами или с сульфидами в жилах; не встречается в осадочных породах
$2V_{Np} = \begin{cases} 7-25^\circ & \uparrow \text{мон.} \\ 25-68^\circ & \downarrow \text{нон.} \end{cases}$	Монтмориллонит бесцветный; нонtronит: Np —желтоватый; Nm —желто-зеленый (темно-коричневый); Ng —оливково-зеленый (светло-коричневый); $Np < Nm < Ng$ или $Np < Ng < Nm$	Быстро растворяется в кислотах; абсорбирует анилиновые краски; n повышается при нагревании. Нонtronит при нагревании становится красно-коричневым	Каолинит, диккит и накрит—меньшее Δ ; серицит—большее Δ ; хлорит—меньшее n и Δ	Монтмориллонит в бентонитах, сукновальных глинях и землях; продукт изменения вулканических пеплов в морских осадках; нонtronит—гидротермальный, с опалом и кварцем по обломкам измененных базальтовых пород
$2V_{Np} = \begin{cases} 88^\circ (\lambda=671 \text{ мкм}), \\ 88^\circ 30' (\lambda=Na), \\ 93^\circ (\lambda=405 \text{ мкм}) \end{cases}$	Бесцветный	Нерастворим в HCl, желатинизирует, но только после прокаливания; реакция на бор!	Андалузит—большее Δ ; датолит—большее Δ ; топаз—хорошая $\#$	Контактово-пневматолитовый, с минералами В, F и Be; в доломитах, гранитах, пегматитах и гнейсах
$2V_{Np}=74^\circ$; $r>v$ слабая	Бесцветный	Желатинизирует с кислотами; реакция на бор!	Данбурит—меньшее Δ ; пренит—ясная $\#$; топаз—меньшее Δ	Гидротермально-контактово-пневматолитовый, в жильных гранитах; в контактовой зоне гранитных массивов; с цеолитами и кальцитом в пустотах
$2V_{Ng} \approx 85^\circ$; $r \ll v$	Np —оливково-зеленый; Nm —травяно-зеленый; Ng —травяно-зеленый; часто едва заметно плеохроирует	Желатинизирует с кислотами, но лишь когда изотропный; изоморфные замещения	Орбит—сильнее плеохроирует; оливин—часто серпентинизирован	Пегматитовый до гидротермального, в гранитных пегматитах и гнейсах, также в альпийских жилах

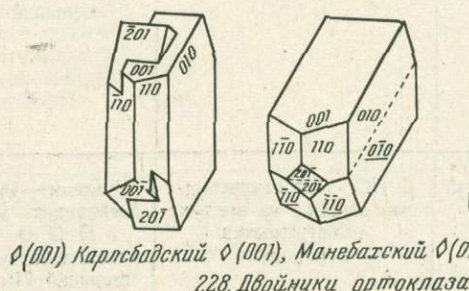
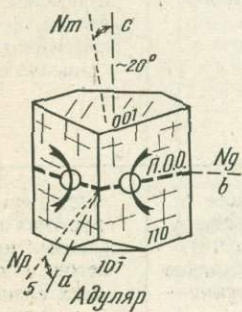
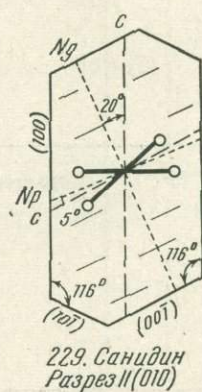
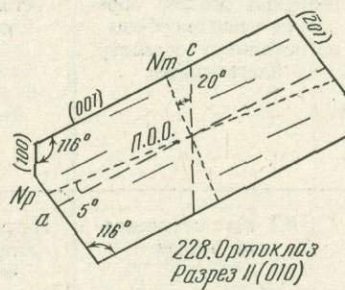
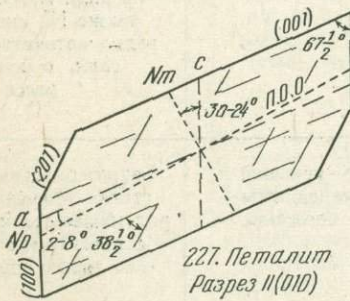
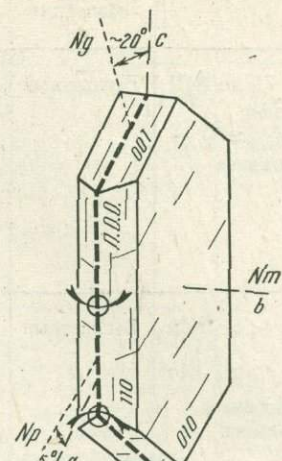
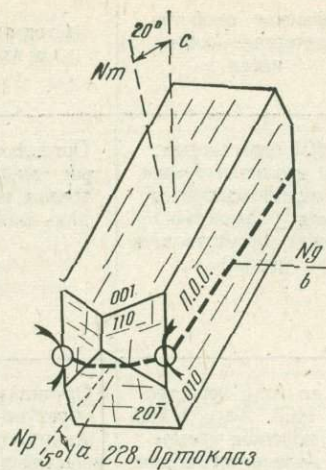
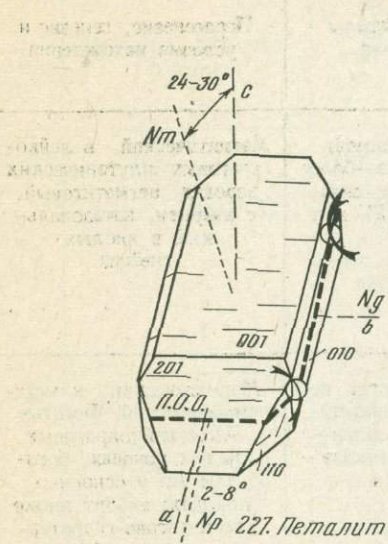
ОПТИЧЕСКИ ДВУОСНЫЕ МИНЕРАЛЫ:

№ п/п	Название, сингония, формула	Наиболее часто встречающиеся простые формы, двойники, габитус, агрегаты	Спайность, твердость, уд. вес	Оптическая ориенти- ровка	Показатель прелом- ления, двупрелом- ление
227	Петалит, мон., $(\text{Li}, \text{Na})_2\text{O} \cdot \text{Al}_3\text{O}_2 \cdot 8\text{SiO}_2$	{001}, {010}, {201}, {100}, {110}; $\beta=112^{\circ}30'$; нет \diamond ; столбчатый $\parallel a$ или таблитчатый $\parallel (010)$; толстотаблитчатые агрегаты	#(001) соверш., #(201) хор.; тв. 6,5; уд. в. $2,41 \pm$	$Np \wedge a = -2^{\circ}$ до 8° ($r < v$); $Nm \wedge c = +24^{\circ}$ до 30° П. О. О. $\perp (010)$; $Ng \parallel b$, бисс.; $I' = (-)$ Рис. на стр. 148	$n_p = 1,504 - 1,507$ $n_m = 1,510 - 1,512$ $n_g = 1,516 - 1,518$ $\oplus, \Delta = 0,012 - 0,011$
228	Ортоклаз, мон., и Na-ортоклаз $(\text{K}, \text{Na})_2\text{O} \cdot \text{Al}_2\text{O}_3 \cdot 6\text{SiO}_2$	{010}, {001}, {110}; {130}, {201}, {101}; $\beta=116^{\circ}$; $\diamond=[001]$, $\diamond=(001)$, $\diamond=(021)$; таблитчатый $\parallel (010)$ или столбчатый $\parallel a$	#(001) соверш., #(010) пл., #{110} пл. 61° ; отд. (100) и $(\overline{1}01)$; тв. 6; уд. в. { 2,57K 2,59Na}	$Np \wedge a = +(3^{\circ})$ до 5° до (12°) , $r < v$ бисс.; $Nm \wedge c = 21^{\circ}$ (от 14° до -23°); $Ng \parallel b$, П.О.О. $\perp (010)$ Рис. на стр. 148	Не сод. Обогащ. Na Na $n_p = 1,518 - 1,528$ $n_m = 1,522 - 1,533$ $n_g = 1,524 - 1,535$ $\ominus, \Delta = 0,006 - 0,007$ Диаграмма на стр. 149
229	Санидин, мон.; $(\text{K}, \text{Na})_2\text{O} \cdot \text{Al}_2\text{O}_3 \cdot 6\text{SiO}_2$	{010}, {001}, 110 {101}; $\beta=116^{\circ}$; $\diamond=[001]$; таблитчатый $\parallel (010)$; вытянутый вдоль a	#(001) соверш., #(010) хор., #{110} пл. 61° ; тв. 6; уд. в. $2,58 \pm$	$Np \wedge a = 0^{\circ}$ до $+9^{\circ}$; $Nm = b$, П. О. О. $\parallel (010)$ —большей частью; $Ng \parallel b$, П.О.О. $\perp (010)$ редко Рис. на стр. 148	Бедн. Обогащ. Na Na $n_p = 1,519 - 1,525$ $n_m = 1,525 - 1,530$ $n_g = 1,526 - 1,531$ $\ominus, \Delta = 0,007 - 0,006$
230	Анортоклаз, трикл., $(\text{Na}, \text{K})_2\text{O} \cdot \text{Al}_2\text{O}_3 \cdot 6\text{SiO}_2$	{110}, {1\overline{1}0}, {001}, {20\overline{1}}, {010}; $\beta=117^{\circ}$; $\diamond=(010)$ и $\diamond[010]$, решетка; столбчатый $\parallel c$, ром- бические поперечные сечения	#(001) соверш., #(010) хор. $\approx 90^{\circ}$, #(110) и $(\overline{1}\overline{1}0)$ пл. 61° ; тв. 6; уд. в. $2,58 \pm$	$Np' \wedge (010)$ на $(001) =$ $= +1^{\circ}$ до $+3^{\circ}$; $Np' \wedge (001)$ на $(010) =$ $= +4$ до $+12^{\circ}$, П. О. О. $\approx \perp (010)$ Рис. и стереог. на стр. 150	Бедн. Обогащ. Na Na $n_p = 1,523 - 1,536$ $n_m = 1,529 - 1,548$ $n_g = 1,530 - 1,549$ $\ominus, \Delta = 0,007 - 0,013$
231	Гиалофан, мон., $9-6(\text{K}_2\text{O} \cdot \text{Al}_2\text{O}_3 \cdot 6\text{SiO}_2) + 1-4(\text{BaO} \cdot 2\text{Al}_2\text{O}_3 \cdot 4\text{SiO}_2)$	{110}, {1\overline{0}1}, {001}, {010}; $\beta=115^{\circ}30'$; $\diamond=[001]$, также $\diamond=(021)$; $\diamond=(001)$; столбчатый $\parallel c$, зернистый	#(001) соверш., #(010) хор.; тв. 6-6,5; уд. в. $2,82 \pm$	Бедный Богатый Ba Ba $Np \wedge a = 2$ до -25° бисс.; $Nm \wedge c = 20^{\circ}$ до 50° $Ng \parallel b$, П.О.О. $\perp (010)$ Рис. на стр. 150	Бедн. Обогащ. Ba Ba $n_p = 1,528 - 1,542$ $n_m = 1,531 - 1,545$ $n_g = 1,534 - 1,547$ $\ominus, \Delta = 0,006 - 0,005$
232	Цельзиан, мон., $\text{BaO} \cdot \text{Al}_2\text{O}_3 \cdot 2\text{SiO}_2$	{110}, {001}, {010}, {20\overline{1}}, {1\overline{1}1}; $\beta=115^{\circ}$; $\diamond=[001]$, также $\diamond=(021)$, $\diamond=(001)$; столбчатый $\parallel c$, зернистый	#(001) соверш., #(010)—хор., #{110} пл. $61^{\circ}30'$; тв. 6-6,5; уд. в. $3,37 \pm$	$Np \wedge c = +3^{\circ}$; $Nm \parallel b$, П.О.О. $\parallel (010)$; $Ng \wedge a = +27$ до $+30^{\circ}$ Рис. на стр. 150	$n_p = 1,579 - 1,584$ $n_m = 1,583 - 1,589$ $n_g = 1,588 - 1,596$ $\oplus, \Delta = 0,009 - 0,012$

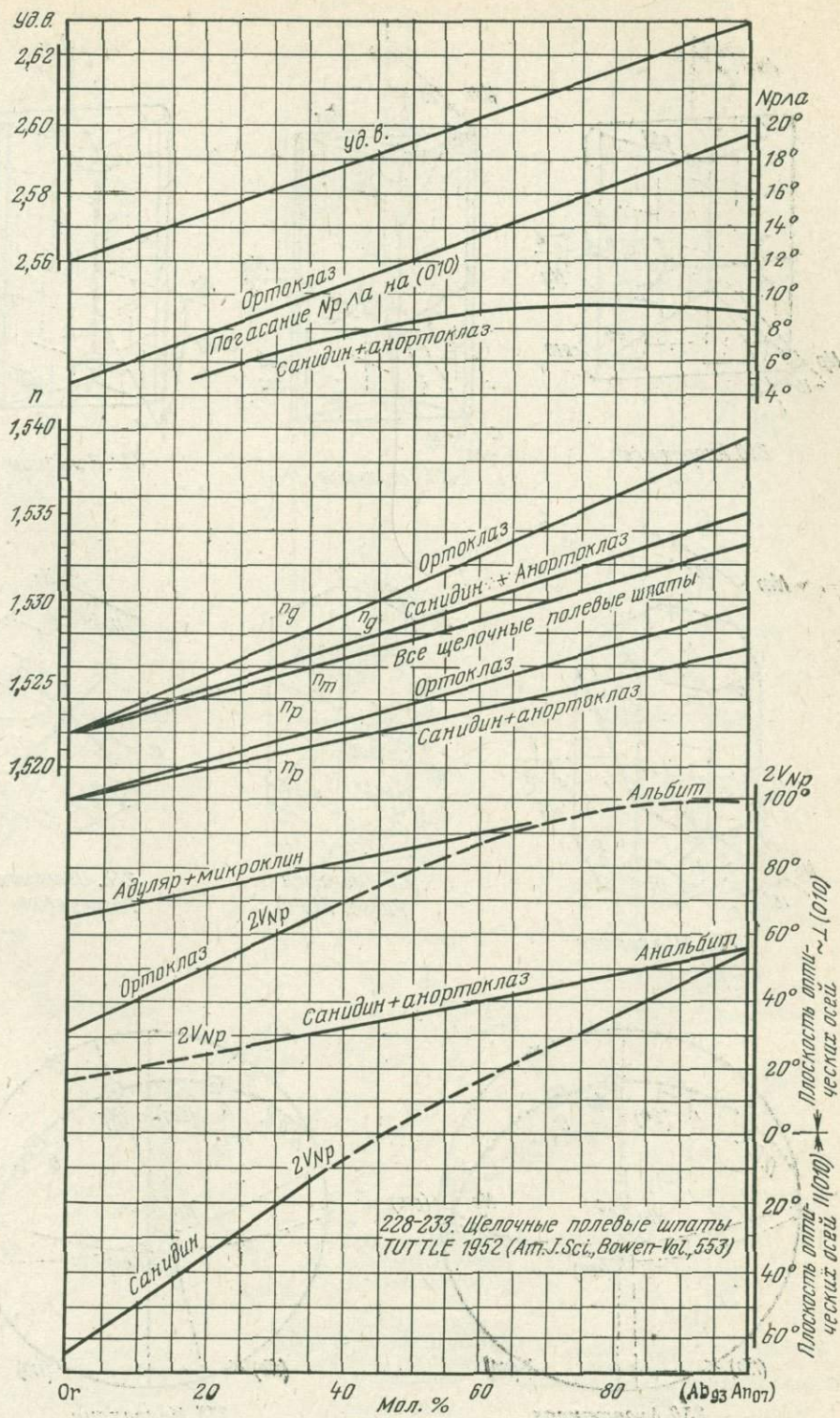
Угол и дисперсия оптических осей	Окраска в шлифе, плеохроизм, абсорбция	Химические свойства, характерные особенности	Сходные минералы и их отличия	Парагенезис, генезис и условия нахождения
$2V_{Ng}=82\text{--}84^\circ$; $r>v$ слабая	Бесцветный	Растворим только в HF; Li окраска пламени	Сподумен—больший n ; ортоклаз и плагиоклаз—большие n и Δ ; квад—больший n	В гранитных пегматитах со сподуменом, турмалином, лепидолитом
$2V_{Np}=70^\circ$ (до 84°); $r>v$ ясная; оч. редко: $2V_{Ng}\approx 80^\circ$ «изоортоклаз»	Бесцветный	Быстро растворяется только в HF, K_2SiF_6 —гель; часто каолинизируется; или серицитизируется; не дает полисинтетических пластинчатых \diamond Адуляр—гидротермальный в трахитах: {110}	Кварц—больший n и чище; нефелин—больший n и меньший Δ ; для плагиоклаза характерны полисинтетические \diamond ; санидин—маленький $2V$	Магматический, особенно часто в лейкократовых породах; пегматитовый, с кварцем; редко гидротермальный (адуляр); катамезозональный, в кристаллических сланцах
$2V_{Np}$ K П. О. О. \perp (010); $\approx 0^\circ$ П. О. О. \perp, \parallel (010); $50^\circ, r < v$, П. О. О. \parallel (010) ↓ Na	Бесцветный	Растворяется только в HF, K_2SiF_6 —гель; легко каолинизируется; не дает полисинтетических пластинчатых \diamond	Кварц—больший n и чище; нефелин—больший n и меньшее Δ ; ортоклаз—больший $2V$; анатоклаз—большие $2V$ и n	Магматический, в лейкократовых свежих вулканических породах (высокотемпературная форма)
$2V_{Np}=32^\circ$ до 62° ; $r>v$ ясная	Бесцветный	Растворяется только в HF; легко каолинизируется; исключительно тонкая двойниковая решетка; периклиновые \diamond (001) на (010)=—75 до —78°	Санидин—меньшие n и $2V$; ортоклаз—больший $2V$; плагиоклаз—большие $2V$ и уд. в.; микроклин—грубее решетка	Магматический, преимущественно в Na-эфузивных породах, реже в интрузивных породах; в кристаллических сланцах, по-видимому, не встречается
$2V_{Np}$ 74° бедн. Ba, 79° обогащенный Ba; $r>v$	Бесцветный	Не разлагается в HCl; изоморфные замещения; не образует полисинтетических пластинчатых \diamond	Цельзиан—П. О. О. \parallel (010); ортоклаз—меньший n	Контактово-метаморфический, в доломитах с турмалином, слюдами, эпидотом
$2V_{Ng}=88^\circ$ (от $83^\circ 30'$ до $93^\circ 30'$)	Бесцветный	В HCl растворяется с образованием геля; не образует полисинтетических пластинчатых \diamond ; Ba окраска пламени	Гиалофан—П. О. О. \perp (010); ортоклаз—меньшие Δ и n ; плагиоклаз—образует полисинтетические \diamond	Контактово-пневматолитовый, в доломитах с гранатом, кварцем, диопсидом

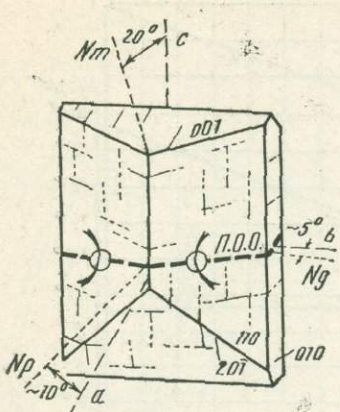
№ п/п	Название, сингония, формула	Наиболее часто встречающиеся про- стые формы, двой- ники, габитус, агре- гаты	Спайность, твердость, уд. вес	Оптическая ориен- тировка	Показатель прелом- ления, двупрелом- ление
233	Микроклин, трикл., $(K, Na)_2 \cdot Al_2O_3 \cdot 6SiO_3$	{010}, {001}, {110}, {110}, {201}, {111}; $\beta = 116^\circ$; $\diamond = (010)$, $\diamond = [010]$; решетка, таблитча- тый, зернистый	#(001) соверш., #(010) хор. $\approx 90^\circ$, #(110) и (110) пл. 61° ; тв. 6; уд. в. = $= 2,57 \pm$	$Np' \wedge (001)$ на (010) $= +5^\circ$ до $+6^\circ$; $Np' \wedge (010)$ на (001) = $= +16$ (от 15° до 19°), П.О.О. $\approx \perp (010)$ Стереог. и рис. на стр. 150	$n_p = 1,514 - 1,523$ $n_m = 1,518 - 1,526$ $n_g = 1,521 - 1,530$ $\ominus, \Delta = 0,007 - 0,007$
234	Ряд плагиоклазов, трикл., альбит—анортит $m(Na_2O \cdot Al_2O_3 \cdot$ $6SiO_2) + n(2CaO \cdot$ $2Al_2O_3 \cdot 4SiO_2)$	{010}, {001}, {110}, {110}, {100}, {201}; $\beta = 116^\circ - 116^\circ 30'$; $\diamond = (010)$, $\diamond = [010]$ и др.; таблитчатый $\parallel (010)$, листы $\parallel c$, столбчатый $\parallel b$	#(001) соверш., #(010) хор. 86° , #(110) и (110); пл. 59° ; тв. 6—6,5; уд. в. { 2,61 Ab 2,76 Ap	Высокотемпературная оптика в вулканоген- ных; низкотемпе- турная оптика в плутонических и метаморфических Диаграмма на стр. 154—174 Рис. на стр. 151	Ab An $n_p = 1,527 - 1,554 - 1,577$ $n_m = 1,531 - 1,558 - 1,585$ $n_g = 1,538 - 1,561 - 1,590$ $\oplus, \Delta = 0,011 - 0,007 - 0,013$
235	Натролит, ромб., $Na_2O \cdot Al_2O_3 \cdot 3SiO_2 \cdot$ $2H_2O$	{110}, {111}, {010}, {100}; псевдотетр; $\diamond = (110)$ редки; игольчато-стебель- чатый $\parallel c$, волокни- стый, лучистый	#{110} хор. $88^\circ 45'$; отд. (010); тв. 5—5,5; уд. в. $2,24 \pm$	$Np \parallel a; Nm \parallel b,$ П.О.О. $\parallel (010);$ $Ng \parallel c$, бисс.; $l = (+)$ Рис. на стр. 176—177	$n_p = 1,473 - 1,489$ $n_m = 1,476 - 1,491$ $n_g = 1,485 - 1,501$ $\oplus, \Delta = 0,012 - 0,012$
236	Томсонит, ромб., $Na_2O \cdot 4CaO \cdot 5Al_2O_3 \cdot$ $10SiO_2 \cdot 12H_2O$	{110}, {001}, {100}, {010}; $\diamond = (110)$; столбчатый $\parallel c$, во- локнистый, листоч- ки $\parallel (010)$; радиаль- но-лучистый	#(010) соверш., #(100) хор.; тв. 5—5,5; уд. в. $2,33 \pm$	$Np \parallel a; Nm \parallel c,$ П.О.О. $\parallel (001);$ $l = (\pm)$ Рис. на стр. 176—177	$n_p = 1,507 - 1,530$ $n_m = 1,509 - 1,532$ $n_g = 1,516 - 1,545$ $\oplus, \Delta = 0,009 - 0,015$ Диаграмма на стр. 176
237	Сколецит, мон., $CaO \cdot Al_2O_3 \cdot 3SiO_2 \cdot$ $3H_2O$	{110} {010}, {hkl}; $\beta = 90^\circ 45'$; псевдором- бический; $\diamond = (100)$ наиболее устойчи- вый; стебельчатый $\parallel c$; волокнистые агрегаты	#{110} хор. $88^\circ 30'$; тв. 5—5,5; уд. в. $2,28 \pm$	$Np \wedge c = +15^\circ$ до 18° бисс.; $Nm \wedge a = -14^\circ$ до 17° , П.О.О. $\perp (010);$ $Ng \parallel b; l' = (-)$ Рис. на стр. 176—178	$n_p = 1,510 - 1,513$ $n_m = 1,516 - 1,520$ $n_g = 1,517 - 1,521$ $\ominus \Delta = 0,007 - 0,008$
238	Ломонит, мон., $2CaO \cdot Al_2O_3 \cdot 4SiO_2 \cdot$ $8H_2O$	{110}, {100}, {010}, {101}, {203}; $\beta = 99^\circ 45'$; $\diamond = (100)$; столбчатый $\parallel c$, сте- бельчатый	#(010) соверш., #(110) соверш. $93^\circ 45'$, #(100) пл.; тв. 3—3,5; уд. в. $2,29 \pm$	$Np \wedge a = -10^\circ$ до 26° бисс.; $Nm \parallel b,$ П.О.О. $\parallel (010);$ $Ng \wedge c = +20^\circ$ до $36^\circ;$ $l' = (+)$ Рис. на стр. 176—178	$n_p = 1,502 - 1,513$ $n_m = 1,512 - 1,524$ $n_g = 1,514 - 1,525$ $\ominus, \Delta = 0,012 - 0,012$

Угол и дисперсия оптических осей	Окраска в шлифе, плеохроизм, абсорбция	Химические свойства, характерные особенности	Сходные минералы и их отличия	Парафенезис, генезис и условия нахождения
$2V_{Np}=80^\circ$ (от 71 до 84°); $r > v$ ясная; оч. редко: $2V_{Ng} \approx 80^\circ$ — «изомикроклин»	Бесцветный	В HCl нерастворим; часто каолинизируется или серицитизируется; ясная \diamond решетка, но может отсутствовать (редко)	Ортоклаз—нерешетчатый; анортоклаз—более тонкая решетка; санидин—меньшие $2V$ и n	Магматический, в лейкократовых плутонических породах, пегматитовый, с кварцем, катазональный в кислых гнейсах
$2V_{Ng} = \begin{cases} 75^\circ & r < v \\ 90^\circ & \end{cases}$ $2V_{Np} = \begin{cases} 77^\circ & r > v \\ \downarrow & \downarrow \\ \text{An} & \end{cases}$ См. стереограммы в конце книги	Бесцветный	Ap_{00} до Ap_{50} нерастворим в HCl, Ap_{100} с HCl дает порошок кремнезема; полисинтетические пластинчатые \diamond ; зональное строение; серицитизируется, каолинизируется, сассюритизируется	Ортоклаз—никогда не образует полисинтетических \diamond ; микроклин—меньший n ; анортоклаз—меньшие n и Δ	Магматический, и метаморфический. Богатые Ab в лейкократовых кислых породах, богатые Ap в основных породах; альбит также пегматитово-гидротермальный
$2V_{Ng}=58^\circ$ до 64° ; $r < v$ слабая	Бесцветный	С HCl легко дает студневидный осадок; образует псевдоморфозы по нефелину, содалиту, плагиоклазам	Томсонит—больший n ; остальные цеолиты—косое погасание	Гидротермальный, выполняет трещины и жилки в щелочных породах (фонолиты, базальты, также Na сиениты), редко автометасоматический, о основной массе
$2V_{Ng}=47^\circ$ до 75° ; $r > v$ ясная	Бесцветный	С HCl дает студневидный осадок	Натролит—меньший n , остальные цеолиты—косое погасание	Гидротермальный, в пустотах эфузивных пород (базальты; фонолиты); с преитом в контактовых породах
$2V_{Np}=36^\circ$ до 56° ; $r \ll v$	Бесцветный	С HCl дает студневидный осадок	Натролит и томсонит—прямое погасание и $\ell'=(+)$; десмин—меньший $Np \wedge c$	Гидротермальный, в жилах и трещинах эфузивных пород (базальты, фонолиты); в kontaktовых породах и альпийских жилах
$2V_{Np}=24^\circ$ до 38° ; $r < v$ сильная	Бесцветный	С HCl дает студневидный осадок; на воздухе выветривается в порошок	Сколецит—меньшее Δ ; гейландит—меньшие Δ и П. О. О. $\perp (010)$; эпистильбит—несколько больший $2V$; десмин— $\ell'=(-)$	Гидротермальный, в пустотах и трещинах основных магматических пород и кристаллических сланцев, также в рудных жилах

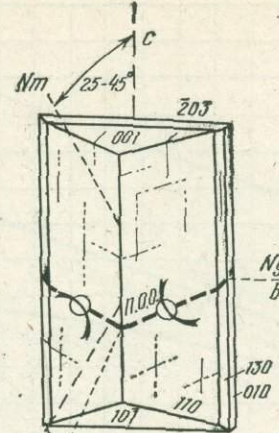


Φ(001) Карлсбадский Φ(001), Манебахский Φ(021), бавенский

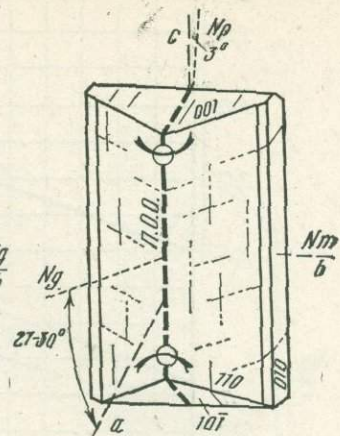




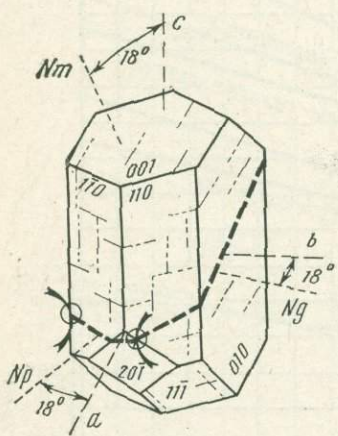
230. Анортоклаз



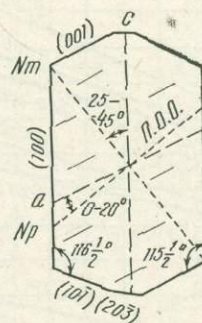
231. Гиалофан



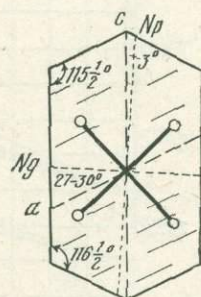
232. Целльциан



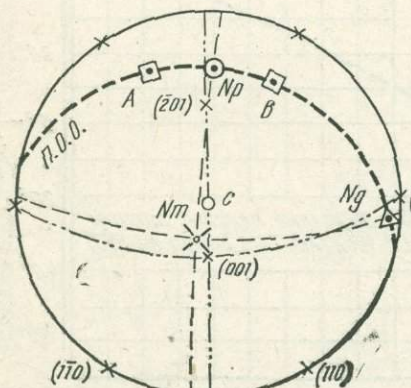
233. Микроклин



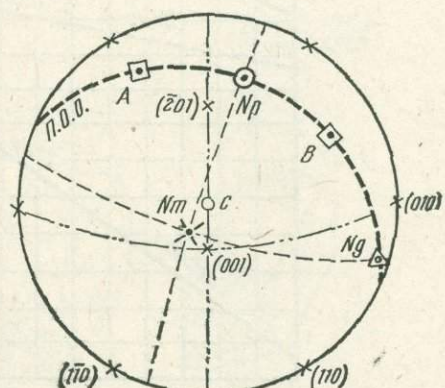
231. Гиалофан
Разрез II(010)



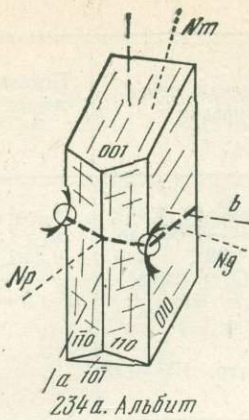
232. Целльциан
Разрез II(011)



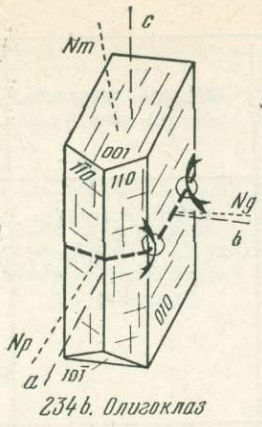
230. Анортоклаз



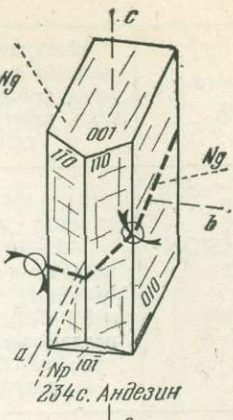
233. Микроклин



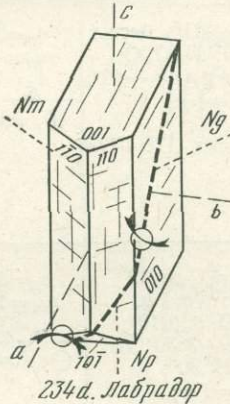
234a. Альбит



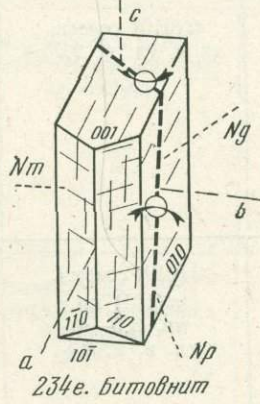
234b. Олигоклаз



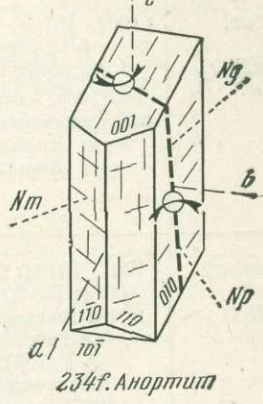
234c. Андезин



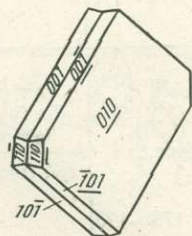
234d. Лабрадор



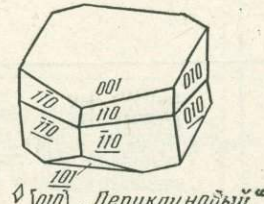
234e. Биотит



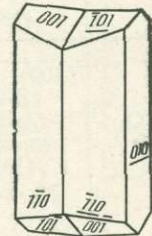
234f. Анортит



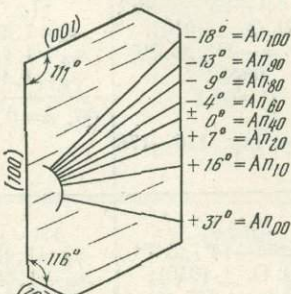
◊ (010) „Альбитовый”



◊ [010] „Периклинобыльит”



◊ [001] „Карлсбадский”



Периклиновые пластинки (ромбическое сечение) по сравнению с трещинами спайности по $\{001\}$, замеренные в сечении // [010]

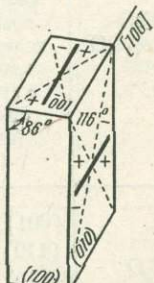


Сравните с двумя отдельно-приведенными стереограммами для измерений на столике

Е. С. Федорова

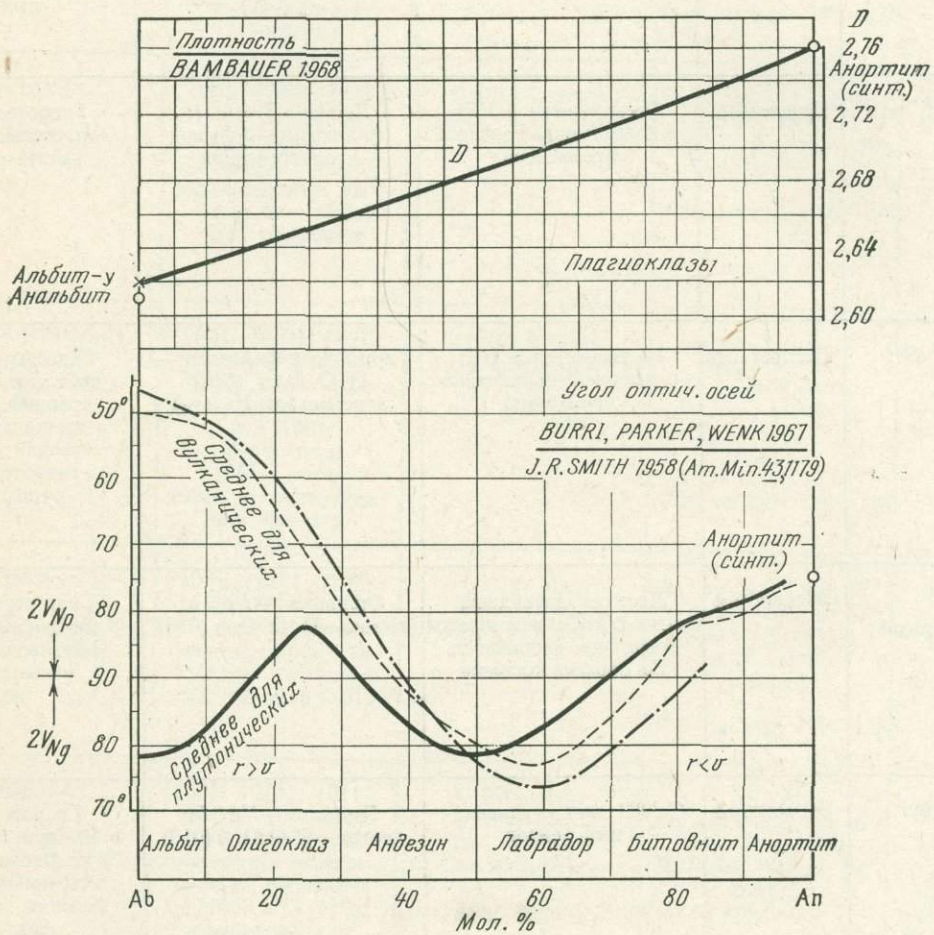
234. Плагиоклазы

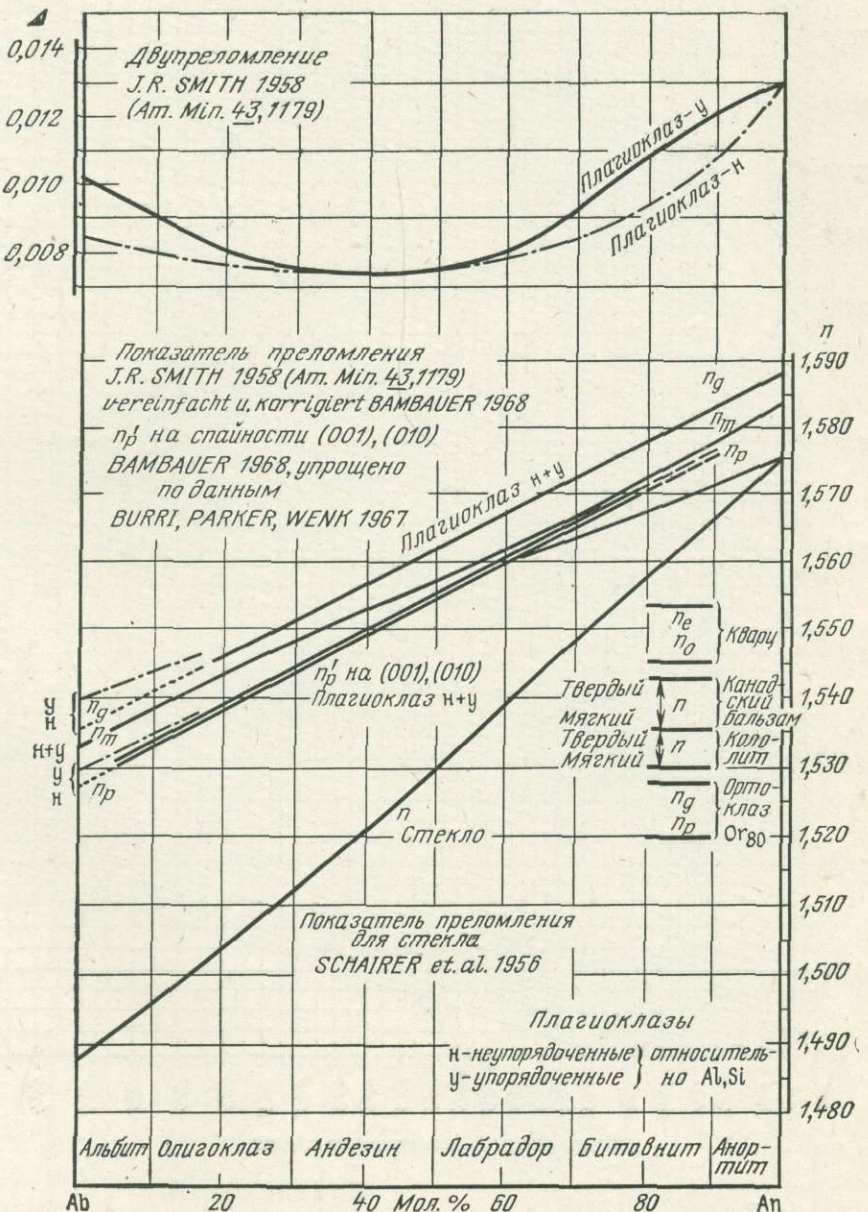
Указания об углах угасания плагиоклазов по Шустеру
 — Кристаллографическое направление [001]
 - - - Направление погасания Np'

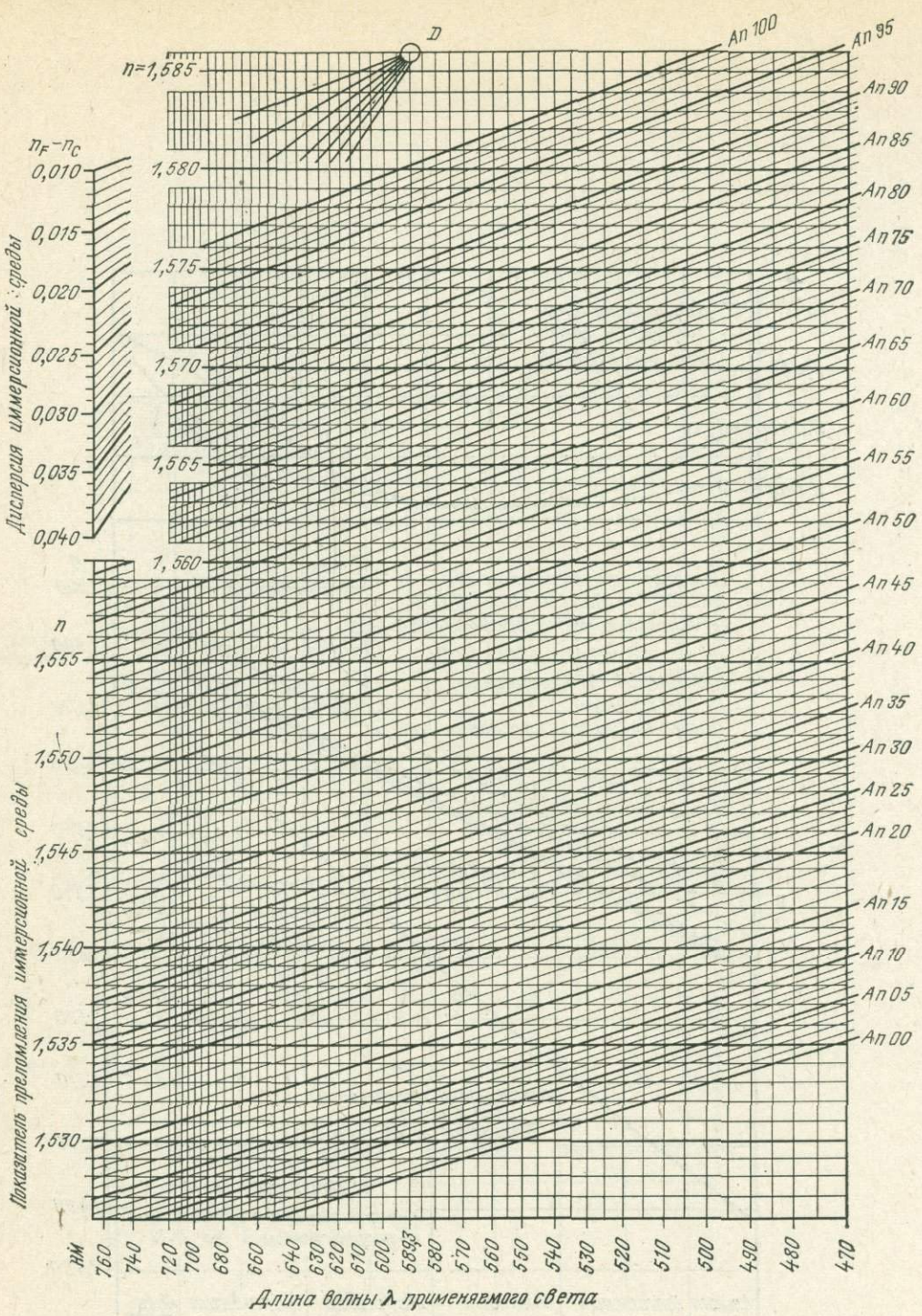


№ п/п	Название, сингония, формула	Наиболее часто встречающиеся про- стые формы, двой- ники, габитус, агрега- таты	Спайность, твердость, уд. вес	Оптическая ориен- тировка	Показатель прелом- ления, двупрелом- ление
239	Гейландит, мон., $\text{CaO} \cdot \text{Al}_2\text{O}_3 \cdot 6\text{SiO}_2 \cdot 5\text{H}_2\text{O}$	{010}, {101}, {101}; {001}, {110}; $\beta=91^\circ 30'$; псевдоромбический; $\diamond=(001)$; листова- тый (010); субпа- раллельные агрега- таты; не образует розеток	#(010) соверш.; тв. 3,5—4; уд. в. $2,20 \pm$	$Np \wedge a=0^\circ$ до $+34^\circ$; $Nm \wedge c=-1^\circ 30'$ до $+32^\circ$, П. О. О. \perp (010); $Ng \parallel b$, бисс.; $l'=(-)$	$n_p=1,496-1,499$ $n_m=1,497-1,500$ $n_g=1,501-1,505$ $\oplus, \Delta=0,005-0,006$
240	Эпистильбит, мон., $\text{CaO} \cdot \text{Al}_2\text{O}_3 \cdot 6\text{SiO}_2 \cdot 5\text{H}_2\text{O}$	{100}, {010}, {110}, {111} {001}; $\beta=90^\circ 45'$; $\diamond=(100)$, $\diamond=(010)$, перекрещенные двой- ники; столбчатый c ; сферолиты	#(010) соверш.; тв. 4; уд. в. $2,25 \pm$	$Np \wedge a=+11^\circ$, бисс.; $Nm \parallel b$, П. О. О. (010); $Ng \wedge c=-10^\circ$; $l'=(+)$	$n_p=1,502-1,505$ $n_m=1,510-1,515$ $n_g=1,512-1,519$ $\oplus, \Delta=0,010-0,014$
241	Десмин (стильбит), мон., $\text{CaO} \cdot \text{Al}_2\text{O}_3 \cdot 7\text{SiO}_2 \cdot 7\text{H}_2\text{O}$	{100}, {010}, {101}, {001}; $\beta=90^\circ 30'$; почти всегда пере- крученные; $\diamond \parallel (100)$; таблитчатый (010), вытянут вдоль c ; спонообраз- ные агрегаты	#(010) соверш., #(101) пл.; тв. 3,5—4; уд. в. $2,16 \pm$	$Np \wedge c=3^\circ$ до 12° , бисс.; $Nm \parallel b$, П. О. О. (010); $Ng \wedge a=+3^\circ 30'$ до $-12^\circ 30'$; $l'=(\pm)$	$n_p=1,486-1,498$ $n_m=1,494-1,507$ $n_g=1,496-1,509$ $\ominus, \Delta=0,010-0,011$
242	Гармотом, мон., $2(\text{Ba}, \text{K}_2)\text{O} \cdot 2\text{Al}_2\text{O}_3 \cdot 11\text{SiO}_2 \cdot 10\text{H}_2\text{O}$	{100}, {010}, {011}; $\beta=124^\circ 45'$; \diamond перекрещенные многократно (100) и (110); столбчатый c , плоский (010)	#(010) ясн., #(001) пл.; тв. 4,5; уд. в. $=2,41 \pm$	$Np \wedge a=+63^\circ$ до 67° ; $Nm \wedge c=-28^\circ$ до 32° , П.О.О. \perp (010); $Ng \parallel b$, бисс.; $l'=(\pm)$	$n_p=1,503-1,506$ $n_m=1,505-1,509$ $n_g=1,508-1,514$ $\oplus, \Delta=0,005-0,008$
243	Филлипсит, мон., $(\text{K}, \text{Na})_2\text{O} \cdot \text{CaO} \cdot 2\text{Al}_2\text{O}_3 \cdot 6\text{SiO}_2 \cdot 8\text{H}_2\text{O}$	{100}, {010}, {011}; $\beta=125^\circ 45'$; часто псевдокубический вследствие перекре- щенных двойников (100) и (110); столбчатый c , плоский (010)	#(010) ясн., #(100) ясн.; тв. 4—4,5; уд. в. $2,17 \pm$	$Np \parallel b$; $Nm \wedge a=+65^\circ$ до 46° , П. О. О. \perp (010); $Ng \wedge c=-11^\circ$ до 30° бисс.; $l'=(+)$	Богат. Бедн. Si Si $n_p=1,483-1,504$ $n_m=1,484-1,509$ $n_g=1,486-1,514$ $\oplus, \Delta=0,003-0,010$
244	Вевеллит, мон., $\text{Ca}[\text{C}_2\text{O}_4] \cdot \text{H}_2\text{O}$	{001}, {011}, {010}, {110}, {132}, {101}; $\beta=107^\circ 15'$; $\diamond=(101)$, сердцевидные; ко- роткостолбчатые a , толстотаблитчатый (010)	#(101) соверш., #(010) ясн.; #(001) пл., #(110) пл.; хрупкий; тв. 2,5—3; уд. в. $2,23 \pm$	$Np \parallel b$; $Nm \wedge a=-14^\circ$ до 7° , П. О. О. \perp (010); $Ng \wedge c=+24^\circ$ до $+31^\circ$, бисс.	λ Li Tl $n_p=1,488-1,494$ $n_m=1,551-1,560$ $n_g=1,645-1,657$ $\oplus, \Delta=0,157-0,163$

Угол и дисперсия оптических осей	Окраска в шлифе, плеохроизм, абсорбция	Химические свойства, характерные особенности	Сходные минералы и их отличия	Парафенезис, генезис и условия нахождения
$2V_{Ng}=34^\circ$ (от 0 до 53°); $r>v$	Бесцветный	Дает студневидный осадок с HCl; # c указывает на перекрещенную дисперсию	Сколецит—больший n ; ломонтит—большее Δ и П. О. О. (010); эпистильбит—большее Δ и $I'=(+)$; десмин—большее Δ и П. О. О. (010)	Гидротермальный, выполняет пустоты и трещинки в базальтовых породах; в трещинах метаморфических пород; в гидротермальных рудных жилах
$2V_{Np}=44^\circ$; $r<v$	Бесцветный	Растворяется в HCl с выделением порошка кремнезема	Десмин— $I'=(-)$; филлипсит—большой угол погасания	Гидротермальный, в пустотах базальтов вместе с десмином
$2V_{Np}=30^\circ$ до 49° ; $r<v$	Бесцветный	Растворяется в HCl с выделением порошка кремнезема	Гармотом и филлипсит—П. О. О. \perp (010) эпистильбит $I'=(+)$	Гидротермальный, в пустотах базальтов и трещинах гранитов; в трещинах кристаллических сланцев, в гидротермальных рудных жилах
$2V_{Ng}=79^\circ$ (при нагревании падает до 32°)	Бесцветный	Дает студневидный осадок с HCl; встречается реже, чем филлипсит; Ba окраска пламени	Филлипсит— $Np \parallel b$; десмин—П. О. О. (010)	Гидротермальный, в миндалинах основных эффузивов; в гидротермальных рудных жилах
$2V_{Ng}=60^\circ$ до 80° ; $r<v$	Бесцветный	С HCl дает студневидный осадок	Гармотом— $Ng \parallel b$; десмин—П. О. О. (010)	Гидротермальный, в миндалинах базальтов; в отложениях горячих источников; также в морских глинах больших глубин
$2V_{Ng}=84^\circ$; $r<v$ слабая	Бесцветный	Легко растворяется в кислотах; в H_2O не растворим	Кальцит—одноосный, Θ ; арагонит— \ominus ; ангидрит—меньшее Δ ; гидратиллит—меньшее Δ	Диагенетичный, с кальцитом в трещинах углей и глинистых сланцев; обычно в битуминозных мергелях; в гидротермальных рудных жилах







Плагиоклазы

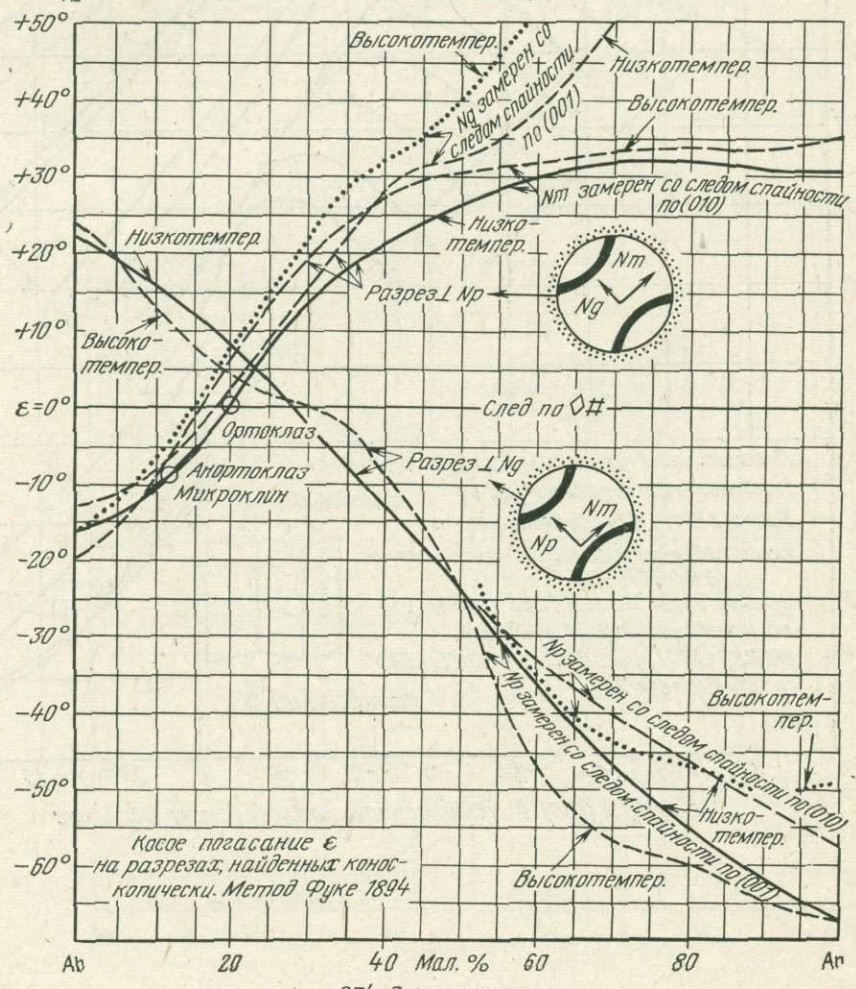
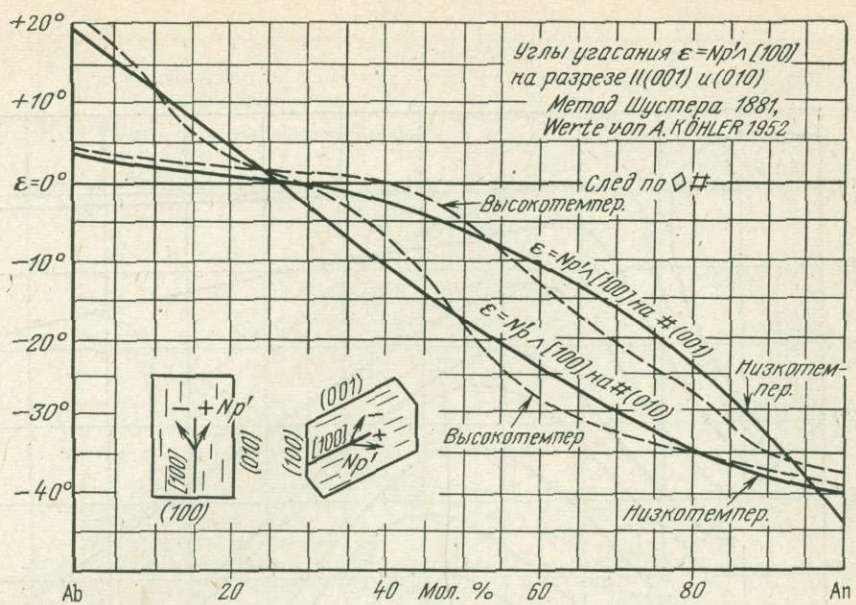
Диаграмма определения показателей преломления на спайных пластинках по Tsuboi 1934 (Jao. J. Geol. Geogr. 11, 325).

Измерение n_p на (010) по сравнению с иммерсионной средой при различном монохроматическом освещении.

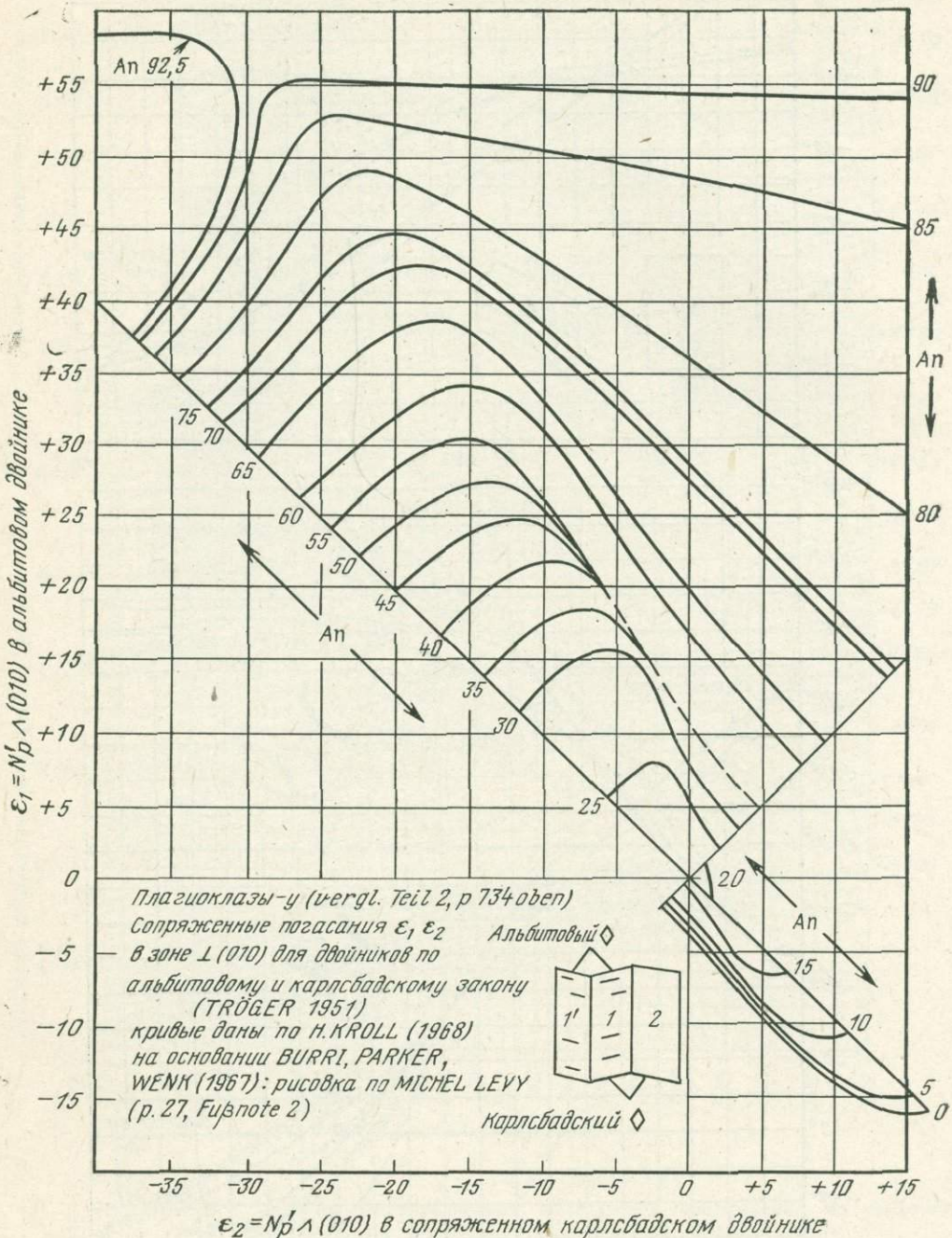
Ключ:

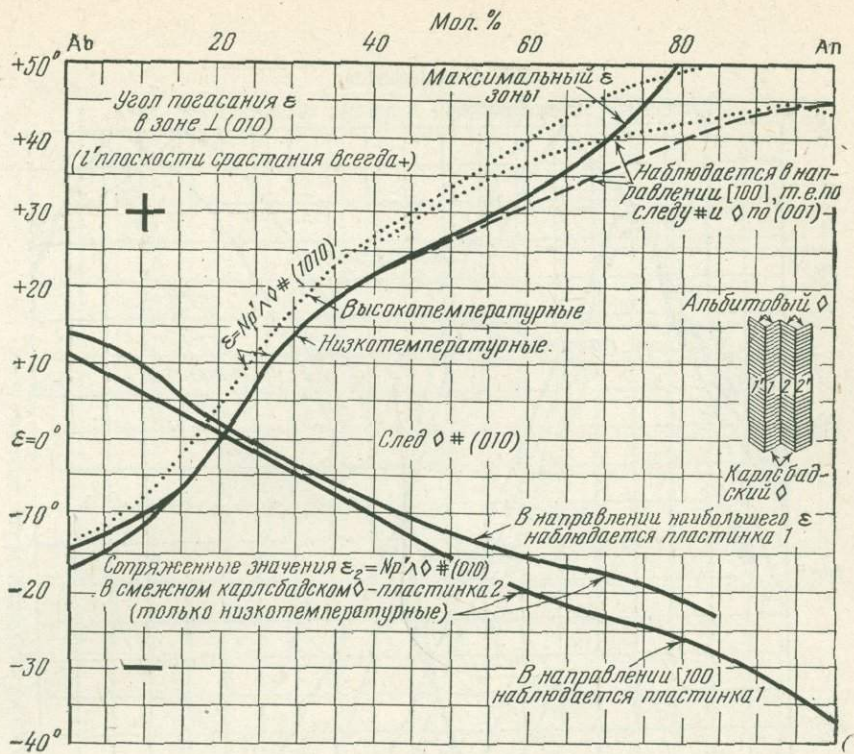
- 1) абсцисса точки $A = 589,3$ нм, ордината $= n_D$ среды;
- 2) ищите луч $D \rightarrow (n_F - n_C)$ среды;

- 3) параллельную ему линию проводим через A (дисперсионная линия среды);
- 4) точка C — точка пересечения этой линии с линией той длины волны λ , при которой исчезает полоска Бекке;
- 5) линия $C \rightarrow F$ — показывает содержание аортита.

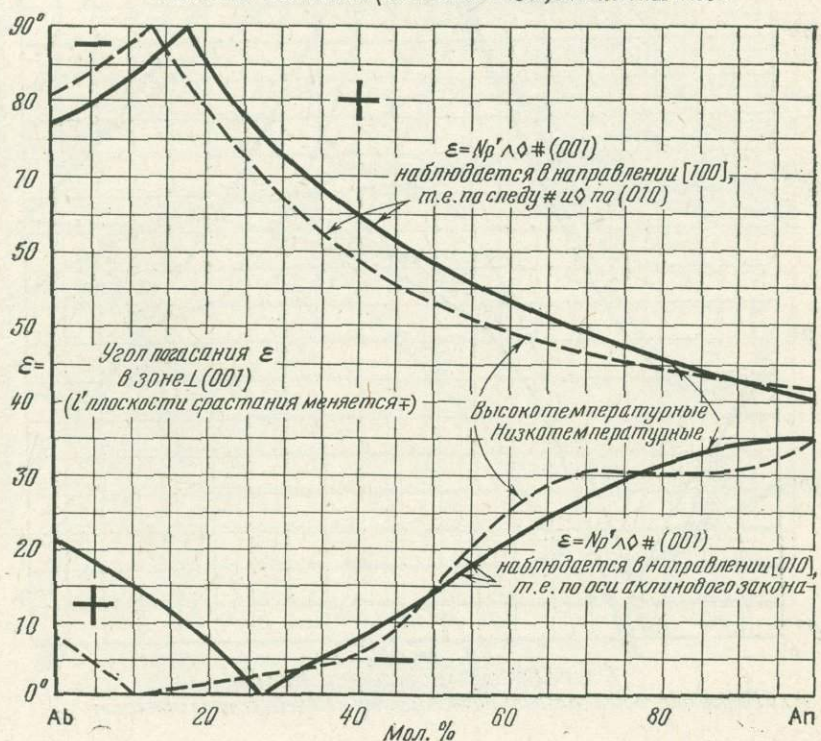


234. Плагиоклазы



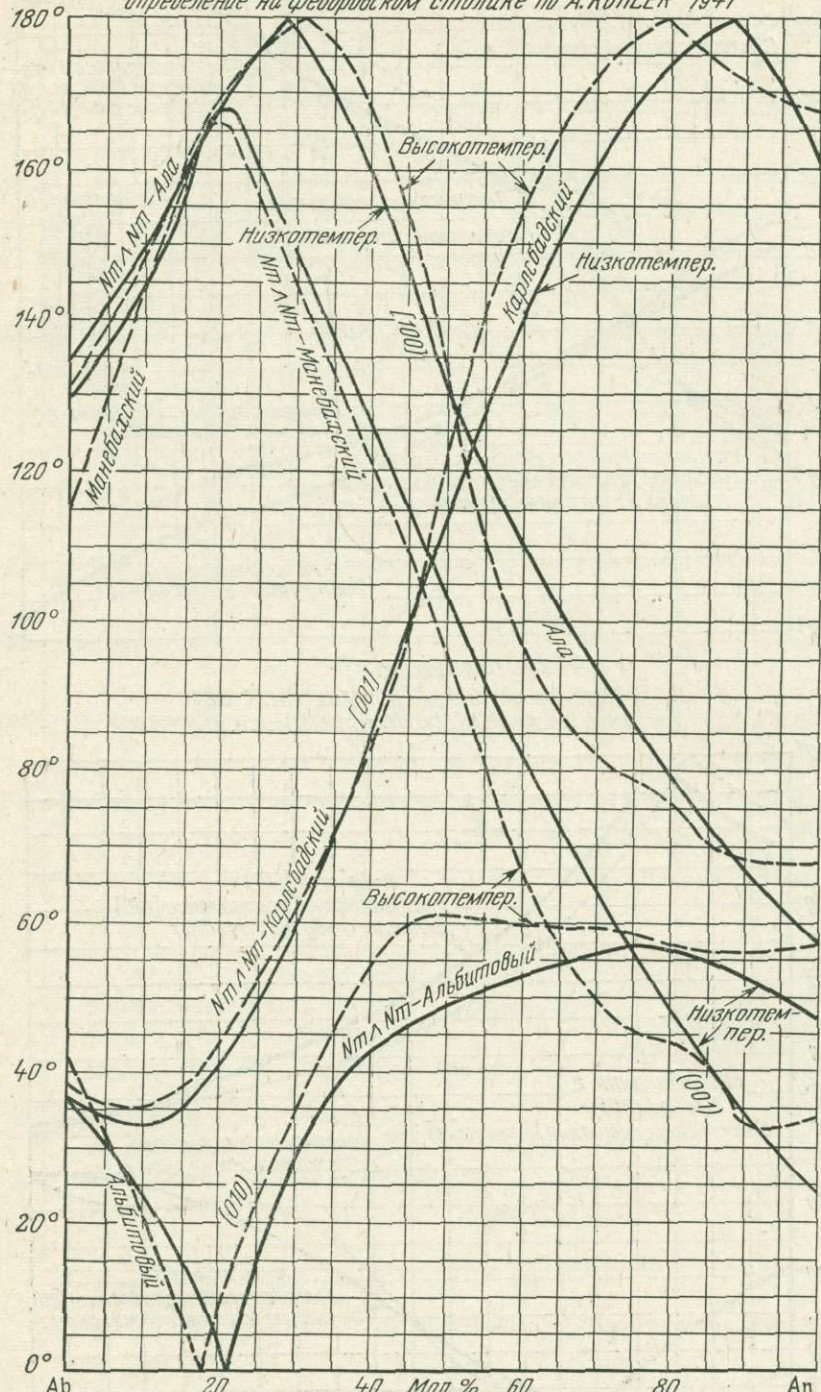


234. Плагиоклазы
U-Tisch Zonenmethode RITTMANN-EBERT 1929
corr. nach v.d. KAADEN (Diss. Utrecht 1951) u.P.A. KÖHLER 1952



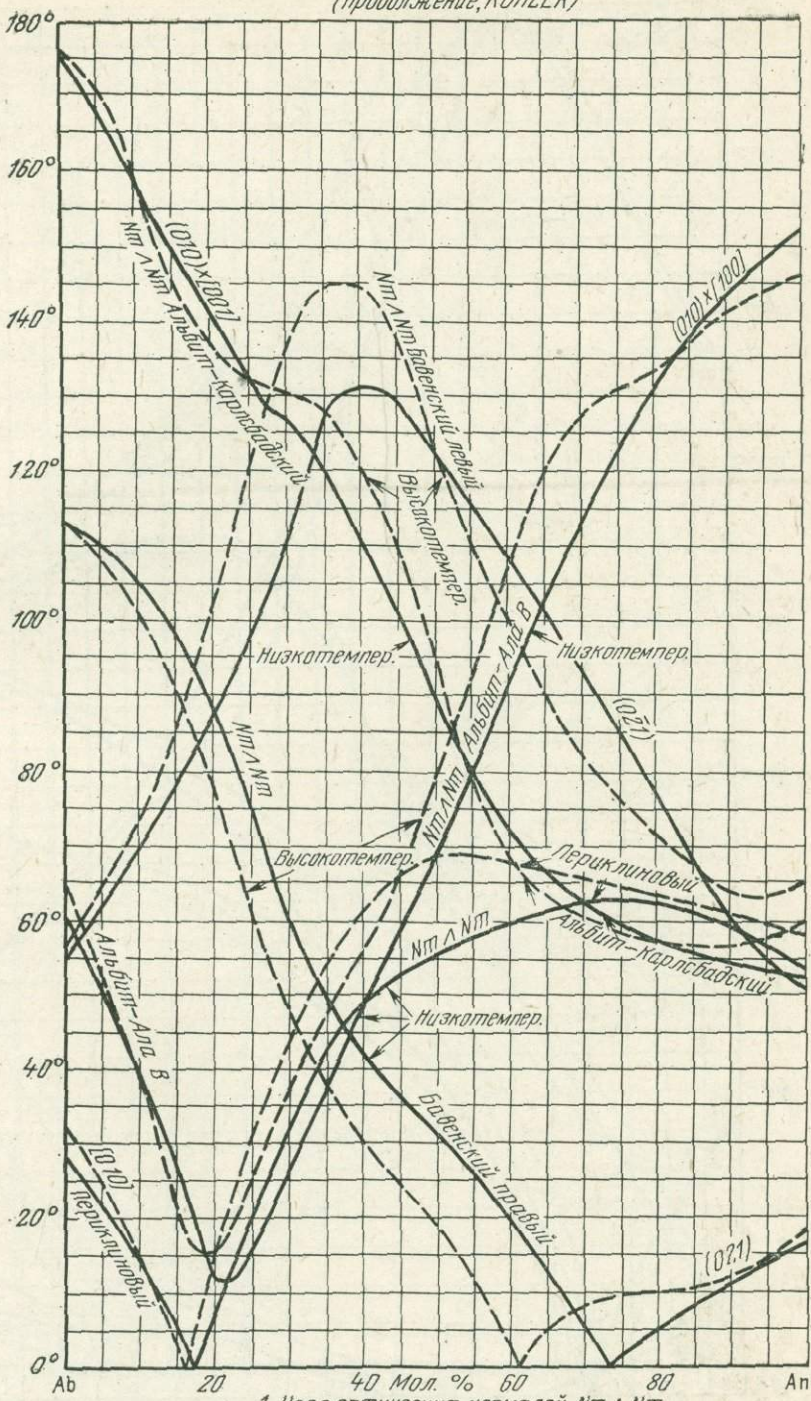
234. Плагиоклазы

Определение на федоровском столице по А. КÖHLER 1941

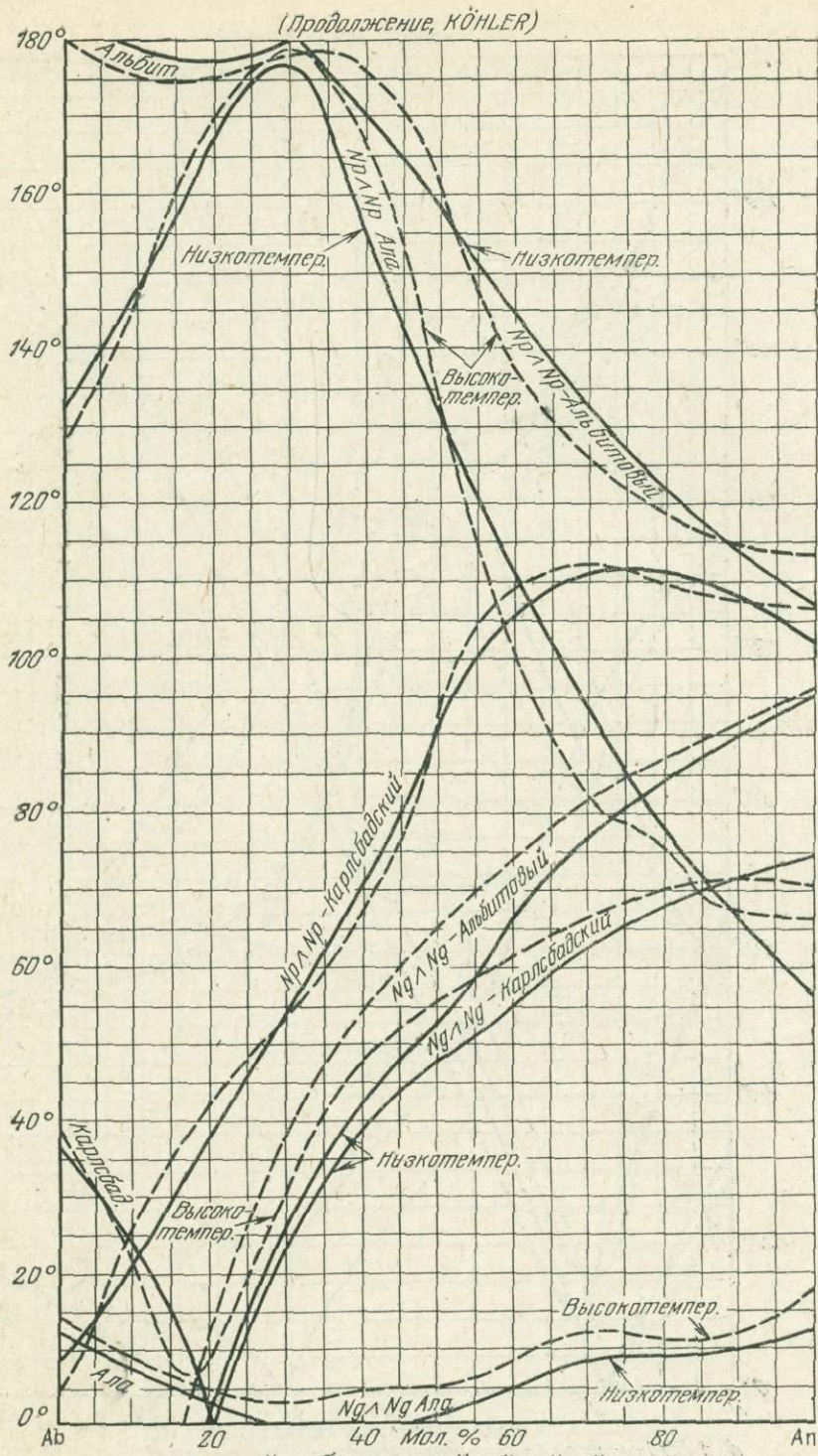


По данным: KÖHLER 1932 (mit frdl. Genehmigung des Autors) und nach Nickel 1949 (Heidelberg Beitr. Min. 2, 184) und nach v.d. KAADEN 1950 (Tscherm. petr. Mitt., [3], 1, 297)

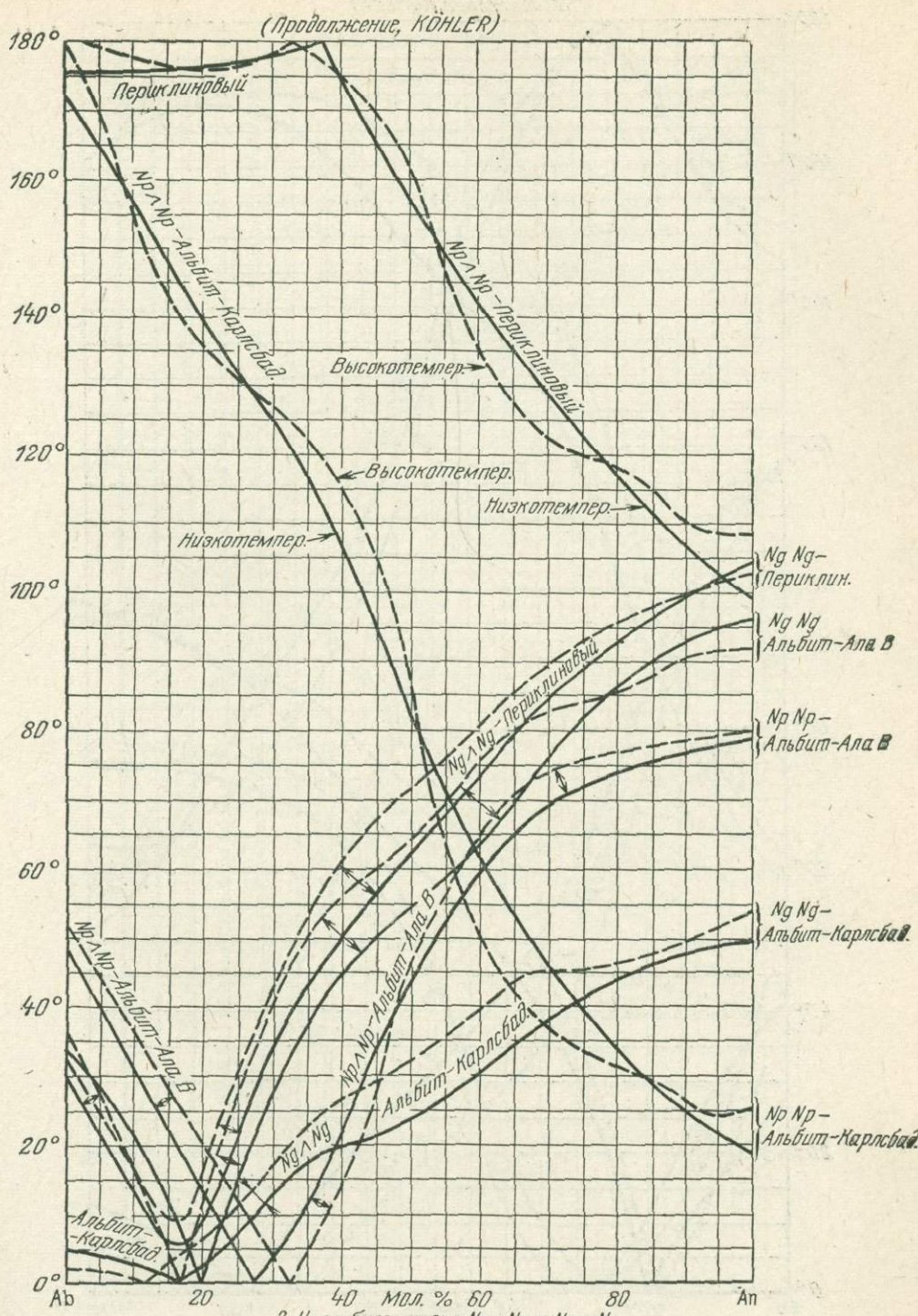
(Продолжение, KÖHLER)



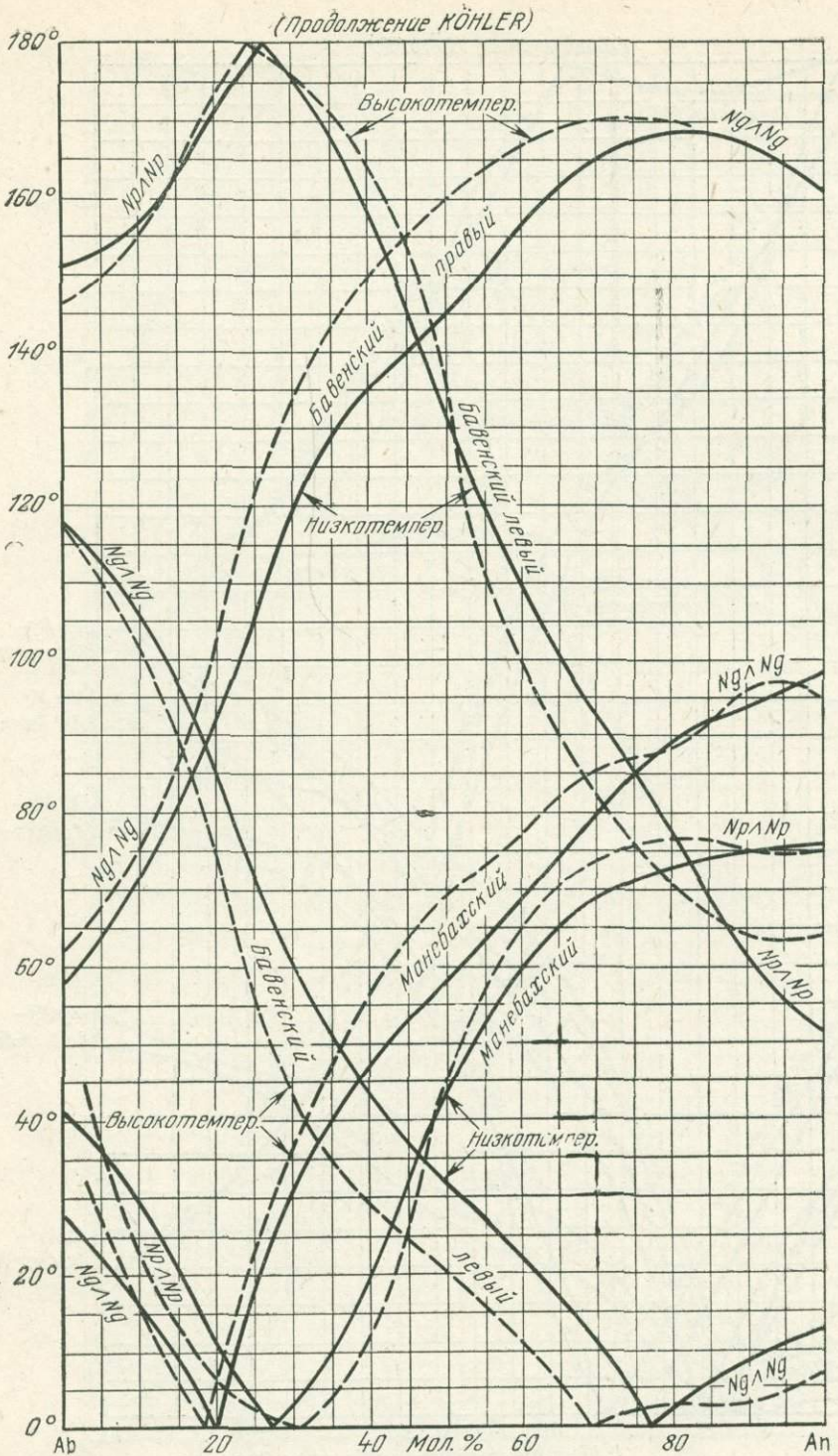
б) в юрисдикциях по Альбит-Карлсбадскому, Альбит-Ала В.,
Бавенскому и Периклиновому законам



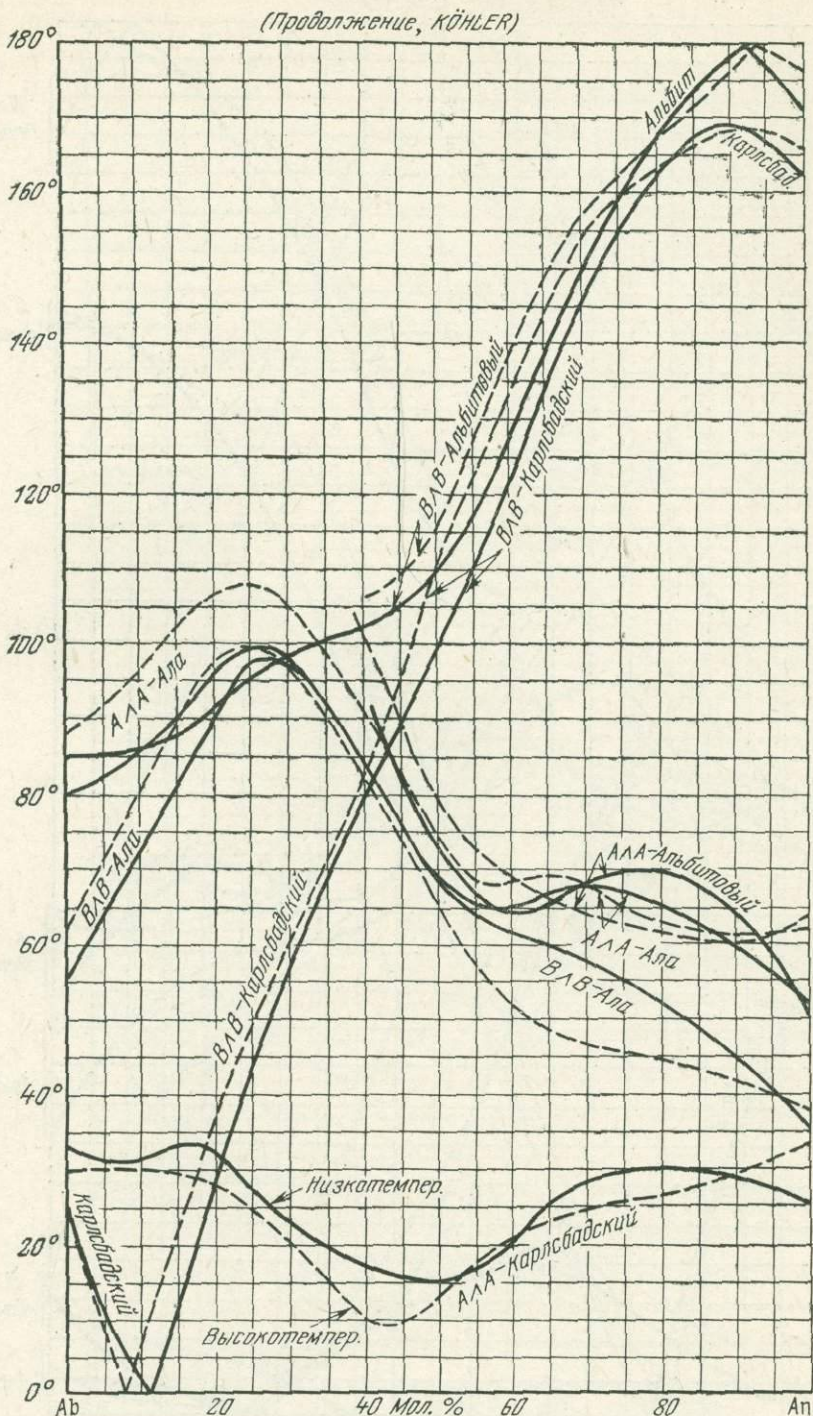
а) в двойниках по Альбитовому, Карлсбадскому и Ала законам



2. Угол биссектрис $\text{Ng} \wedge \text{Ng}$ и $\text{Nr} \wedge \text{Nr}$
б) в двойниках по Периклиновому, Альбит-Карлсбадскому и
Альбит-Ала В законам



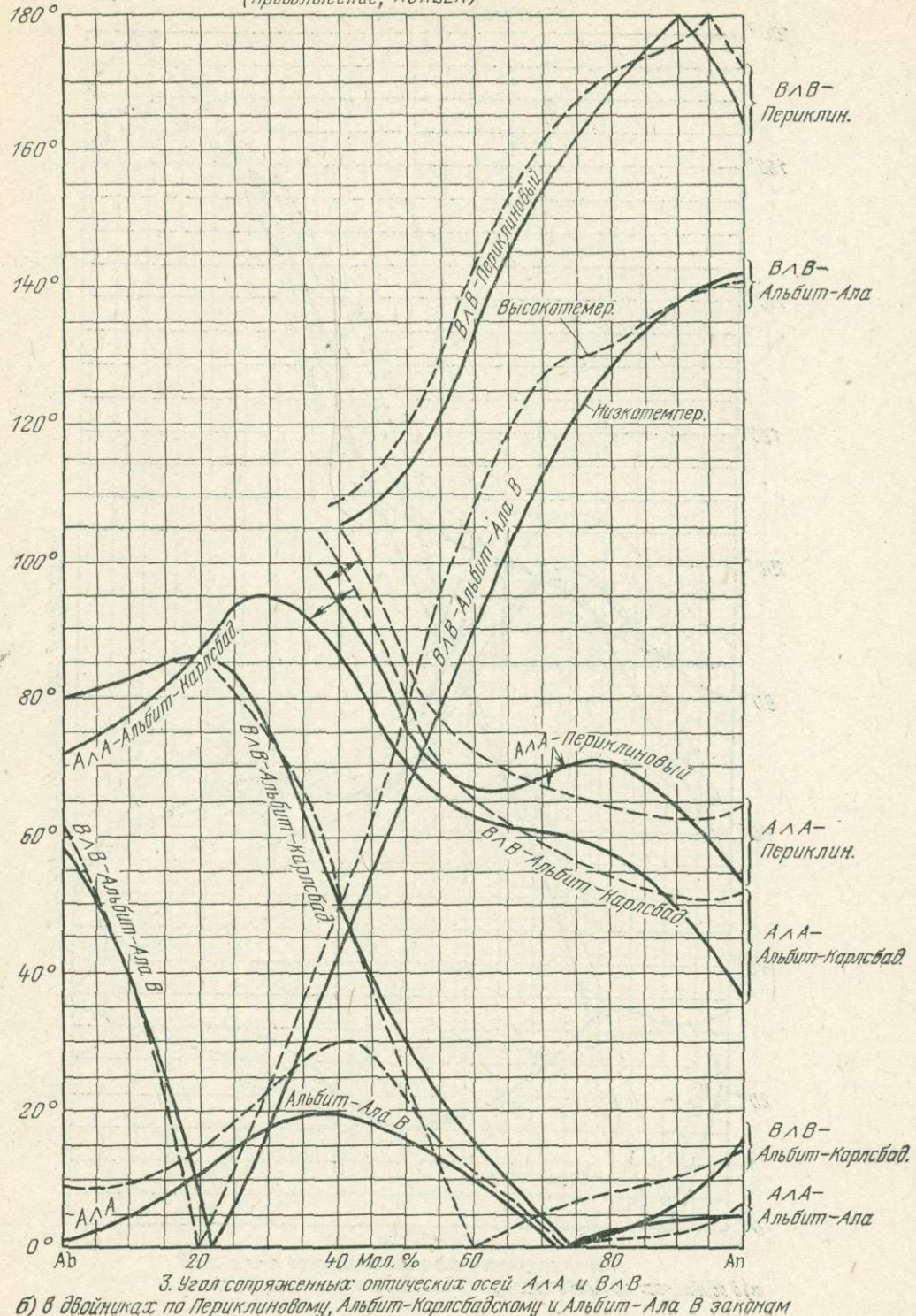
2. Угол биссектрисы $Ng_1 Ng$ и $Np_1 Np$
б) в двойниках по бавенскому правому, бавенскому левому и
манебахскому законам



3. Угол сопряженных оптических осей АЛА и ВЛВ
в двойниках по Альбитовому, Карлсбадскому и Ала законам

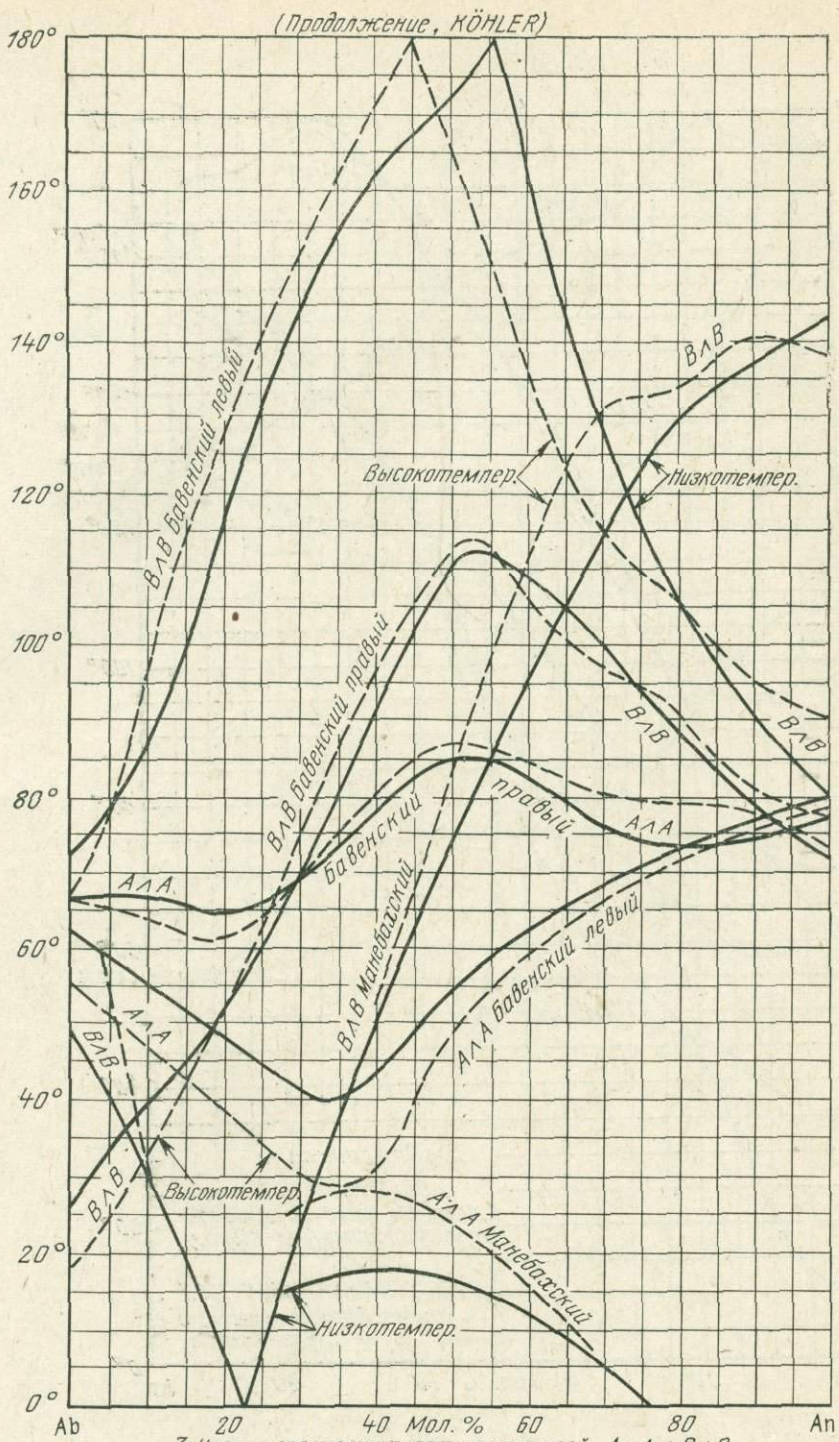
Zur Erläuterung Lese man: A. KÖHLER

(продолжение, KÖHLER)

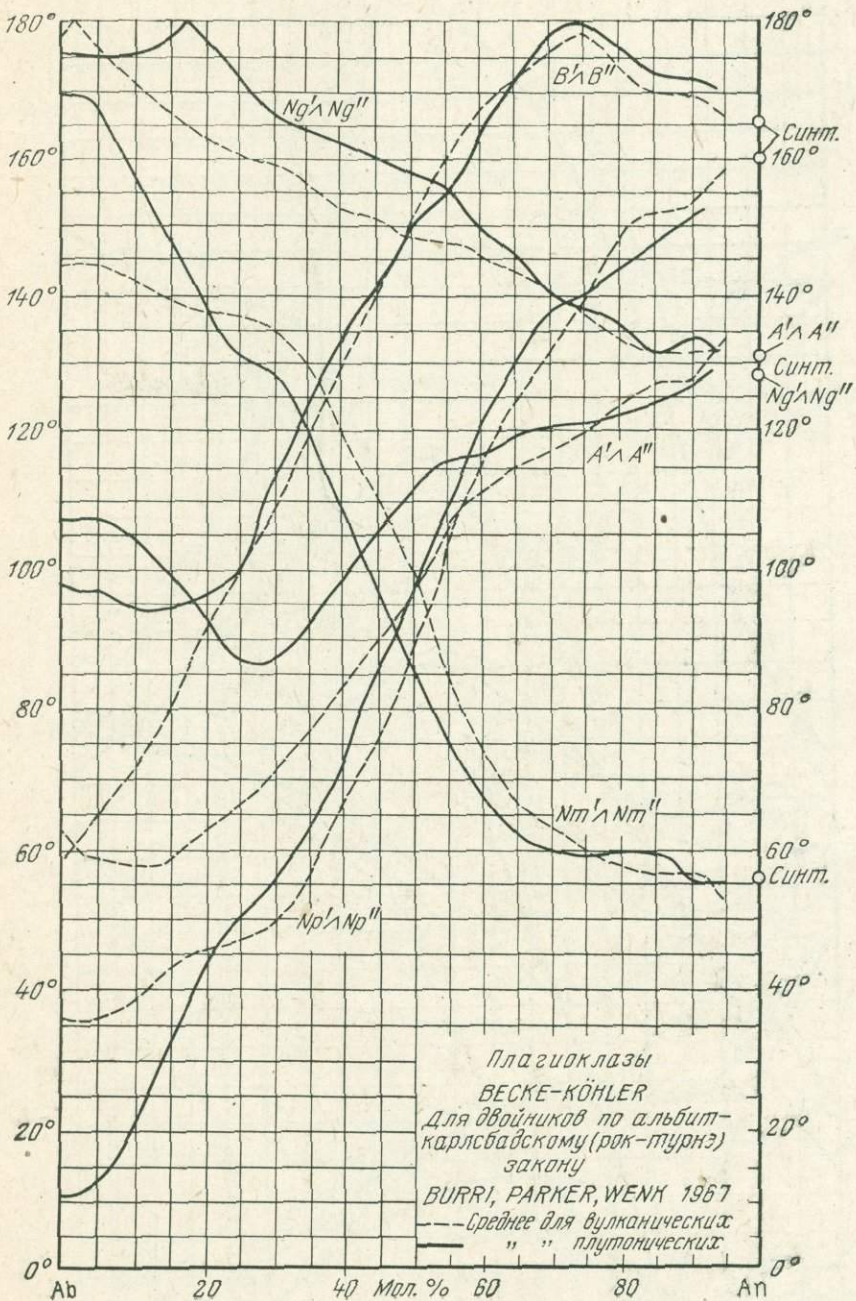


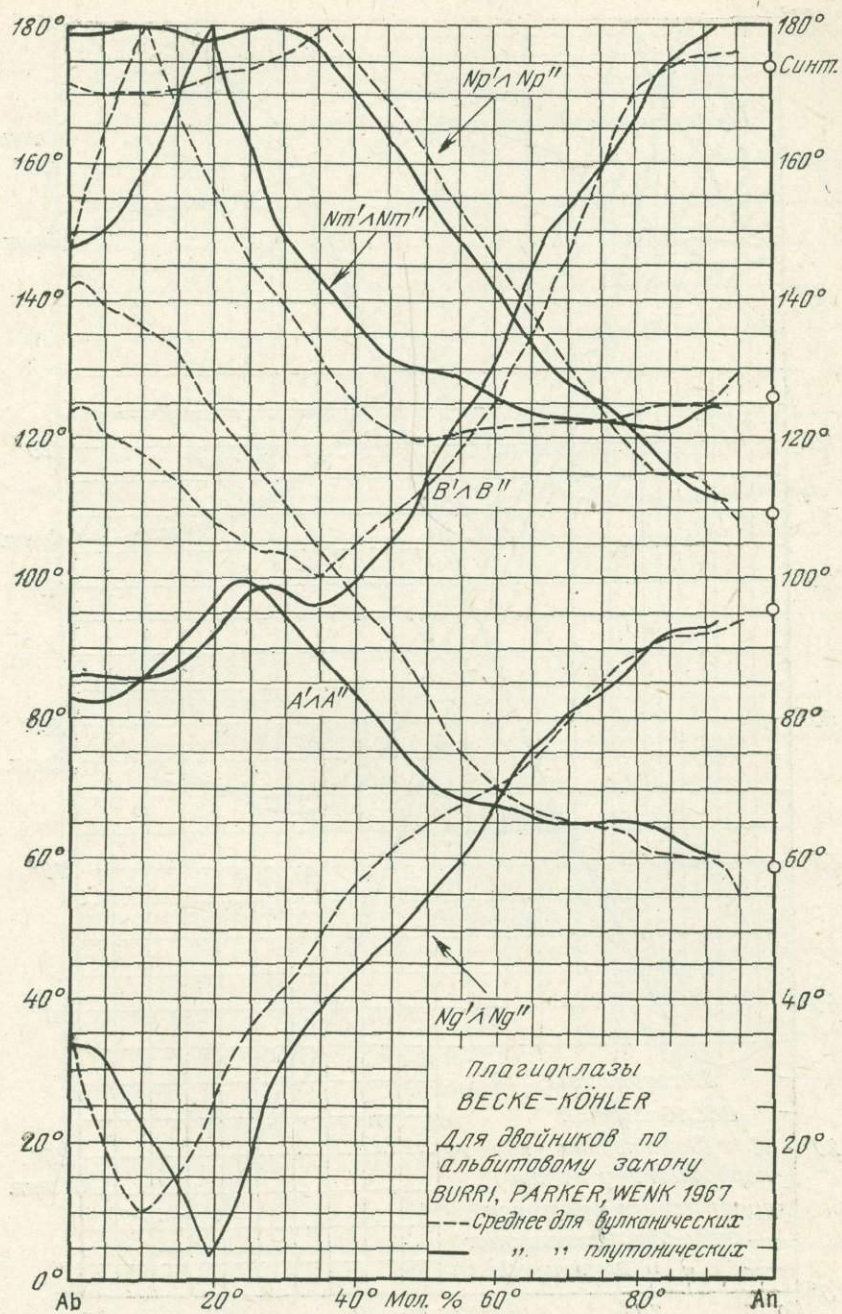
З. Угол сопряженных оптических осей Алла и ВЛВ-

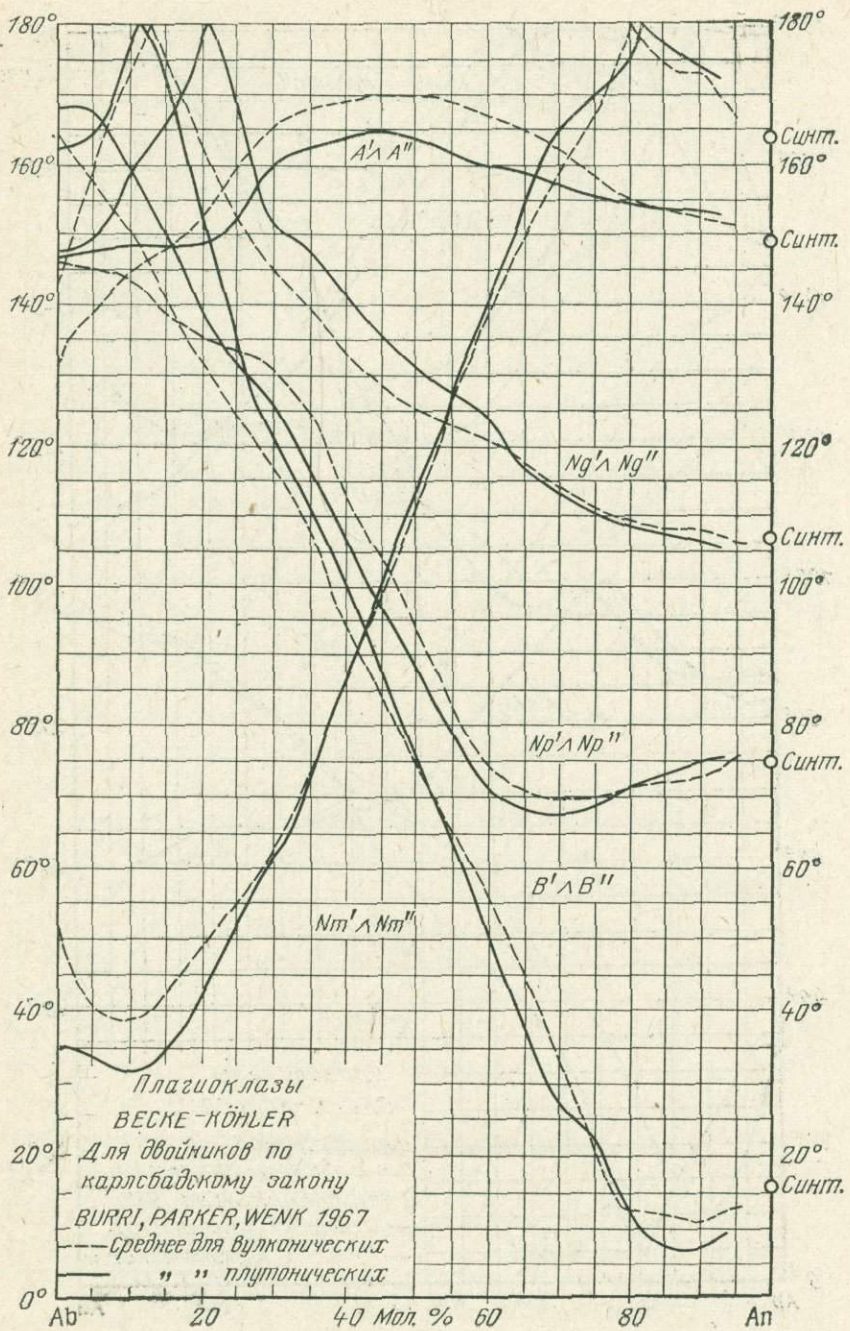
б) в двойниках по Периклиновому, Альбит-Карлсбадскому и Альбит-Ала В законам

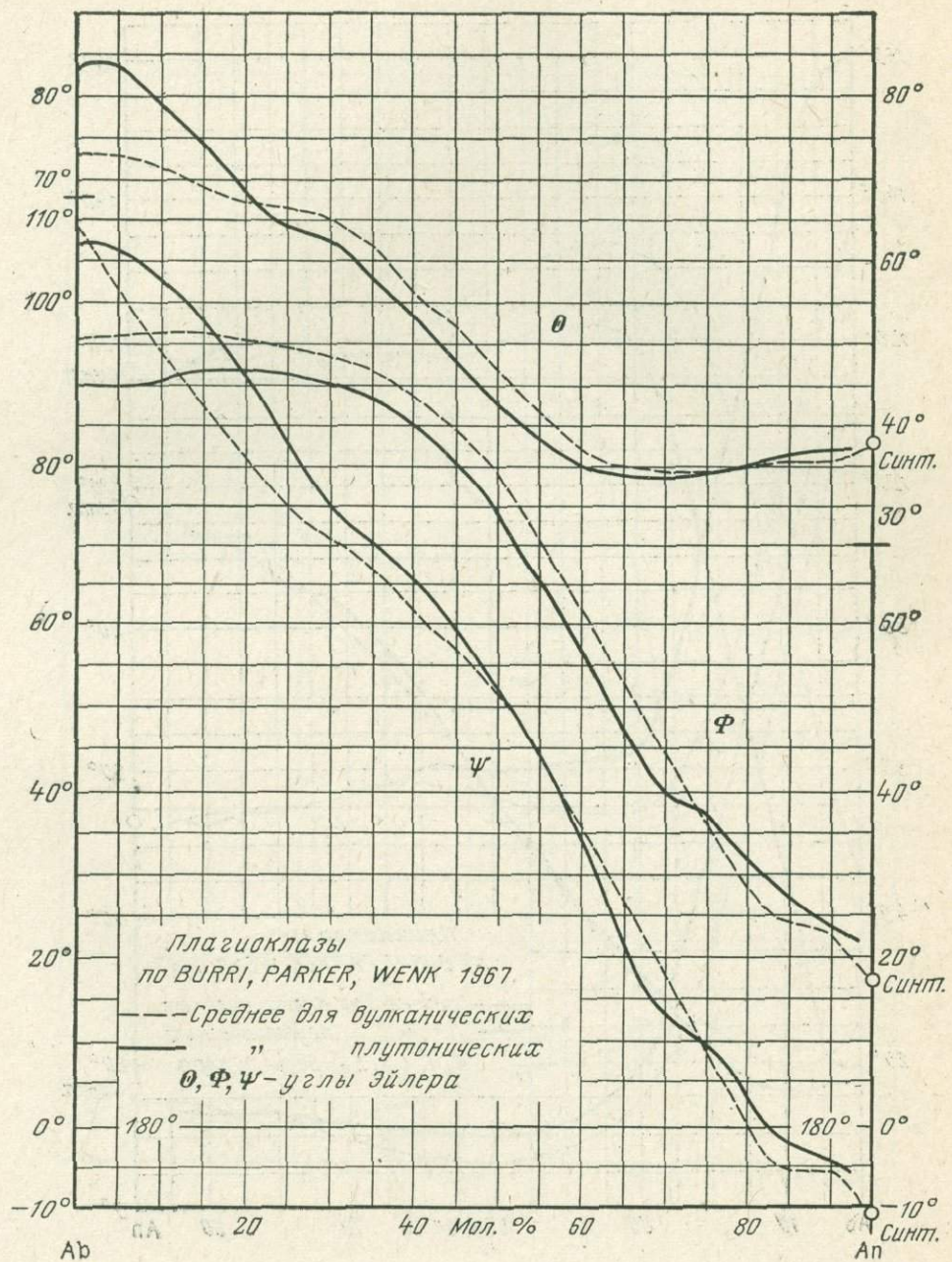


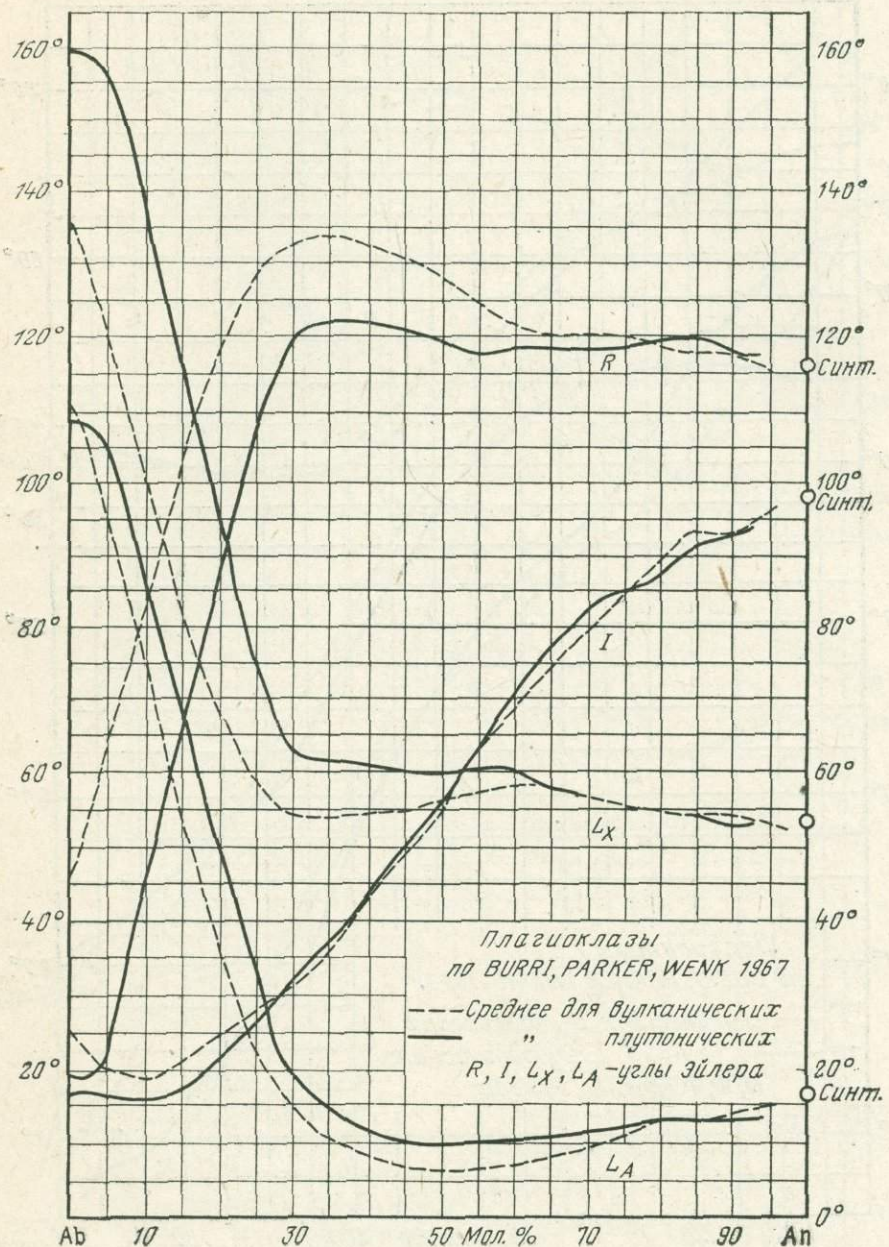
3. Угол сопряженных оптических осей $\text{A}1\text{A}$ и $\text{B}1\text{B}$
в двойниках по бавенскому правому, бавенскому левому и Манебахскому законам

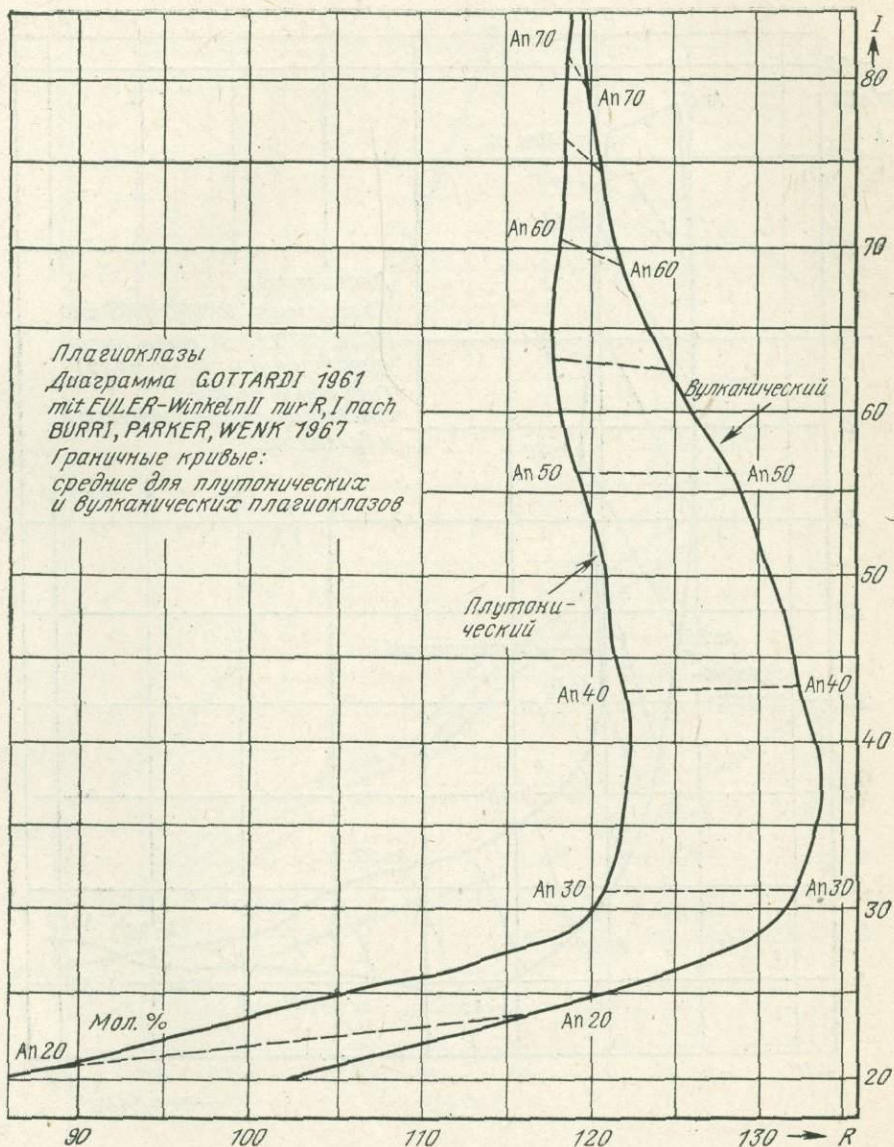


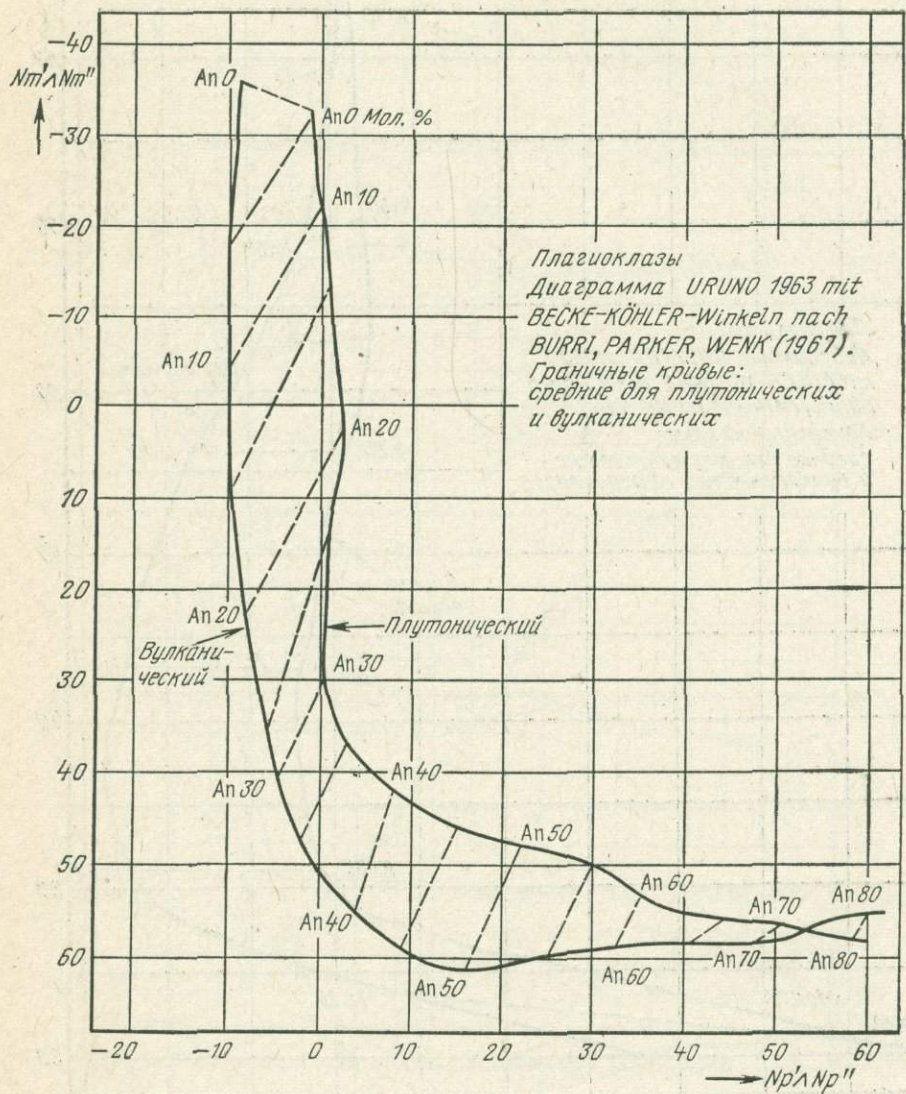


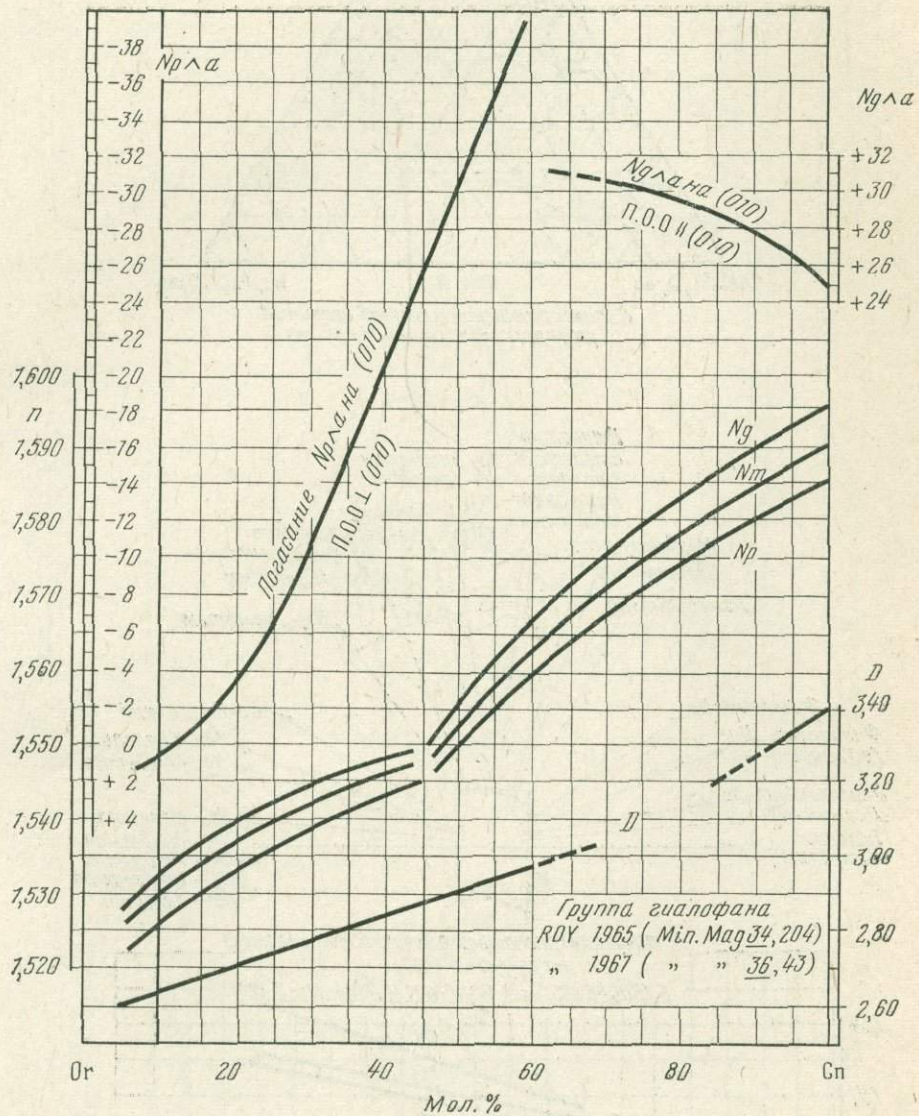


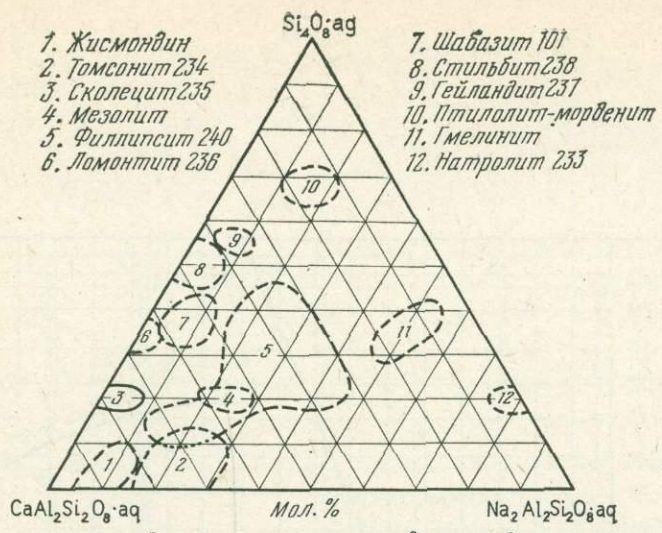




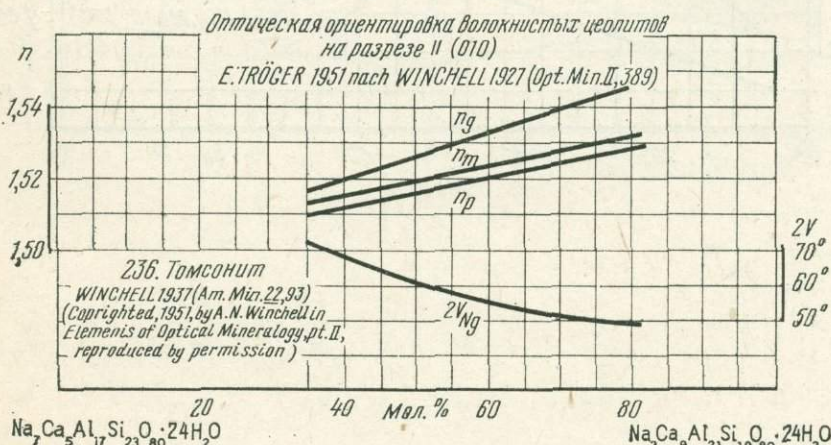
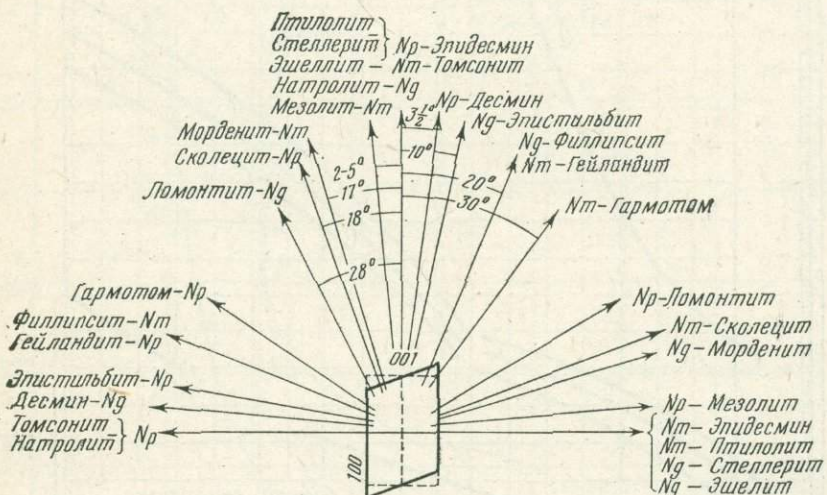


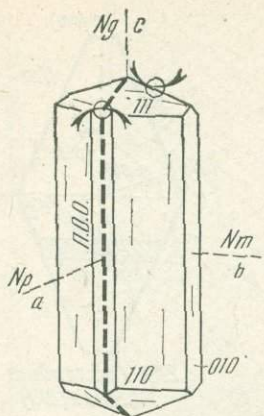




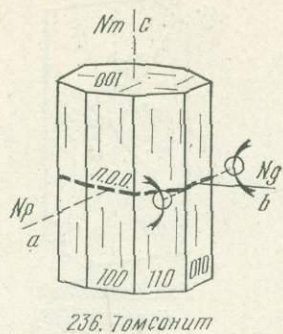


Взаимоотношения и состав цеолитов
WINCHELL 1937 (Am. Min. 22, 90-92)

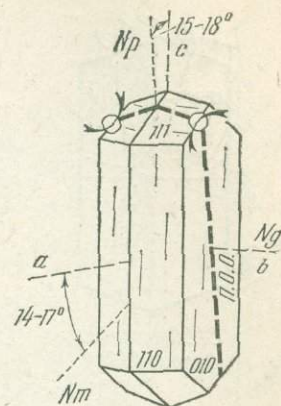




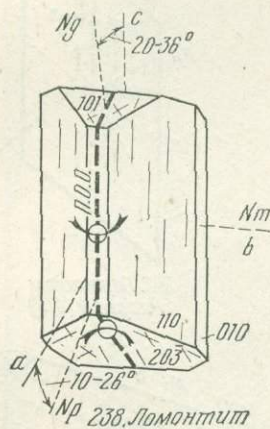
235. Натролит



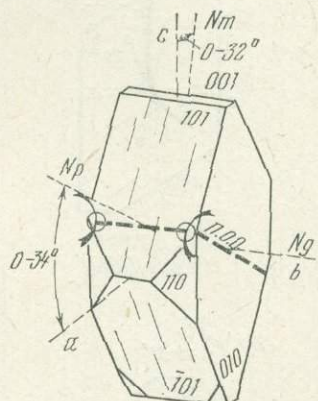
236. Томсонит



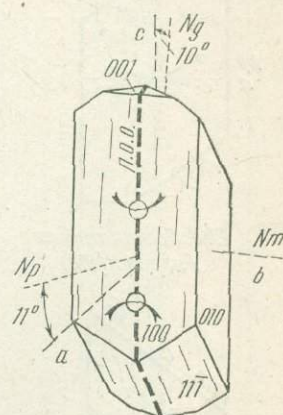
237. Скальцит



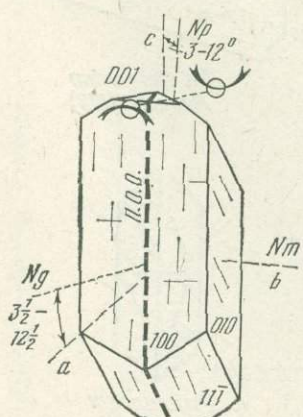
238. Леонардит



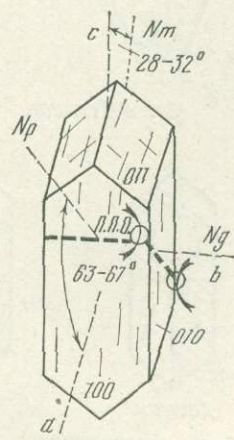
239. Гейлендит



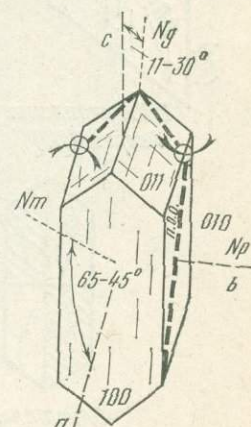
240. Эпидотильбит



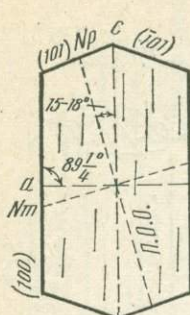
241. Десмин



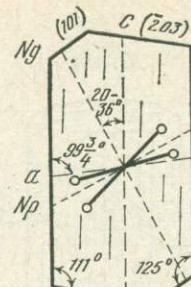
242. Гармотом



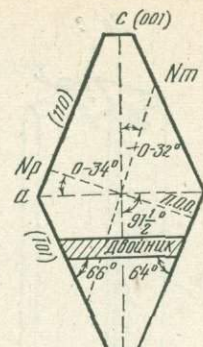
243. Филлипсит



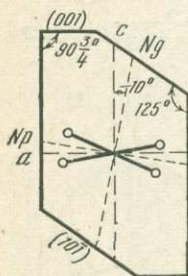
**237. Сколецит
Разрез II (010)**



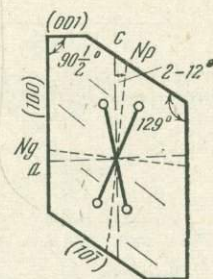
238. Ломонтиш Разрез II(010)



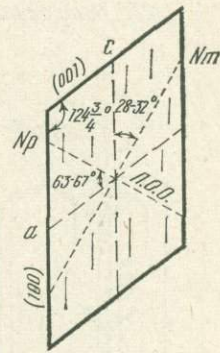
239. Гейландит
Разрез II(010)



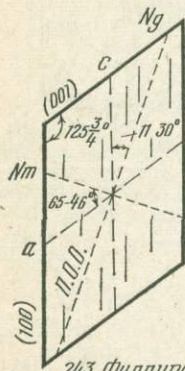
240. Эпистильбум
Разрез II(010)



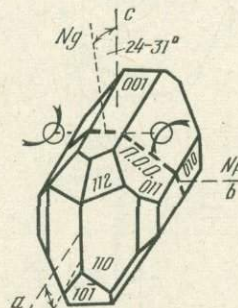
241. Десмин
Разрез II (010)



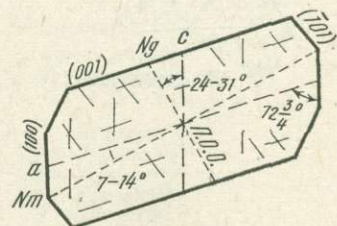
**242. Гармотам
Рэзрэз II (010)**



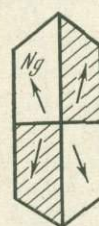
243. Филлипсит
Разрез II (010)



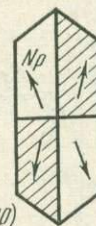
244. Вебеллит



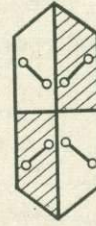
**244. Вебеллит
Разрез II(010)**



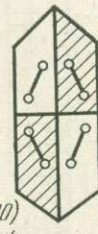
Эпистоля



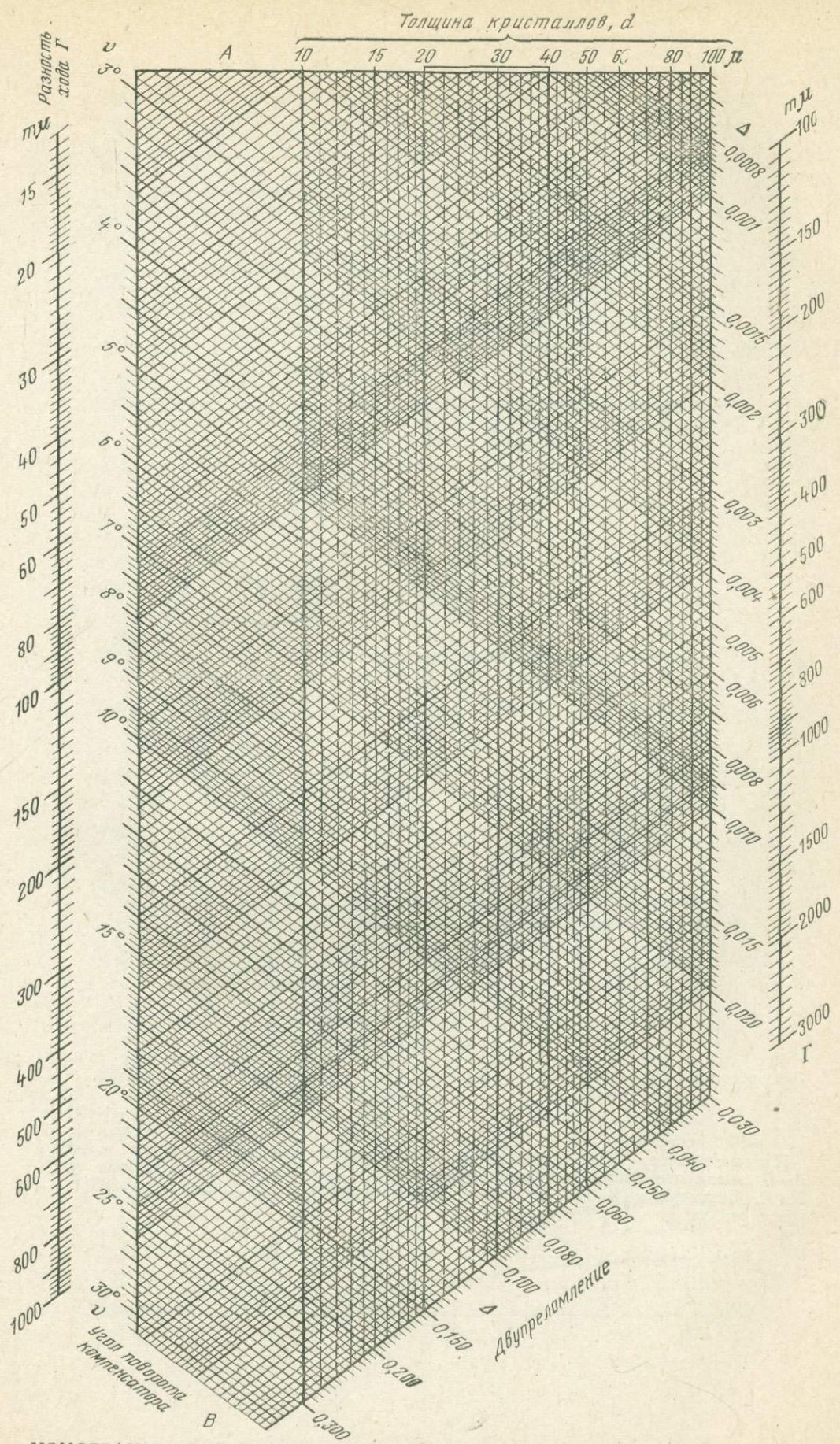
Десмин



n.o.o.ii(010)



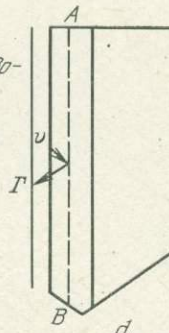
240-243. Двойники и оптическая ориентировка в них
Разрез II (010)



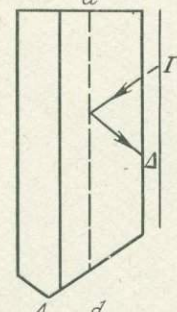
НОМОГРАММЫ ДЛЯ ОПРЕДЕЛЕНИЯ ЗНАЧЕНИЙ ОПТИЧЕСКИХ РАЗГРАНИЧЕНИЙ

Двупреломление
 Номограмма TROGER 1951
 по схеме Петрова (PETROV 1940)
(Изв. АН СССР. Серия геол., 1940, №2, с. 151)
Графическое решение следующих 3 задач:

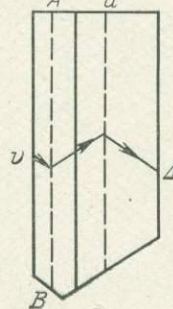
1) Определение разности хода Γ для угла поворота u компенсатора Берека



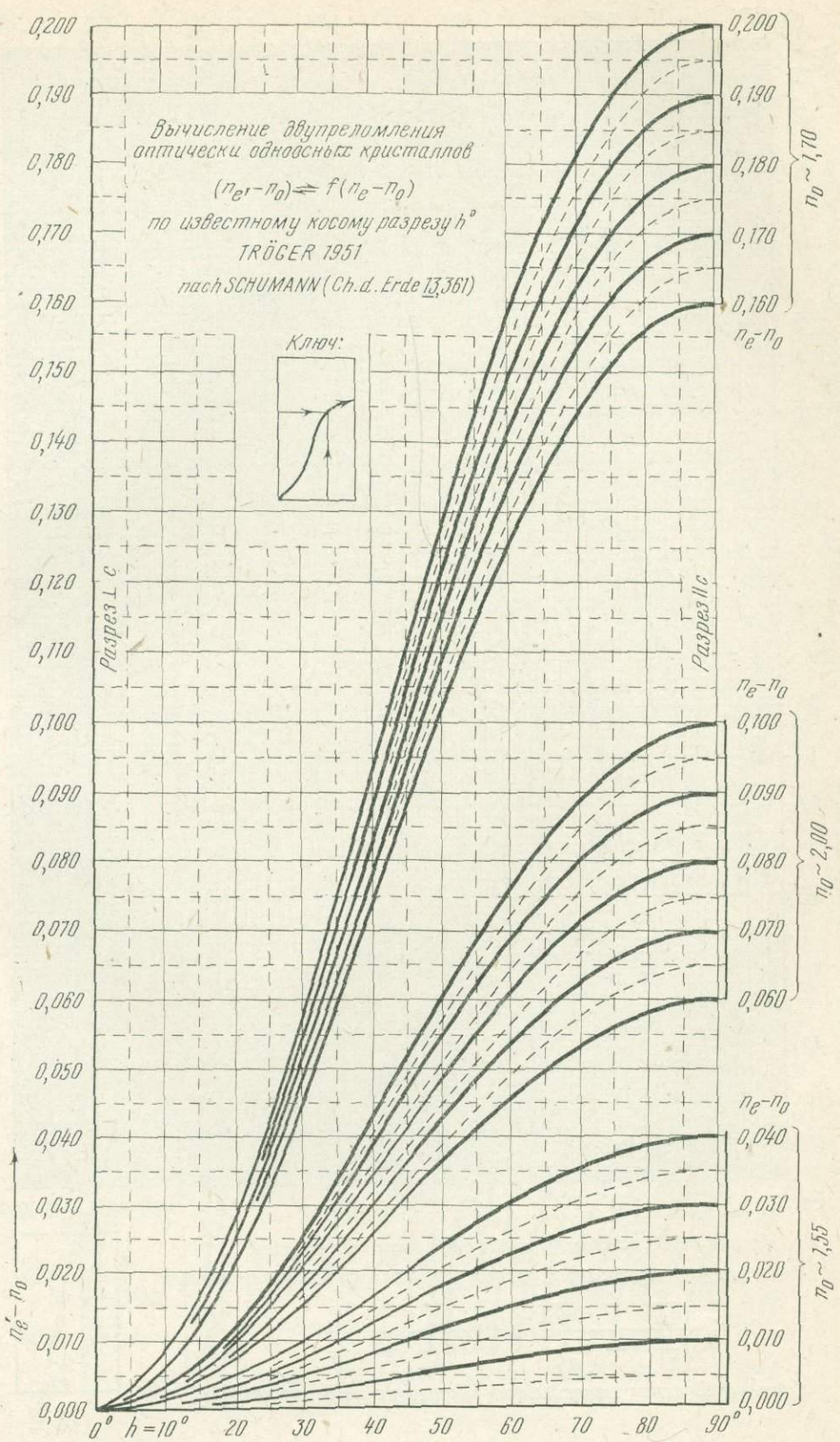
2) Определение отношения между разностью хода Γ , толщиной препарата d и двупреломлением Δ кристаллов

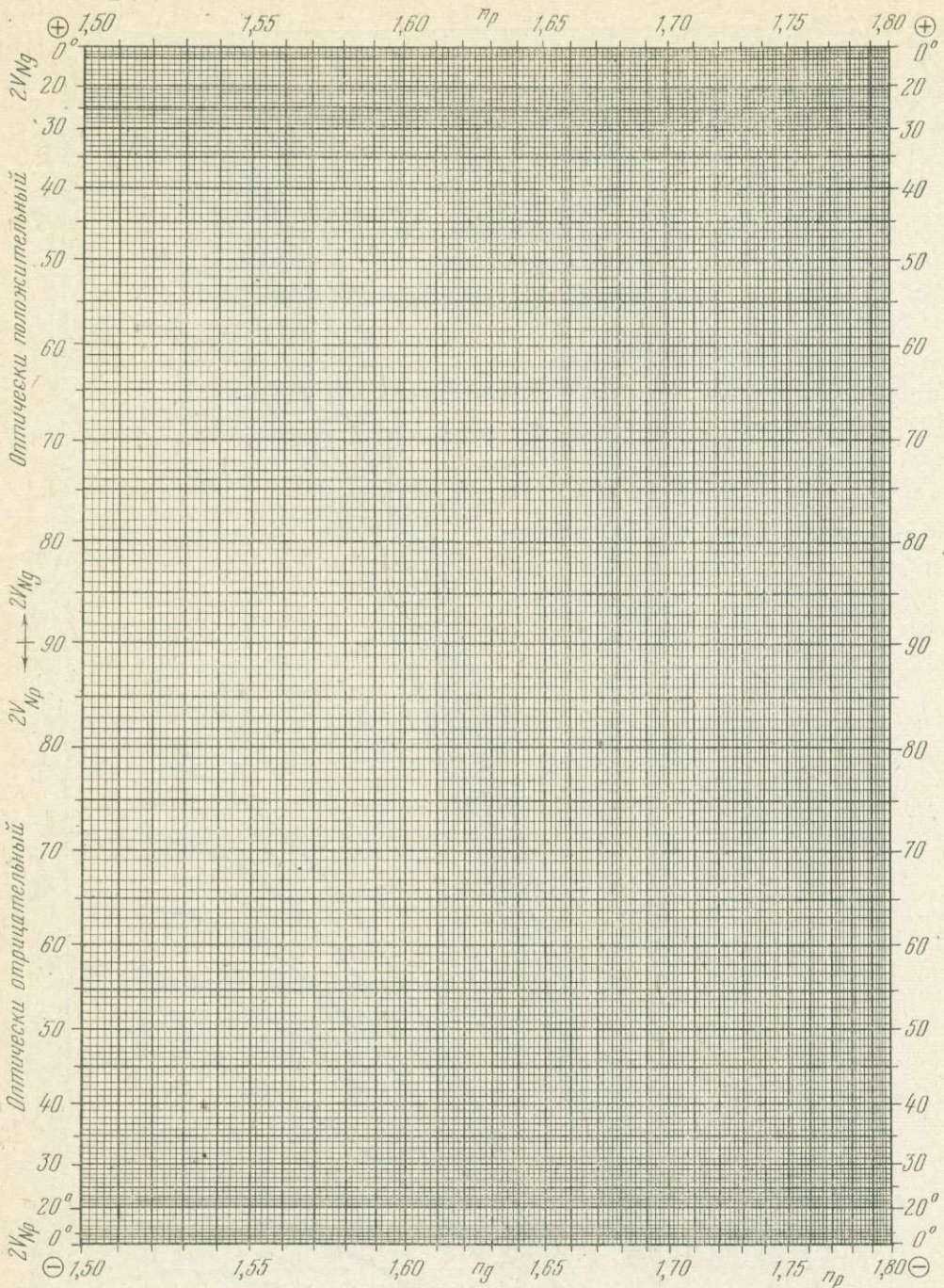


3) Определение двупреломления Δ , непосредственно по углу поворота u компенсатора Берека, при известной толщине шлифа



Примечание. При использовании компенсатора напечите «основную линию» $A-B$, положение которой должно быть вычислено для каждого компенсатора (см. Д. С. Белянкин и В. П. Петров. Кристаллоптика. М., Госгеолиздат, 1951) — Прим. ред.



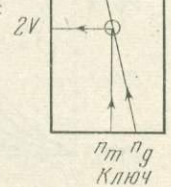


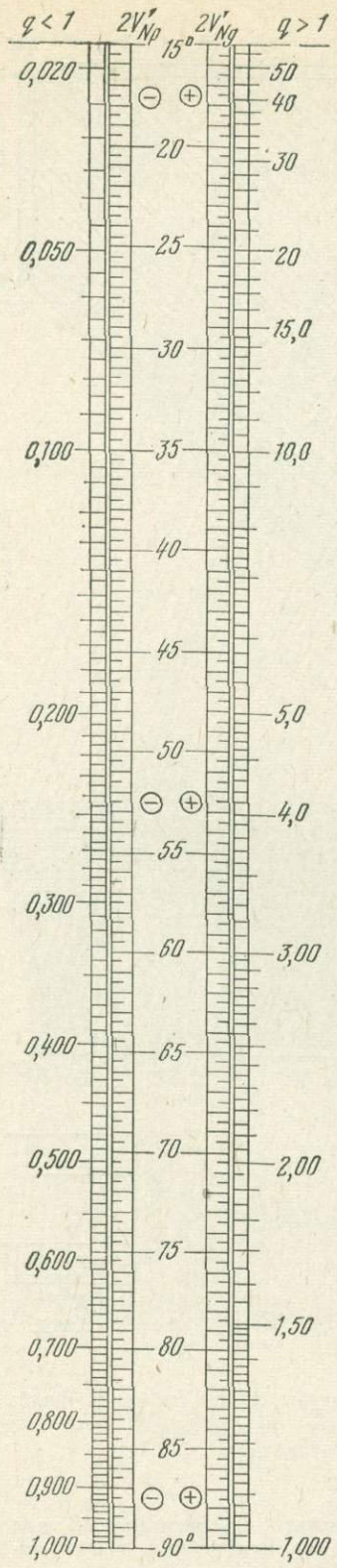
Показатель преломления и угол оптических осей

Номограмма Мерти 1942 (Атт. Min. 27542) для определения уравнения:

$$\sin^2 V_{Np} = \frac{\frac{1}{n_m^2} - \frac{1}{n_g^2}}{\frac{1}{n_p^2} - \frac{1}{n_g^2}} \quad \sin^2 V_{Ng} = \frac{\frac{1}{n_p^2} - \frac{1}{n_m^2}}{\frac{1}{n_p^2} - \frac{1}{n_g^2}}$$

(Для определения накладывать прозрачную миллиметровку!)





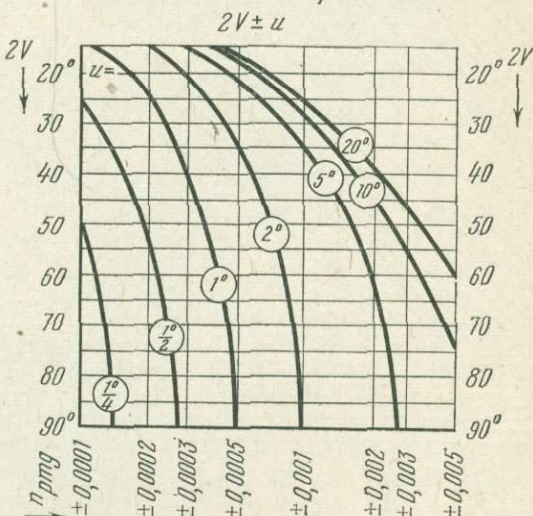
Двупреломление
и угол оптических осей

Номограмма Трёгера, (Heidelb. Beitr. 1952, J. 44)
из приближенной формулы Малляра:

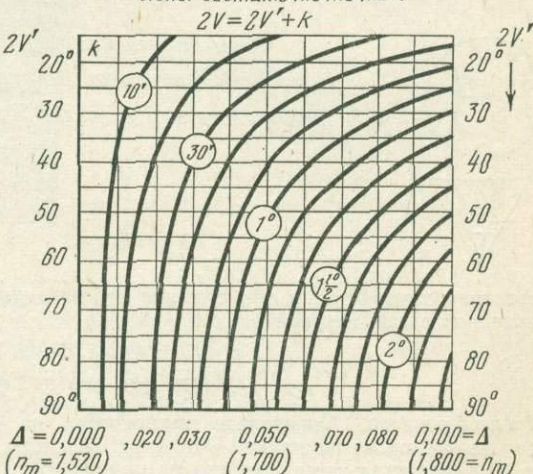
$$\operatorname{tg}^2 V' = \frac{n_g - n_p}{n_m - n_p}$$

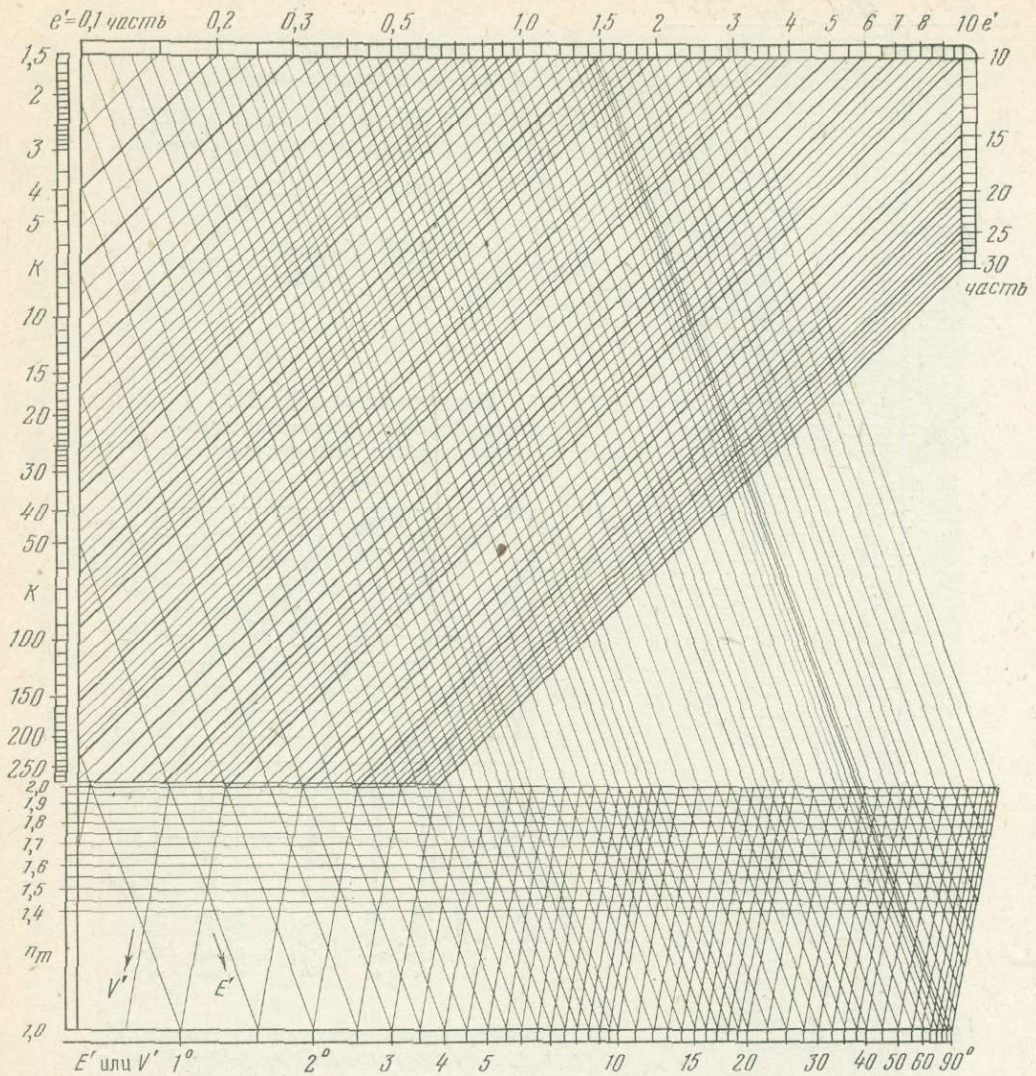
Пример: $\left\{ \begin{array}{l} n_g = 1,5296 \\ n_m = 1,5226 \\ n_p = 1,5205 \end{array} \right. \begin{array}{l} \nearrow +0,0070 \\ \nearrow -0,0021 \end{array} = 3,333 = q$

Вероятная ошибка $2V$,
обусловленная неточностью опре-
деления показателя преломления

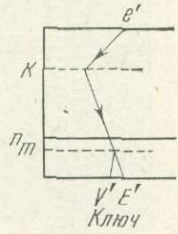
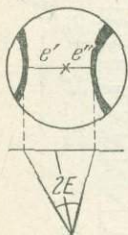


Поправка к приближенным значениям $2V'$
(только в том случае когда n_g , n_m и n_p опреде-
лены достаточно точно!)





Углы оптических осей
на консюпорических фигурах,
Номограмма из В. Винчелла (Ат. Min. 1946, № 44)

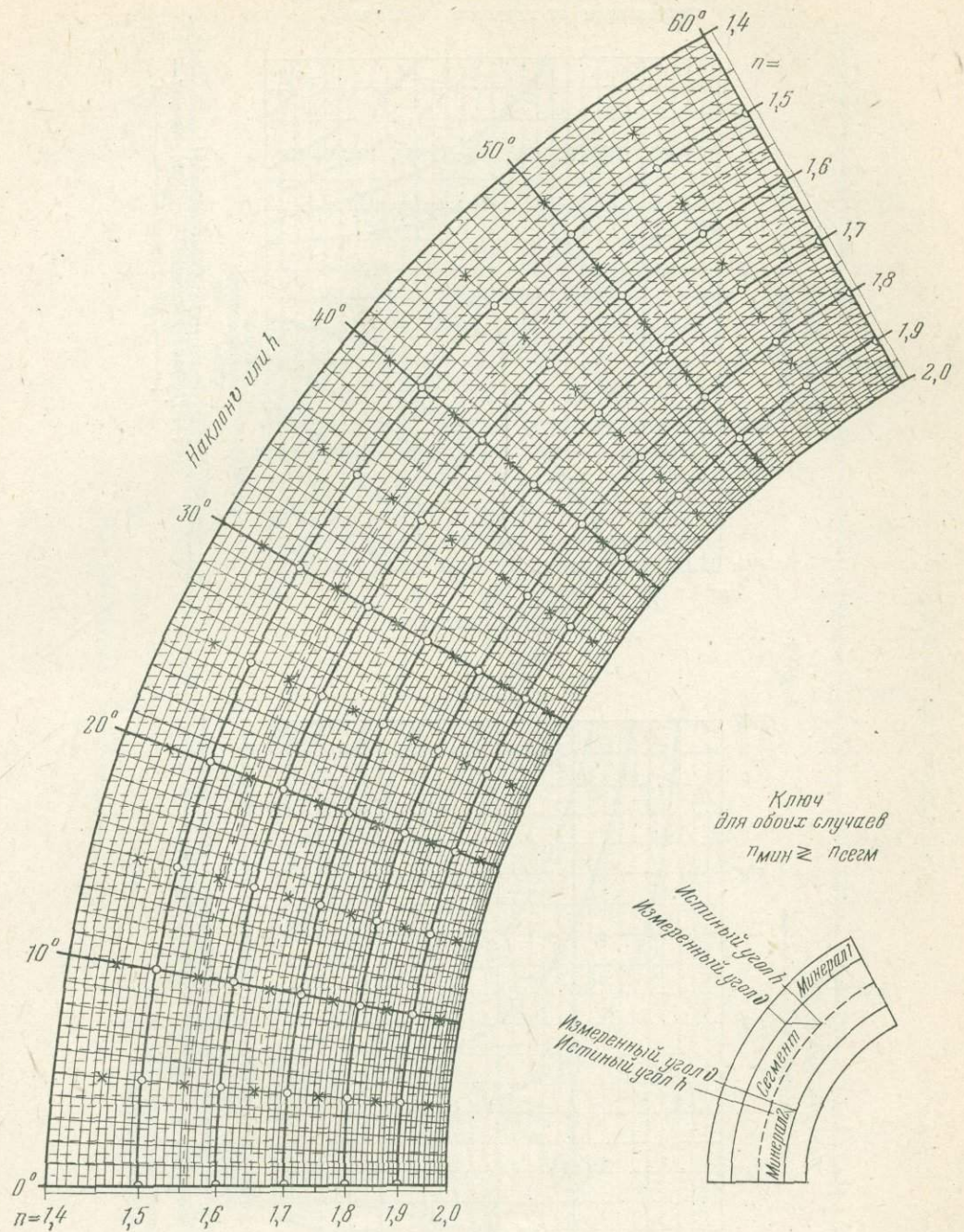


Расстояние измеряется в обе стороны от середины фигуры, чтобы избежать ошибки, связанный с асимметрией

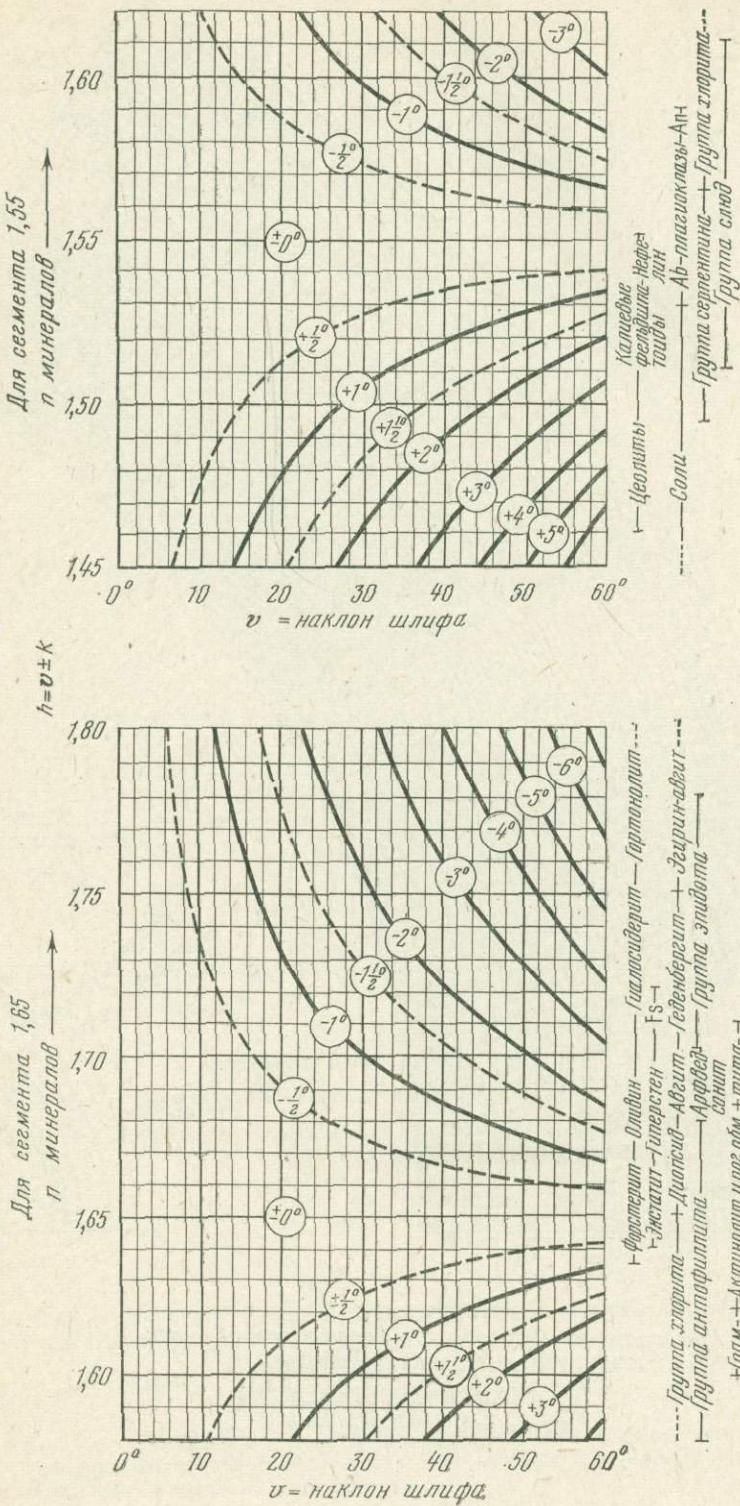
$$e' = K \sin E' = n_m K \sin V',$$

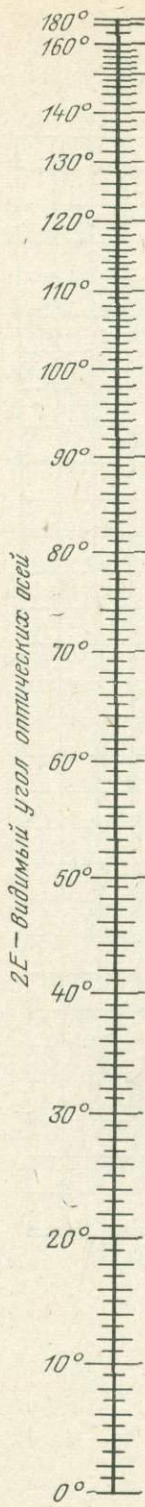
$$E' + E'' = 2E; \quad V' + V'' = 2V.$$

Калибровка. Определите эмпирически на препарате с известным $2E$ или на столике Федорова константы Молляра (K) для нужных комбинаций линз и нарисуйте их горизонтальными линиями на номограмму.



Номограмма Трёгера (Zbl. Min. 1939 A, 179)
для определения поправок к углам наклона,
полученным на столике Фёдорова





Поправки для углов оптических осей

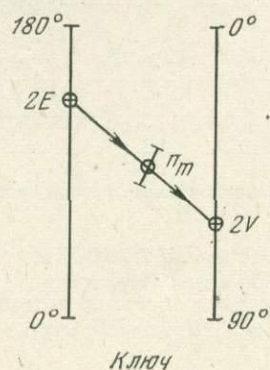
Номограмма для уравнения:

$$\sin E = \eta_m \sin V$$

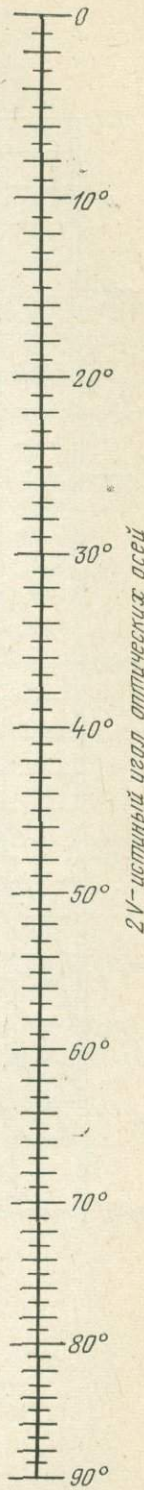
MERTIE (Amer. Min. 27, 545)



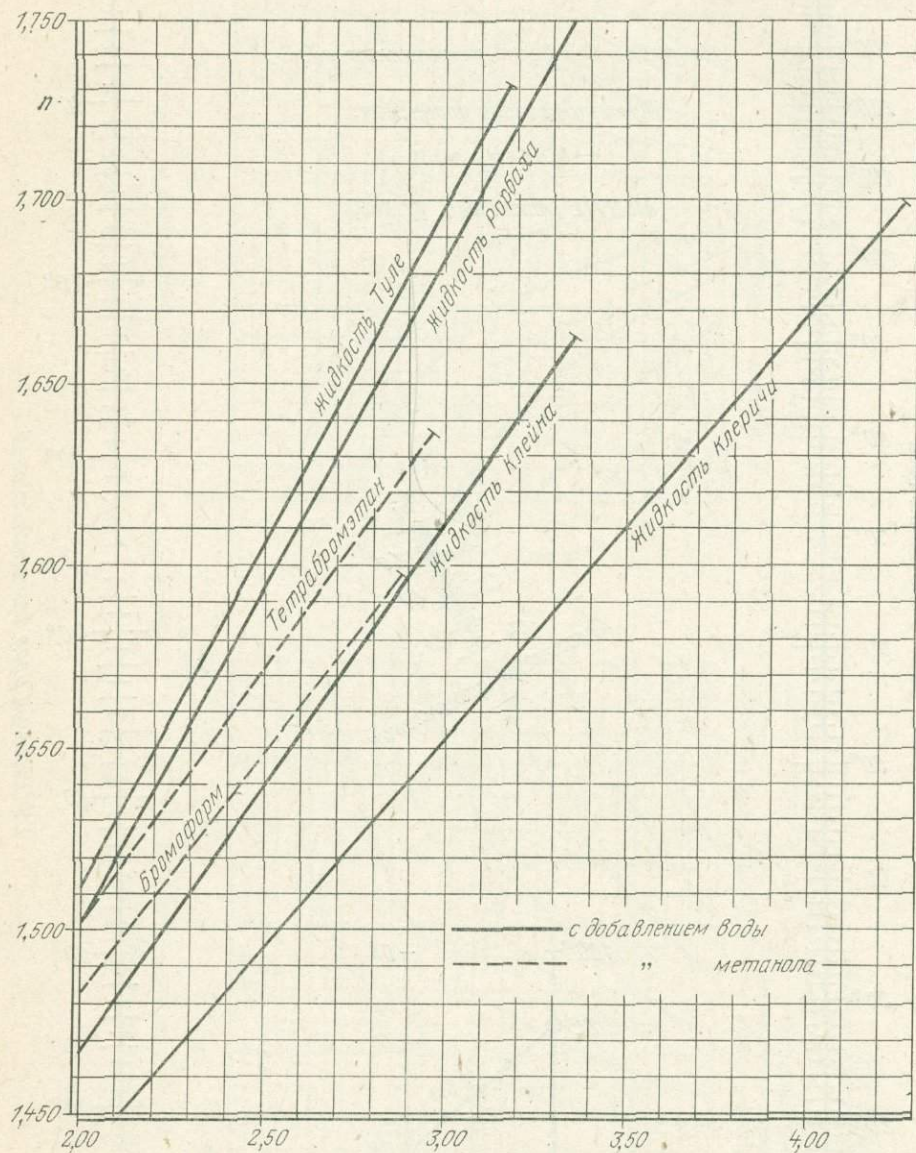
Показатель преломления



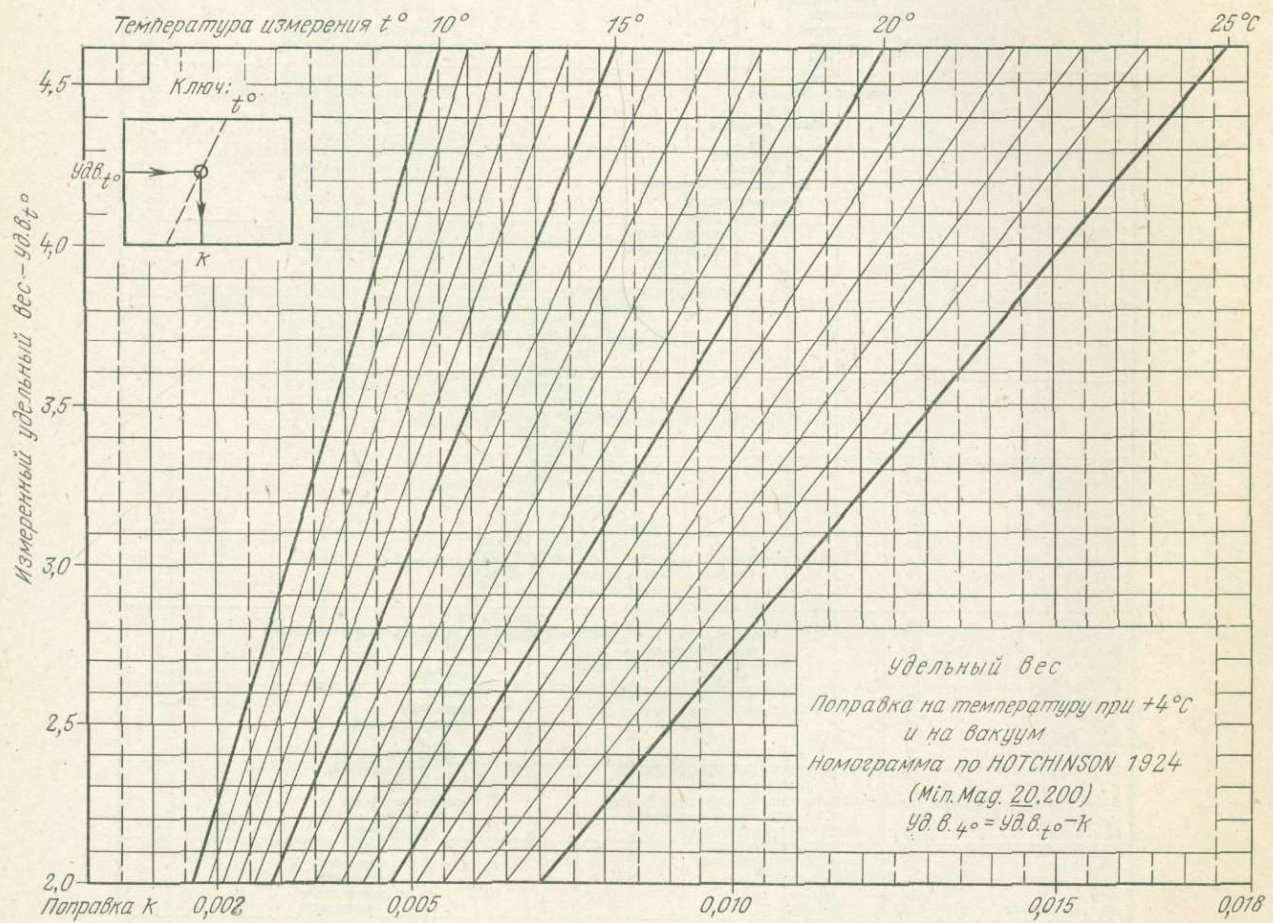
Клин



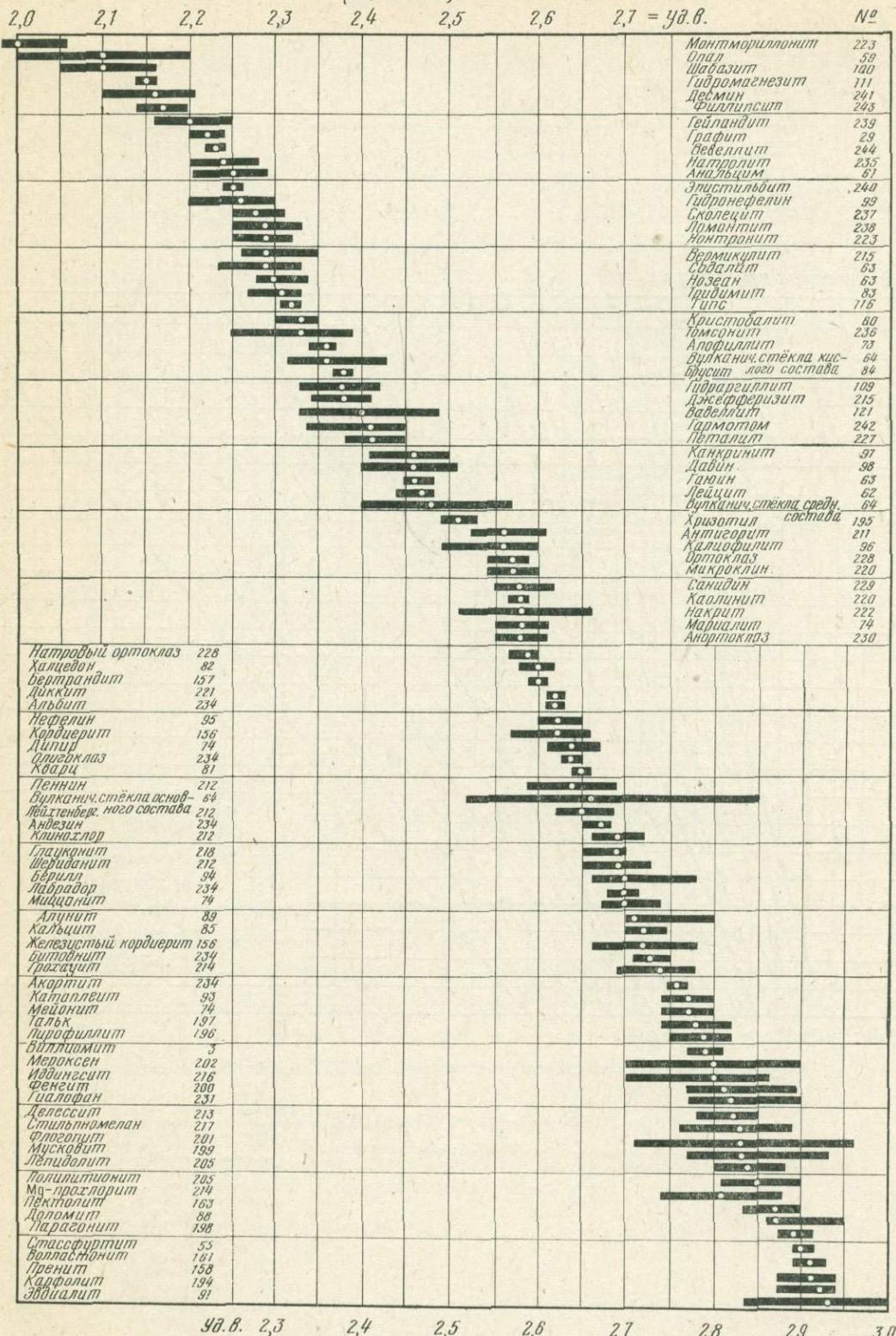
$2V$ —целевой угол оптических осей



TRÖGER 1956 und FOSTER 1947 (Amer. Min. 32, 464)
 Тяжелые жидкости
 Определение удельного веса по показателю преломления, измеренному при 20°C

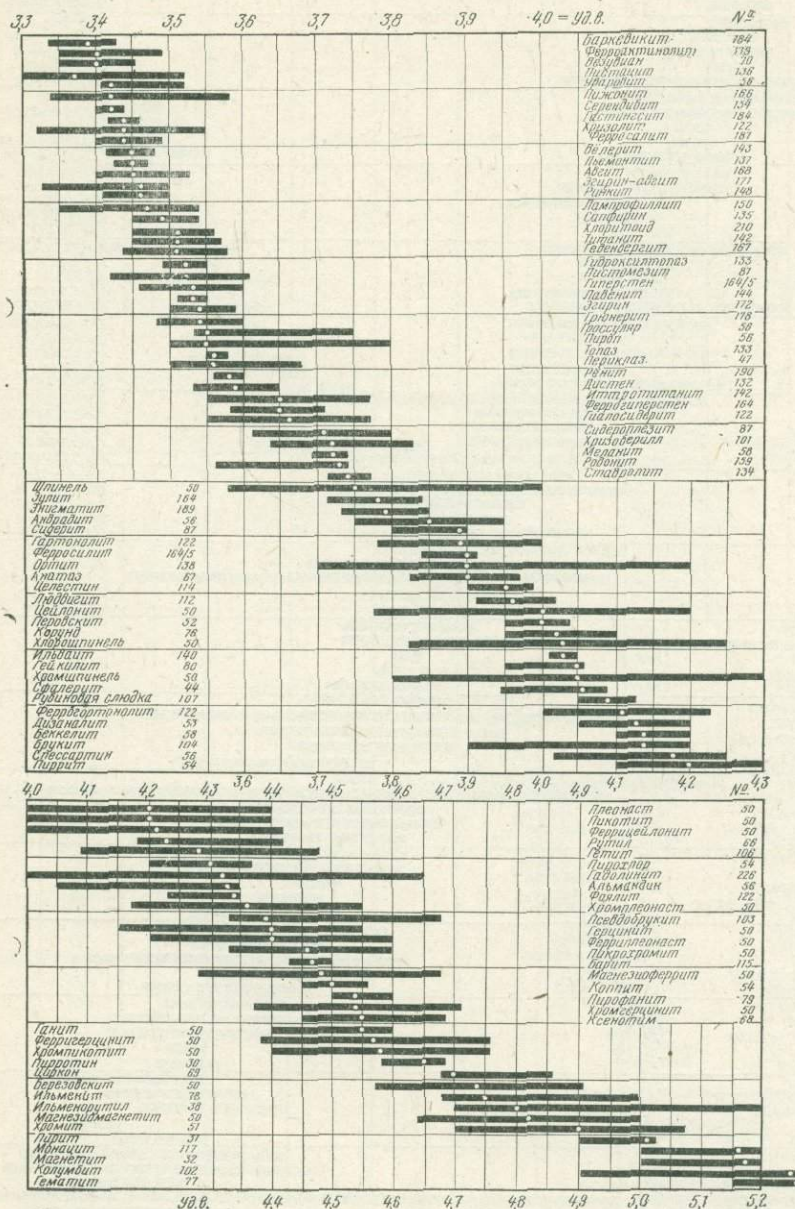


Удельный вес породообразующих минералов
(без солей)



Уд.в. 2,3 2,4 2,5 2,6 2,7 2,8 2,9 3,0

Арагонит	110
Джерманит	71
Боракит	55
Диабацит	213
Гранулит	214
Аномит	203
Ангелит	113
Мелилит	71
Магнезит	86
Циннвалдит	206
Протоплацицит	207
Каолит	46
Гранатобибит	155
Рихтерит	180
Ланберит	224
Латолит	225
Виолит	202
Мозандрит	149
Сперрит	128
Мелифанит	72
Грамматит	179
Монтеоразит	120
Маргарит	208
Монтичеллит	123
Купферит	178
Гленит	71
Афросидерит	214
Гишинт	57
Ларвит	91
Эльбант	91
Анкерит	88
Эккорманит	163
Амбигонит	180
Лазулит	119
Лаборит	141
Бодонит	204
Антафиллит	176
Клинтонит	176
Глаукофан	181
Баеверит	118
Лепидомелан	202
Карингтин	188
Брейнерит	86
Андалузит	130
Мерлинит	128
Гадросит	186
Горингит	214
Шерл	31
Актинолит	179
Керсунит	185
Слоупмен	175
Алатит	90
Магнезиогастингсит	184
Гаинит	146
Флюорит	45
Мульит	192
Клиновумит	126
Шамозит	219
Фитомарит	183
Кроосит	181
Фростерит	122
Бирюзин	131
Роговая обманка	187
Хондродит	124
Джебиструпит	149
Энстатит	184/5
Сингмагматит	185
Гумит	125
Силлиманит	191
Титаноклиногумит	221
Диоресид	167
Уваровит	145
Фассаит	169
Жадррит	171
Сидерофиллит	202
Корнеруцин	153
Бабаубанит	181
Аксинит	152
Диомортебибит	193
Розенбушит	147
Омфацит	173
Известь	1,49
Мg-арфведсонит	183
Клинифлюорит	136
Цирцит	139
Жадеит	174
Бустамит	162
Мезитит	86
Призматит	153
Фитит изоморфный	138
Астрофиллит	151
Браунит	164
Силлит	161
Анапсидизированный авгит	188
Гуттанс-авгит	170
Куммингстонит	178
Диаспор	108
Бабингтонит	160
Цельзиан	232
Рибекит+ юданит	182
Арфведсонит	183
Сапитозиоморф. авгит	168



ДИСПЕРСИЯ СВЕТОПРЕЛОМЛЕНИЯ (ПОКАЗАТЕЛИ ПРЕЛОМЛЕНИЯ) ПОРОДООБРАЗУЮЩИХ МИНЕРАЛОВ

(заимствовано из таблиц в Am. Mineral., 14, 128, 1929) $n_D = n_o$ для одноосных минералов,
 n_m для двуосных минералов

Минерал	n_D	$n_F - n_C \sim 0,011 \pm 0,5$	Клиноцизит	1,717	
		$n_F - n_C \sim 0,004$	Пироксен	1,726	
Флюорит	1,434	Микроклин	1,522	Периклаз	1,738
		$n_F - n_C \sim 0,006 - 0,007$	Брусит	1,566	
Лед	1,309	Скалополит	1,590		$n_F - n_C \sim 0,015 \pm 0,5$
Скалополит	1,581	Турмалин	1,646	Ксенотим	1,721
Тремолит	1,618	Диопсид	1,678	Пироп	1,744
		Клиноцизит	1,715	Гроссуляр	1,744
		Дистен	1,722	Альмандин	1,796
		Хризоберилл	1,747	Спессартин	1,815
		Корунд	1,768		$n_F - n_C \sim 0,016 - 0,018$
		Спессартин	1,814	Датолит	1,649
Лейцит	1,508			Геденбергит	1,737
Канкринит	1,516	$n_F - n_C \sim 0,012 \pm 0,5$	Эпидот	1,742	
Адуляр	1,523	Вавеллит	1,526	Пироп	1,746
Гипс	1,523	Брусит	1,566	Гроссуляр	1,763
Санидин	1,521	Берилл	1,570	Монацит	1,791
Альбит	1,533	Клинохлор	1,596		$n_F - n_C \sim 0,019 - 0,021$
Нефелин	1,538	Турмалин	1,652	Гранат	1,742
Кордиерит	1,537	Силлиманит	1,660	Тефроит	1,786
Олигоклаз	1,543	Монтичеллит	1,662	Ганит	1,807
Кварц	1,544	Борацит	1,667	Спессартин	1,811
Гротит	1,544	Оlivин	1,670	Уваровит	1,838
Ангидрит	1,575	Арагонит	1,681		$n_F - n_C \sim 0,022 - 0,024$
Мусковит	1,599	Трифилин	1,688	Сидерит	1,872
Топаз	1,618	Пироп	1,705	Титанит	1,909
Мелилит	1,634	Оlivин	1,713	Циркон	1,925
Антофиллит	1,637	Шпинель	1,719		$n_F - n_C \sim 0,025 - 0,027$
		Ставролит	1,745	Муллит	1,652
		Эпидот	1,763	Эпидот	1,757
Натролит	1,479			Гроссуляр	1,771
Содалит	1,483	$n_F - n_C \sim 0,013 \pm 0,5$		Алмаз	2,418
Канкринит	1,525				$n_F - n_C \sim 0,035 \pm 3$
Анортоклаз	1,528	Галит	1,544	Акмит	1,799
Апофиллит	1,534	Скалополит	1,570	Андрадит	1,895
Нефелин	1,538	Берилл	1,582	Титанит	1,905
Кордиерит	1,546	Клинохлор	1,590	Касситерит	1,999
Андезин	1,552	Кальцит	1,658		$n_F - n_C \sim 0,080 \pm 10$
Лабрадор	1,563	Форстерит	1,659	Сера	2,038
Битовнит	1,573	Доломит	1,680	Вюрцит	2,356
Берилл	1,574	Арагонит	1,681	Сфалерит	2,368
Анортит	1,583	Аксинит	1,685		$n_F - n_C \sim 0,150 \pm 30$
Скалополит	1,587	Оlivин	1,701	Гётит	2,390
Барит	1,637	Авгит	1,704	Брукит	2,586
Турмалин	1,646	Клиноцизит	1,717	Рутил	2,616
Силлиманит	1,660	Периклаз	1,738		$n_F - n_C \sim 0,500$
		Гроссуляр	1,744	Гематит	3,220
		Пироп	1,744		
		Ставролит	1,750		
		Спессартин	1,804		
		$n_F - n_C \sim 0,014 \pm 0,5$			
Содалит	1,484				
Анортит	1,583				
Мусковит	1,587				
Турмалин	1,635				
Апатит	1,638				
Силлиманит	1,658				
Слюдмен	1,665				
Шпинель	1,721				
Диаспор	1,772				

ОПРЕДЕЛЕНИЯ МИНЕРАЛОВ НА ОРИЕНТИРОВАННЫХ РАЗРЕЗАХ С ПОМОЩЬЮ КОНОСКОПА И КОМПЕНСАТОРА

	Стр.	Стр.
I. Оптически одноосные минералы:		
а) разрез, перпендикулярный оптической оси:		
1. \oplus , 2. \ominus	194	
б) разрез, не перпендикулярный (косой) оптической оси	195	
II. Оптически двуосные минералы — разрез почти перпендикулярный плоскости оптических осей		
а) разрез, перпендикулярный острой биссектрисе		
1. Ng — острая биссектриса	195	
2. Np — острая биссектриса	195	
б) разрез, перпендикулярный тупой биссектрисе		
1. Ng — тупая биссектриса	196	
2. Np — тупая биссектриса	196	
в) разрез, перпендикулярный оптической оси	196	
III. Оптически двуосные минералы — косой разрез:		
а) острая биссектриса расположена почти симметрично		
1. Ng — острая биссектриса	197	
2. Np — острая биссектриса	197	
б) тупая биссектриса расположена почти симметрично		
1. Ng — тупая биссектриса	197	
2. Np — тупая биссектриса	198	
в) разрез, перпендикулярный оптической оси	198	
IV. Оптически двуосные минералы. Разрез, параллельный плоскости оптических осей, оптическая нормаль Nm выходит в центре		198



Гейландит	№ (239)	$n_o = 1,50$	Алунит	№ (89)	$n_o = 1,57$
Кэненит	(75)	1,52	Группа хлорита	(212/4)	1,57—1,64
Апофиллит	(73)	1,54	Эвдиалит	(92)	1,61
Бруцит	(84)	1,56	Группа мелилита	(71)	1,63—1,65
			Безувиан	(70)	1,70—1,73



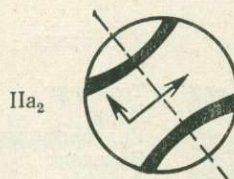
Анальцим	№ (61)	$n_o = 1,49 \frac{1}{2}$	Эвколит	№ (92)	$n_o = 1,61$
Группа канкринита	(97)	1,49—1,52	Мелинофан	(72)	1,61
Калиофиллит	(96)	1,53	Мелилит	(71)	1,63—1,64
Апофиллит	(73)	1,54	Стильпномелан	(217)	1,57—1,73
Нефелин	(95)	1,53—1,55	Апатит	(90)	1,63—1,67
Берилл	(94)	1,56—1,59	Геленит	(71)	1,65—1,67
Флогопит	(201)	1,56—1,60	Лепидомелан	(202)	1,63—1,69
Тальк	(197)	1,59—1,60	Аннит	(202)	1,68—1,73
Группа хлорита	(212/4)	1,57—1,64	Безувиан	(70)	1,70—1,73
Мероксен	(202)	1,59—1,63	Корунд	(76)	1,76—1,77
Протолитионит	(207)	1,58—1,64	Анатаз	(67)	2,56
			Гематит	(77)	3,22



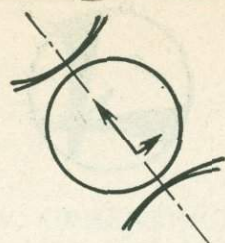
Гидрагиллит	№ (109)	$n_e' - n_o = 0,001$	$\rho = 21^\circ \oplus$	Анатаз	№ (67)	$n_e' - n_o = 0,053$	$\rho = 68^\circ \ominus$
Шабазит(Хабазит)	(100)	0,001—0,003	51°30' \ominus	Кальцит	(85)	0,091	44°30' \ominus
Корунд	(76)	0,006	57°30' \ominus	Доломит	(88)	0,094	44' \ominus
Пижонит	(166)	0,010	55° \oplus	Магнезит	(86)	0,098	43°30' \ominus
Алунит	(89)	0,013	55°30' \oplus	Сидерит	(87)	0,122	43°30' \ominus
Кальцит	(85)	0,039	26° \ominus	Рутил	(66)	0,119	42 \oplus



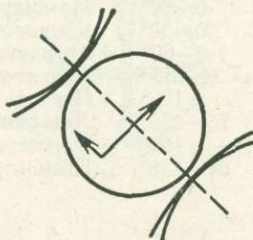
Тридимит	№ (83)	$n_m - n_p = 0,001$	$2E = 53^\circ$	Гидромагнезит	№ (111)	$n_m - n_p = 0,004$	$2E = 84^\circ$
Апофиллит	(73)	0,002	0—20°	Мозандрит	(149)	0,004	130°
Брукит	(104)	0,001—0,003	20—30°	Клиноциозит	(136)	0,003—0,006	>120°
Группа хлорита	(212/4)	0,000—0,004	0—80°	Ангидрит	(113)	0,005—0,006	68°
Томсонит	(236)	0,002	74—88°	Цоизит- α , β	(139)	0,007	52—>180°
Гармотом	(242)	0,002—0,003	160°	Пренит	(158)	0,006—0,011	120—132°
Топаз	(133)	0,002—0,003	73—125°	Лавсонит	(141)	0,009	>180°
Арфведсонит	(183)	0,003	90—>180°	Форстерит	(122)	0,015—0,020	>180°
Хлоритоид	(210)	0,003	64—130°	Пьемонтит	(137)	0,017—0,033	140—>180°



Анальцим	№ (61)	$n_g - n_m = 0,000$	$2E = 0—10^\circ$	Циннвальдит	№ (206)	$n_g - n_m =$	$2E = 16—60^\circ$
Анатаз	(67)	0,000	0—10°			0,002—0,003	
Вермикулит	(215)	0,000	0—12°	Фенгит	(200)	0,002—0,003	38—58°
Ряд биотита	(202)	0,000—0,001	0—60°	Дафнит	(214)	0,003—0,004	~30°
Корунд	(76)	0,000—0,001	0—58°	Кордиерит	(156)	0,001—0,006	72—180°
Мелифанит	(72)	0,000—0,001	0—35°	Бронзит, гиперстен	(164)	0,003—0,005	80—>180°
Флогопит	(201)	0,000—0,001	5—33°	Карфолит	(194)	0,002—0,007	87—140°
Тальк	(197)	0,000—0,001	0—48°	Мусковит	(199)	0,005—0,006	57—84°
Тюрингит	(214)	0,000—0,001	0—50°	Парагонит	(198)	0,006	66—85°
Антигорит	(211)	0,001	42—100°	Дистен	(132)	0,007—0,008	>180°
Каолинит	(220)	0,001	28—80°	Гетит	(106)	0,005—0,010	0—60°
Пенин	(212)	0,001	0—36°			(дисперсия!)	
Безувиан	(70)	0,001	30—60°	Антофиллит	(176)	0,007—0,009	120—>180°
Ксантофиллит	(209)	0,001	30—60°	Монтличеллит	(123)	0,006—0,010	>180°
Маргарит	(208)	0,001—0,002	68—130°	Нонтронит	(223)	0,008	42—130°
Грандидьеरит	(155)	0,002	50°	Пирофиллит	(196)	0,012	90—105°
Лепидолит	(205)	0,002—0,003	32—80°	Фаялит	(122)	0,010—0,015	96—170°
				Рядоливина	(122)	0,015—0,018	>170°
				Рубиновая слюдка	(107)	0,310	>180°

IIб₁

Давин	№ (98)	$n_m - n_p =$	Сульфат-канкринит	№ (97)	$n_m - n_p =$
		0,000—0,001			0,003—0,013
Анальцим	(61)	0,001	Анортоклаз	(230)	0,006—0,012
Гейландит	(239)	0,001—0,002	Геленит	(71)	0,008—0,011
Вишневит	(97)	0,000—0,003	Арфведсонит	(183)	0,011—0,013
Апофиллит	(73)	0,002	Берtrandит	(157)	0,014—0,019
Апатит	(90)	0,003	Канкринит	(97)	0,013—0,026
Эвколит	(92)	0,003	Дипир	(74)	0,012—0,018
Гиалофан	(231)	0,003	Пистацит	(136)	0,006—0,032
Мелилит	(71)	0,000—0,008	Пьемонтит	(137)	0,021
Нефелин	(95)	0,003—0,005	Дюмортьеरит	(193)	0,021—0,025
Плагиоклаз Ap_{20}	(234)	0,004	Мицонит	(74)	0,018—0,028
Калиофилит	(96)	0,004—0,005	Ряд оливинов	(122)	0,018—0,032
Ортоклаз	(228)	0,004—0,005	Грандидье́рит	(155)	0,034
Везувиан	(70)	0,001—0,010	Фаялит	(122)	0,032—0,038
Санидин	(229)	0,005—0,006	Мейонит	(74)	0,028—0,042
Мариалит	(74)	0,002—0,012	Арагонит	(110)	0,151
Кордиерит	(156)	0,005—0,011	Кальцит	(85)	0,172
Корунд	(76)	0,008			

IIб₂

Анальцим	№ (61)	$n_g - n_m =$	Хлоритоид	№ (210)	$n_g - n_m =$
		0,001			0,003—0,013
Мелилит	(71)	0,000—0,002	Томсонит	(226)	0,007—0,013
Апофиллит	(73)	0,002	Барит	(115)	0,011
Натровый давин	(98)	0,000—0,005	Гидрофельин	(99)	0,012
Виллюйт	(70)	0,001—0,005	Вавеллит	(121)	0,011—0,018
Филиппсит	(243)	0,002—0,005	Форстерит	(122)	0,017—0,018
Энстатит	(164)	0,002—0,006	Пектолит	(163)	0,029
Окерманит	(71)	0,003—0,006	Псевдобрукит	(103)	0,023—0,040
Эвдиалит	(92)	0,005	Катаплент	(93)	0,035
Цоизит-β	(139)	0,007	Ангидрит	(113)	0,038
Ставролит	(134)	0,005—0,009	Циркон	(69)	0,044—0,055
Целестин	(114)	0,007	Ксенотим	(68)	0,095
Хризобери́лл	(101)	0,006—0,009	Кассите́рит	(65)	0,097
			Рутил	(66)	0,287



IIв

	$n'_g - n'_p =$	$2E =$	$\rho =$		$n'_g - n'_p =$	$2E =$	$\rho =$
Гидрагиллит № (109)	0,001 \oplus	0—65°	0° и 40°	Хлоритоид № (210)	0,002—0,004 \oplus	64—130°	36—63°
Оттрелит (210)	0,001 \oplus	65—108°	6—18°	Клиноцизит (136)	0,002—0,005 \oplus	>120°	13—45°
Десмин (241)	0,002 \ominus	46—79°	0—22°	Ломонит (238)	0,003—0,005 \ominus	37—60°	10 и 50°

Волластонит	(161) 0,004	\ominus	$2E=65^\circ$	$14-18^\circ$	Бадделент	(105) 0,01	\ominus	69°	3 и 27°
Пистацит	(136) 0,002—0,006	\ominus	$>140^\circ$	$3-15^\circ$	Пьемонтит	(137) 0,008—0,014		$>180^\circ$	15°
Жадеит	(174) 0,003—0,005	\oplus	144°	$19-22^\circ$	Гадолинит	(226) 0,011		$>180^\circ$	$30-40^\circ$
Цельзиан	(232) 0,004—0,005	\ominus	$>180^\circ$	$15-20^\circ$	Ловенит	(144) 0,020		$>180^\circ$	$20-30^\circ$
Гипс	(116) 0,005	\oplus	95°	8°	Пьемонтит	(137) 0,017—0,032	\oplus	138°	$20-27^\circ$
Ортит	(138) 0,000—0,015		$>180^\circ$	$0-15^\circ$	Брукит	(104) 0,059	\oplus	$0-30^\circ$	25°

(дисперсия)



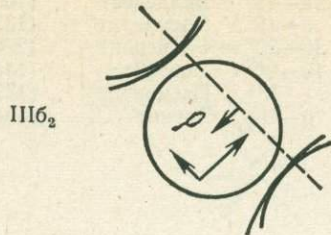
Гидрагиллит № (109)	$n_g' - n_p =$	$2E=0-65^\circ$	$\rho=21^\circ$	Розенбушит № (147)	$n_g' - n_p =$	$2E=115-145^\circ$	$\rho=25^\circ$
Монацит (117)	0,002	$11-35^\circ$	$10-18^\circ$	Розенбушит (147)	0,017	$115-145^\circ$	43°
Хлоритоид (210)	0,002—0,004	$64-130^\circ$	$0-21^\circ$	Монтебразит (120)	0,021	$98->180^\circ$	15°
Хризоберилл (101)	0,003—0,004	84°	30°	Диаспор (108)	0,025	$>180^\circ$	25°
Целестин (114)	0,004	88°	38°	Титанит (142)	0,055—0,065	$42-75^\circ$	34°
Ринкит (148)	0,005	75°	9°	Вевеллит (244)	0,070	$>180^\circ$	$24-31^\circ$
Родонит (159)	0,005—0,008	$116->180^\circ$	25°				



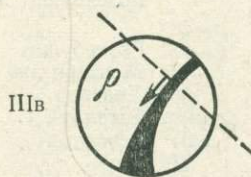
Накрит № (222)	$n_g - n_p' =$	$2E=60-70^\circ$	$\rho=10-12^\circ$	Жедрит № (177)	$n_g - n_p' =$	$2E>180^\circ$	$\rho=27^\circ$
Ортоклаз (228)	0,006	$0-120^\circ$	21°	Берtrandит (157)	0,010—0,012	156°	$29^{\circ}30'$
Андалузит (130)	0,005—0,008	$>180^\circ$	$44^{\circ}30'$	Антофиллит (176)	0,010—0,015	$120-180^\circ$	27°
Бронзит — ги- перстен (164)	0,008—0,010	$80-180^\circ$	44°	Вёлерит (143)	0,016	$>180^\circ$	$45-48^\circ$



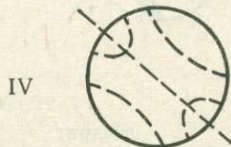
Рибекит № (182)	$n_g' - n_p =$	$\rho=28^\circ$	Дюмортьерит № (193)	$n_g' - n_p =$	$\rho=30^\circ$
Амблигонит (120)	0,002		Эгирин (172)	$=0,021-0,026$	47°
	0,015	26°		$,0,040-0,050$	



		$n_g - n'_p =$	Натролит № (235)	$n_g - n'_p =$	$\rho = 44^\circ$
Гармотом	№ (242)	= 0,004—0,006	$\rho = 25^\circ$	= 0,010—0,011	
Диккит	(221)	0,005—0,006	14—20°	0,014	27°30'
Петалит	(227)	0,008	35 и 43°	0,020	43°
Энстатит	(164)	0,008—0,010	44°	0,016—0,027	7—12°
Родонит	(159)	0,008—0,012	15°	0,020—0,024	0,16°
					дисперсия!)



Плагиоклаз Ap_1 , № (234)	$n_g - n'_p =$	Жадеит № (174)	$n_g - n'_p =$
	= 0,002	$\ominus 2E=140^\circ \rho=15^\circ$	= 0,008 $\oplus 2E=144^\circ \rho=45—50^\circ$
Ортоклаз	(228) 0,002—0,003	$\ominus <122^\circ 33^\circ$	Рихтерит (180) 0,008 $\ominus 130^\circ 43^\circ$
Бабингтонит	(160) 0,005	$\oplus 93—>180^\circ 20^\circ$	Авгит (167/8) 0,015—0,020 $\oplus 75—150^\circ 45—54^\circ$
Барит	(115) 0,006	$\oplus 62^\circ 42^\circ$	Титанит (142) 0,024—0,026 $\oplus 53^\circ 21^\circ 30'$
Ортоклаз	(228) 0,006	$\ominus <122^\circ 14^\circ$	Титанит (142) 0,039—0,043 $\oplus 53^\circ 28^\circ$



Данбурит	№ (224)	$[n_g - n_p = 0,005—0,006]$	\ominus	Муллит	№ (192)	$n_g - n_p = 0,014—0,017$	\oplus
Сапфирин	(135)	0,006	$\ominus\ominus$	Фе-антофиллит	(176)	0,017—0,020	$\oplus\oplus$
Ортоклаз	(228)	0,006—0,007	$\ominus\ominus$	Лавсонит	(141)	0,019	$\oplus\oplus$
Санидин	(229)	0,006—0,007	$\ominus\ominus$	Актинолит	(179)	0,016—0,024	$\ominus\ominus$
Микроклин	(223)	0,007	$\ominus\ominus$	Силлиманит	(191)	0,020—0,022	$\oplus\oplus$
Плагиоклаз Ap_{20}	(234)	0,007	$\ominus\ominus$	Антофиллит	(176)	0,020—0,026	$\ominus\ominus$
Цоизит (α)	(139)	0,007	$\oplus\oplus$	Берtrandит	(157)	0,023—0,027	$\ominus\ominus$
Целестин	(114)	0,009	$\oplus\oplus$	Титанистая роговая			
Гипс	(116)	0,009	$\oplus\oplus$	обманка	(185)	0,018—0,034	$\ominus\ominus$
Энстатит	(164)	0,008—0,011	$\oplus\oplus$	Лампрофиллит	(150)	0,029—0,035	$\oplus\oplus$
Анортоклаз	(230)	0,010	$\ominus\ominus$	Гумит	(125)	0,032—0,036	$\oplus\oplus$
Десмин	(241)	0,010—0,011	$\ominus\ominus$	Эгиринаевгит	(171)	0,034—0,038	$\oplus\oplus$
Хризоберилл	(101)	0,009—0,011	$\oplus\oplus$	Пектолит	(163)	0,038	$\oplus\oplus$
Цельзиан	(232)	0,009—0,012	$\oplus\oplus$	Эгиринаевгит	(171)	0,038—0,048	$\ominus\ominus$
Хлоритоид	(210)	0,006—0,016	$\oplus\oplus$	Ангидрит	(113)	0,044	$\oplus\oplus$
Натролит	(235)	0,011—0,012	$\oplus\oplus$	Монацит	(117)	0,045—0,051	$\oplus\oplus$
Петалит	(227)	0,011—0,012	$\oplus\oplus$	Диаспор	(108)	0,048	$\oplus\oplus$
Эпистильбит	(240)	0,010—0,014	$\ominus\ominus$	Эгирин	(172)	0,048—0,060	$\ominus\ominus$
Ломонит	(238)	0,012	$\ominus\ominus$	Астрофиллит	(151)	0,055	$\oplus\oplus$
Гиперстен	(164)	0,011—0,013	$\ominus\ominus$	Пьемонтит	(137)	0,040—0,073	$\ominus\ominus$
Барит	(115)	0,012	$\oplus\oplus$	Пьемонтит	(137)	0,040—0,073	$\oplus\oplus$
Эккерманит	(183)	0,014—0,016	$\ominus\ominus$	Вевеллит	(244)	0,160	$\oplus\oplus$

СОБСТВЕННАЯ ОКРАСКА И ПЛЕОХРОИЗМ В ШЛИФЕ

1. КРАСНЫЕ ДО КОРИЧНЕВОГО ТОНА

Розовый — шпинель, пироп, альмандин, нозеан, ксенотим No , эвдиалит, хризоберилл Np , андалузит Np , сапфирин Np , пьемонтит Nm , родонит Nm , гиперстен Np , пижонит $NpNm$, муллит Np , лепидолит $NmNg$, кеммерерит Np .

Карминовый — пьемонтит Ng , тулит, бустамит Nm .

Темно-красный — виллиомит No , титанклиновит Np , астрофиллит Np .

Пурпурный — флюорит, корунд No , гейкилит, пьемонтит Ng , бабингтонит Nm .

Лиловый — пьемонтит Nm , глаукофан Nm , дюмортьерит Nm , кеммерерит Np .

* Лилово-коричневый — шерл, энстатит Np , титанавгит $NmNg$, каринтии Nm .

Бледный лилово-коричневый — апатит, шерл, клиногиперстен Np .

Бледно-коричневый — периклаз, вулканическое стекло, анатаз No , ксенотим, циркон, везувиан, магнезит, сидерит, апатит, титанит Ng , акмит Nm , куммингтонит Nm , флогопит $NmNg$.

Бледный коричнево-желтый — жедрит Ng , рихтерит Np , озанит Nm , синтагматит Np , роговая обманка Np , хризотил Np , циннвалльдит Np , клинтонит $NmNg$.

Желто-коричневый — сфалерит, кассiterит, рутил No или Ne анатаз Ne , катаплеит, гётит Nm ,

2. ЖЕЛТЫЕ ТОНА

Бледно-желтый — тахидрит, ловеит, сфалерит, спессартин, гибшит, беккелит, вулканическое стекло, ксенотим No , мелилит, мелифантит No , скаполит, доломит, магнезит, дравит, катаплеит, берилл, хризоберилл Nm , брукит, рубиновая слюдка Np , монацит, хондродит $NmNg$, гумит $NmNg$, клиногумит $NmNg$, титанклиновит $NmNg$, виридин Np , ставролит $NpNm$, сапфирин Np , вёлерит, ловеит $NpNm$, гиортдалит, гаинит, розенбушит, ринкит, мозандрит, лампрофиллит $NpNm$, корнерупин, кордиерит Np , берtrandит, родонит Ng , пижонит Ng , жадеит Ng , куммингтонит Nm , рихтерит Nm , роговая обманка Np , хризотил Np , мусковит $NmNg$, флогопит $NmNg$, воданит Np , протолитионит Np , пеннин, десессит Np , стильномелан Np , нонtronит Np .

Желтый — виллиомит Ne , пикотит, пирохлор, дравит, танталит Np , гётит Np , рубиновая слюдка Np , хондродит Np , гумит Np , клиногумит Np , пьемонтит Np , тулит, астрофиллит Nm , шамозит Np , стильномелан Np .

Темно-желтый — дравит, псевдобрукит Ng , виридин Ng , ставролит Ng .

Бледно-зеленовато-желтый — везувиан, мелифантит Ne , монацит, оливин $NpNg$, пистацит Np ,

3. ЗЕЛЕНЫЕ ТОНА

Бледно-зеленый — борацит, нозеан, ксенотим Ne , циркон, везувиан, корунд Ne , хризоберилл Ng , андалузит $NmNg$, сапфирин Nm , гиперстен Ng , клино-

ортит Np , ильвант Np , жедрит Ng , биотит Np , воданит Np .

Бледный оливково-коричневый — шерл, мусковит $NmNg$.

Оливково-коричневый — шерл, гётит Ng , синтагматит Ng , роговая обманка Ng , каринтии Ng , рёнит Np , биотит $NmNg$, стильномелан $NmNg$.

Желтовато-красный — лёвеит, пирохлор, гематит Ne , пирофанит, эвдиалит, рубиновая слюдка Nm , титанклиновит Nm , астрофиллит Np , иддингсит $NmNg$.

Коричнево-красный — воданит Ng , энгматит Nm , керсугит $NmNg$.

Красно-коричневый — кёнегит No , первовскит, пирохлор, касситерит, рутил No , гематит No , пирофанит, гейкилит, колумбит Np , титанит Nm , псевдобрукит Nm , брукит, бадделеит Ng , рубиновая слюдка Ng , ортит Nm , титанит Ng , керсугит $NmNg$, синтагматит $NmNg$, каринтии Nm , энгматит $NpNm$, рёнит Ng , биотит $NmNg$, воданит Ng , клинтонит Np .

Коричневый — меланит, вулканическое стекло, касситерит, ортит Ng , ильвант Np , акмит Np , каринтии Ng , энгматит Nm , рёнит Np , биотит $NmNg$, протолитионит $NmNg$.

Темно-коричневый — риннеит, хромит, меланит, ильменит, колумбит Nm , танталит Ng , бадделеит Np , людвигит Ng , ортит Ng , ильвант Nm , энгматит Ng , рёнит Ng , биотит $NmNg$.

Бледно-желтый — рутил Ne , анатаз No , везувиан, пистацит Nm , эгирии $NmNg$, акмит Ng , рибекит Ng , прохлорит $NpNm$, глауконит Np .

Оранжевый — гётит Ng , оливин Nm , титанклиновит Np , пьемонтит Np , ловеит Ng , лампрофиллит Ng , астрофиллит $NpNg$, родонит Np , бустамит $NpNg$, рихтерит $NmNg$, воданит Nm , клинтонит Np , иддингсит Np .

Серо-желтый — мелилит, гематит, дравит, ставролит Nm , ортит $NpNm$, лампрофиллит $NpNm$, гиперстен Nm , титанавгит Np , эгириавгит Ng , жедрит $NpNm$, куммингтонит Ng , керсугит Np , каринтии Np , биотит Np , клинтонит $NmNg$, глауконит $NmNg$.

Коричнево-желтый — пикотит, дизаналит, меланит, вулканическое стекло, ксенотим Ne , дравит, брукит, гётит Np , хондродит Np , ставролит Ng , бабингтонит Ng , титанавгит Ng , эгирии Ng , арфведсонит Np , воданит Nm , глауконит $NmNg$.

Темно-коричнево-желтый — пикотит, меланит.

Гиперстен Ng , пижонит Ng , геденбергит $NmNg$, авгит $NpNm$, фассаит $NpNg$, эгирии Nm , жадеит Np , омфацит, гидденит, куммингтонит Ng , актинолит Nm , парга-

сит Nm , мусковит $NmNg$, клинтонит $NmNg$, дженкинсит $NmNg$, шамозит $NmNg$.

Серо-зеленый — плеонаст, дизаналит, гиперстен Ng , авгит Ng , фтортарамит Nm , хризотил Np , делессит Ng , прохлорит Ng .

Бледно-сине-зеленый — грандидьеरит Ng , геденбергит $NpNg$, авгит Np , эгиринавит Nm , актинолит Ng , эккерманит Nm , паргасит Ng , пеннин.

Бледно-желто-зеленый — хлорошпинель, гроскуляр, андрадит, везувиан, корунд Ne , берилл, пистацит Ng , клиногиперстен Nm , геденбергит $NpNm$, авгит Nm , фассаит Nm , эгиринавит Ng , актинолит Np , глаукофан Np , эккерманит Ng , роговая обманка Np , карфолит $NpNm$, хризотил Ng , хлоритоид Np , пеннин, делессит Np , вермикулит $NmNg$, глауконит Np .

Желто-зеленый — хлорошпинель, андрадит, пистацит Nm , ортит Ng , эгирин Nm , глаукофан Np , роговая обманка Nm , карфолит $NpNm$, биотит Np , хлоритоид Ng , прохлорит $NpNm$, иддингсит $NmNg$, нонtronит Nm .

4. СИНИЕ И ФИОЛЕТОВЫЕ ТОНА

Бледно-синий — шпинель, гаюин, анатаз No , корунд Ne , катаплеит, кианит $NmNg$, хлоритоид Ng , сапфирин Nm .

Бледно-сине-фиолетовый — гаюин, корунд, флюорит, кордиерит, глаукофан Nm , дюмортьерит Nm .

Небесно-голубой — анатаз Ne , корунд No , лазулит $NmNg$, сапфирин Ng , рибекит Nm .

Зеленовато-синий — барруазит Ng .

Серо-синий — анатаз Ne , шерл, сапфирин Nm , озанит Ng , арфведсонит Ng , хлоритоид Nm .

Фиолетово-синий — глаукофан Ng , бабингтонит Ng , дюмортьерит Np .

Оливково-зеленый — кассiterит, брукит, бадделеит Nm , авгит Ng , роговая обманка Ng или Nm , биотит Np , клинтонит $NmNg$, делессит Ng , прохлорит Ng , глауконит $NmNg$, нонtronит Ng , гадолинит Np .

Травяно-зеленый — виридин Nm , эгиринавит Np , эгирин Np , роговая обманка Nm , гадолинит $NmNg$, хлорит.

Изумрудно-зеленый — мanganозит, герцинит, ганин, уваровит, эгирин Np .

Темно-зеленый — герцинит, людвигит $NpNm$, ильвайт Ng , бабингтонит Np , фтортарамит Ng , биотит $NmNg$, хлоритоид Np , тюрингит $NmNg$, стильпномелан $NmNg$.

Сине-зеленый — анатаз No или Ne , грандидьеरит Np , эккерманит Np , фтортарамит Np , роговая обманка Ng , хлоритоид Np , глауконит $NmNg$.

Темно-сине-зеленый — арфведсонит Ng , глауконит Np .

Темно-синий — корунд No , сапфирин Ng , серендибит Ng , глаукофан Ng , бабингтонит Np , рибекит Np , озанит Np .

Бледно-фиолетовый — флюорит, риннент, шерл, кианит Nm , аксинит, титанавгит Nm , кунцит, лепидолит $NmNg$.

Серо-фиолетовый — перовскит, шерл, бабингтонит Nm , титанавгит Nm , глаукофан Nm .

Коричнево-фиолетовый — перовскит, ильменит, брукит, титанавгит $NmNg$.

Темно-фиолетовый — флюорит.

ПРОЧИЕ ОСОБЕННОСТИ

1. ПЛЕОХРОИЧНЫЕ ДВОРИКИ

В следующих минералах-хозяевах: амфиболах, андалузите, хлоритах, слюдах, кордиерите, пироксенах (?), хрупких слюдах, ставролите, турмалине.

Около следующих минералов-включений: дюмортьерила, ортита, рутила, титанита, ксенотима, кассiterита, циркона (топаза, плеонаста, пирротина, апатита, ильменита, монацита, эпидота).

2. ИЗОМОРФНОЕ ЗАМЕЩЕНИЕ

Цветные (окрашенные): меланит, турмалин, пироксены, амфиболы, слюды.

Бесцветные: полевые шпаты, нефелин, лейцит, циркон,

Структура песочных часов: титанавгит, санидин, эгириин, брукит.

3. АНОМАЛЬНЫЕ ИНТЕРФЕРЕНЦИОННЫЕ ОКРАСКИ

Часто наблюдаются у хризоберилла, клиноцизита, а-цизита, пеннина, мелилита, везувиана, брусита, дюмортьерила, пренита, кальциевого граната, хлоритоида, титанавгита, фассанта. На роговой обманки, санидина, ломонитта, апофиллита.

4. АНОМАЛЬНЫЕ УЧАСТКИ

В + николях у лейкита, гроссуляра, андрадита, эвдиалита, апатита, перовскита, шабазита и у других цеолитов.

5. ПЛАСТИНЧАТЫЕ ДВОЙНИКИ

Часто наблюдаются у леонита (полигалита), криолита, (касситерита), рутила, ильменита, гематита, кальцита, сидерита, доломита, бадделеита, (арагонита), гидрагилита, гидромагнезита, ангидрита, (монацита), амблигонита, минералов группы гумита, мервинита, спёrrита, дистена, лавсонита, вёлерита, ловенита, гиортдалита, ринкита, мозандрита, серендибита, волластонита, клинопироксенов (иногда), куммингтонита, актинолита, роговой обманки, энгматита, рёнита, дюмортьериита, клиntonита, хлоритоида, микроклина, плагиоклазов.

Из-за малых углов погасания редко наблюдаются у минералов группы эпидота, группы слюд, группы хлорита.

6. МАГНИТНОСТЬ

При разделении в магнитном поле часто наблюдается следующая последовательность:
самородное железо, магнитный железняк, пирротин; титанистый железняк, ильвант, гематит; хромит, сидерит, альмадин, лимонит, Fe-авгит; железистая шпинель, арфведсонит; роговая обманка, бедный Fe авгит, эпидот, пироп; турмалин, бронзит, везувиан; ставролит, актинолит, оливин, пирит; биотит, хлорит, рутил; дюпсид, гаюин, мусковит, нефелин, лейцит, доломит, полевые шпаты.

7. РАСТВОРИМОСТЬ

В HF нерастворимы: магнетит, хромит, гематит, ильменит, графит, уголь, перовскит, шпинель, призматин, астрофиллит, флюорит, рутил, анатаз, касситерит, циркон, ксенотим, хризоберилл, корунд, бадделеит, турмалин, серендибит, берилл, брукит, ставролит, диаспор, дистен, хлоритоид, ксантофиллит, сапфирин, аксинит, силиманин, дюмортьерит, андалузит, топаз, берtrandит.

В HCl слабо растворяются: гематит, ильменит, сфalerит, борасит, гранат, везувиан, псевдобрукит, гётит, титанит, ортит, отрелит, ловенит, карфолит, лазулит, гидрагиллит, лабрадор.

С HCl дают порошковый кремнезем: лейцит, мейонит, апофиллит, ринкит, мозандрит, аортит, десмин, эпистильбит.

С HCl дают студневидный кремнезем (красить!): анальцим, минералы группы содалита, геленит, мелилит, эвдиалит, нефелин, гидрофелин, ильвант, форстерит, оливин, фаялит, монтчеллит, датолит, розенбушит, волластонит, пектолит, минералы группы гумита, минералы группы хлорита, серпентин, гейландин, натролит, шабазит, филлипсит, гармотом, ломонит, томсонит, мезолит, сколецит.

В HCl растворимы: пирротин, вюрцит, магнетит, пегиклаз, апатит, кальцит, доломит, магнезит, сидерит, брусит, канкринит, монацит (остается нерастворимый остаток), вагнерит, вавеллит, арагонит, гидромагнезит.

В KOH растворимы: опал, халцедон, тридимит, сера, каолин (остается нерастворимый остаток!).

В H₂O диссоциируют (дают щелочную реакцию при растворении тончайшего порошка): альбит, анальцим, андезин, аортит, апофиллит, аксинит, биотит, битовит, датолит, десмин, эпидот, гейландин, гидрофелин, кальциевый гранат, клинохлор, клиноцизит, лабрадор, лейцит, литионит, маргарит, микроклин, мусковит, натролит, нефелин, олигоклаз, пеннин, пренит, серпентин, тальк, треполит, везувиан, цоизит, волластонит.

ТАБЛИЦА МЕЖПЛОСКОСТНЫХ РАССТОЯНИЙ *d*

Приведены значения *d* четырех наиболее интенсивных рентгеновских отражений породообразующих минералов (расположены в порядке убывания интенсивности значений *d*)

Приняты следующие сокращения: оч. с. — оч. сильная, с. — сильная, сп. — средняя, сл. — слабая

Прозрачные в шлифах минералы

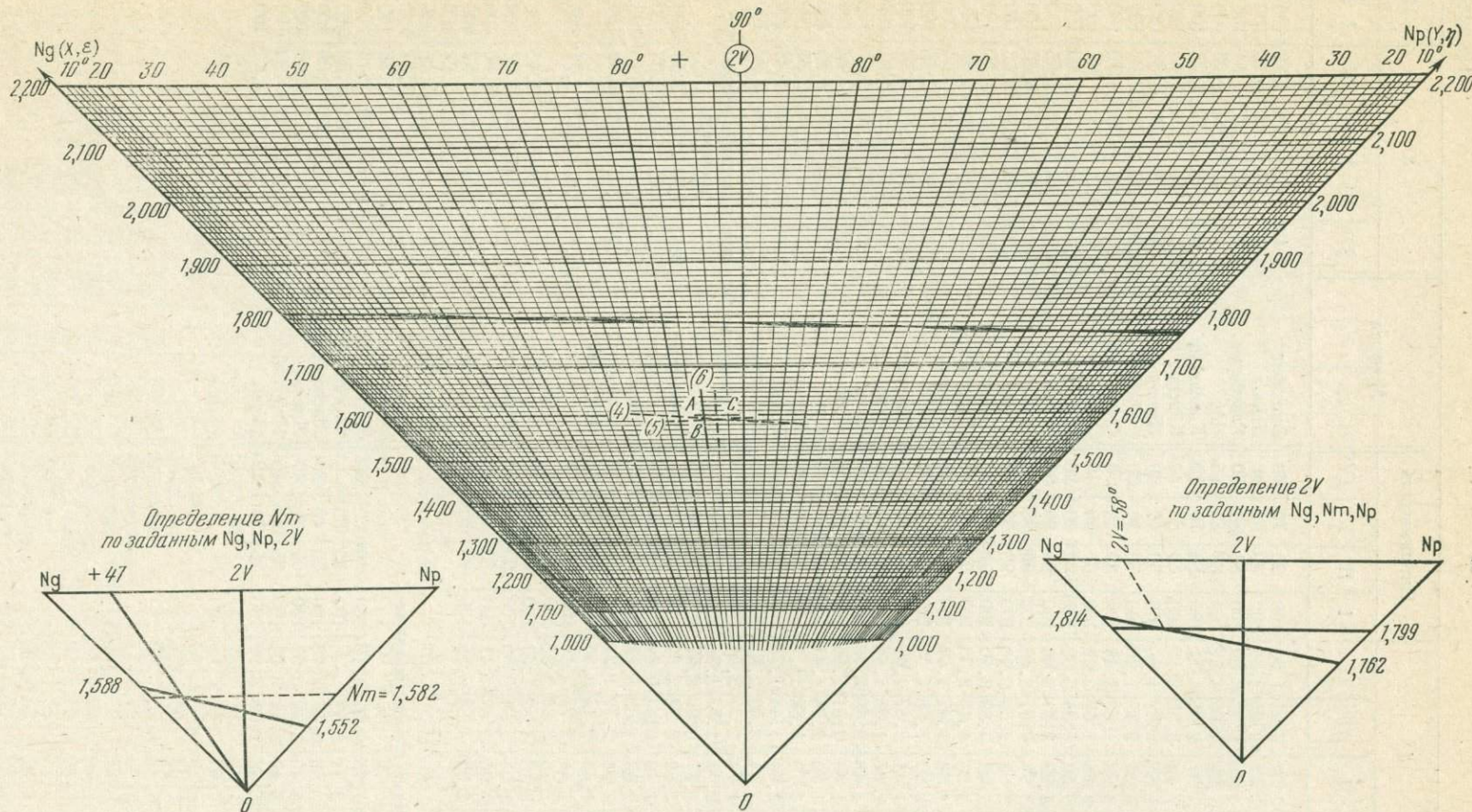
Минерал	<i>d</i>				Интенсивность				Минерал	<i>d</i>				Интенсивность			
	I	II	III	IV	I	II	III	IV		I	II	III	IV	I	II	III	IV
Сапонит (чисто Fe)	15,6	1,53	4,56	2,63	100	50	40	30	Гармотом	8,24	7,17	6,26	4,03	100	100	100	100
Монтмориллонит	15,0	4,50	5,01	3,02	100	80	60	60	Феррежедрит	8,24	3,04	3,22	8,95	100	76	21	12
Фауязит	14,3	5,71	8,75	7,51	100	100	80	80	Хольмквистит	8,12	3,00	4,43	3,34	100	90	70	60
Гуаринит	14,0	3,89	3,01	2,90	100	80	80	80	Энгматит	8,11	3,14	2,70	2,54	100	100	80	80
Вермикулит	14,0	3,45	1,52	4,57	100	60	60	40	Гипс	7,56	3,06	4,27	2,68	100	57	51	28
Монтмориллонит	13,6	4,47	3,34	3,23	100	18	10	10	Лизардит	7,36	3,66	2,50	1,54	оч.	оч.	с.	с.
Нонтронит	13,4	4,51	3,49	1,79	100	60	50	40	Хризотил	7,36	3,66	2,45	1,54	оч.	оч.	с.	с.
Стильпномелан	12,1	2,56	4,02	2,71	100	50	35	35	Эвдиалит	7,19	5,74	2,87	2,99	100	80	80	80
Эрионит	11,57	2,84	3,80	6,64	100	100	90	80	Лизардит	7,31	3,66	2,50	1,54	оч.	с.	оч.	с.
Гидробиотит	11,4	3,41	2,62	1,53	100	80	80	60	Антигорит	7,30	3,63	2,52	2,42	100	75	18	10
Астрофиллит	10,6	3,51	2,77	2,64	100	80	60	60	Жисмондин	7,30	3,24	2,73	4,19	100	100	100	80
Сидерофиллит	10,26	3,38	2,65	2,46	100	80	70	40	Филлипсит	7,15	3,20	4,12	3,24	100	100	80	80
Гидромусковит	10,1	4,48	3,34	2,56	с.	с.	с.	с.	Хром-хлорит	7,18	4,36	3,59	4,13	100	80	80	70
Галлуазит (гидратир.)	10,1	4,42	3,34	2,56	100	100	90	80	Накрит	7,17	1,49	3,58	4,37	100	90	80	60
Флогопит (2M)	10,1	3,36	2,62	2,02	100	100	100	65	Каолинит	7,15	3,58	2,33	4,12	100	100	90	70
Лепидомелан	10,01	3,35	2,63	2,44	100	45	50	25	Диккит	7,15	3,22	3,84	2,77	100	50	35	35
Мусковит	10,01	3,35	2,56	2,01	100	100	90	75	Эвклиаз	7,15	3,22	3,84	2,77	100	100	100	80
Флогопит (3T)	10,1	3,35	2,01	2,51	100	100	100	50	Хром-хлорит	7,14	4,77	3,59	14,15	100	90	90	25
Группа слюд	10,00	3,35	2,60	2,01— —2,50	100	95	85	10	Cr ₂ O ₃	7,14	4,72	3,65	14,1	100	90	90	30
Флогопит (1M)	9,94	3,35	2,61	2,01	100	100	30	30	Хром-хлорит	7,14	4,72	3,65	14,1	100	90	90	30
Криофиллит	9,9	3,30	2,58	3,62	100	70	35	25	8,31 вес. %								
Мероксен	9,82	3,32	2,00	2,49	100	70	15	10	Cr ₂ O ₃								
Ферриерит	9,61	3,99	3,54	3,49	100	90	80	80	Алюмосерпентин	7,12	2,38	3,56	1,53	100	90	80	55
Парагонит (3H)	9,60	4,82	3,22	5,34	оч.	оч.	оч.	сп.	(чистый)								
Миннесотаит	9,6	2,52	3,17	3,33	100	70	50	25	Хром-хлорит	7,11	4,75	3,57	14,13	100	100	100	35
Шабазит	9,46	5,56	5,03	4,32	100	100	100	100	3,08 Cr ₂ O ₃								
Тальк	9,34	3,12	4,66	2,48	100	100	90	65	Хром-хлорит	7,08	3,55	4,73	14,10	100	100	90	45
Озанит	8,78	3,13	2,77	1,44	оч.	оч.	оч.	оч.	1,16 Cr ₂ O ₃								
Мезо-кордиерит	8,58	3,04	3,38	4,11	100	90	90	80	Амезит синт.	7,08	3,55	1,54	4,62	100	100	100	80
Рихтерит	8,55	2,71	3,38	3,27	100	80	70	60	Кронштедтит	7,08	3,54	2,72	2,44	100	85	50	40
Высокий кордиерит	8,48	3,03	3,14	3,38	100	85	65	55	Амезит	7,06	3,52	1,92	2,48	100	100	70	60
Низкий кордиерит	8,45	8,52	3,04	3,03	100	95	65	65	Вивианит	6,80	2,97	2,71	3,20	100	67	67	53
Mg-Рибекит	8,45	3,14	2,72	3,42	100	90	80	65	Натролит	6,44	5,81	4,32	3,18	100	100	100	100
Рибекит	8,42	2,72	3,1	3,43	100	100	80	60	Эгирин-авгит	6,38	2,91	2,98	4,41	100	60	30	20
Вавеллит	8,39	3,44	3,20	2,56	100	80	80	20	Суссексит	6,32	2,74	2,48	3,43	100	80	80	40
Базальтическая роговая обманка	8,39	3,13	2,55	3,28	100	68	35	30	Лепидокрокит	6,30	3,30	1,94	2,48	100	70	60	50
Грамматит	8,38	3,12	2,71	3,27	100	100	90	75	Ашарит	6,20	2,20	2,66	2,42	100	80	75	75
Грюнерит	8,35	2,77	3,07	2,64	100	90	80	70	Бёмит	6,11	3,16	2,35	1,86	100	50	40	30
									Дюмортьерит	5,85	5,06	2,09	3,43	100	90	80	60
									Вевеллит	5,95	3,65	2,36	2,97	100	90	80	50
									Гидромагнезит	5,79	2,90	2,15	9,18	100	90	50	40
									Андалузит	5,54	4,53	2,77	2,17	100	90	90	90

Минерал	d				Интенсивность				Минерал	d				Интенсивность			
	I	II	III	IV	I	II	III	IV		I	II	III	IV	I	II	III	IV
Варисцит	5,36	4,26	3,05	4,82	100	100	90	40	Лепидолит (ЗТ)	3,33	2,58	10,0	4,98	100	75	50	50
Грандильтерит	5,16	5,01	5,51	2,76	100	90	60	50	Циркон	3,30	4,43	2,52	1,72	100	45	45	40
Людвигит	5,12	2,55	2,52	2,03	100	70	70	50	Батерит	3,30	3,59	2,74	2,06	100	100	100	100
Гибсит	4,85	4,37	2,39	4,32	100	16	8	7	Миларит	3,30	2,88	4,16	5,21	100	90	65	45
Брусит	4,82	2,37	1,80	1,38	100	100	80	40	Циннвальдит	3,29	9,8	1,98	3,09	100	80	55	40
Амблигонит	4,64	3,15	2,92	2,39	100	100	100	50	Лейцит	3,26	3,43	5,36	2,92	100	85	80	70
Виридин	4,56	5,52	2,77	2,27	100	90	90	80	На-Санидин	3,26	3,22	3,76	3,27	100	90	75	75
Бревстерит	4,53	6,15	2,89	3,21	100	90	90	80	Микроклин	3,24	3,29	4,22	2,16	100	50	45	30
Хлоритоид	4,45	4,50	1,58	2,97	100	100	80	80	(Н/У)								
трикл.									Хризоберилл	3,24	2,09	1,62	4,01	100	90	80	50
Хлоритоид мон.	4,45	4,50	1,58	2,64	100	100	90	90	К-Аналбит синт.	3,24	3,20	4,09	3,76	100	70	40	30
Метагаллуазит	4,43	7,40	1,48	3,63	100	90	90	90	Рутил	2,24	1,69	2,49	1,35	100	70	50	40
Бертрандит	4,38	3,19	2,54	2,28	100	90	80	60	Титанит	3,23	2,99	2,60	2,06	100	90	90	40
Тридимит (S)	4,27	4,07	3,80	2,95	100	90	90	60	Ксантофиллит	3,22	9,71	1,93	2,56	100	30	20	10
β-Карнегит	4,23	2,59	1,49	2,11	100	60	22	10	Канкринит синт.	3,22	4,65	3,65	6,35	100	65	40	35
Микроклин «У»	4,22	3,26	3,25	3,29	100	80	80	60	Гидроксиликан-	3,21	4,65	2,73	2,57	100	40	40	40
Ломонит	4,18	6,97	3,53	3,67	100	60	60	40	кригинит								
Гётит	4,18	2,69	2,44	2,19	100	30	25	20	(K, Ca)-Аналь-	3,21	3,24	4,11	2,16	100	90	15	15
α-Карнегит	4,17	2,55	3,03	3,61	100	40	20	15	бит								
Гемелинит	4,10	12,0	2,96	7,69	100	90	80	60	Битовнит (У),	3,20	4,03	3,75	3,17	100	80	80	80
Тридимит (M)	4,10	4,32	3,82	2,96	100	33	20	18	Ap ₇₇								
Стильбит	4,08	9,1	4,68	3,03	100	90	70	70	Олигоклаз (H),	3,20	4,02	3,74	3,17	100	80	80	80
Кристобалит	4,05	2,49	2,84	3,13	100	20	13	11	Ap ₃₀								
Левин	4,04	2,78	8,12	3,13	100	100	90	90	Альбит (У)	3,20	3,78	6,39	3,68	100	25	20	20
Альбит (У)	4,03	3,22	3,66	3,20	100	65	60	55	Анортит	3,20	3,18	4,04	3,26	100	75	60	55
Диаспор	3,99	2,32	2,13	2,08	100	56	52	49	Клинтонит	3,20	2,54	2,10	1,51	100	90	70	70
Катааплит	3,94	3,05	2,96	2,69	100	100	100	90	Лабрадор (У),	3,20	3,18	4,04	3,23	100	90	80	80
Гейландит	3,93	2,94	5,16	3,88	100	80	70	20	Ap ₆₅								
Эпистильбит	3,83	3,43	3,19	8,84	100	100	90	80	Канкринит	3,19	4,61	3,61	4,35	100	67	40	27
Петалит	3,73	3,66	3,51	2,57	100	100	30	16	Анальбит	3,18	3,75	3,21	4,04	100	30	30	30
Гаюин	3,72	2,63	6,45	2,88	100	50	30	30	Олигоклаз (У),	3,18	3,20	3,76	2,93	100	80	70	70
Бавенит	3,71	3,35	3,22	3,12	100	90	80	80	Ap ₁₇								
Лазурит	3,71	2,62	2,87	6,43	100	80	45	40	Бадделеит	3,18	2,84	3,69	3,63	100	65	18	14
Нозеан	3,71	2,62	6,45	9,09	100	75	70	65	Лабрадор (Н/У),	3,18	3,76	3,21	3,20	100	70	70	70
Давин	3,68	3,28	2,65	4,80	100	90	80	70	Ap ₆₇								
Содалит	3,63	2,08	6,3	2,37	100	33	17	17	Дистен	3,18	1,38	3,35	1,96	100	75	65	55
Меданофлогит	3,58	5,99	3,87	5,47	100	80	70	60	Энстатит	3,17	2,87	2,49	2,94	100	87	51	44
Эдингтонит	3,58	2,75	4,80	4,69	100	90	90	90	Арфведсонит	3,16	2,73	8,51	3,42	100	80	70	45
Данбурит	3,57	2,65	2,74	2,96	100	75	70	70	Гиперстен	3,14	1,47	2,86	1,60	100	80	80	60
Анатаз	3,53	1,90	1,67	1,70	100	50	40	30	Базальтическая	3,13	8,46	2,16	2,80	100	85	60	55
Зудонит	3,52	2,39	2,50	4,75	100	86	83	73	роговая обманка								
Ангидрит	3,50	2,85	2,33	2,21	100	33	22	20	Керсунит	3,13	8,42	3,29	2,81	100	69	32	21
Кёненит	3,50	2,85	2,33	2,20	100	50	50	50	Фенакит	3,12	3,66	2,52	2,36	100	80	75	70
Сподумен (β)	3,49	3,92	1,88	1,87	100	60	60	60	Кальцилит,	3,12	2,58	3,97	2,17	100	50	45	17
Брукит	3,49	2,88	1,65	1,88	100	70	40	30	синт.								
Мерденит	3,48	3,22	9,10	6,61	100	100	90	90	Вортцит	3,12	1,91	1,63	3,25	100	90	70	50
Псевдоброкит	3,48	2,75	1,54	1,86	100	80	60	40	Сфалерит	3,12	1,91	1,63	1,11	100	80	70	50
Мицонит	3,46	3,07	3,82	3,02	100	70	60	55	Паргасит	3,11	8,32	3,25	2,68	100	25	20	15
Ксенотим	3,45	2,56	1,77	4,55	100	50	50	25	Датолит	3,11	2,86	2,25	2,99	100	80	80	45
Барит	3,44	3,10	2,12	2,10	100	97	80	76	Чермакит	3,11	2,75	2,35	2,18	оч.	c.	c.	c.
Мариалит	3,44	3,03	3,78	2,68	100	100	90	90	Коэсит	3,10	3,43	2,77	2,68	100	50	15	15
Аналыцит	3,43	5,61	2,93	1,74	100	80	80	60	Гадолинит	3,10	2,79	2,54	2,34	100	100	100	70
Поллуцит	3,43	2,92	3,65	2,41	100	100	80	80	Монацит	3,09	3,30	2,87	3,51	100	50	70	25
Силлиманит (с муллитом)	3,42	3,37	2,68	5,37	100	96	43	32	Калиофиллит	3,09	2,59	2,13	4,26	100	30	35	15
Арагонит	3,40	1,98	3,27	2,70	100	65	52	46	Грюнерит	3,08	2,77	8,38	2,64	100	100	80	80
Вайракит	3,39	5,57	3,42	2,91	100	80	60	50	Пренит	3,08	2,55	3,48	1,77	100	100	90	70
Муллит	3,38	3,42	2,21	5,39	100	95	60	50	Тиродит	3,07	8,30	9,03	3,25	100	90	80	80
Силлиманит	3,36	2,20	3,41	2,53	100	100	90	90	Лазурит	3,07	3,14	6,15	3,23	100	95	75	75
Кварц	3,34	4,25	1,38	1,82	100	60	60	50	Ринкит	3,07	2,70	2,95	2,80	100	70	40	40
Лепидолит (1 M)	3,33	10,0	4,99	3,62	100	75	75	75	Антофиллит	3,06	8,33	3,23	4,49	100	70	50	35
Санидин синт.	3,33	3,79	3,22	4,24	100	80	80	50	Mg-Жедрит	3,06	8,27	3,23	8,97	100	80	70	50

Продолжение табл.

Минерал	d				Интенсивность				Минерал	d				Интенсивность			
	I	II	III	IV	I	II	III	IV		I	II	III	IV	I	II	III	IV
Калиофиллит	3,06	2,57	3,90	1,89	100	40	20	20	Эпидот	2,87	1,63	2,39	1,87	100	85	80	70
Норбергит	3,06	2,23	2,64	2,25	100	80	75	70	Мезолит	2,86	5,79	4,35	6,44	100	70	50	40
Пирофильт	3,05	9,16	4,46	2,41	100	40	40	40	Сколецит	2,86	4,37	5,81	4,69	100	50	40	30
Антофильт	3,05	3,24	8,31	2,84	100	70	70	40	Томсонит	2,86	2,95	2,68	6,60	100	80	80	70
Мозандрит	3,05	2,69	2,93	2,01	100	20	15	15	Группа мелилита	2,85	1,75	2,43	2,41	100	100	70	70
Кальцит	3,05	1,92	1,88	2,29	100	70	60	50	Велерит	2,84	3,00	3,25	2,96	100	70	60	50
Пандайт	3,04	6,10	1,86	1,59	100	80	70	70	Жадеит	2,83	2,92	2,53	2,50	100	70	40	30
Апофиллит	3,04	2,49	1,58	2,10	100	80	40	40	Фаялит	2,83	2,50	2,57	3,56	100	70	50	30
Скавтит	3,04	1,90	3,02	2,49	100	60	50	50	Аксинит	2,81	3,16	3,46	6,30	100	90	80	70
Ранкинит	3,02	2,72	3,18	3,20	100	80	70	70	Апатит (O, OH)	2,81	2,78	2,72	3,44	100	60	60	40
Ставролит	3,01	3,56	2,69	2,37	100	60	50	50	Ларнит синт	2,80	2,74	2,78	2,61	100	95	90	65
Тиллеит	3,01	3,10	1,90	2,98	100	60	45	40	Апатит (F)	2,80	2,70	1,77	3,44	100	60	40	40
Микролит	3,01	2,97	1,83	1,57	100	100	100	100	Сидерит	2,80	1,74	3,60	2,14	100	80	40	30
Бассанит	3,00	6,01	2,80	3,46	100	95	50	45	Апатит (Cl)	2,78	2,86	1,84	1,96	100	60	20	18
Нефелин	3,00	4,18	3,27	2,88	100	70	70	70	сint.								
Корнерупин	3,00	2,61	3,34	1,49	100	100	90	90	Бедделлит	2,77	6,17	2,24	1,96	100	90	70	65
Джохансенит	3,00	2,54	3,27	2,59	100	70	30	30	Лампрофеллит	2,77	3,43	2,13	3,73	100	55	45	40
Пирохлор	3,00	1,84	1,57	5,98	100	60	50	25	Апатит (CO ₃)	2,77	3,40	2,69	2,61	100	70	70	70
Алунит	2,99	2,89	2,29	1,93	100	100	80	70	Родонит	2,77	2,98	2,92	3,14	100	65	65	30
Гуаринит	2,99	2,86	3,27	—	100	100	50	—	Форстерит	2,77	2,51	2,46	3,88	100	100	80	60
Вагнерит	2,99	2,83	3,15	3,32	100	100	90	80	Пирофанит	2,76	1,74	2,55	1,88	100	70	70	60
Эгирин	2,99	2,54	6,5	4,43	100	60	40	40	Куммингтонит	2,75	3,07	8,38	3,87	100	80	70	60
Диопсид	2,99	2,53	2,89	2,52	100	40	30	30	Мелинофан	2,75	2,96	1,70	3,59	100	50	50	40
Джохансенит	2,99	2,54	1,07	1,64	оч. с.	ср. сл.	ср. сл.	ср. сл.	Бабингтонит	2,75	2,87	3,12	2,05	100	80	70	60
Авгит (чистый)	2,99	1,62	1,43	2,56	100	100	100	85	Безуван	2,75	2,59	1,62	2,45	100	80	60	50
Волластонит	2,98	3,83	3,52	3,31	100	80	80	80	Ильменит	2,75	1,73	2,54	1,87	100	80	70	50
Целестин	2,97	3,30	2,73	3,17	100	98	63	59	Артинит	2,74	5,34	3,69	2,21	100	65	48	42
Геденбергит	2,97	2,53	2,56	2,13	100	50	30	30	Магнезит	2,74	2,10	1,70	2,50	100	45	35	17
Омфацит	2,97	1,40	2,13	2,12	100	80	70	70	Гейкилит	2,73	1,71	2,23	1,86	100	65	45	45
Группа колумбита (Mn>Fe)	2,96	3,65	1,73	1,48	100	60	60	50	Чефкинит	2,72	3,18	1,97	2,17	100	80	80	60
Оргит	2,96	3,50	2,67	1,63	100	80	80	60	Гастингсит	2,72	3,14	8,50	2,80	100	80	65	50
Уренит	2,96	2,88	2,18	4,38	100	70	70	60	Fe ²⁺ Fe ³⁺	2,72	3,12	8,44	2,75	100	75	60	40
Эгирин-авгит (чистый)	2,95	6,45	3,00	3,23	100	60	60	55	Гастингсит	2,72	3,12	8,44	2,75	100	75	60	40
Группа колумбита (Fe>Mn)	2,95	3,62	1,73	1,71	100	60	50	50	Fe ²⁺ Fe ³⁺	2,72	1,93	1,57	0,91	100	60	50	50
Стиловит	2,95	1,53	1,98	1,23	100	50	35	25	Перовскит	2,71	3,12	2,53	2,78	100	70	55	45
Топаз	2,94	3,20	3,69	2,36	100	65	60	45	Актинолит	2,71	3,12	2,50	3,41	100	90	80	70
Рэзенбушит	2,94	3,06	1,89	3,96	100	80	60	40	Глаукофан	2,71	2,84	7,28	2,67	100	85	70	50
Эннардит	2,92	5,93	4,44	6,70	100	80	60	60	Ильвант	2,71	2,84	7,28	2,67	100	100	100	70
Пектолит	2,92	3,10	3,33	3,90	100	80	60	60	Перовскит	2,71	1,91	1,56	1,35	100	100	100	70
Визеит	2,92	1,74	3,46	5,68	100	60	50	40	Псевдоцоизит	2,70	4,07	2,02	2,87	100	58	46	40
Шабазит	2,91	4,29	9,31	5,47	100	90	80	70	Мейонит	2,70	3,46	3,08	3,04	100	95	75	55
Ортит	2,91	2,92	2,86	3,52	100	90	50	40	Чевкинит	2,70	3,16	1,96	2,15	100	80	80	60
Сподумен	2,91	2,78	4,19	2,45	100	80	60	60	Базальтическая	2,70	3,13	2,56	2,16	100	85	85	55
Ортит	2,91	1,64	3,47	1,47	100	80	60	60	роговая обманка								
Левенит	2,90	2,81	3,22	6,79	100	90	50	30	Карнитин	2,70	3,11	2,54	2,78	100	75	60	40
Пумпеллинит	2,90	2,74	3,79	2,45	100	50	50	40	Андрадит	2,70	3,02	1,61	2,46	100	60	60	45
Анкерит	2,90	2,20	1,81	1,79	100	6	6	6	Цоизит	2,70	2,87	4,08	8,09	100	65	50	40
Ортит	2,90	1,64	2,70	1,88	100	90	70	70	Спёrrит	2,70	2,64	3,02	2,66	100	70	65	50
Хлоромеланит	2,89	2,98	2,54	—	100	90	50	—	Керсугит	2,69	3,11	8,38	3,36	100	80	65	65
Беккелит	2,89	2,86	3,16	2,79	c.	ср.	ср.-c.	ср.	Гематит	2,69	2,52	1,70	1,84	100	80	70	60
Доломит	2,89	2,19	1,79	2,01	100	30	30	15	Гибшит	2,68	3,00	1,61	1,95	100	80	80	60
Клиноэнстит	2,88	2,98	3,17	2,46	100	95	60	60	Уваровит	2,68	3,00	1,60	2,45	100	70	60	55
Клиноциозит	2,88	2,38	2,67	2,58	100	65	60	60	Мервинит	2,68	2,67	2,65	1,91	100	90	30	30
Берилл	2,87	3,25	7,98	4,60	100	95	90	50	Монтчеллит	2,67	3,64	2,59	4,19	100	40	40	35
Бустамит	2,87	3,20	2,98	2,22	100	70	60	50	Мервинит синт.	2,66	1,90	1,53	1,87	100	70	70	60
Энстатит	2,87	3,17	2,47	2,94	100	50	45	40	Гроссуляр	2,65	1,58	2,96	1,65	100	90	80	80
Триплит	2,87	3,02	3,25	1,63	100	90	80	70	Портландит	2,63	4,90	1,93	1,80	100	74	42	36
Тефроит	2,87	2,57	2,61	1,61	100	90	70	35	Лавсонит	2,62	1,55	2,73	3,66	100	80	70	60
									Спессартин	2,60	1,55	1,08	1,61	100	80	70	60
									Карфолит	2,59	5,66	3,33	3,02	100	90	80	80

Минерал	d				Интенсивность				Минерал	d				Интенсивность			
	I	II	III	IV	I	II	III	IV		I	II	III	IV	I	II	III	IV
Гриналит	2,59	2,20	7,21	1,60	100	90	70	60	Бишофит	4,10	2,65	2,88	2,72	100	75	50	44
Глауконит	2,59	1,52	10,05	3,33	100	80	60	60	Шёнит	4,07	3,70	7,16	4,16	100	100	85	55
Селадонит	2,58	4,53	3,63	3,09	100	85	80	80	Глауберит	3,94	2,67	3,17	3,11	100	45	35	35
Дравит	2,58	3,99	2,96	4,22	100	85	85	65	Лёд	3,90	3,67	3,44	2,25	100	75	55	40
Шерл	2,58	3,97	2,96	4,21	100	80	70	70	Карналлит	3,59	2,92	3,32	1,74	100	65	35	35
Гриналит	2,57	7,13	3,56	2,18	100	80	80	40	Кёненит	3,50	2,85	2,34	2,20	100	50	50	50
Альмандин	2,57	1,54	2,87	1,56	100	50	40	40	Лёвент	3,47	3,19	2,70	4,31	100	100	100	90
Людвигит	2,56	5,12	2,17	1,38	100	70	50	50	Блэдит	3,28	4,54	3,25	2,73	100	90	90	65
Ксантофиллит	2,56	3,23	1,50	1,48	100	80	70	70	Сингенит	3,16	9,5	2,89	4,75	100	65	25	20
Пироп	2,56	2,86	1,53	2,44	100	60	50	40	Сильвин	3,15	2,22	1,81	1,41	100	59	23	20
Дюмортъерит	2,55	5,89	5,84	5,09	100	90	90	90	Лангбейнит	3,14	4,04	2,65	2,99	100	30	30	16
Трифиллит	2,54	4,29	3,51	3,03	100	90	90	90	Колеманит	3,13	5,64	3,85	2,55	100	50	50	50
Эльбант	2,54	3,96	2,91	3,43	100	90	90	90	Вантгоффит	3,11	4,03	3,05	3,43	100	55	50	35
Рёнит	2,54	2,93	2,69	2,10	100	90	90	90	Каинит	3,08	7,78	7,39	3,03	100	80	40	40
Парагонит (2M)	2,52	1,48	4,39	3,20	100	100	90	80	Нитронатрит	3,03	2,31	2,81	1,90	100	24	15	15
Маргарит	2,51	3,20	4,40	3,39	100	90	80	80	Полигалит	2,91	3,17	2,85	6,00	100	45	12	8
Хромит	2,51	1,08	1,47	1,60	100	90	80	60	Глазерит	2,83	3,13	2,03	3,64	100	75	40	30
Галаксит	2,47	2,90	1,58	1,45	100	60	60	60	Галит	2,82	1,99	1,63	3,26	100	55	15	13
Герцинит	2,46	1,44	2,87	1,57	100	70	50	50	Тенардит	2,78	4,66	3,18	3,10	100	73	51	47
Ганит	2,45	2,87	1,56	1,44	100	80	70	70	Трона	2,66	3,08	9,88	3,21	100	80	60	60
Хёгбомит	2,43	1,43	2,49	2,08	100	80	60	60	Трона	2,65	3,07	9,80	4,92	100	85	50	35
Шпинель	2,43	1,43	2,01	1,55	100	70	60	60	Тахгидрит	2,60	3,80	3,08	2,87	100	45	43	40
Известь	2,40	1,70	2,78	1,45	100	45	34	10	Бура	2,57	2,84	4,86	3,96	100	53	47	40
Кукеит	2,32	4,70	3,52	14,1	100	90	90	80	Риннент	2,51	2,81	5,99	2,59	100	85	55	45
Гумит	2,26	2,44	1,48	1,74	100	70	70	65	Известь	2,40	1,70	2,78	1,45	100	45	34	10
Хондродит	2,26	1,74	3,02	2,51	100	70	45	45	Виллиомит	2,32	1,64	1,34	1,04	100	60	17	12
Клиногумит	2,26	1,74	2,77	2,54	100	80	60	60									
Манганозит	2,22	2,57	1,57	1,34	100	62	58	21									
Манганозит	2,22	1,57	0,99	2,57	100	70	50	40									
Синхалит	2,14	1,62	3,24	2,62	100	90	70	70									
Периклаз	2,10	1,49	0,94	0,86	100	60	50	50									
Корунд	2,09	2,55	1,60	3,48	100	90	80	75									
Борасит	2,06	3,04	2,72	1,24	100	70	50	50									
Серендибит	2,03	1,44	2,45	2,85	100	90	80	80									
Сапфирин	2,01	1,44	2,97	2,44	100	90	70	60									
Криолит	1,94	2,75	3,88	2,32	100	95	60	50									
Флюорит	1,93	3,16	1,12	1,65	100	60	50	40									
Дизаналит	1,80	1,54	2,90	0,99	100	100	80	80									
Касситерит	1,76	3,36	2,64	1,41	100	80	70	50									
Каолинит	1,48	2,33	4,34	2,55	100	95	85	85									
Растворимые в воде минералы																	
Улексит	12,2	7,75	6,00	4,16	100	80	30	30	Энгматит	8,11	3,14	2,70	2,54	100	100	80	80
Кёненит	7,8	3,84	2,59	—	100	50	50	—	Людвигит	5,12	2,55	2,52	2,03	100	70	70	50
Кернит	7,41	6,63	2,47	3,70	100	80	40	30	Графит	3,36	1,68	2,03	1,16	100	80	50	50
Кизерит	4,79	3,40	3,31	2,53	100	100	80	40	Колумбит (Mn>Fe)	2,96	3,65	1,73	1,48	100	60	60	50
Леонит	4,76	3,42	3,30	3,04	100	85	80	45	Колумбит (Fe>Mn)	2,95	3,62	1,73	1,71	100	60	50	50
Эпсопит	4,21	5,35	2,68	5,99	100	26	24	12	Пирофанит	2,76	1,74	2,55	1,88	100	70	70	60
									Ильменит	2,75	1,73	2,54	1,87	100	80	70	50
									Гейкилит	2,73	1,71	2,23	1,86	100	65	45	45
									Ильвайт	2,71	2,84	7,28	2,67	100	85	70	50
									Мельниковит	2,70	2,42	1,64	2,21	100	80	70	60
									Марказит	2,70	1,75	3,43	2,41	100	90	60	60
									Гематит	2,69	2,52	1,70	1,84	100	80	70	60
									Людвигит	2,56	5,12	2,17	1,38	100	70	50	50
									Рёнит	2,54	2,93	2,69	2,10	100	90	90	90
									Магнетит	2,53	1,48	1,61	2,09	100	90	80	70
									Магнезиоферрит	2,53	1,48	1,61	1,09	100	80	70	60
									Хромит	2,51	1,08	1,47	1,60	100	90	80	60
									Пирротин	2,08	2,65	1,73	3,00	100	60	50	40
									Пирит	1,63	1,04	2,70	2,42	100	80	70	60

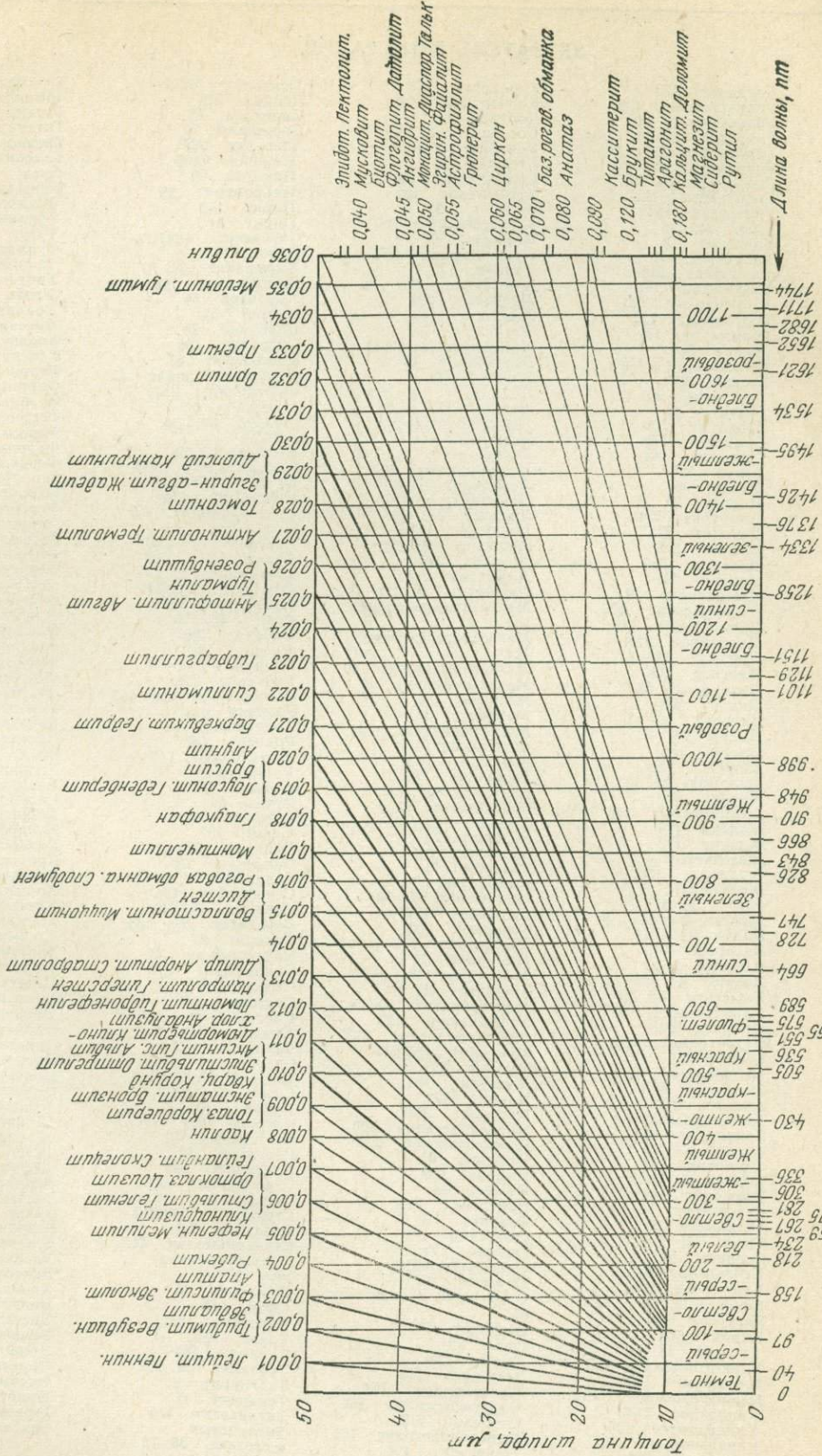


НОМОГРАММА ДЛЯ ВЫЧИСЛЕНИЯ ЭЛЕМЕНТОВ ОПТИЧЕСКОЙ ИНДИКАТРИСЫ
Г. С. КРАВЦОВ, 1960 г. (ГЕОЛОГИЯ И ГЕОФИЗИКА, № 9, с. 106—108)

НОМОГРАММА ДВУПРЕЛОМЛЕНИЯ

І порядок	ІІ порядок	ІІІ порядок
-----------	------------	-------------

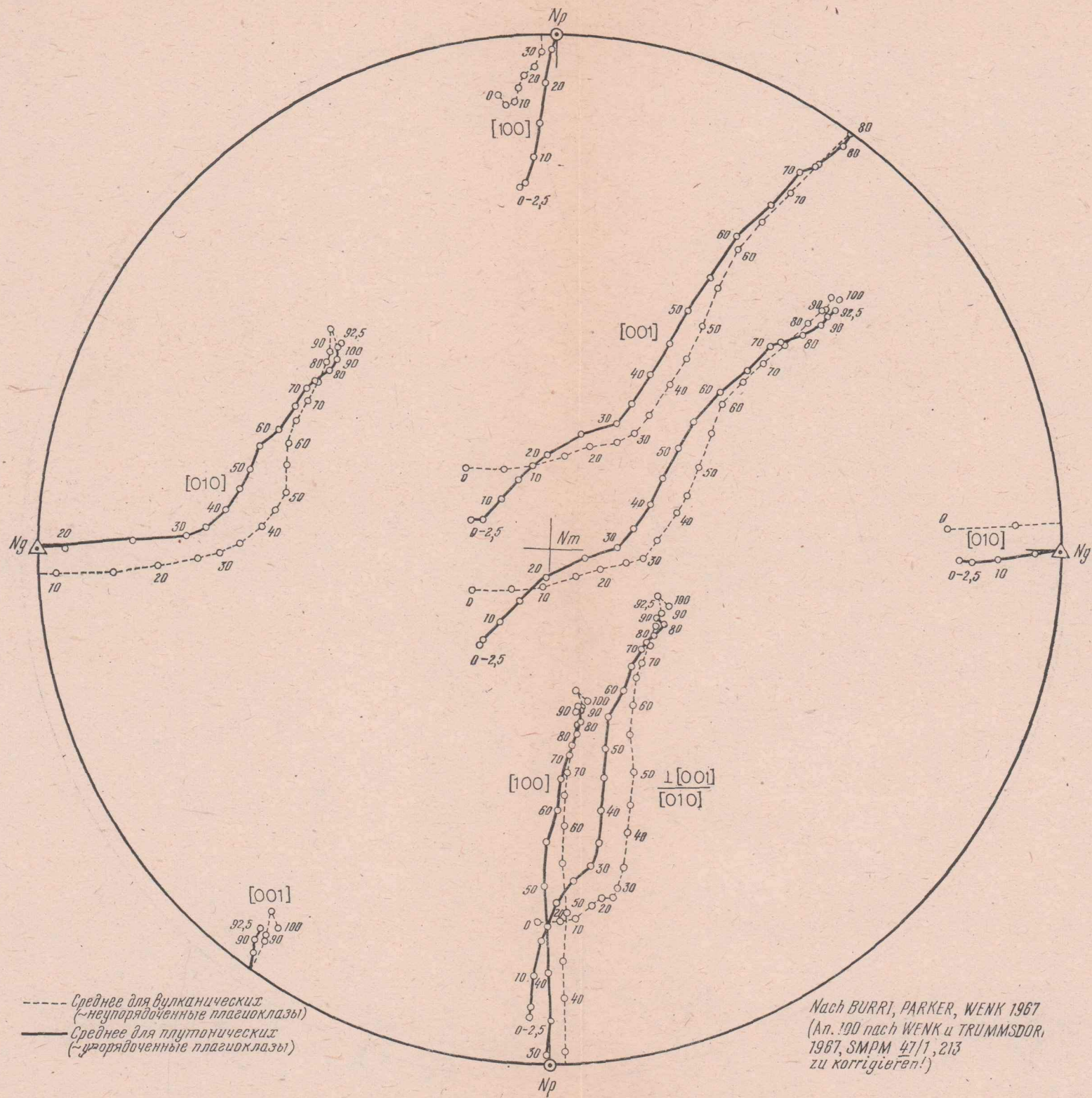
— Длина волны, нм



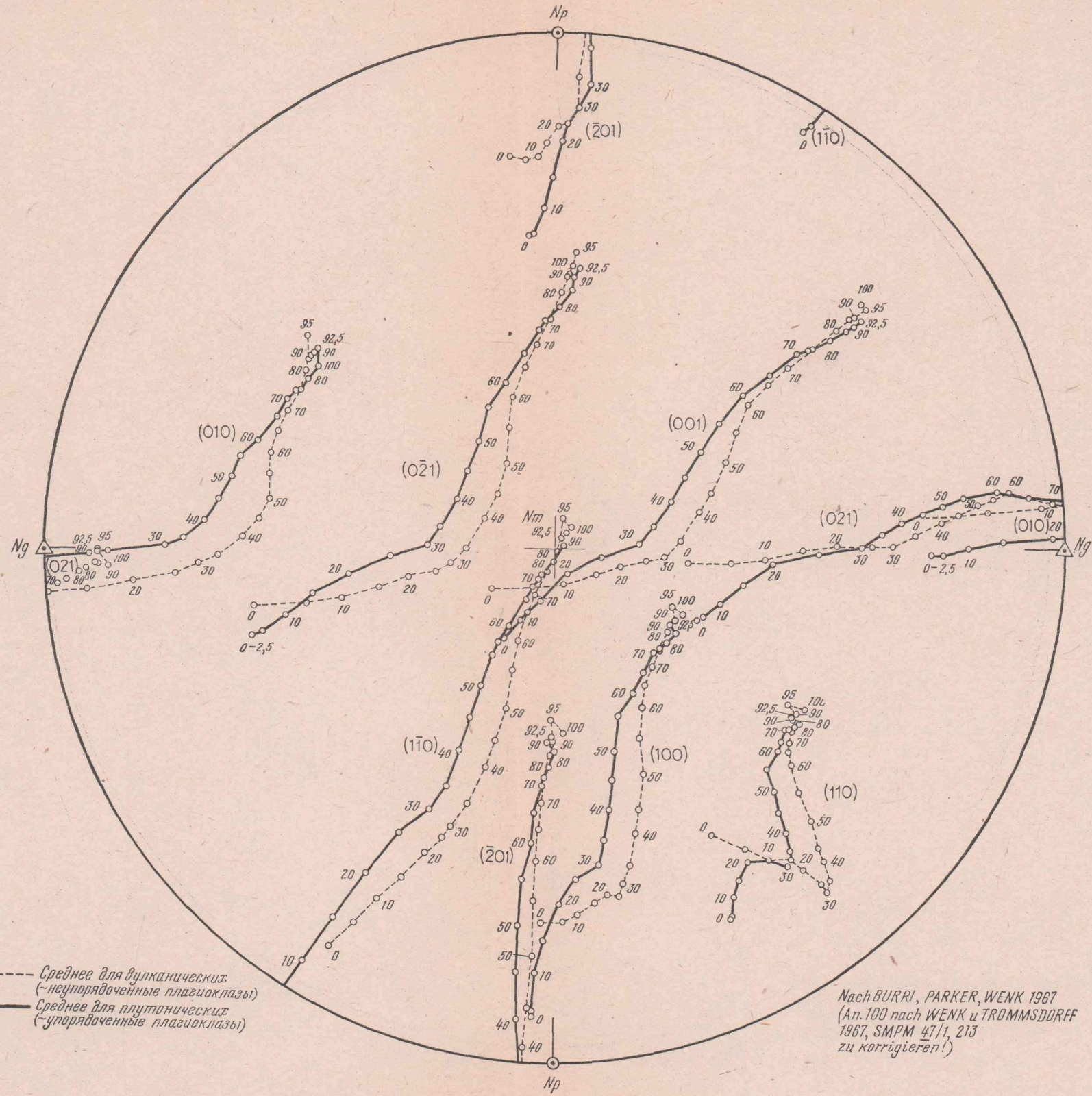
УКАЗАТЕЛЬ МИНЕРАЛОВ

Авгит 168	Гидденит 175	Кордиерит 156	Пектолит 163	Титанистая роговая обманка 185
Адуляр 228	Гидрагиллит 109	Корнерупин 153	Пенин 212	Титанит 142
Акмит 172	Гидробиотит 202	Корунд 76	Периклаз 47	Титанклиновумит 127
Аксинит 152	Гидроксилапатит 90	Коссирит 42, 189	Перовскит 52	Титаноливин 127
Активолит 179	Гидроксилит 133	Кочубеит 212	Петалит 227	Томсонит 236
Алланит 138	Гидромагнезит 111	Криолит 46	Пиоконит 166	Топаз 133
Алуният 89	Гидронефелин 99	Кристобалит 60	Пикокит 50	Торендрит 176/190
Альбит 234	Гиортдалит 145	Крокидолит 182	Пикромерит 23	Тремолит 179
Альмандин 56	Гиперстен 164	Кросцит 181	Пинит 199	Тридимит 83
Амалигонит 120	Гипс 26, 116	Ксантофиллит 209	Пирит 31	Тулат 139
Амезит 212	Глазерит 12	Ксенотим 68	Пироксены 164/175	Турмалин 91
Амфибол 176/190	Глауберит 17	Куммингтонит 178	Пироп 56	Тюргингит 214
Анальцим 61	Глауконит 218	Кунцит 175	Пирофанит 36, 79	Уват 91
Анатаз 67	Глаукофан 181	Купферит 178	Пирофиллит 196	Уголь 28
Ангидрит 13, 113	Глаукохорит 123	Лабрадор 234	Пирохлор 54	Уралит 187
Андалузит 136	Гортонолит 122	Лавсонит 141	Пирит 54	Фассант 169
Андеозин 234	Грамматит 179	Лазулит 119	Пирротин 30	Фаэлит 122
Андрадит 56	Гранат 56	Лампрофиллит 150	Пистастит 136	Фенгит 200
Анкерит 88	Градициерит 155	Ленгнеййт 16	Пистомезит 87	Ферригерцинит 50
Аният 202	Графит 29	Лейвейт 22	Плавиковый шпат 45	Фиримусковит 199
Аномит 203	Гроссуляр 56	Лёд 1	Плагиоклаз 234	Феррилеонаст 50
Анортит 234	Гротит 142	Лейкоксен 67, 142	Плеонаст 50	Феррициеллит 50
Анортоклаз 230	Грохеит 214	Лейхтенбергит 212	Полевые шпаты 228/234	Ферроавгит 168
Антигорит 211	Грюнерит 178	Леонит 21	Полигалит 24	Ферроактинолит 179
Антофиллит 176	Гауринит 145	Лепидокрокит 107	Полилитионит 205	Ферроантогорит 211-214
Апатит 90	Гумит 125	Лепидолит 205	Пренит 158	Феррогиперстен 164
Апофиллит 73	Давин 98	Лепидомелан 202	Протолитионит 207	Феррогортонолит 122
Арагонит 116	Даллит 90	Лиеврит 41, 140	Прохлорит 214	Ферродоломит 88
Араканит 104	Данбурит 224	Лизардит 195а	Псевдобрекит 103	Ферролазуит 119
Арфведсонит 183	Датолит 225	Литионит 205/207	Псевдодейцит 62	Ферросалит 167
Астраханит 20	Дафнит 214	Ловенит 144	Псевдоцозит 139	Ферросилит 164
Астрофиллит 151	Делессит 213	Ломонит 238	Птиолит 235/243	Ферроактинолит 179
Афтизит 12	Десмин 241	Людвигит 40, 112	Пьемонтит 137	Филлипсит 243
Бабабуданит 181	Дженкинит 211	Магнезиоарфведсонит 183	Рейнит 43, 190	Флогопит 201
Бабингтонит 160	Джефферезит 215	Магнезиогастигсит 184	Рибекит 182	Флюорит 45
Бадделент 105	Джонструпнт 149	Магнезиомагнетит 50	Ринкит 148	Форстерит 122
Барит 115	Диабанит 213	Магнезиоферрит 50	Риннеит 7	Фосфорит 90
Баркевичит 184	Диаллаг 168	Магнезиоферрит 86	Рихтерит 180	Фторапатит 90
Баррудит 187	Диаспор 108	Магнетит 32	Роговые обманки 187	Фтортаратит 183
Бастит 211	Дизаналит 53	Манганозит 152	Родонит 159	Фуксит 199
Батчелорит 220	Диккит 221	Манганозит 48	Родхорзит 85	Хабазит 100
Баккелит 58	Диопсид 167	Маргарит 208	Родусит 181	Халцедон 82
Березовский 50	Динир 74	Мариялит 74	Розенштут 147	Хиастолит 130
Берилл 94	Дистен 132	Мелилит 71	Рубиновая	Хлорапатит 90
Берtrandит 157	Дихроит 156	Мелинофан 72	слюдка 107	Хлориты 211/214
Биотит 202	Доломит 88	Мелифант 72	Рутил 66	Хлоритоид 210
Битовит 234	Дравит 91	Мезитит 86	Сагенит 66	Хлорошинель 50
Бишофит 6	Дюмортьеरит 193	Мазодиалит 92	Салит 167	Хондрит 124
Биёйт 20	Жадеит 174	Мезолит 235/243	Сандинит 229	Хризоберил 101
Борацит 55	Жедеит 177	Меланит 56	Сапфирина 135	Хризолит 122
Брейнерит 86	Железистый	Мелилит 71	Селадонит 218	Хризотил 195
Бронзит 164	кордиерит 156	Мелинофан 72	Серендибит 154	Хромит 33, 51
Брукит 104	Железный	Мелифант 72	Серцит 199/200	Хромгерцинит 50
Брунсвигит 213	блеск 34, 37	Мервинит 128	Серпентин 211, 195	Хромилокит 50
Бруусит 84	Железнит шпат 87	Мероксен 202	Сидерит 87	Хромилеонаст 50
Бустамит 162	Иддингсит 216	Микроклин 233	Сидероплезит 87	Хромшпинель 50
Бавеллит 121	Иодокраз 70	Мицонит 74	Силлиманит 191	Цейлонит 50
Вагнерит 118	Известь 2, 49	Мозандрит 149	Сингенит 25	Целестин 14, 114
Вантгофит 15	Ильвит 41, 140	Монацит 117	Синтагматит 185	Цельзян 232
Вевеллит 244	Ильменит 35, 78	Монтербразит 120	Скарапит 74	Цеолиты 235/243
Везувиан 70	Ильменорутил 38	Монтичеллит 123	Сколецит 237	Цинковая обманка 44
Вёлерит 143	Истонит 202	Монтмориллонит 223	Скордальит 119	Циркон 69
Вёлькерит 90	Иттротитанит 142	Морденит 235/243	Слюда 199/207	Цоизит 139
Вермикулит 215	Каинит 27	Муллит 192	Смаргадит 179	Шабазит 100*
Виллиомит 3	Калнофиллит 96	Мусковит 199	Содалит 63	Шамозит 219
Вилюют 70	Калсилит 96	Накрит 222	Спёррит 129	Шёнит 23
Виридин 131	Кальцит 85	Натролит 235	Спессартин 56	Шериданит 212
Витамит 137	Каменит соль 4	Натронортоклаз 228	Сподумен 175	Шерл 91
Вишневит 97	Канкринит 97	Натронсанидин 229	Ставролит 134	Шпинель 50
Воданит 204	Каолинит 220	Нефелин 95	Стассфуртит 55	Эвдиялит 92
Волластонит 161	Карни tin 188	Нефрит 179	Стекло 64	Эвклилит 92
Вулканическое	Карналлит 8	Нозеан 63	Стеллерит 235/243	Эвлит 164
стекло 64	Карфолит 194	Нонтронит 223	Стильбит 241	Эгирин 172
Гадолинит 226	Касситерит 65	Озаннит 182	Стильпномелал 217	Эгирин-авгит 171
Ганинит 146	Каталяйт 93	Окерманит 71	Сульфат-канкри-	Эденит 176/190
Галит 4	Кварц 81	Оливин 122	нит 97	Эккерманит 183
Ганит 50	Кварцы 82	Олигоклаз 234	Сфалерит 44	Эльбант 91
Гармотом 272	Кейльгацит 142	Олигонит 87	Сфен 142	Энгматит 42, 189
Гастингсит 184	Кеммерерит 212	Оловянный камень	Сцехенит 183	Энстатит 164
Гаюни 63	Кёненинит 75, 10	65	Омфацит 173	Эпидесмит 235/243
Геденбергит 167	Керсит 185	Озаннит 182	Опал 59	Эпидот 136
Гедрит 177	Кианит 132	Оккерманит 71	Ортит 138	Эпистильбит 240
Гейкалит 37, 80, 80a	Кизерит 18	Оливин 122	Ортоклаз 228	Эпсомит 19
Гейландит 239	Клиновигерстен 165	Ортпироксен 164	Ортопироксенит 164	Эулит 164
Геленин 71	Клиновумит 126	Пироклаз 228	Отоолит 210	Эфесит 208
Гематит 34, 77	Клиноферросилит 165	Пироклаз 228	Параволластонит 161	Эшеллит 235/243
Герцинит 50	Клинохлор 212	Пироклаз 228	Парауганит 198	
Гётит 106	Клиноиолит 136	Пироклаз 228	Парасцит 186	
Гиалосидерит 122	Клиноэнцелит 165	Пироклаз 228	Парсеттенсит 217	
Гиалофан 231	Клиントонит 209	Пироклаз 228		
Гиббсит 109	Колумбит 39, 102	Пироклаз 228		
Гибшит 57	Коппит 54	Пироклаз 228		

Группа плагиоклазов
Стереограмма для сложных и параллельных законов



Группа плагиоклазов
Стереограмма для нормальных законов



3231

1Р.30к.

НЕДРА